



24/February/2015

徳大ERATOミーティング

# 医学・生物学応用を中心とした 線形/非線形ラマン散乱分光法

南川丈夫

京都府立医科大学

医学研究科 細胞分子機能病理学

Contact: [tminami@koto.kpu-m.ac.jp](mailto:tminami@koto.kpu-m.ac.jp)

# 自己紹介

1983年 茨城県ひたちなか市（旧 勝田市） 生まれ

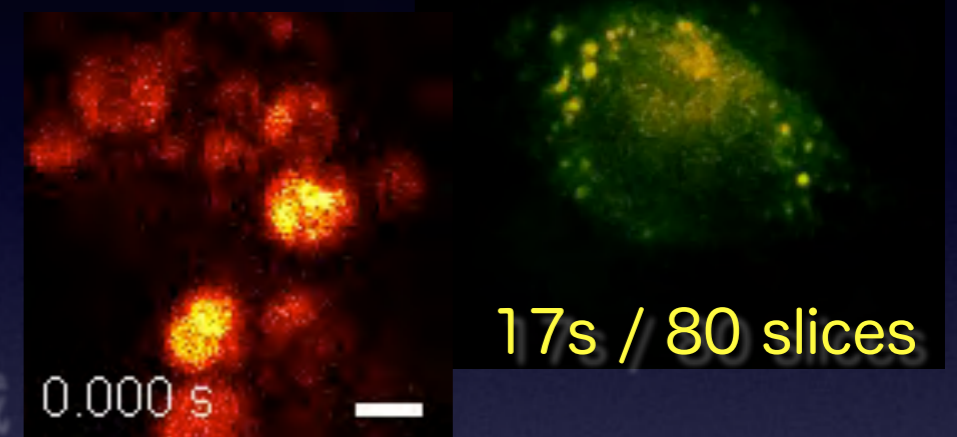
2005年 茨城高専 電子制御工学科 卒業  
(高専 長谷川研, 茨城大 伊藤研, 理研 大森研)  
「ELID研削加工」

2004年  
大阪大学 基礎工学部 機械科学コース  
大阪大学 基礎工学研究科 機能創成専攻 生体工学領域

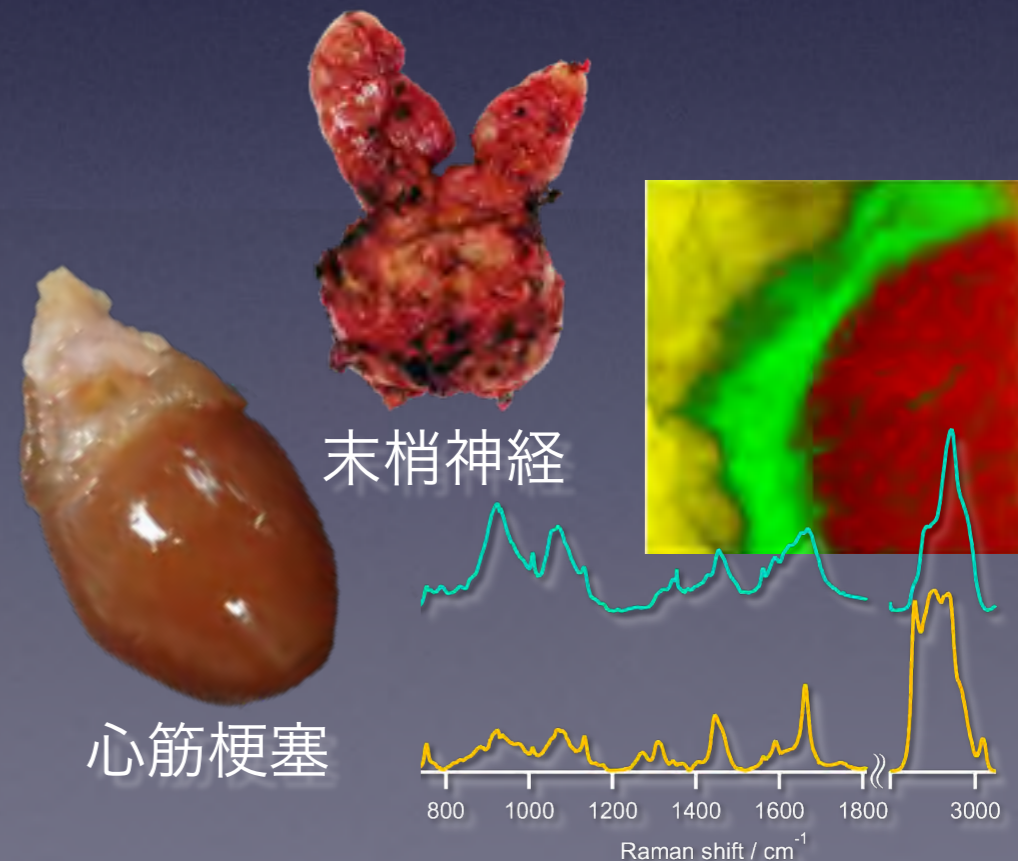
2010年 Ph.D., 学振DC, 招聘研究員 @ 大阪大学  
(荒木・橋本研究室)  
「非線形ラマン散乱顕微鏡の開発と生体計測応用」

2011年 学振PD, 助教 @ 京府医大  
(病理, 高松研究室)  
「線形/非線形ラマン散乱分光法による医療応用」

2014年 客員研究員@立命館大学  
「分光学的方法論による浮世絵の復元的研究」



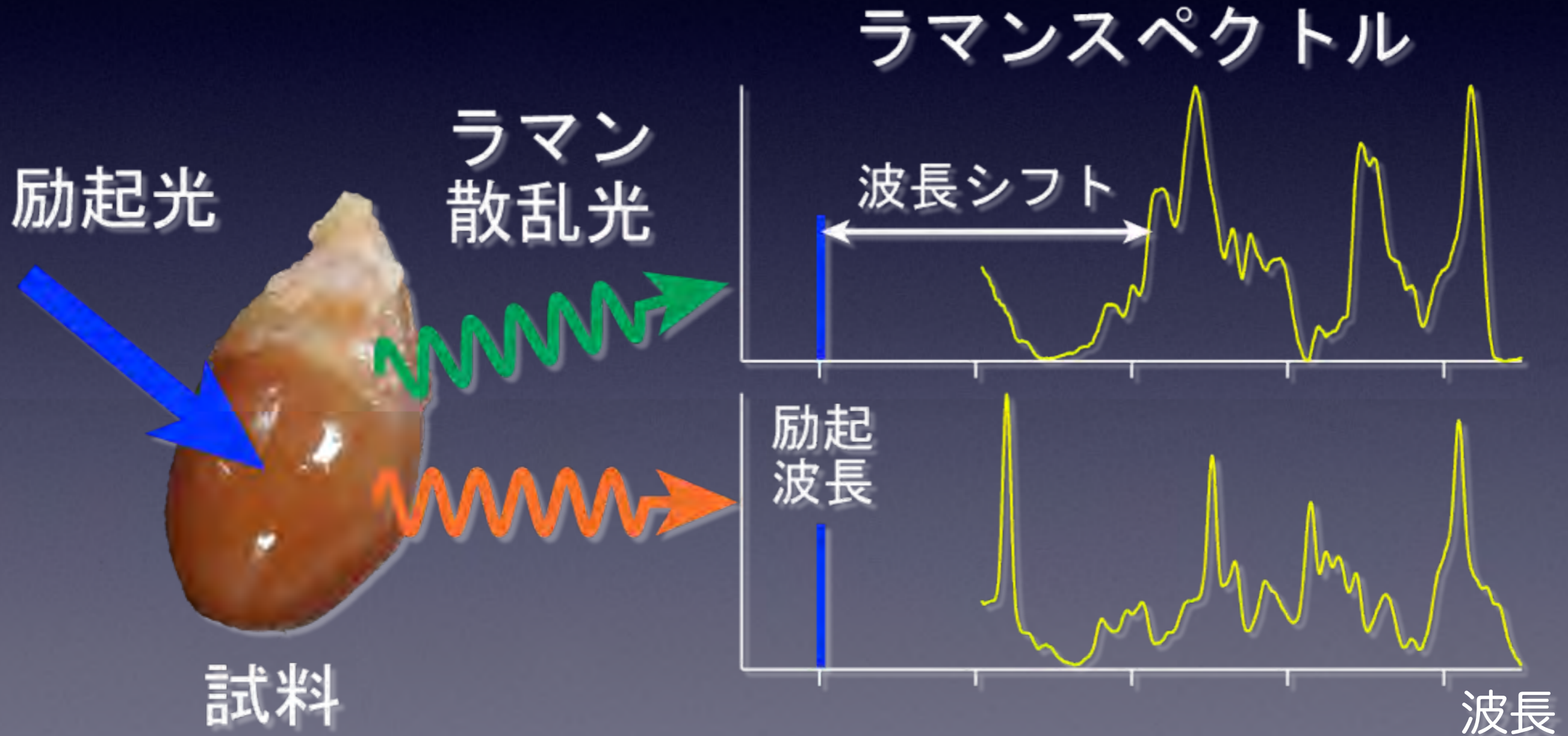
High speed Raman imaging



# Raman spectroscopy

細胞・組織内分子の分子振動を計測（振動分光法）

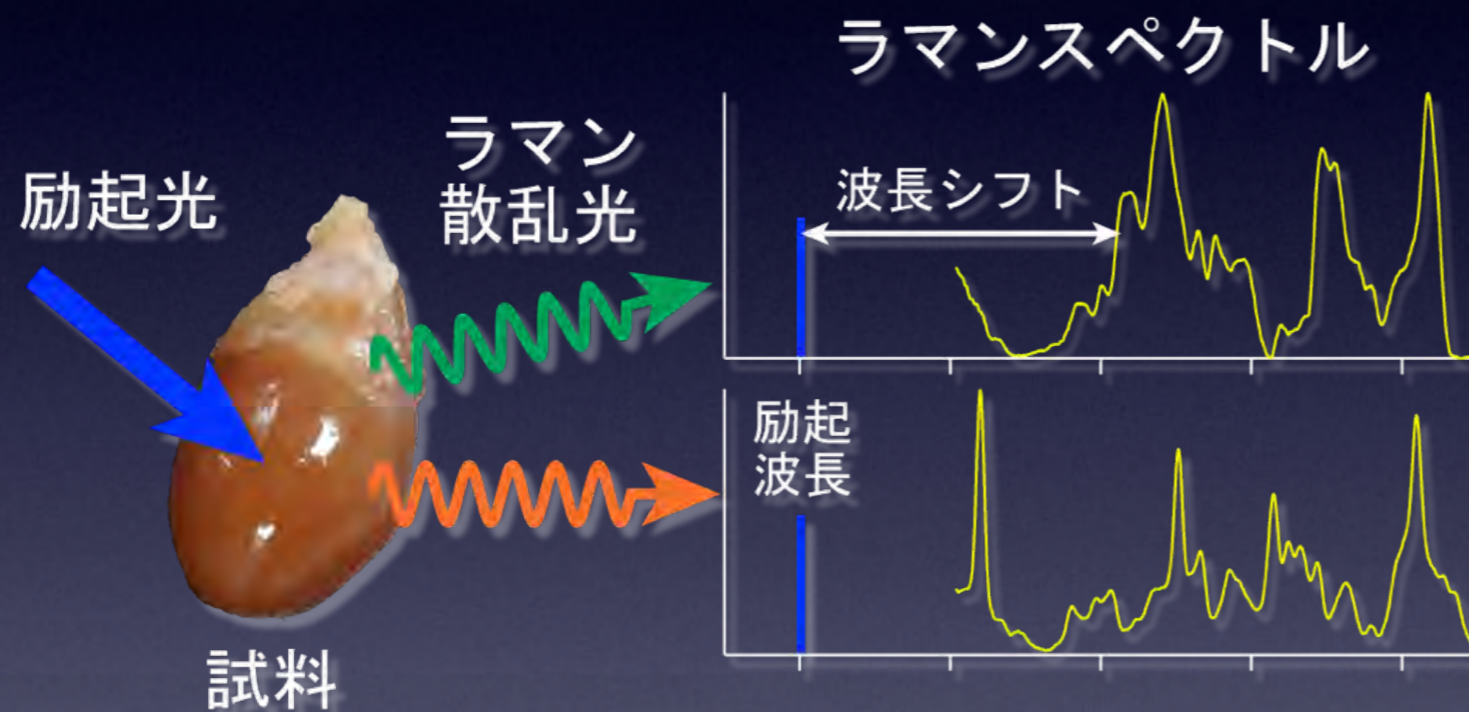
分子振動：分子の種類や構造を反映



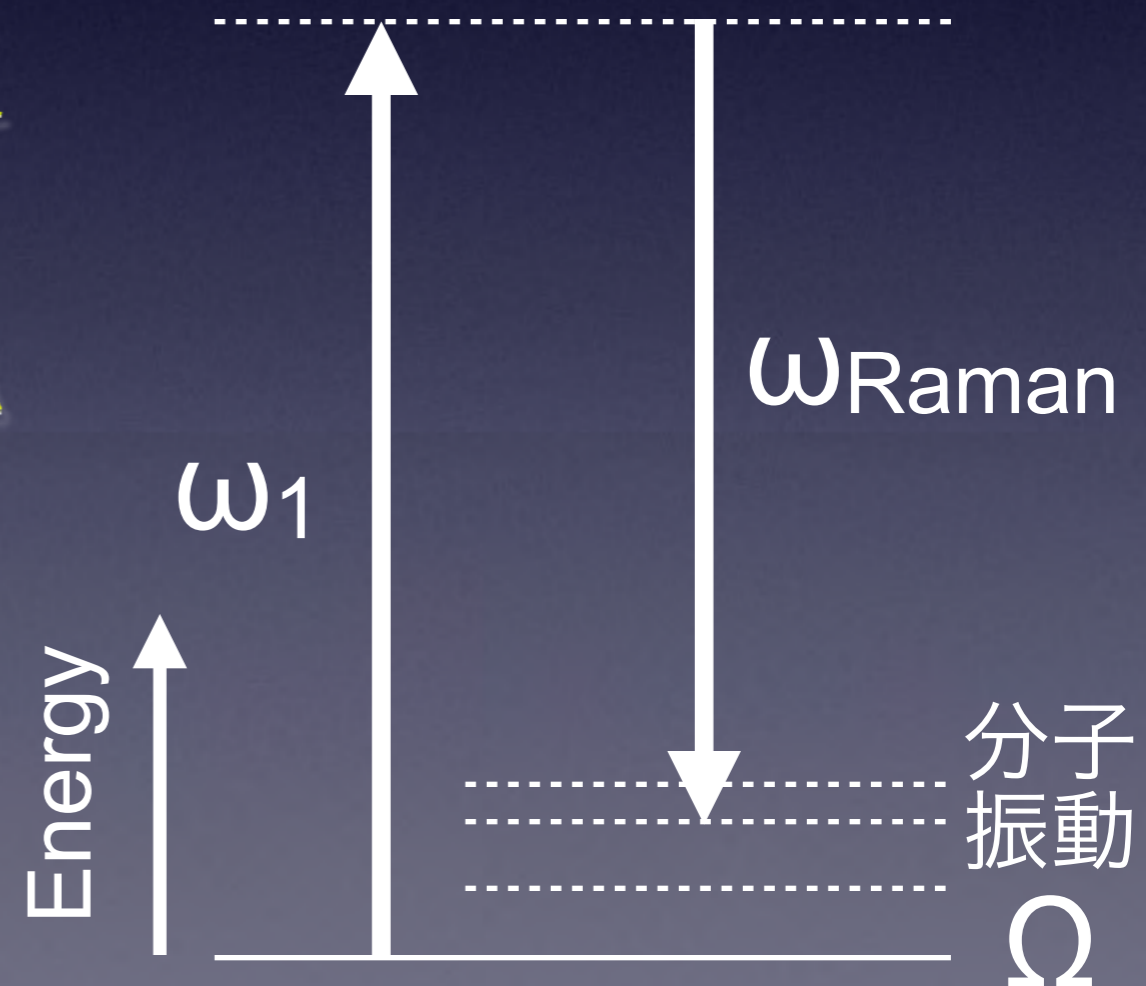
# Raman spectroscopy

細胞・組織内分子の分子振動を計測 (振動分光法)

分子振動：分子の種類や構造を反映

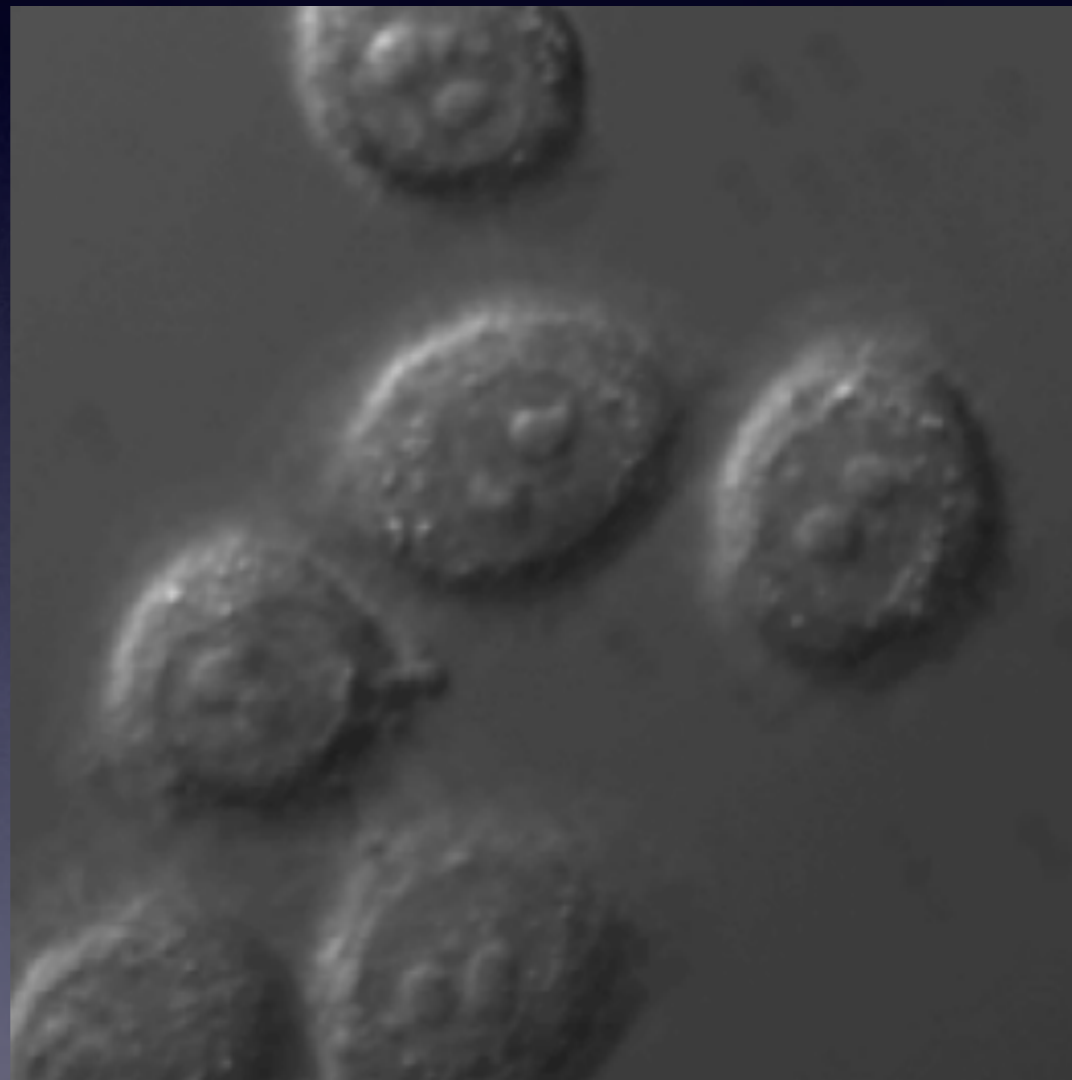


High intensity  
 $\omega_1 - \Omega = \omega_{\text{Raman}}$



ラマン散乱分光法で  
何を見たいのか？  
～ 医学・医療応用 ～

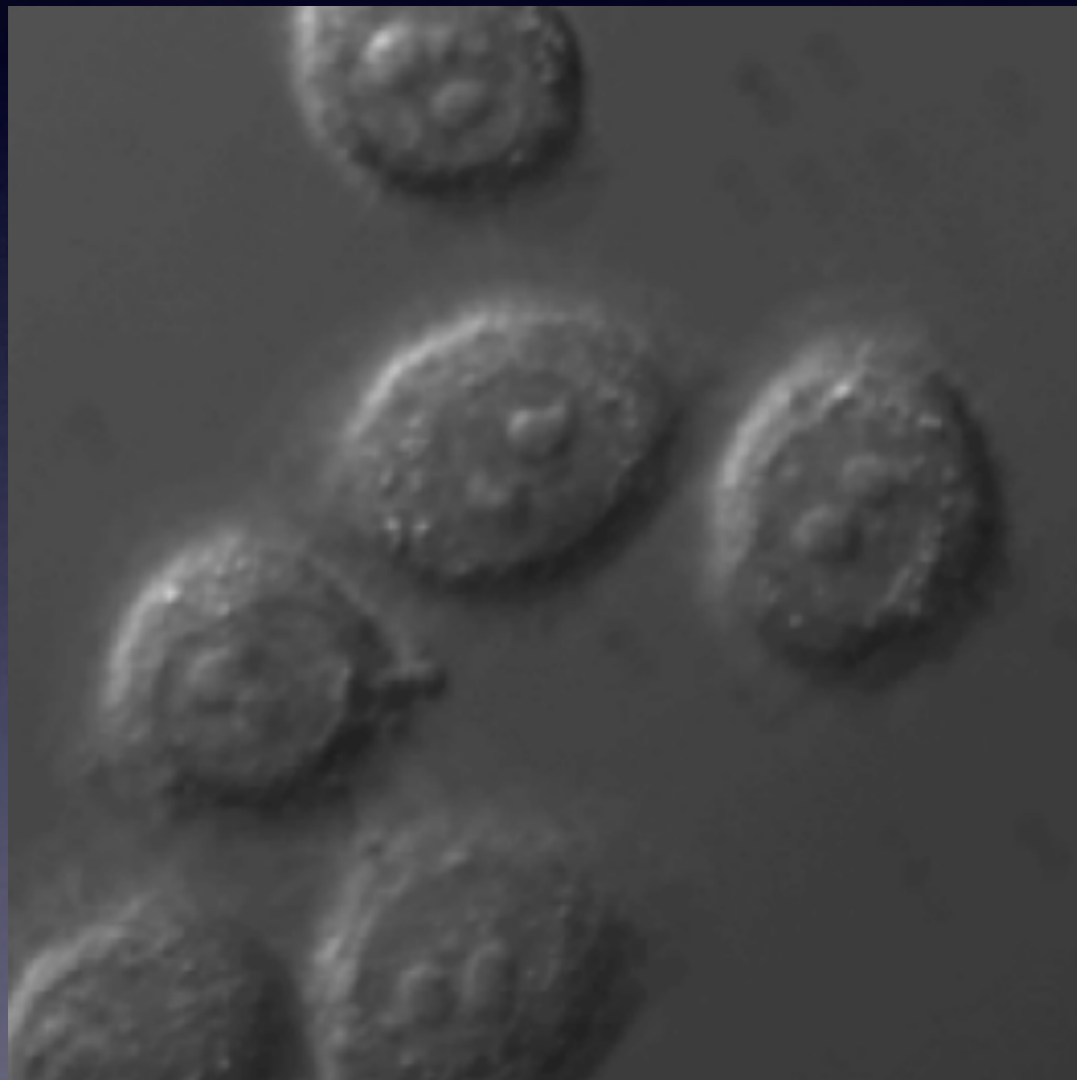
Our goal  
Imaging method  
to visualize molecular information



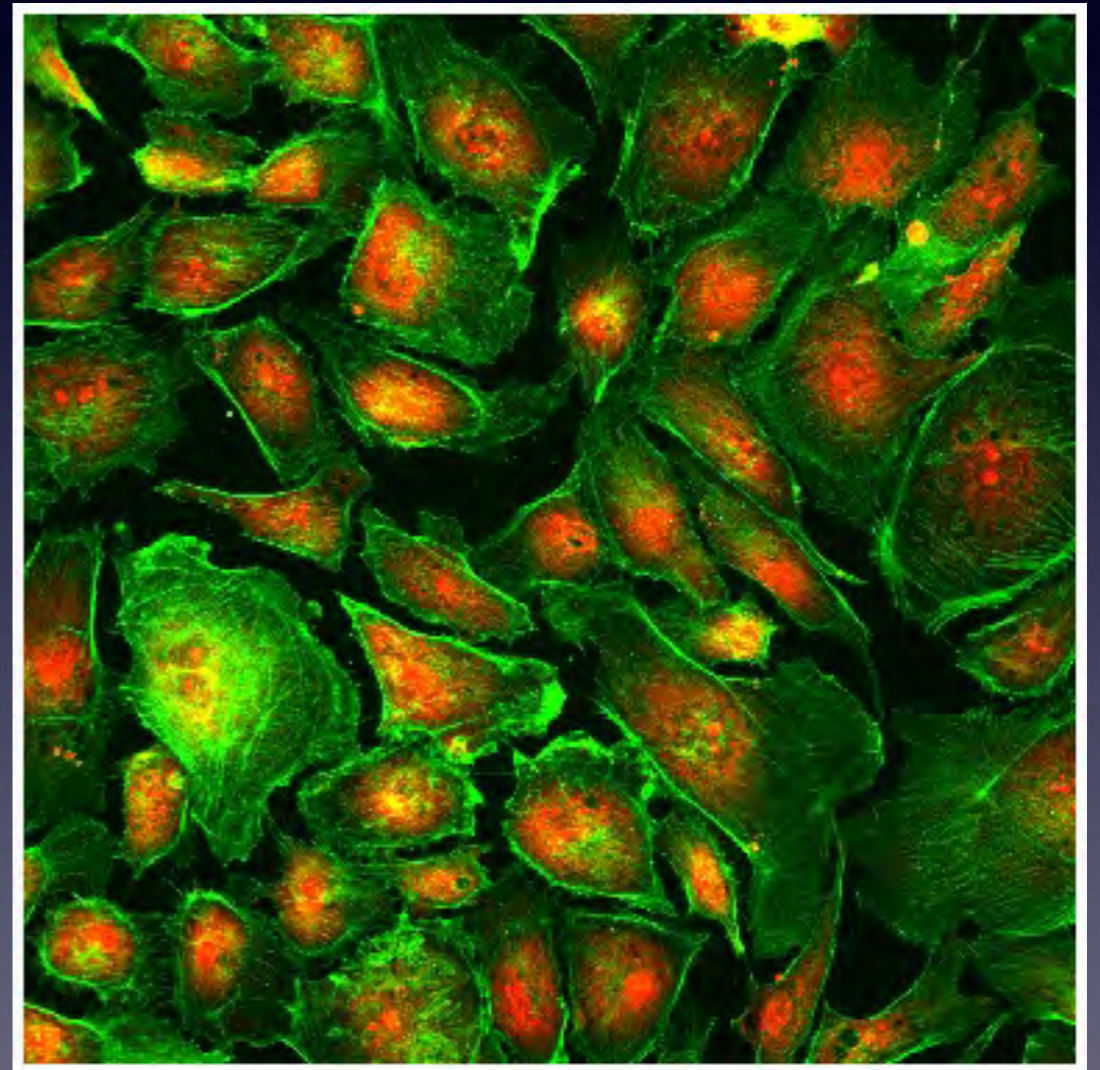
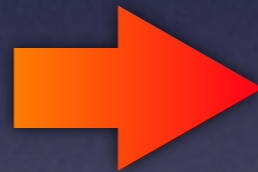
White/Black image

# Our goal

## Imaging method to visualize molecular information



White/Black image



Color image!!

従来技術で

何を見ることができないのか？

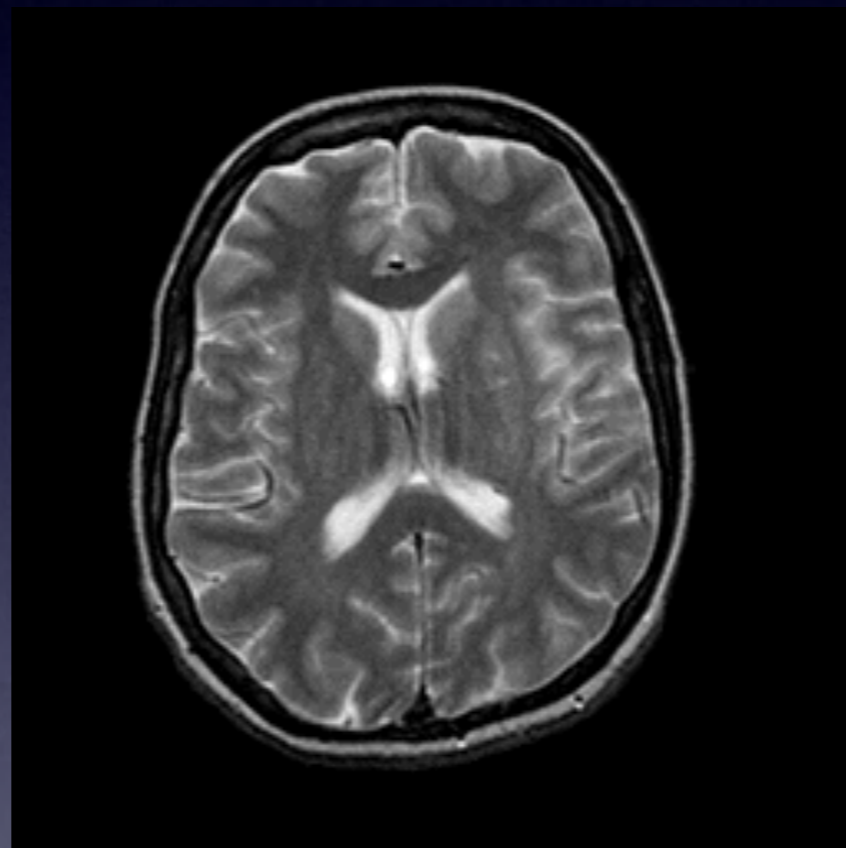


従来技術で

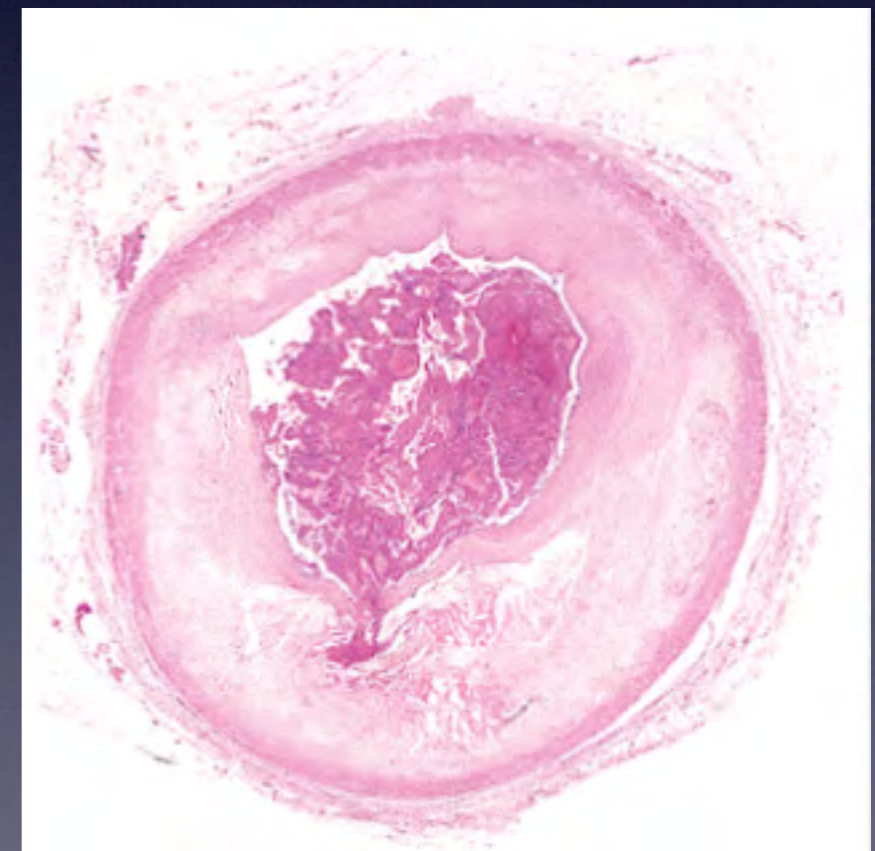
何を見ることができないのか？



CT



MRI



染色

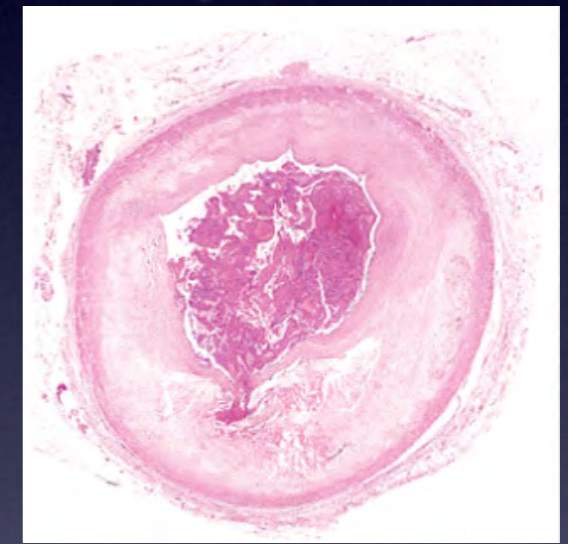
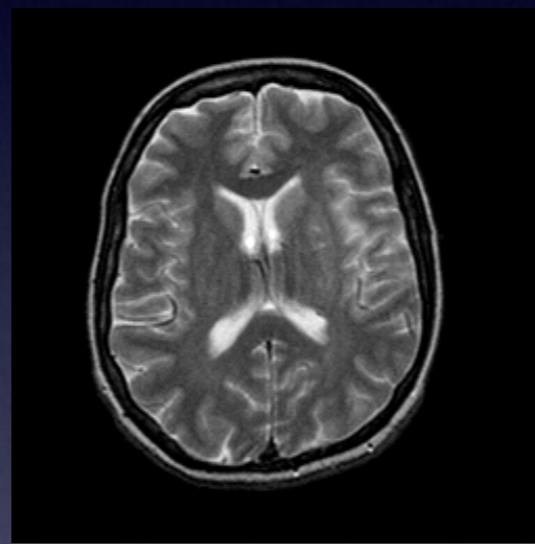
# 従来技術で

# 何を見ることか**できない**のか？

## CT

## MRI

## 染色



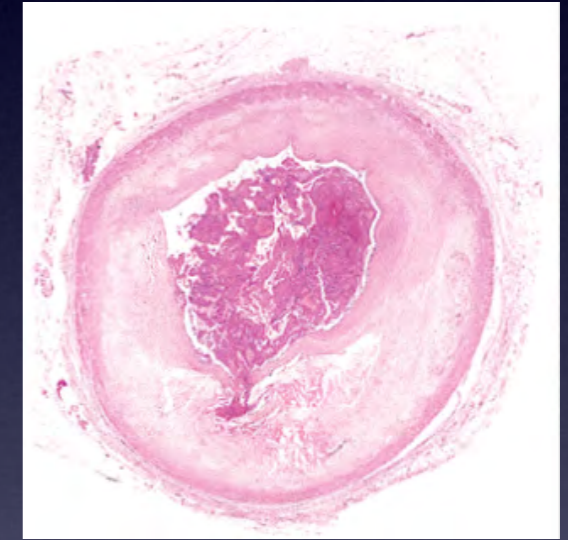
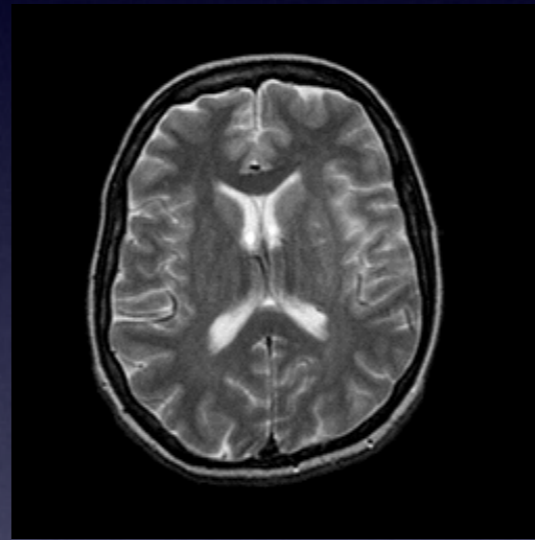
# 従来技術で

何を見ることができないのか？

CT

MRI

染色



- ×放射線被曝
- ×装置が大きい
- ×低コントラスト

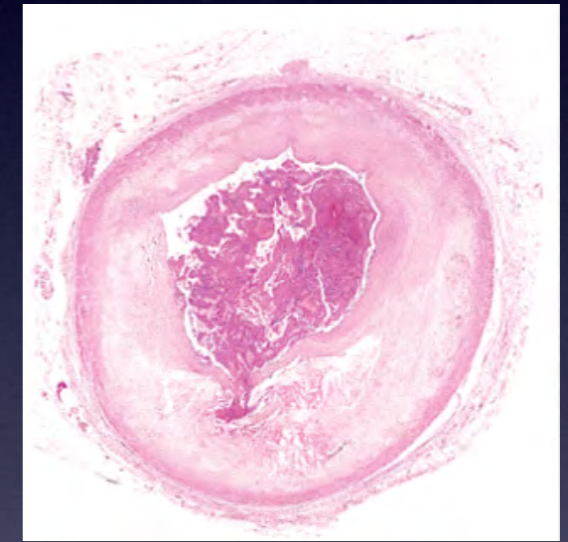
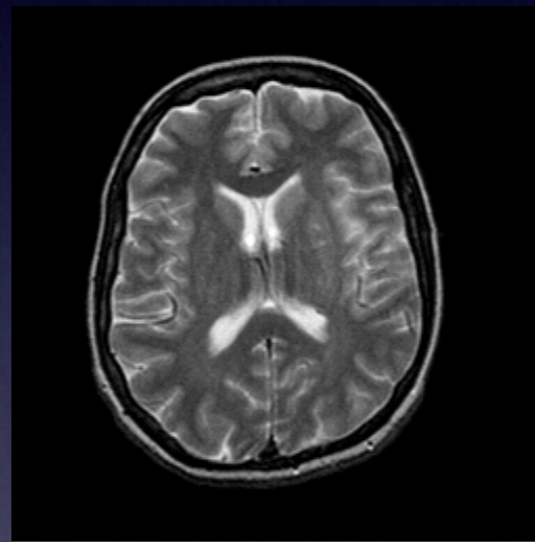
# 従来技術で

何を見ることが**できない**のか？

CT

MRI

染色



×放射線被曝

×装置が大きい

×低コントラスト

×時間がかかる

×装置が大きい

×強い磁場

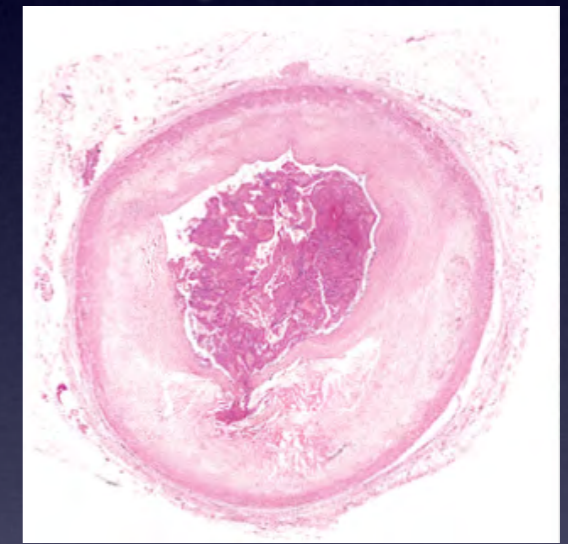
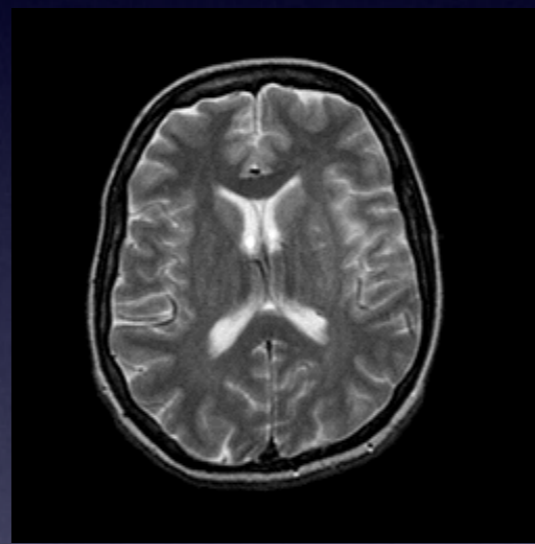
# 従来技術で

何を見ることができないのか？

CT

MRI

染色



×放射線被曝

×装置が大きい

×低コントラスト

×時間がかかる

×装置が大きい

×強い磁場

×病理医が不可欠

×破壊的検査

×時間がかかる

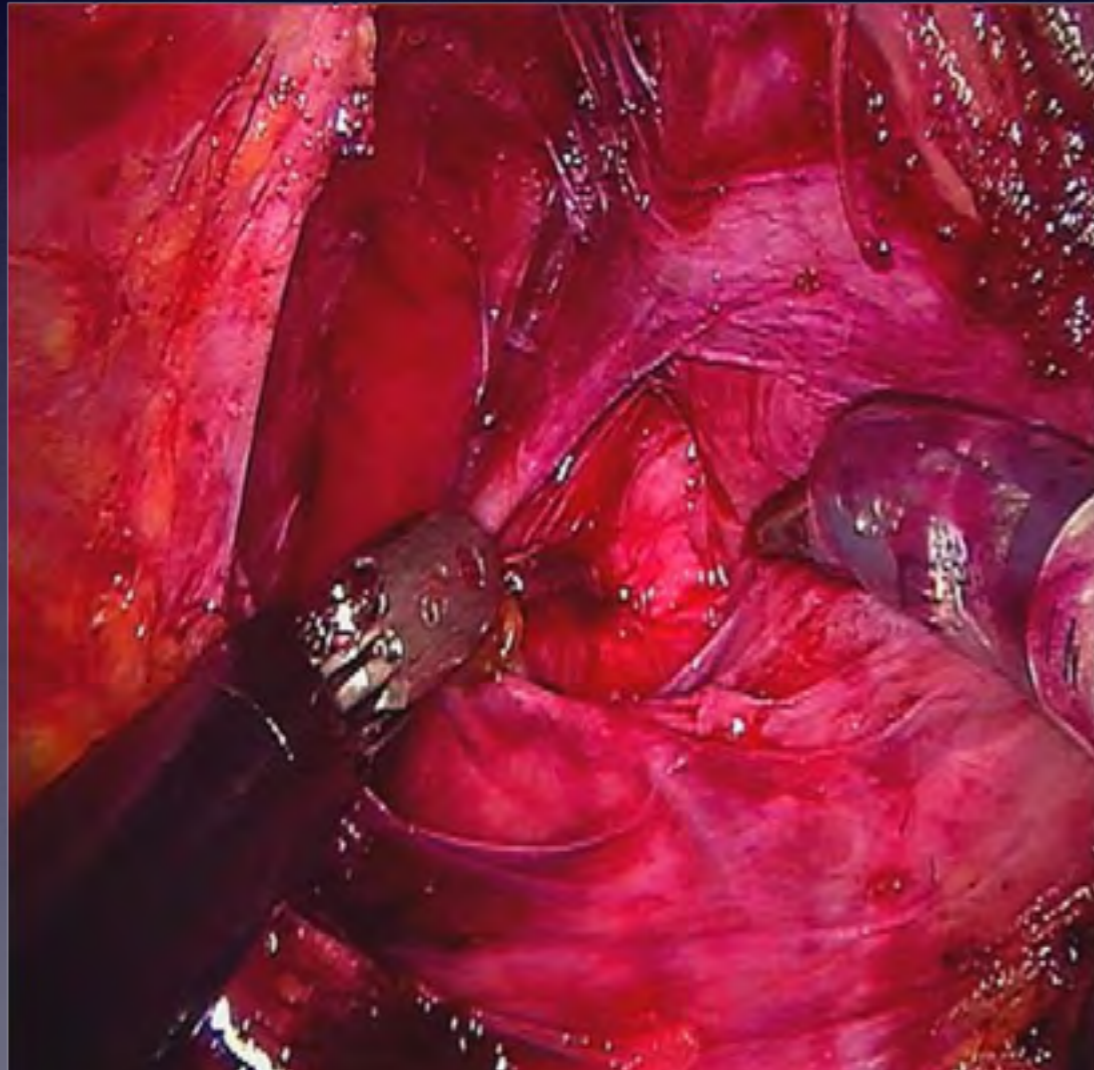
# Medical applications I

- Peripheral nerve detection -

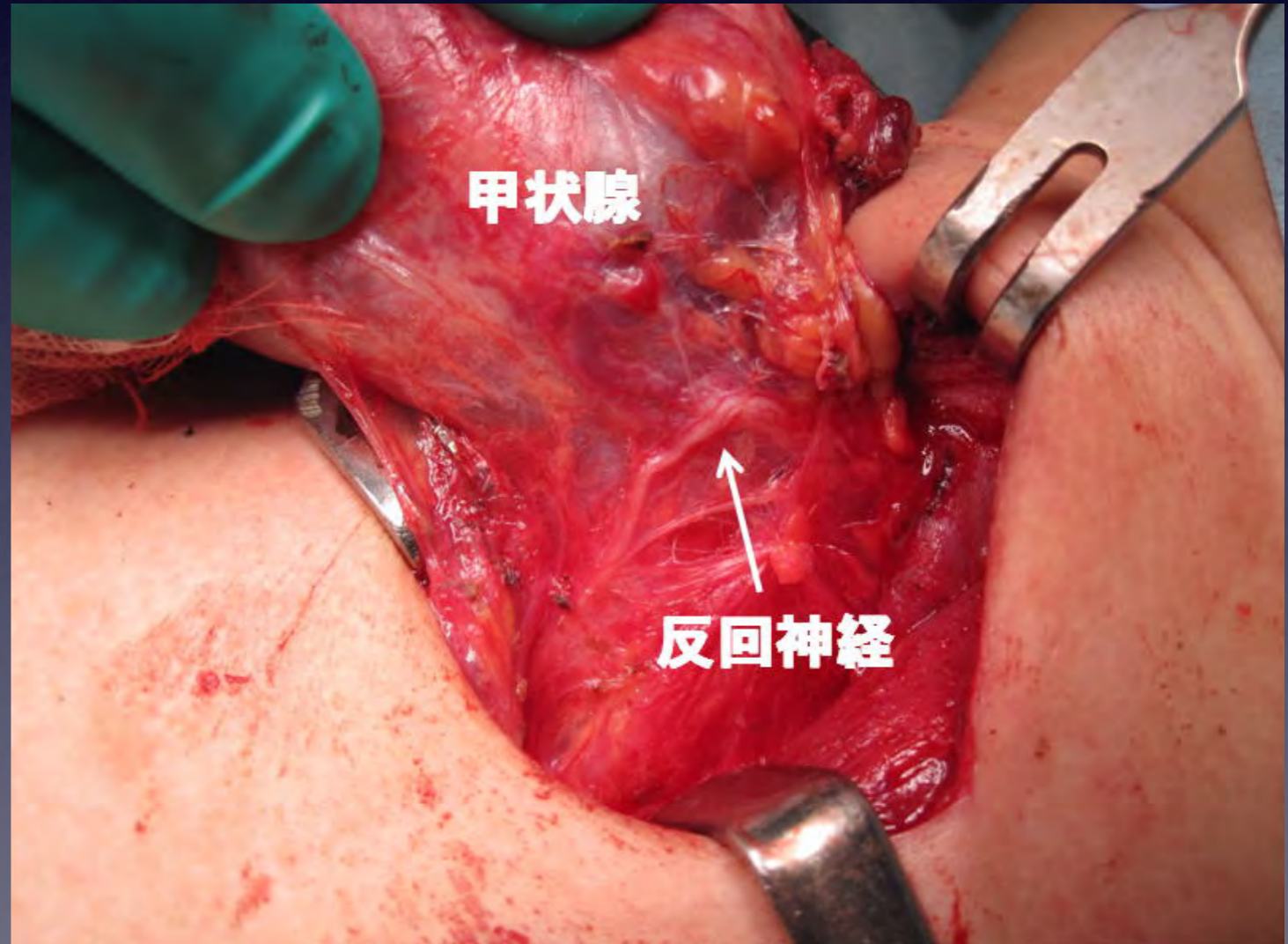
# Introduction

## Nerve-sparing surgery

Preservation of peripheral nerves during surgery



Prostate cancer

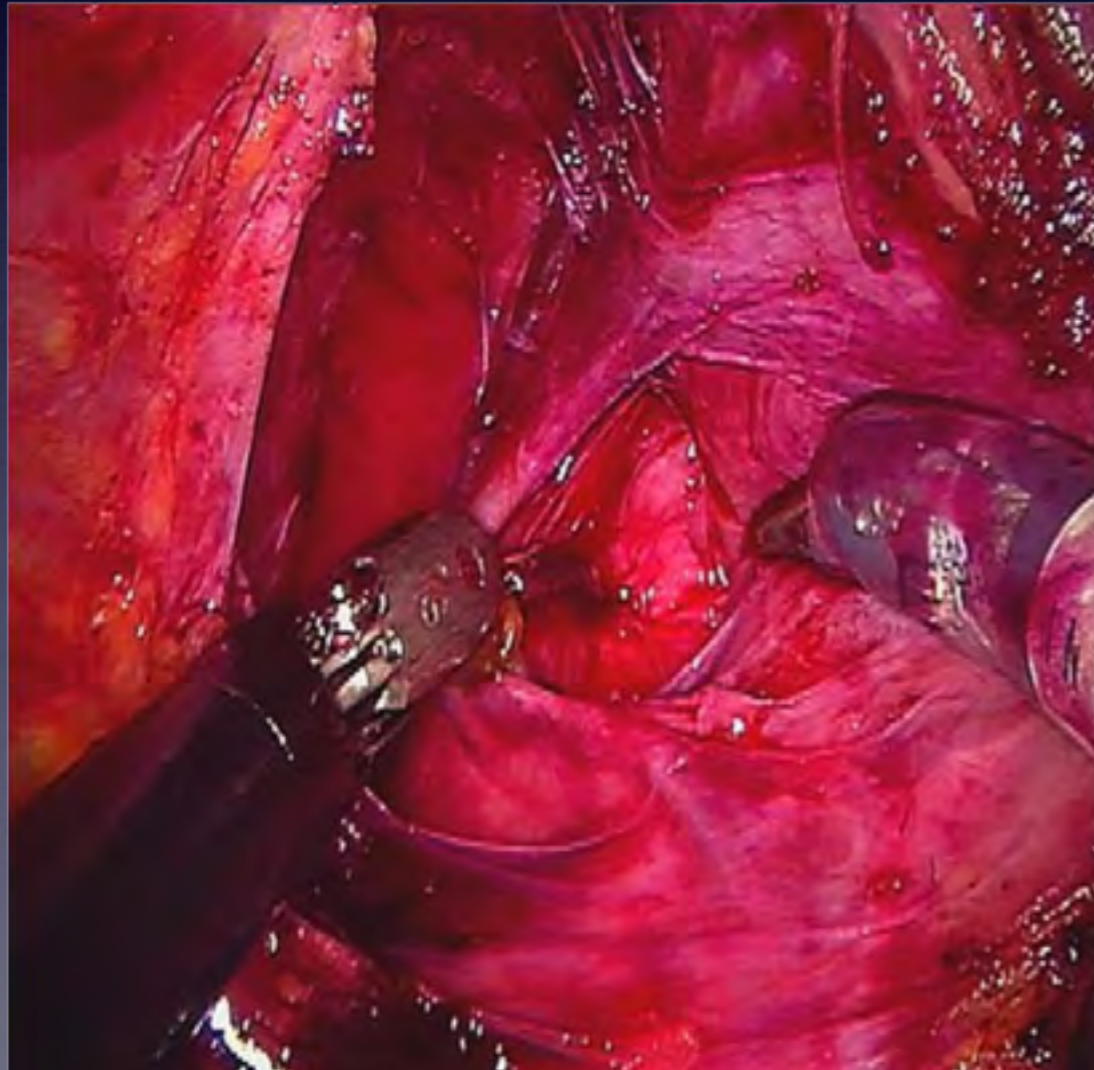


Thyroid surgery

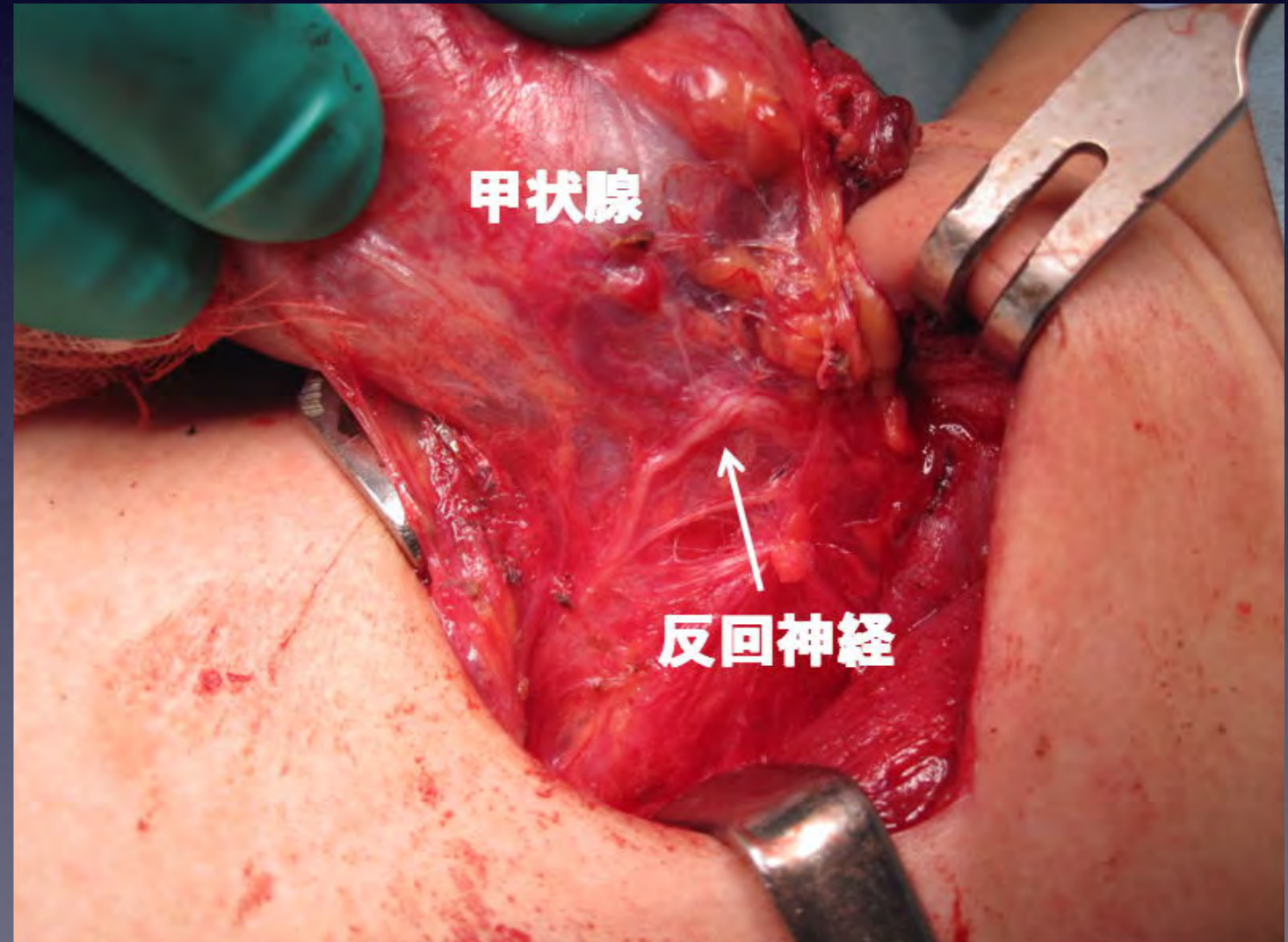
# Introduction

## Nerve-sparing surgery

Preservation of **only large** peripheral nerves during surgery (that can be identified by human eye or under white light imaging)



Prostate cancer

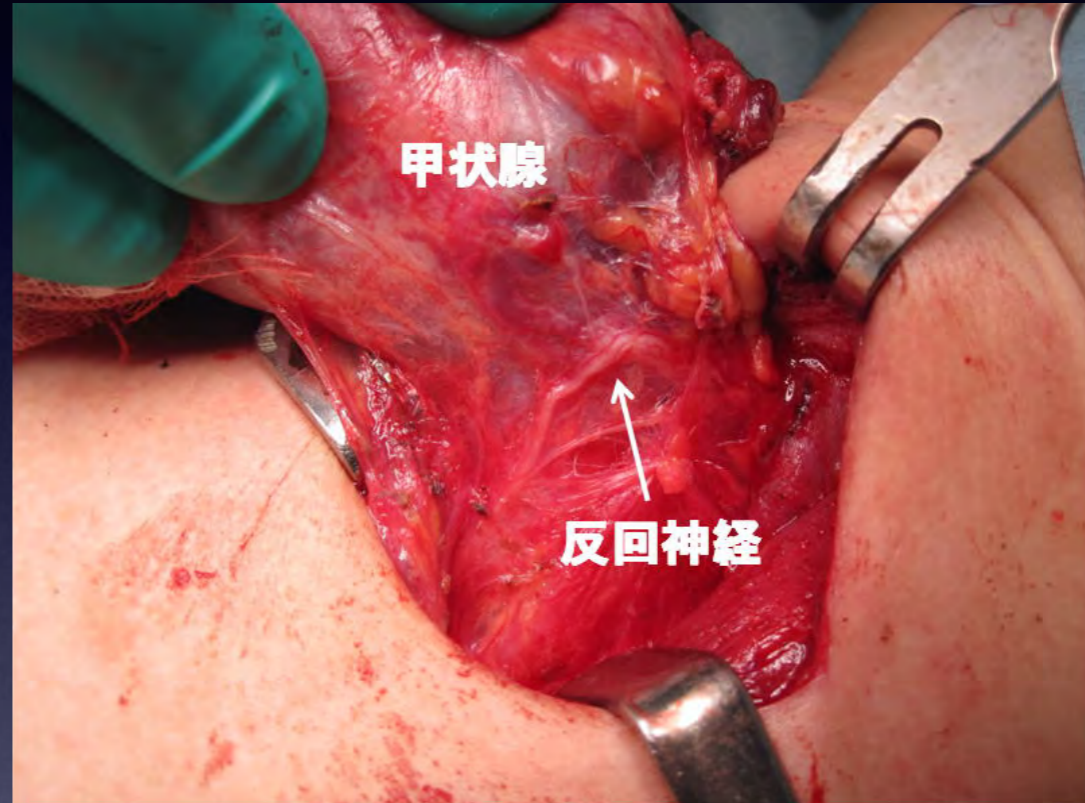
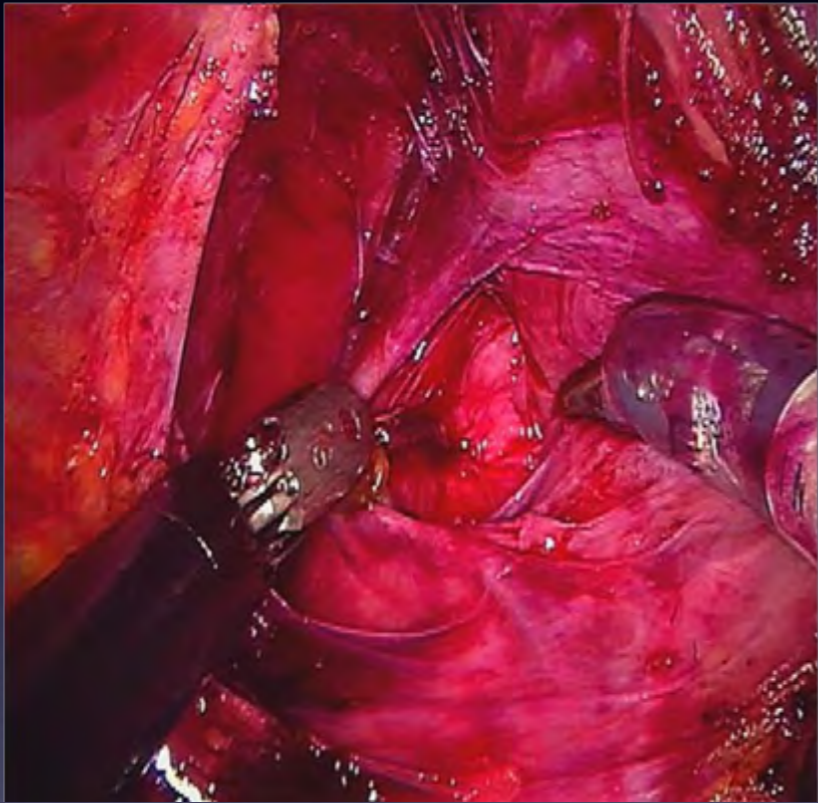


Thyroid surgery



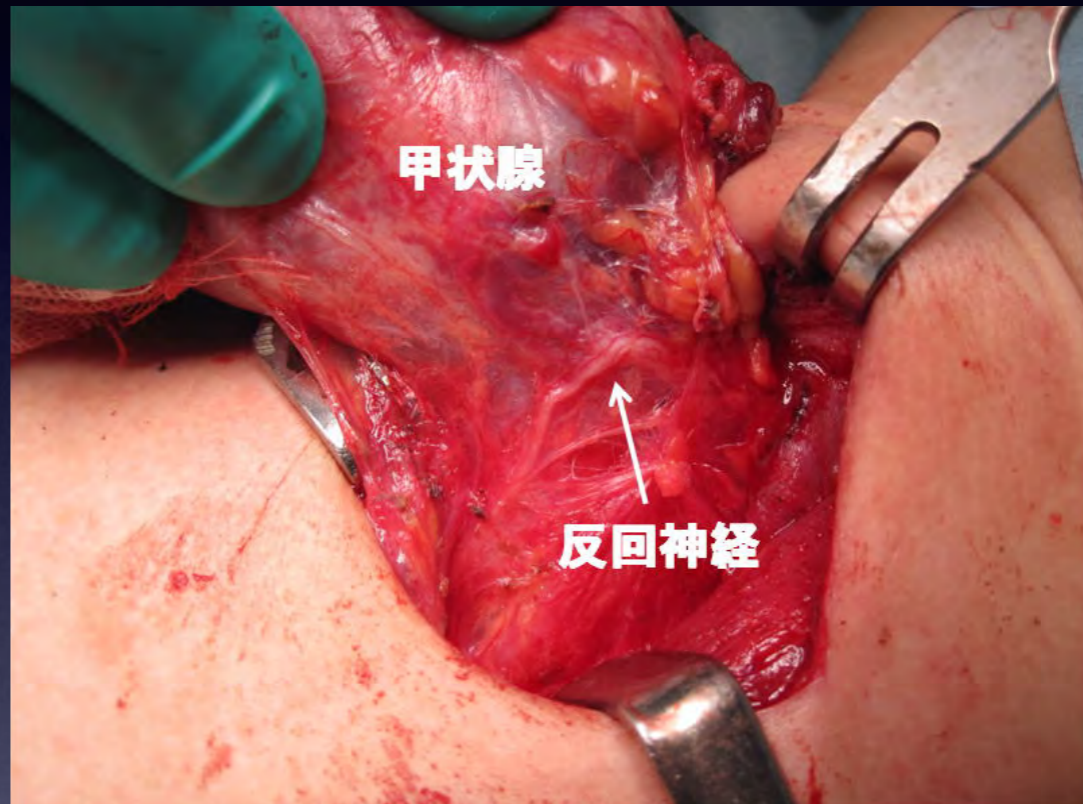
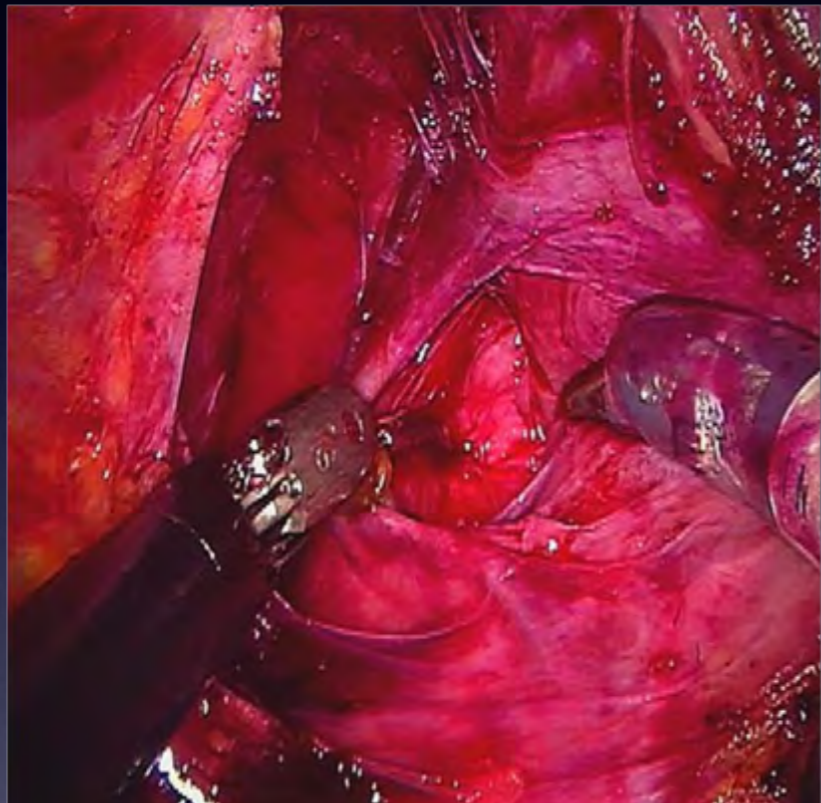
# Purpose

“In situ detection of peripheral nerves”



# Purpose

“In situ detection of peripheral nerves”



Label-free observation of peripheral nerves  
by Raman spectroscopy

# Raman spectra of peripheral nerves (Sectioned sample)

[ref] T. Minamikawa et al., Histochem Cell Biol., 139, 181 (2013).

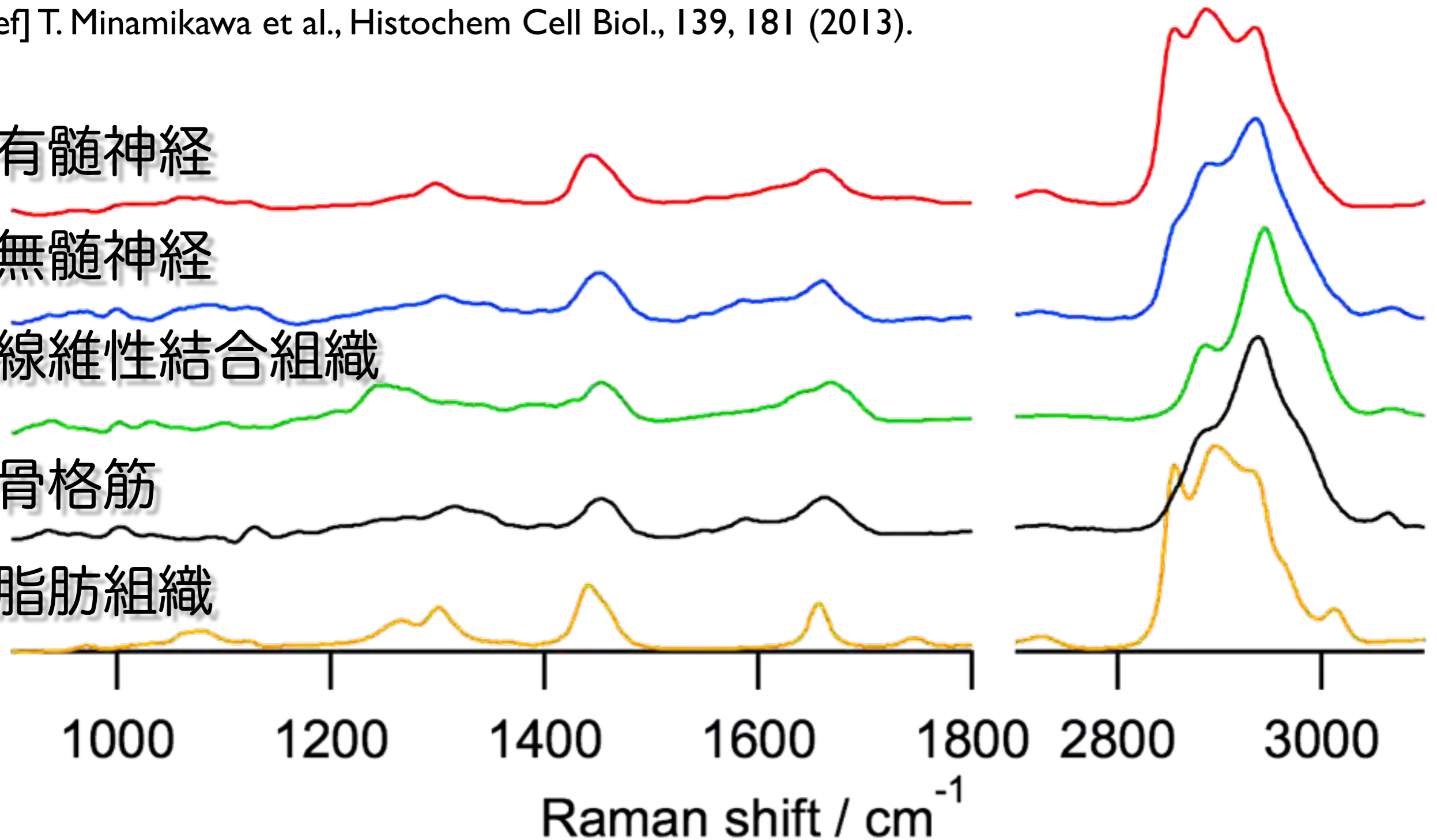
有髓神經

無髓神經

線維性結合組織

骨格筋

脂肪組織

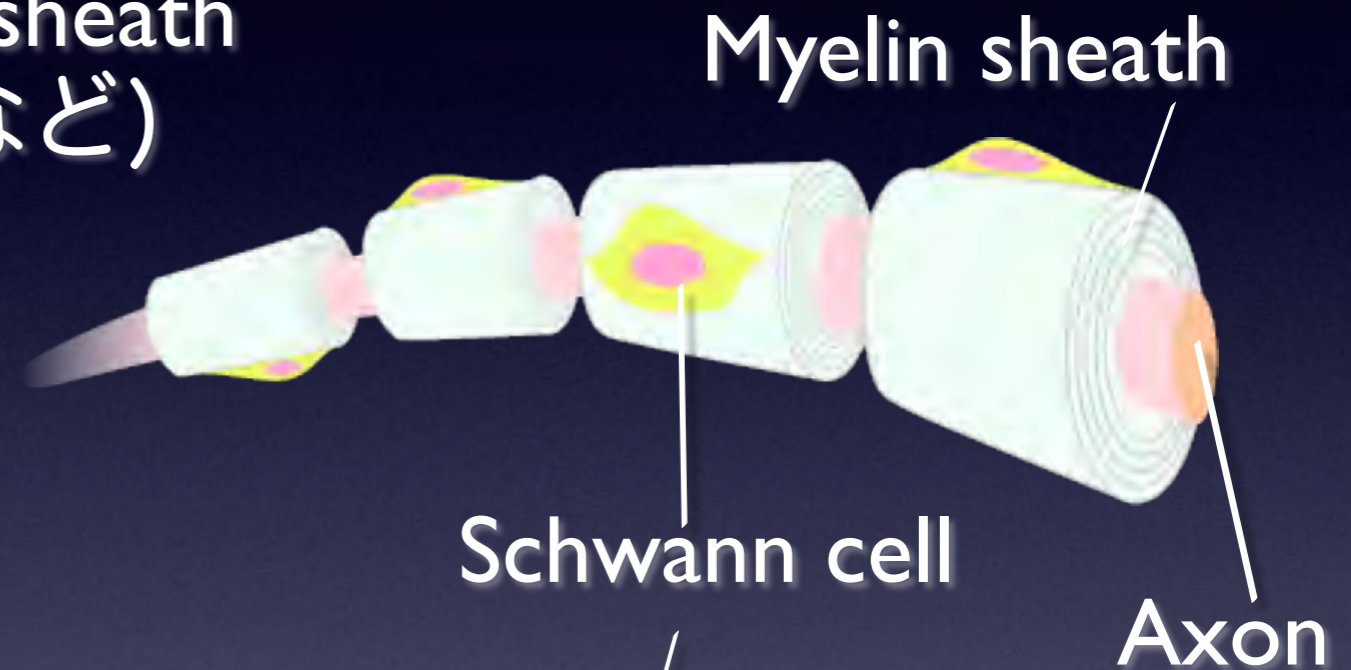


# Type of peripheral nerves



## 有髓神経 (Myelinated nerve)

Nerve fiber **with** myelin sheath  
(運動神経, 感覚神経など)



## 無髓神経 Unmyelinated nerve

Nerve fiber **without** myelin sheath  
(自律神経など)



# Raman spectra of peripheral nerves (Sectioned sample)

[ref] T. Minamikawa et al., Histochem Cell Biol., 139, 181 (2013).

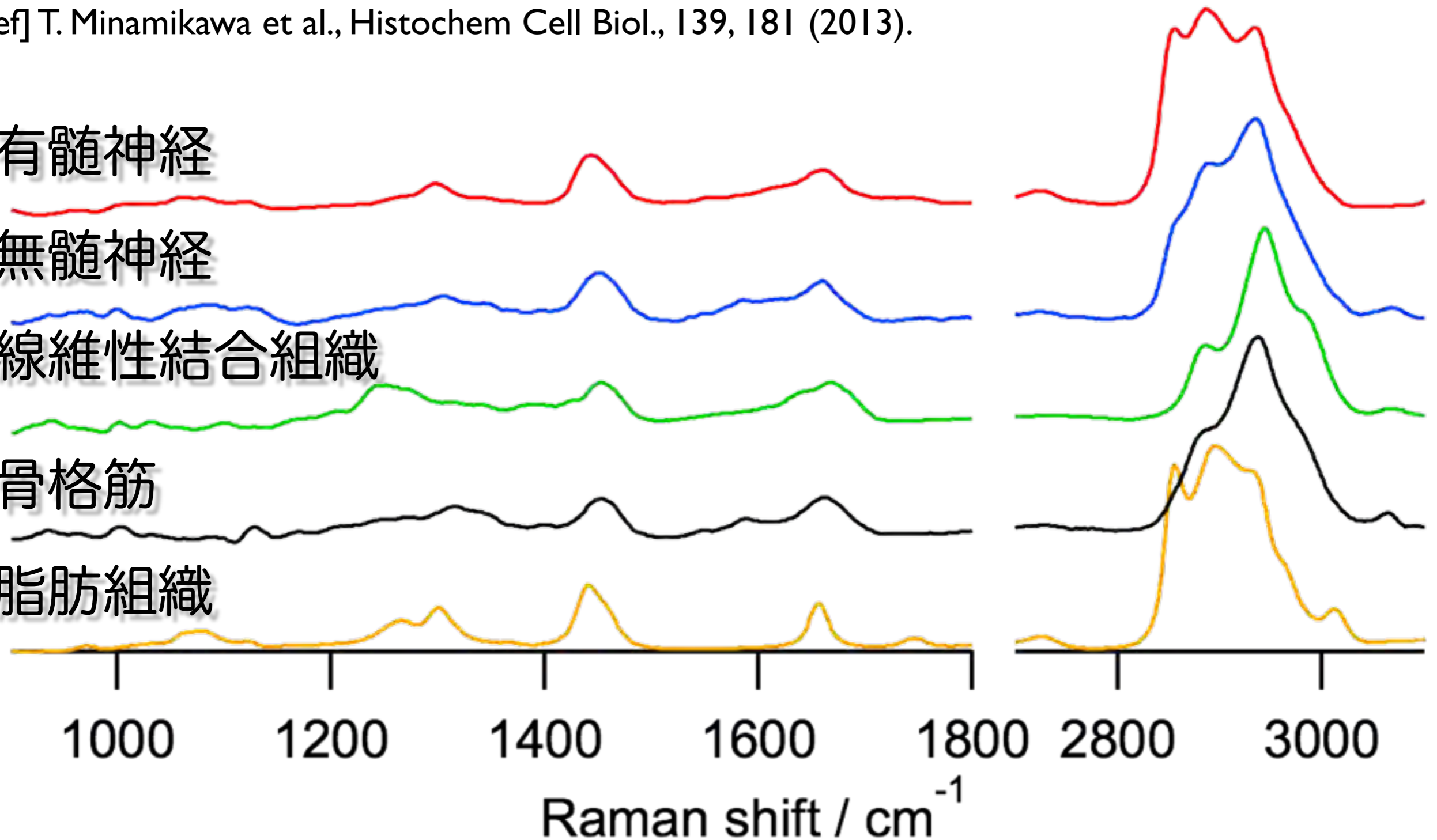
有髓神經

無髓神經

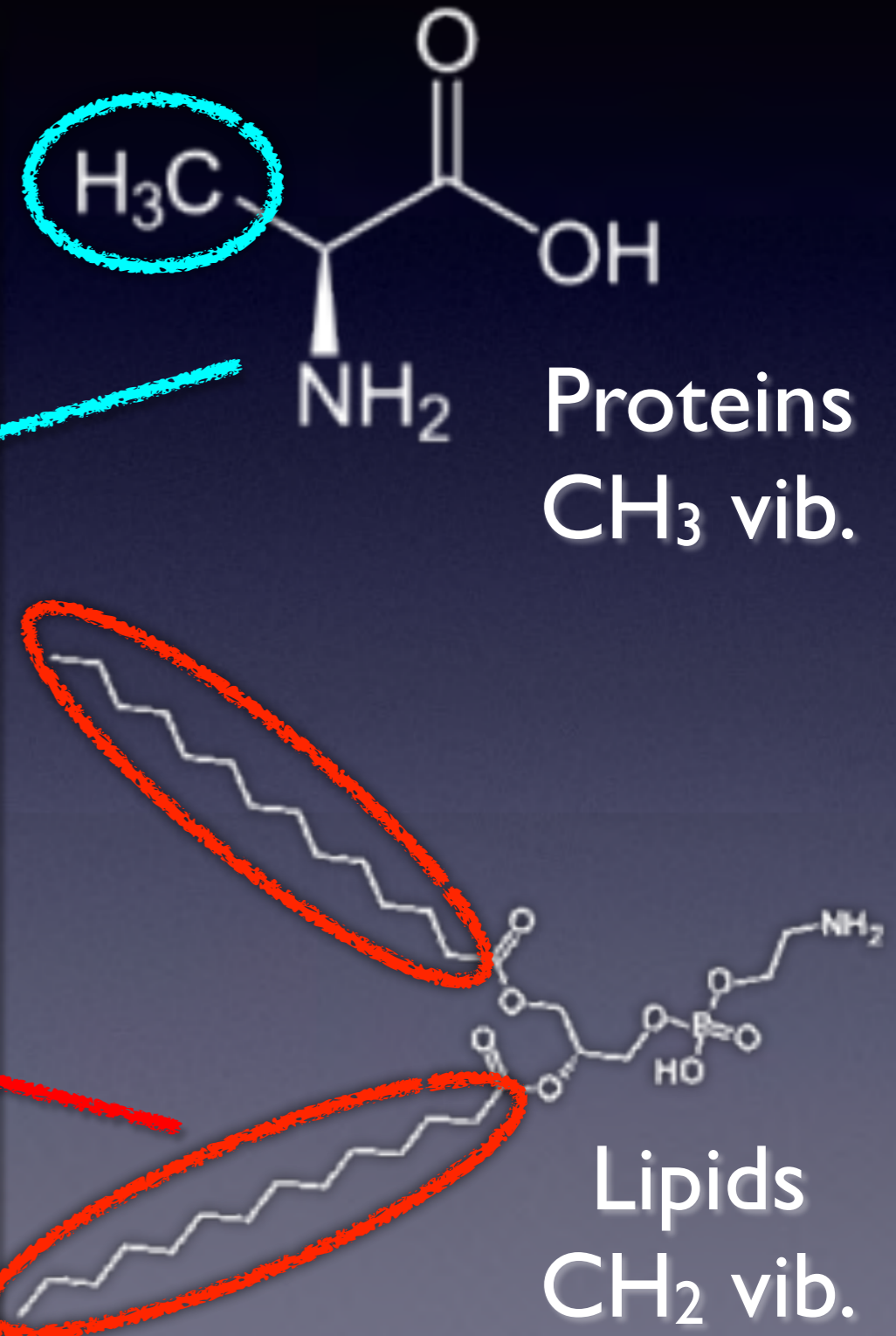
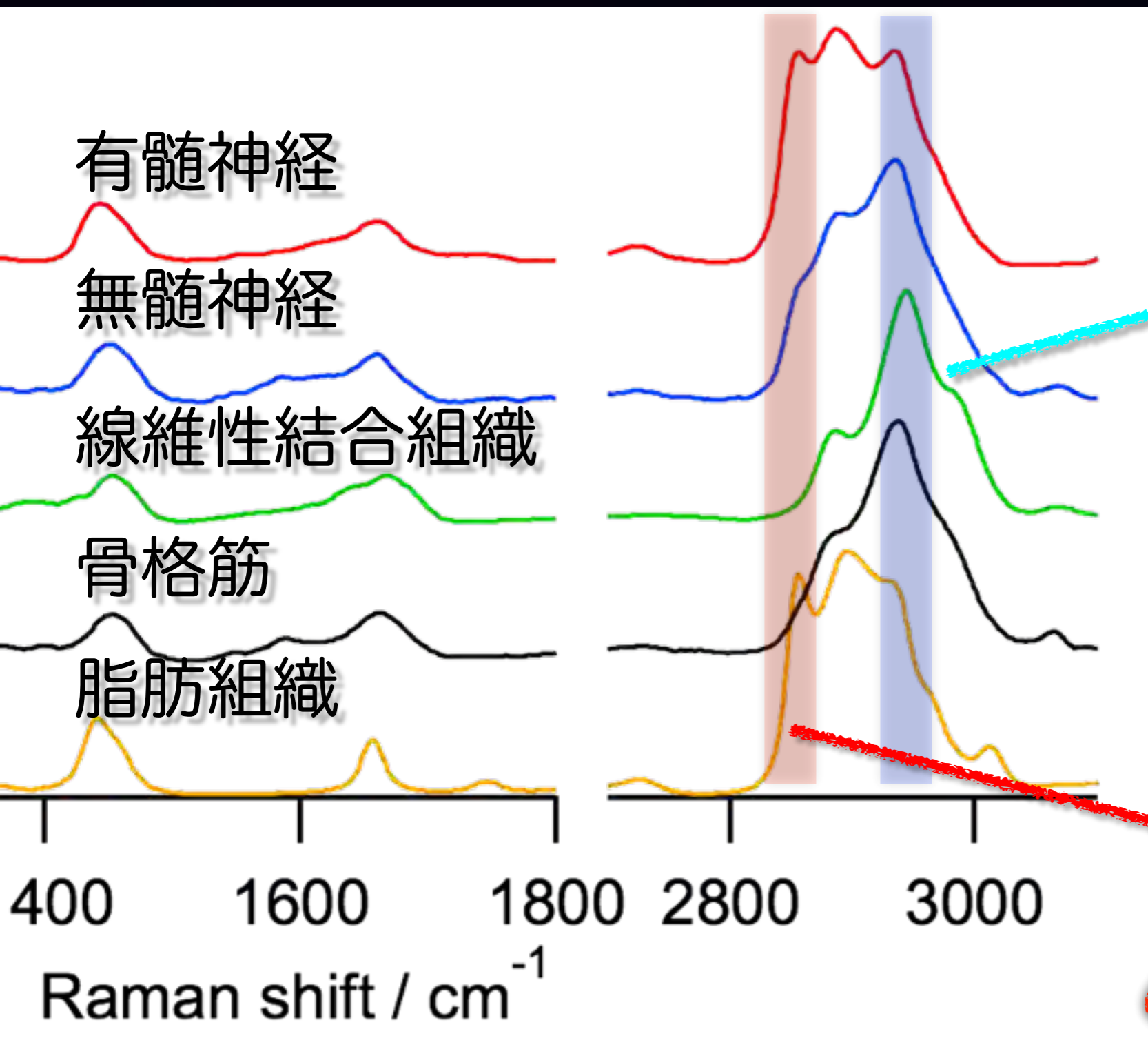
線維性結合組織

骨格筋

脂肪組織



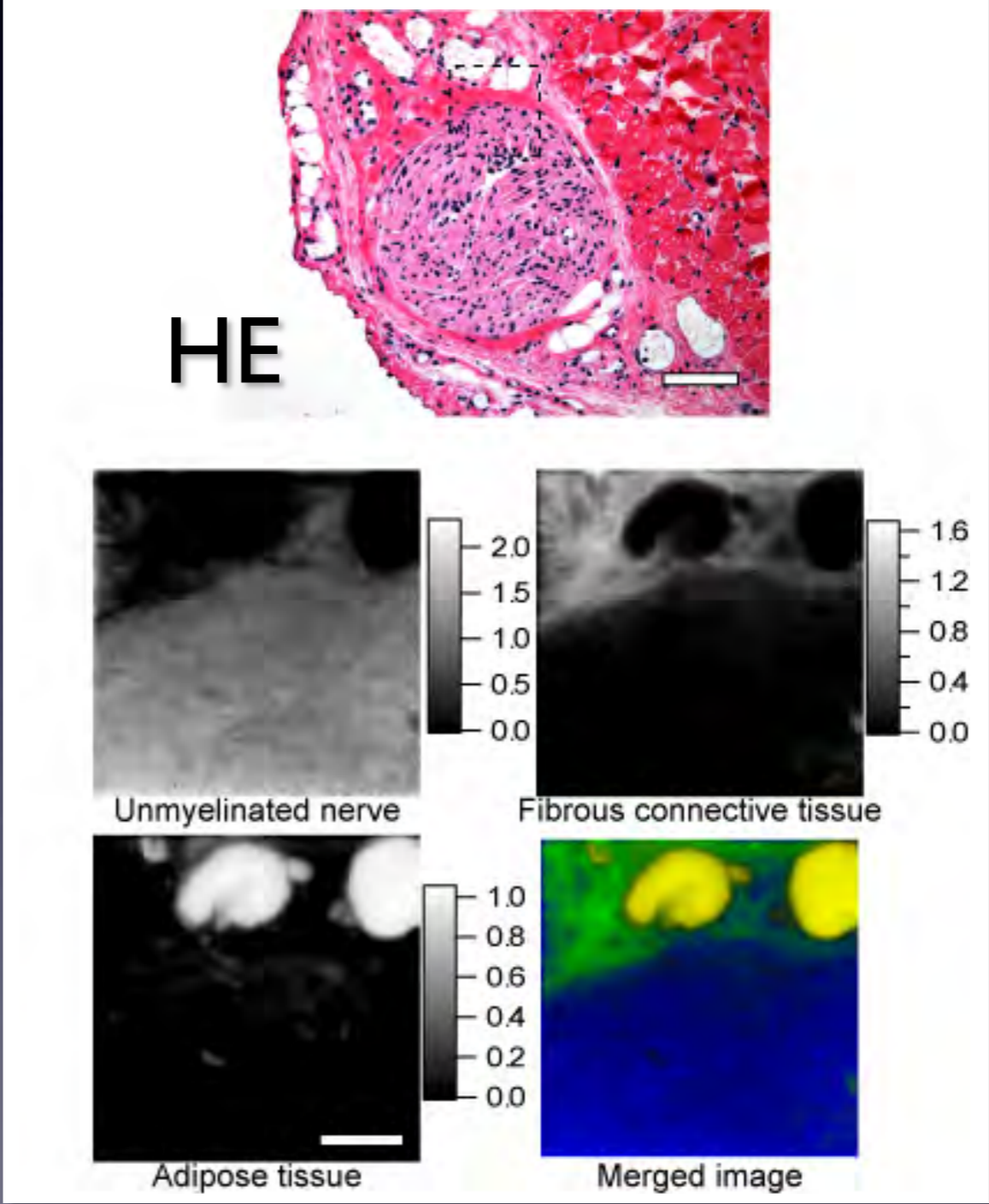
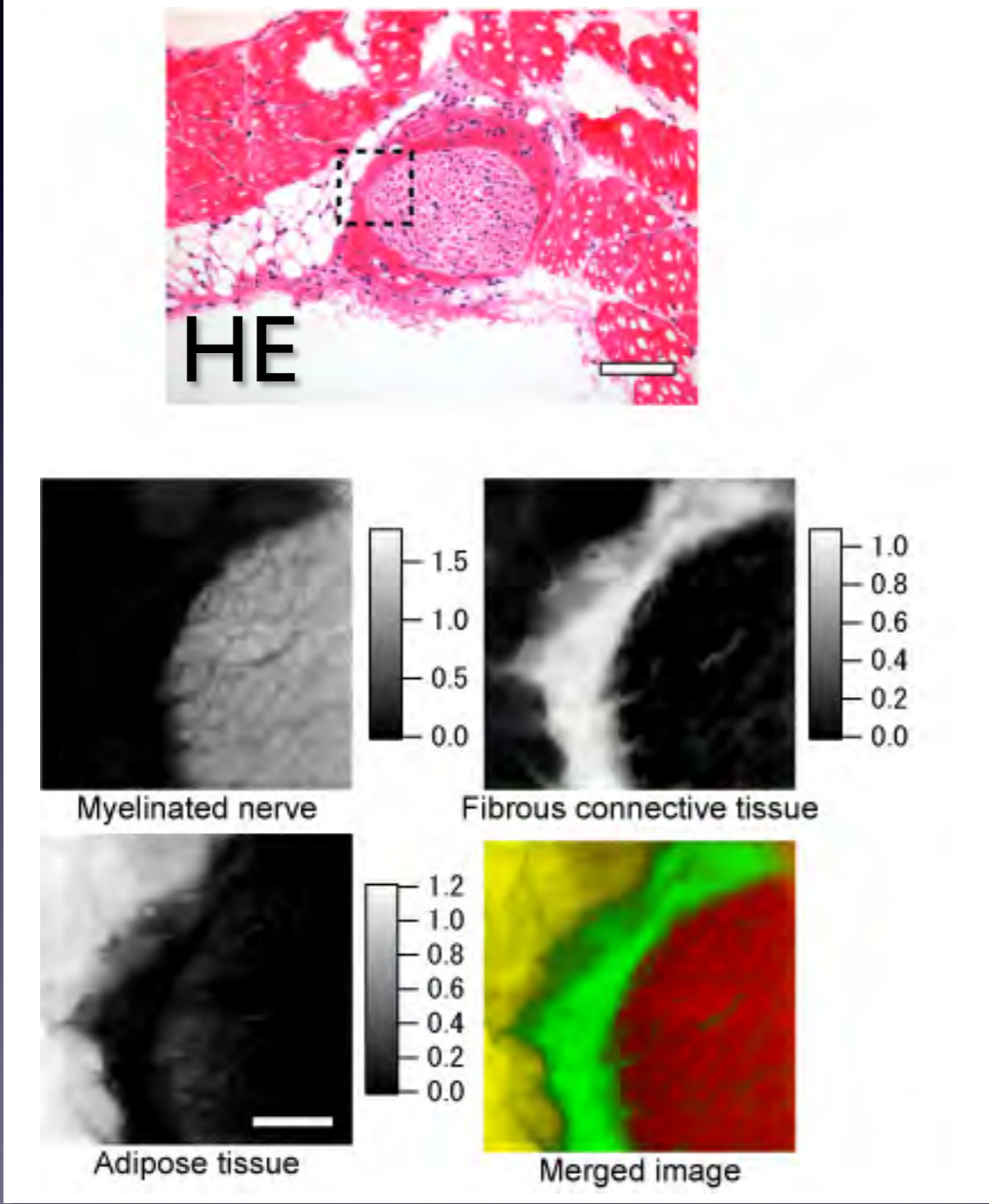
# Raman spectra of peripheral nerves (Sectioned sample)



# Raman imaging of nerves (Wistar rats)

Myelinated nerve  
(Intercostal nerve)

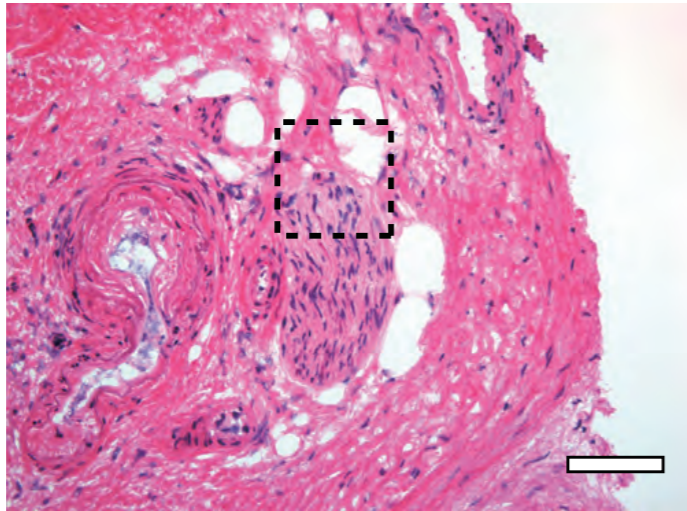
Unmyelinated nerve  
(Vagus nerve)



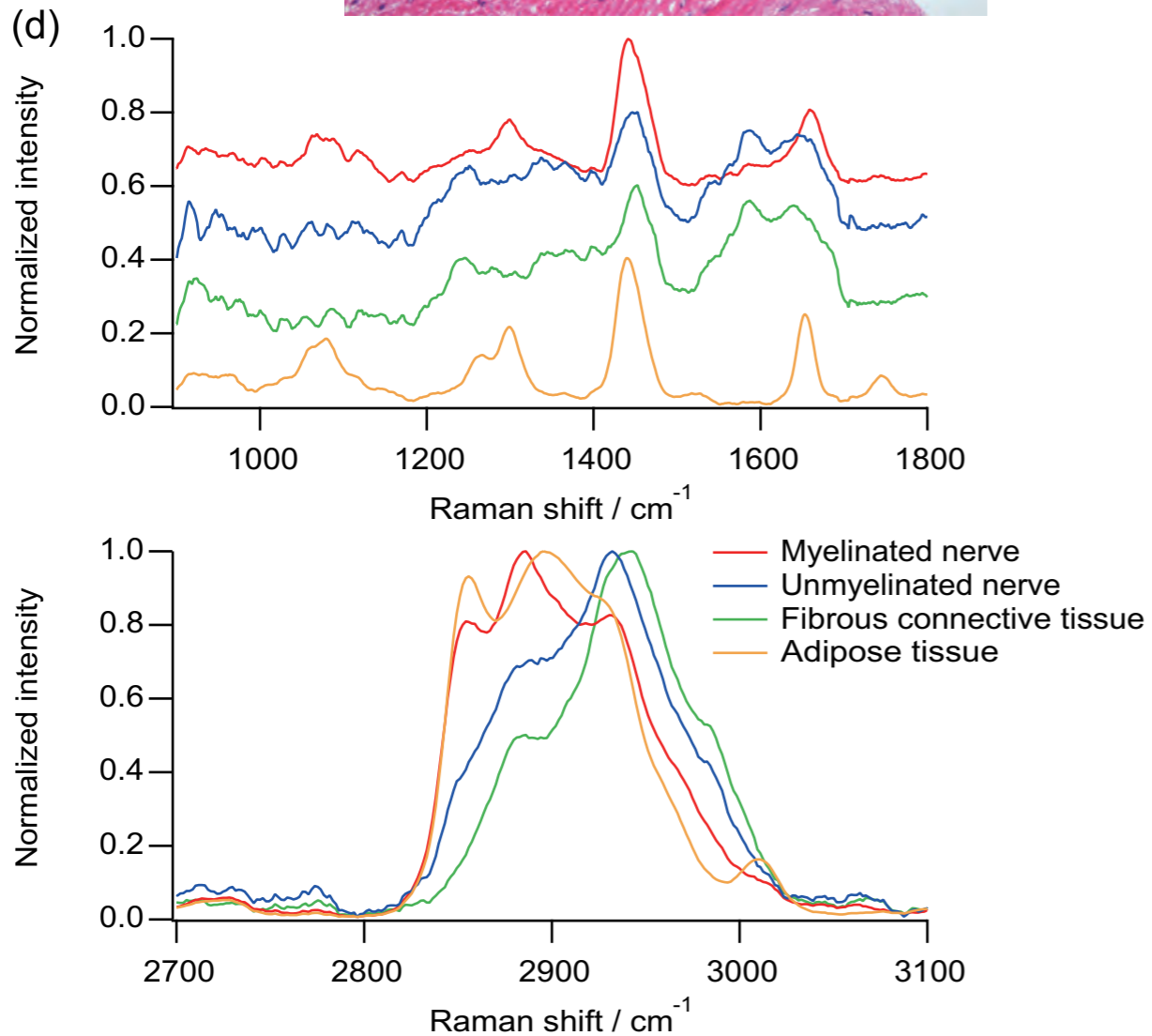
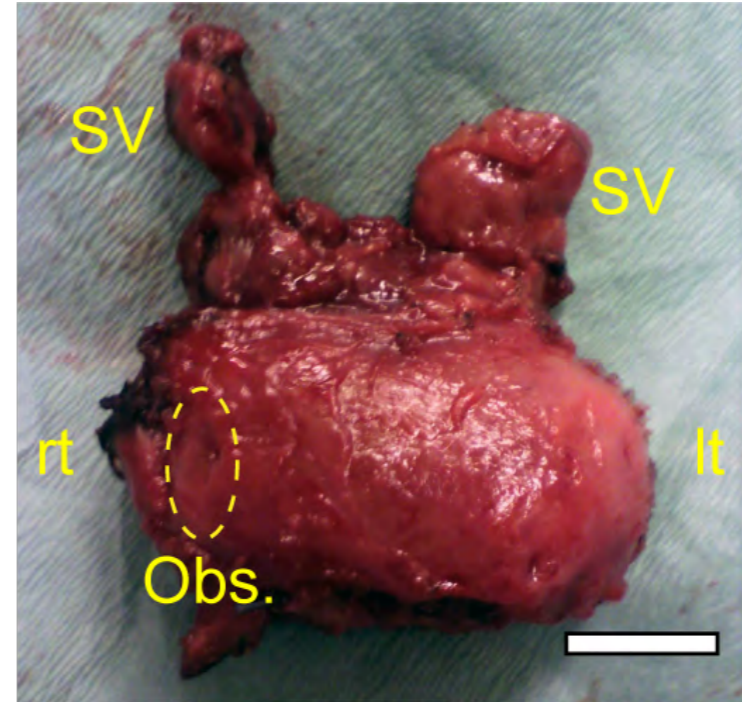
[ref] T. Minamikawa et al., Histochem Cell Biol., 139, 181 (2013).

# Raman imaging of **human** periprostate

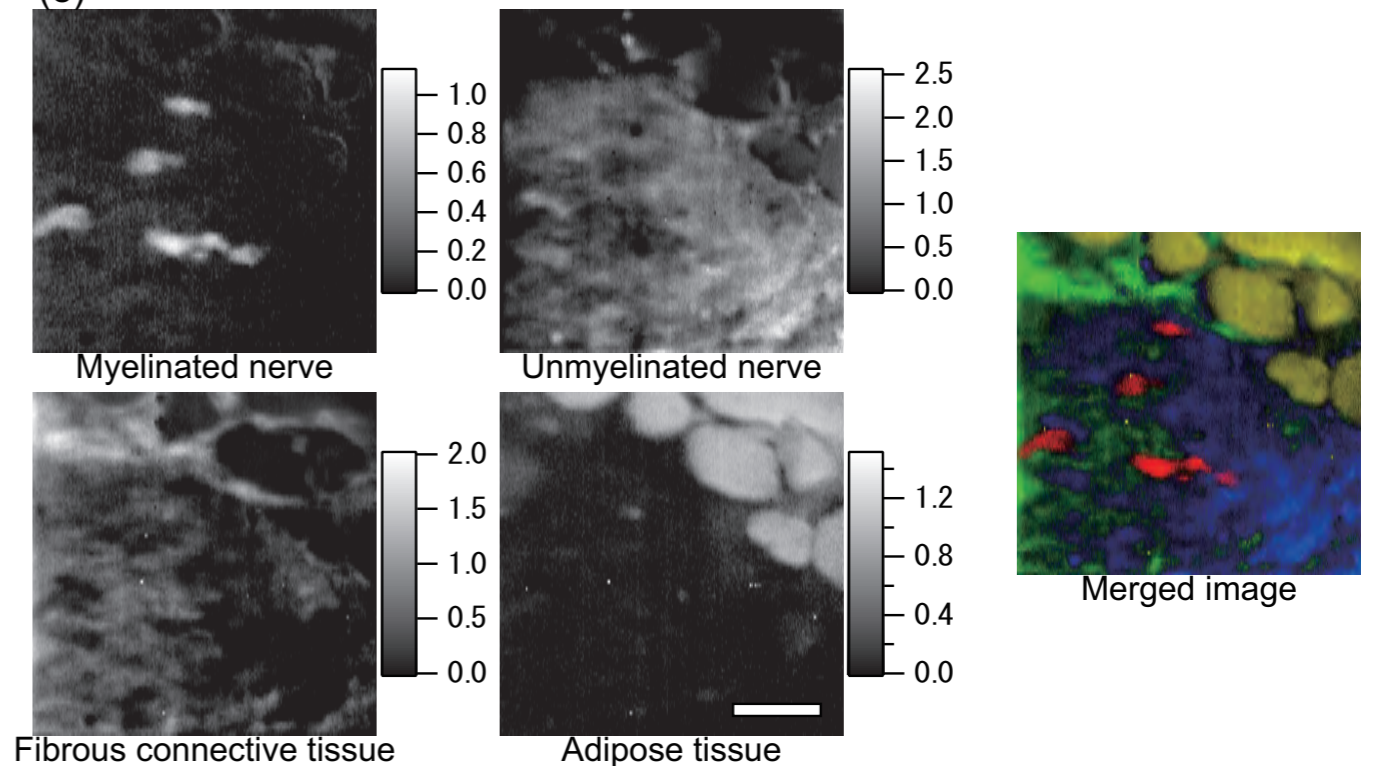
HE



(a)



(e)



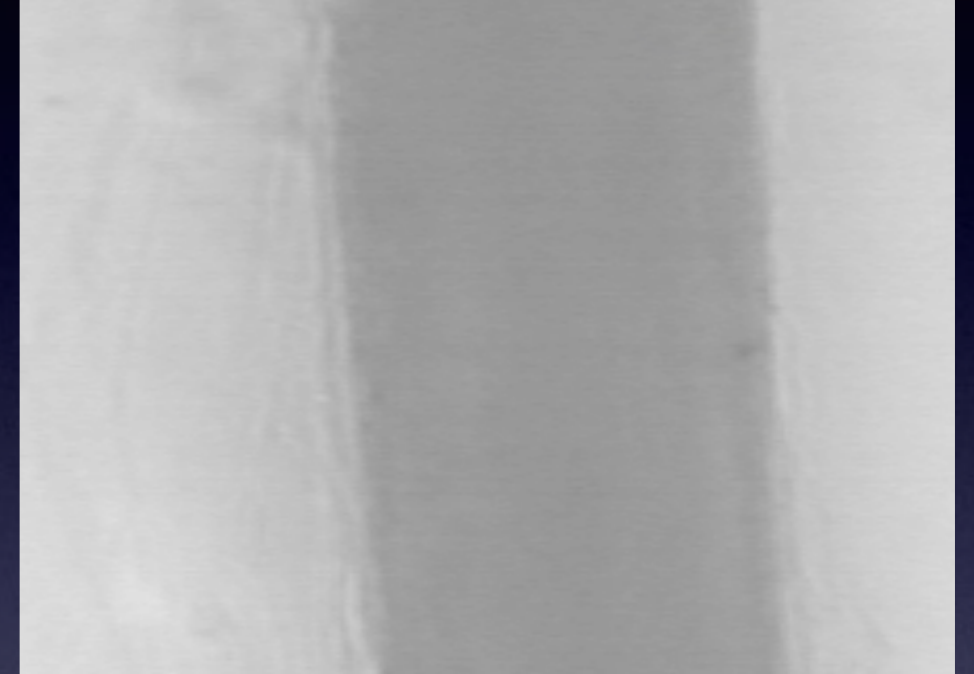
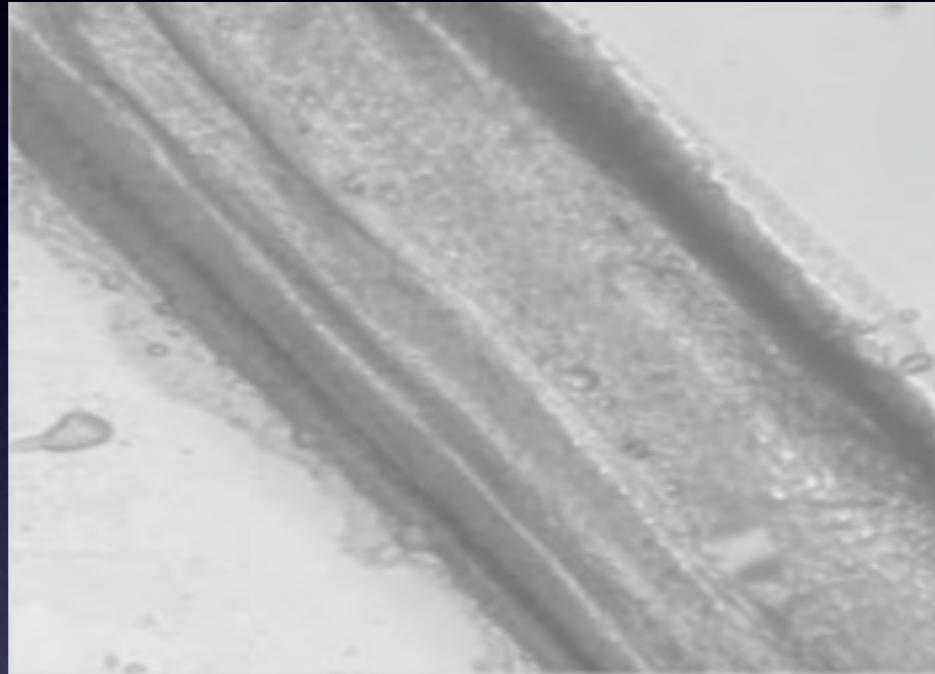


# Ex vivo imaging

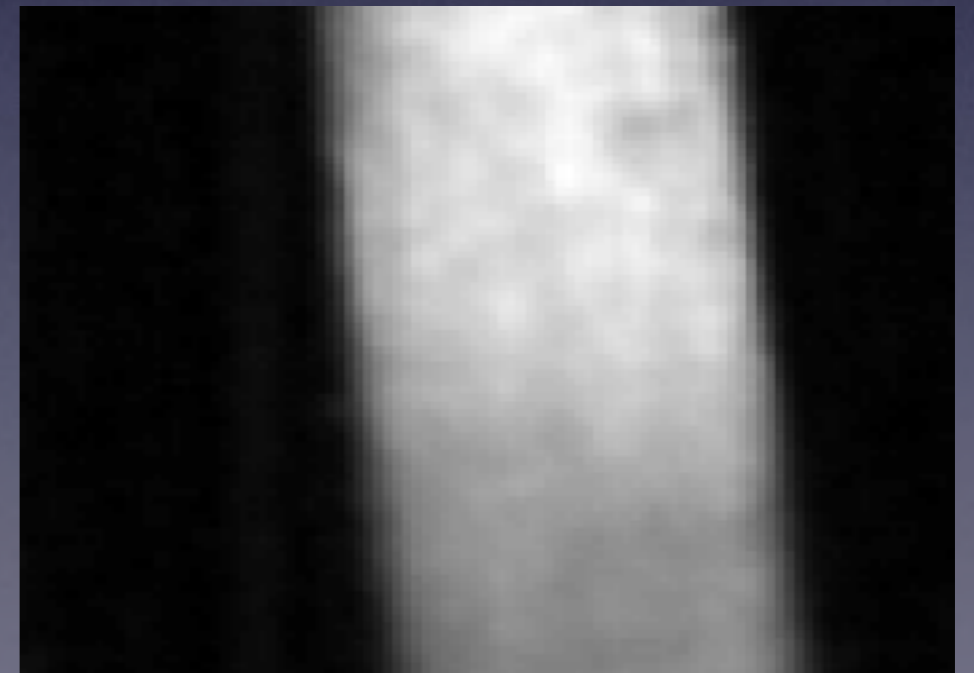
Myel nerve  
(Sciatic nerve)

Unmyel nerve  
(Vagus nerve)

White light



Raman  
(2700-3100  $\text{cm}^{-1}$ )

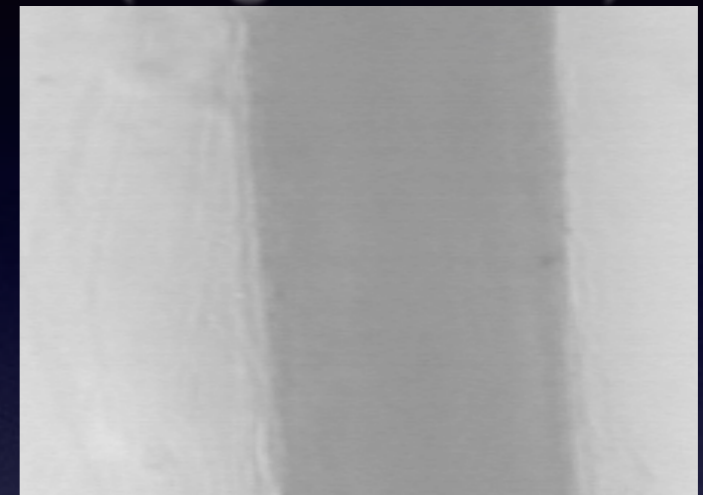


# Ex vivo imaging

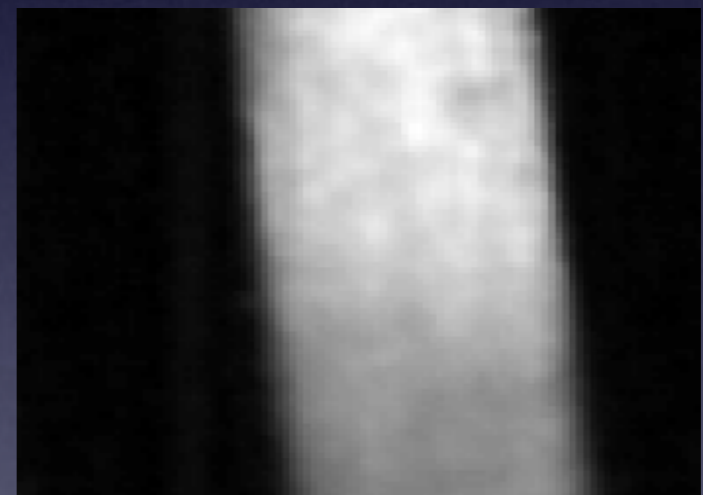
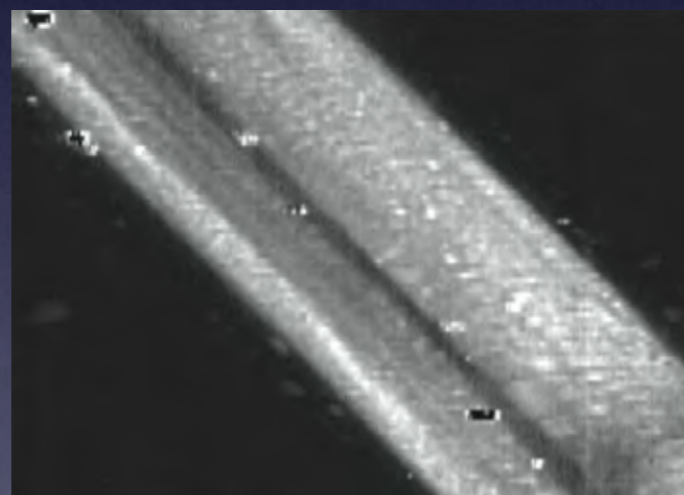
Myel nerve  
(Sciatic nerve)

Unmyel nerve  
(Vagus nerve)

White light



Raman  
(2700-3100  $\text{cm}^{-1}$ )



Prediction

R: Myel

B: Unmyel

W: Others



# Prediction

Prediction

R: Myel

B: Unmyel

W: Others



	Myel	Unmyel	Adipose	Collagenous	Muscle
Sensitivity (%)	95.5	88.3	96.5	89.2	88.2
Specificity (%)	99.4	93.5	100	98.0	98.6

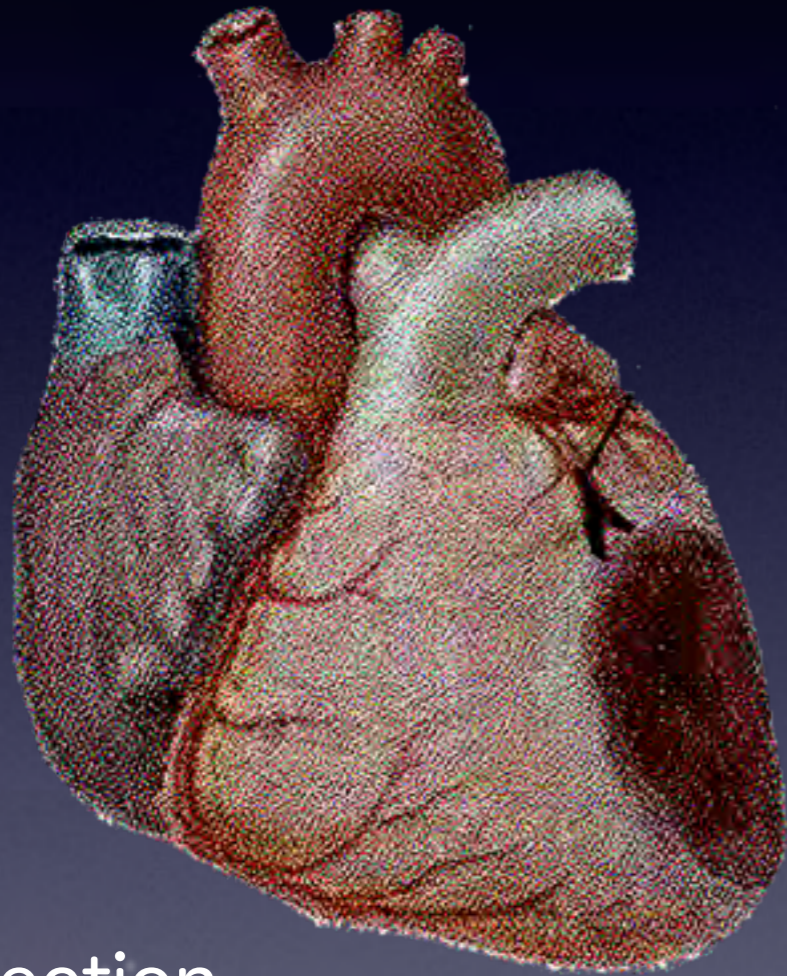
# Medical applications II

- Myocardial infarction -

# Myocardial infarction (MI)

Death of cardiomyocytes due to prolonged ischemia

Severe heart dysfunction



## Treatment of MI

Resection

(SVR: Surgical ventricular restoration)

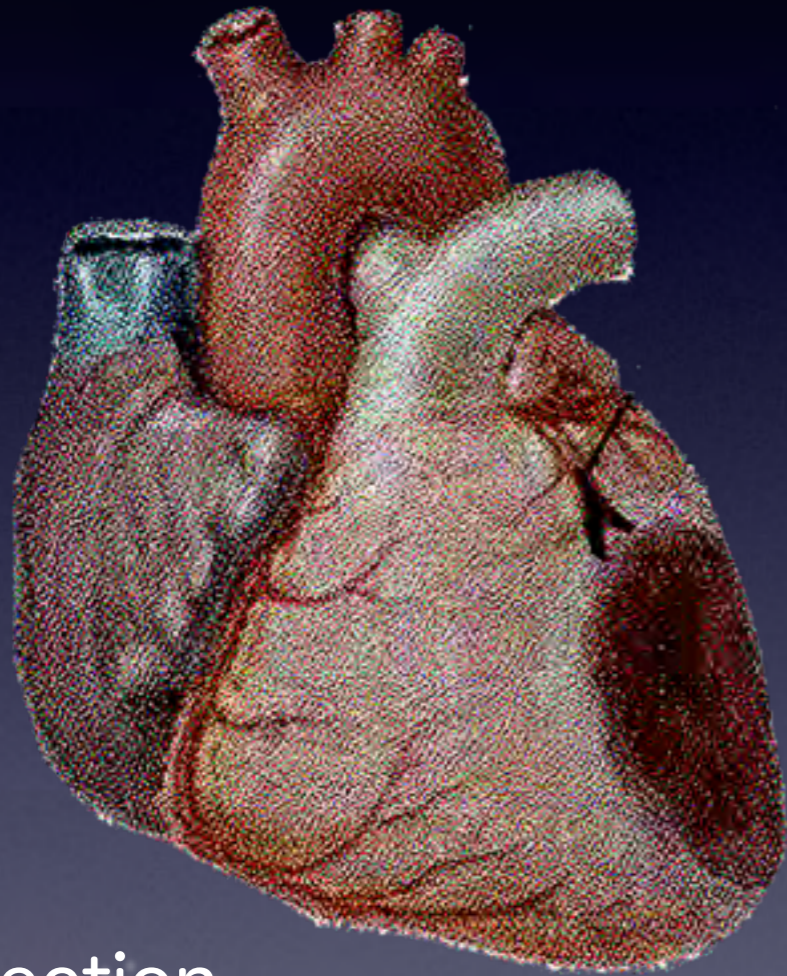
Revascularization

(CABG: Coronary artery bypass grafting)

# Myocardial infarction (MI)

Death of cardiomyocytes due to prolonged ischemia

Severe heart dysfunction



Treatment of MI

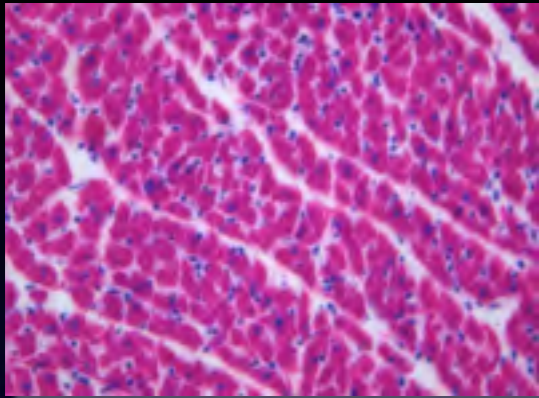


Assessment of MI

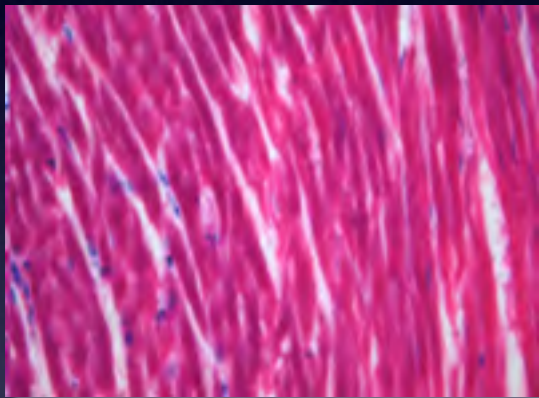
Resection  
(SVR: Surgical ventricular restoration)

Revascularization  
(CABG: Coronary artery bypass grafting)

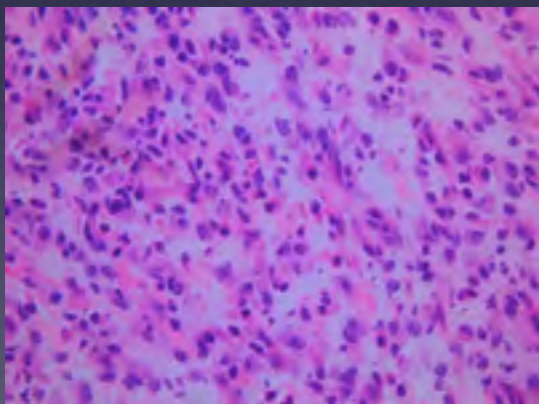
# Development of myocardial infarction



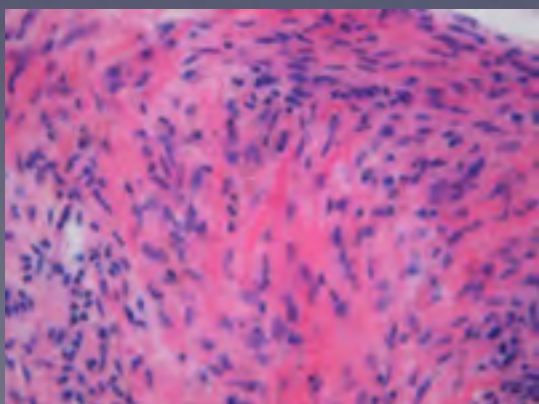
Normal  
Living cardiomyocytes



Necrosis  
Dead cardiomyocytes



Granulation  
Inflammatory cells  
Angiogenesis etc



Fibrosis  
Collagen

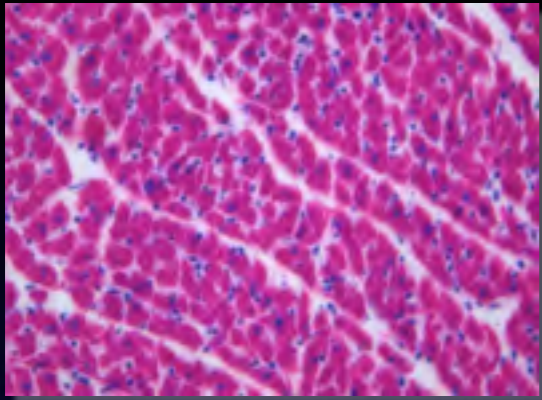


Ischemia

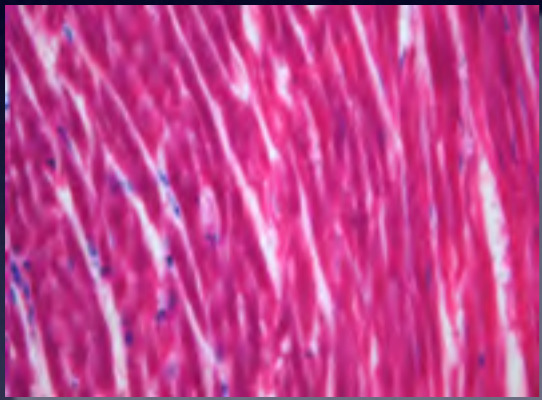
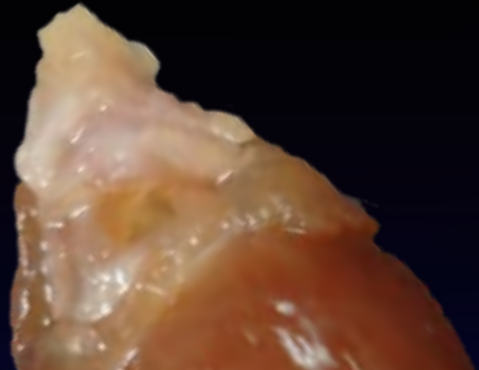


Infarction!!

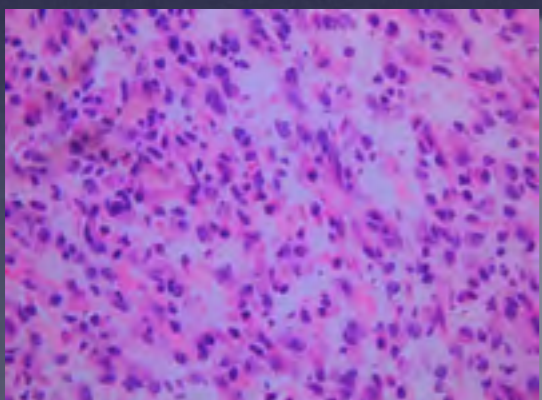
# Development of myocardial infarction



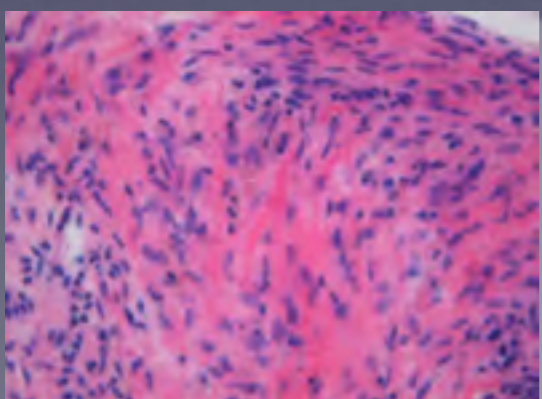
Normal  
Living cardiomyocytes



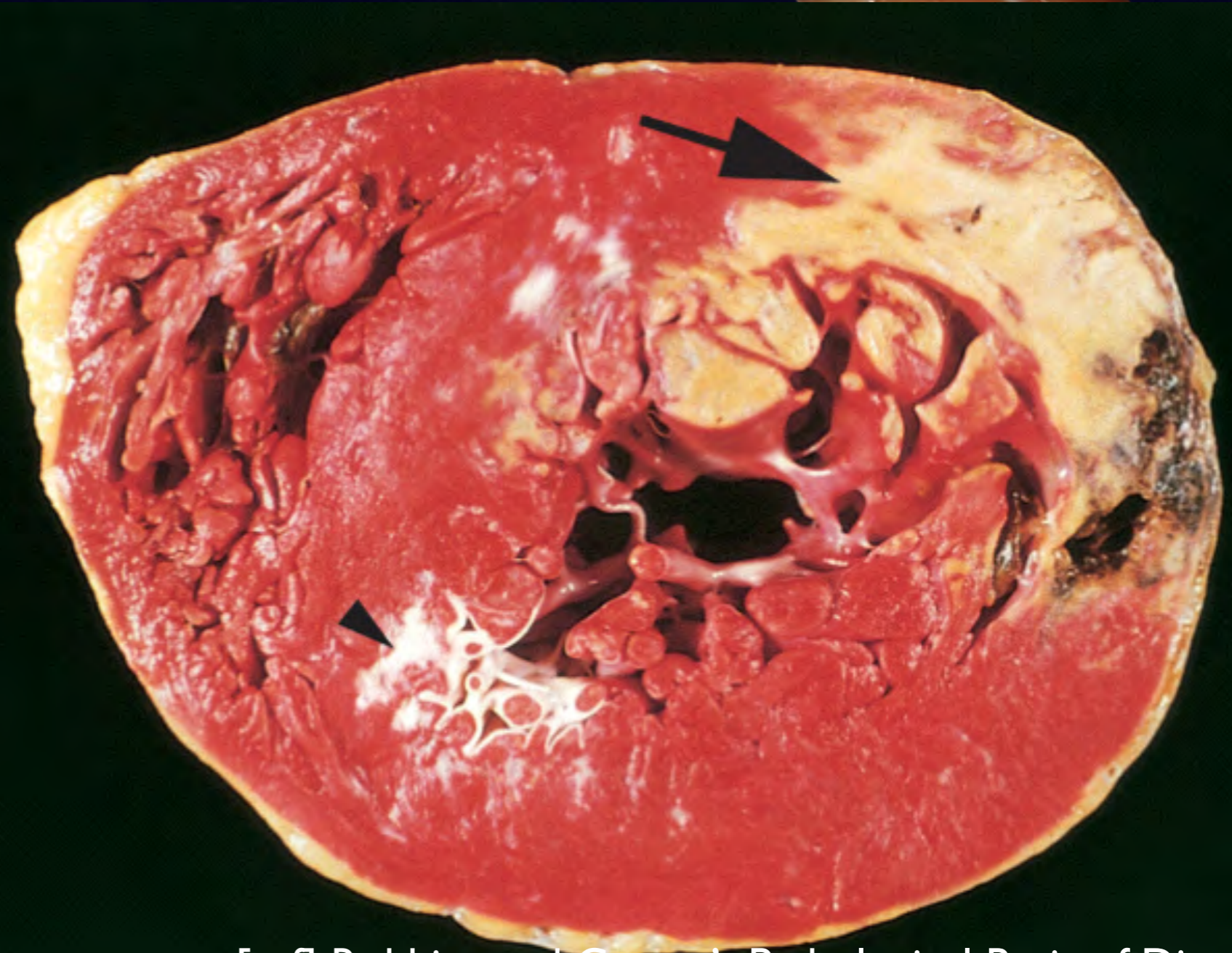
Necrotic  
Cardiomyocytes



Granulation  
Tissue  
Inflammation



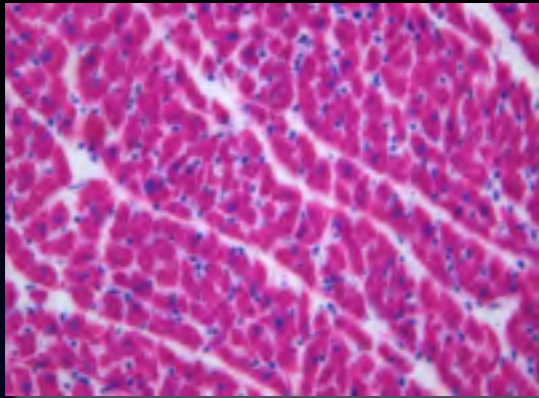
Fibrous  
Scar



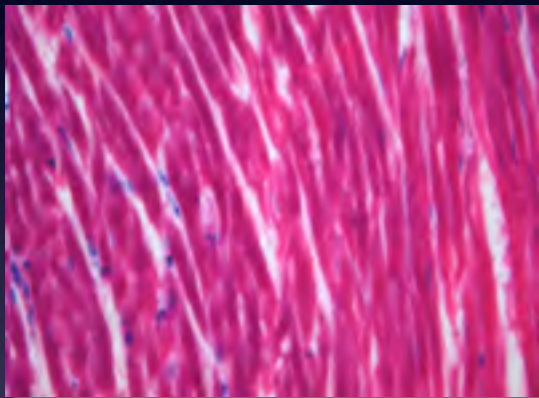
[ref] Robbins and Cotran's Pathological Basis of Disease



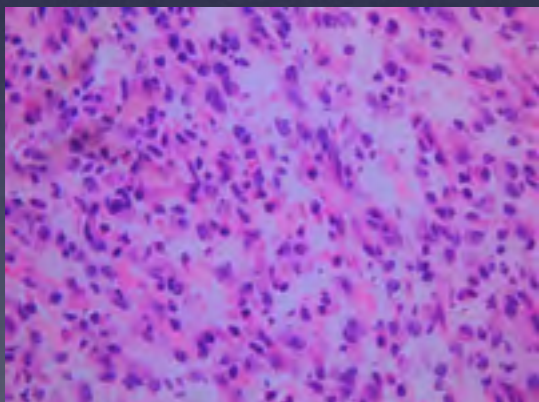
# Development of myocardial infarction



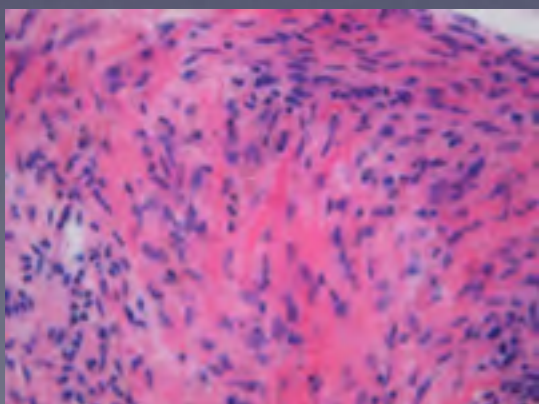
**Normal**  
Living cardiomyocytes



**Necrosis**  
Dead cardiomyocytes



**Granulation**  
Inflammatory cells  
Angiogenesis etc



**Fibrosis**  
Collagen



**Ischemia**



**Infarction!!**

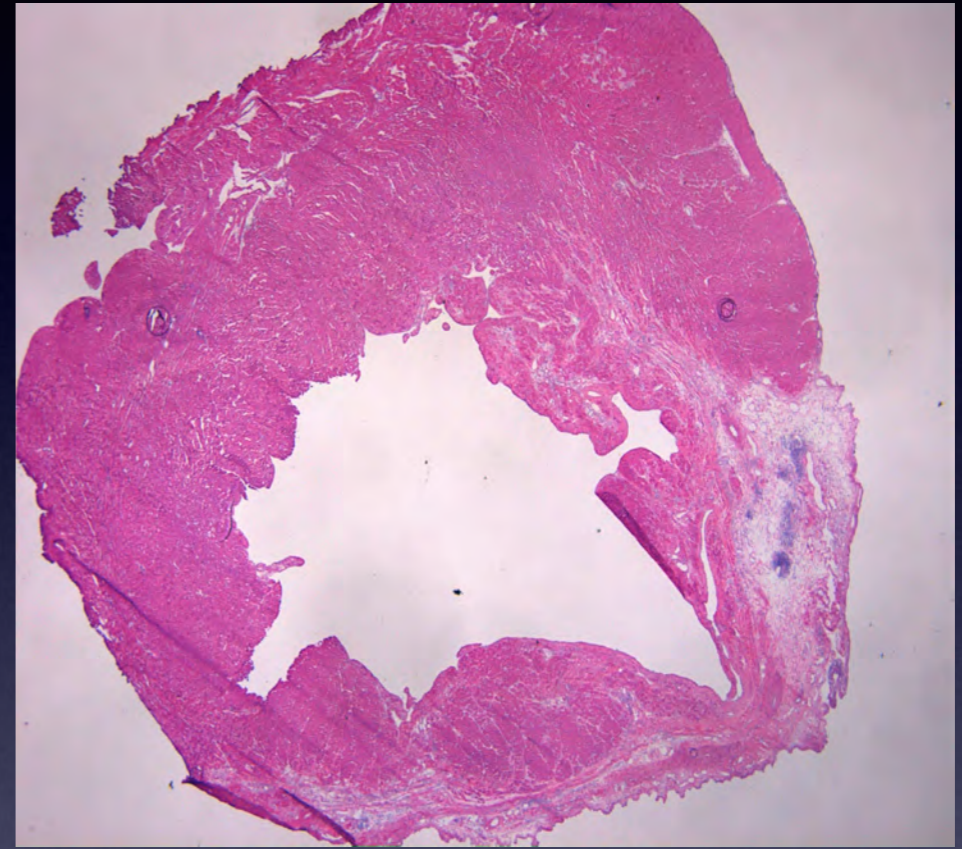
# Conventional methods for assessing MI

## MRI



Visualization of infarcted region  
In vivo assessment  
Requires contrast agents  
Limits in histological analysis  
Requires large system

## Histopathological analysis



Visualization of histology  
Ex vivo assessment  
Requires invasive biopsy  
Requires sectioning and staining

# Myocardial infarction model



Female Wistar rat  
(8-wks-old)



Ligated at left anterior  
descending branch

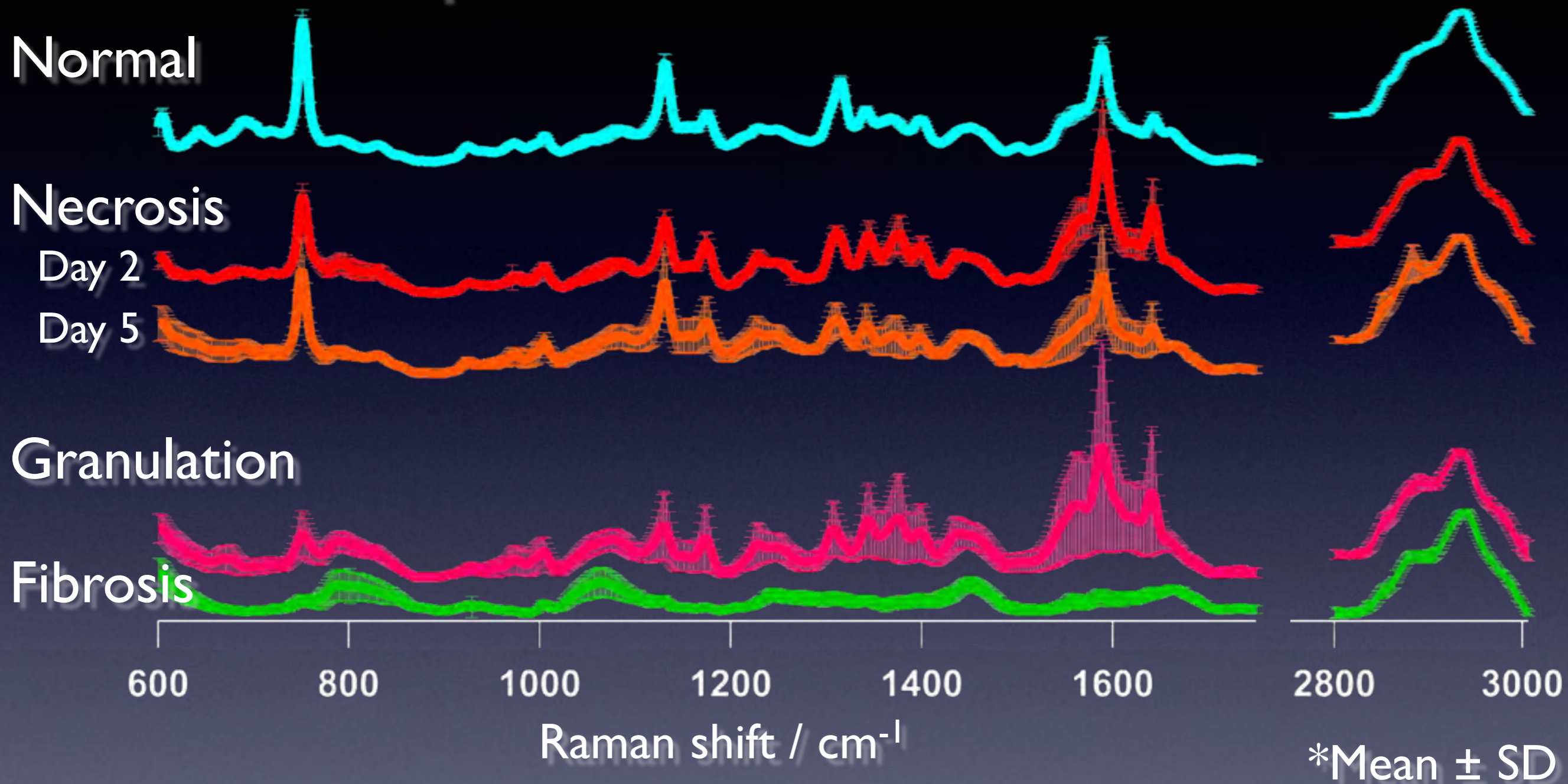


Excised at each  
post-ligation time

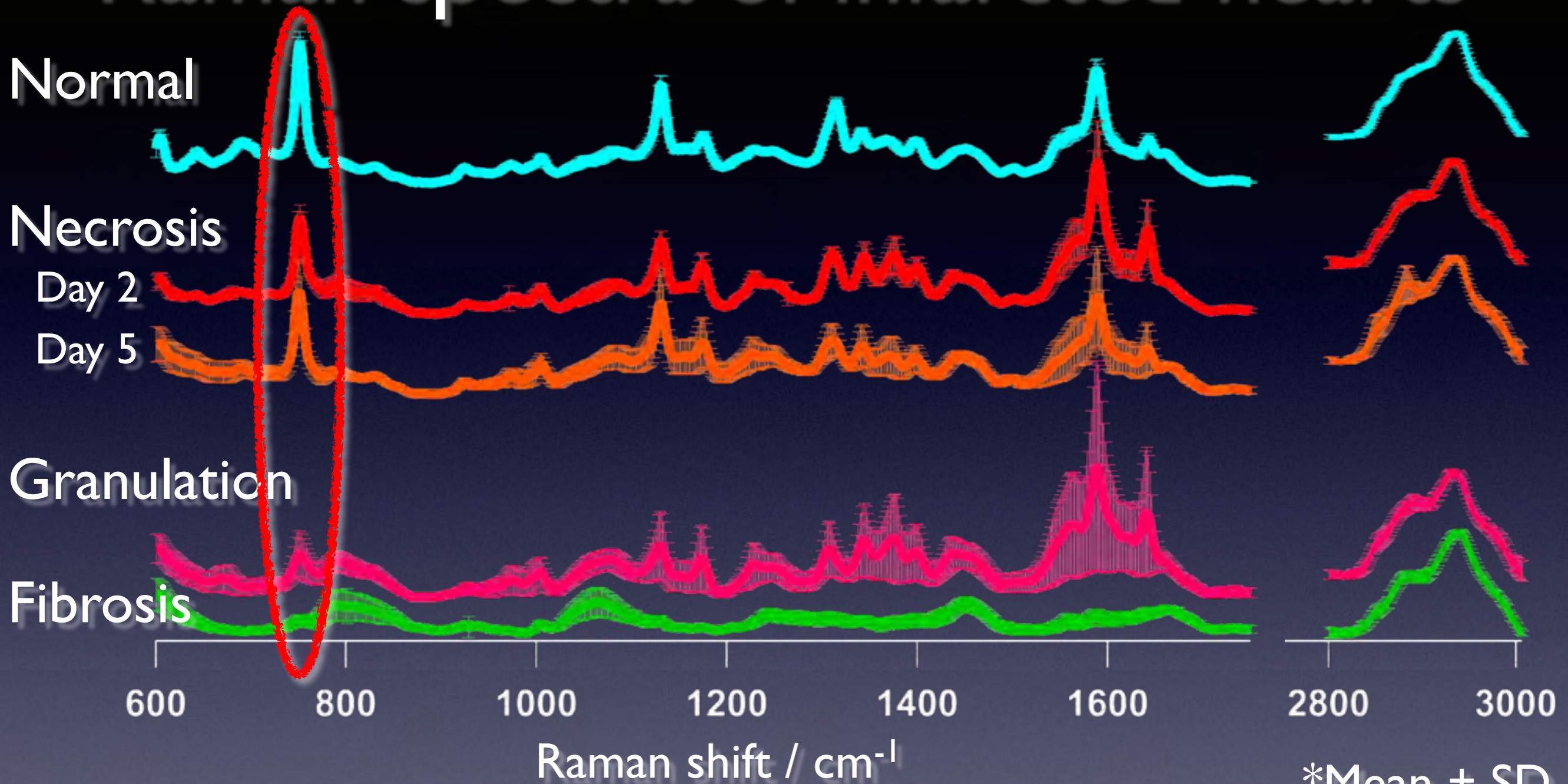
- |         |  |
|---------|--|
| Normal  | : Normal myocardial tissue             |
| 2 days  | : Coagulation necrosis                 |
| 5 days  | : Coagulation necrosis and granulation |
| 21 days | : Fibrosis                             |

All animal experiments were conducted with the approval of and in accordance with guidelines from the Committee for Animal Research, Kyoto Prefectural University of Medicine, Japan.

# Raman spectra of infarcted hearts

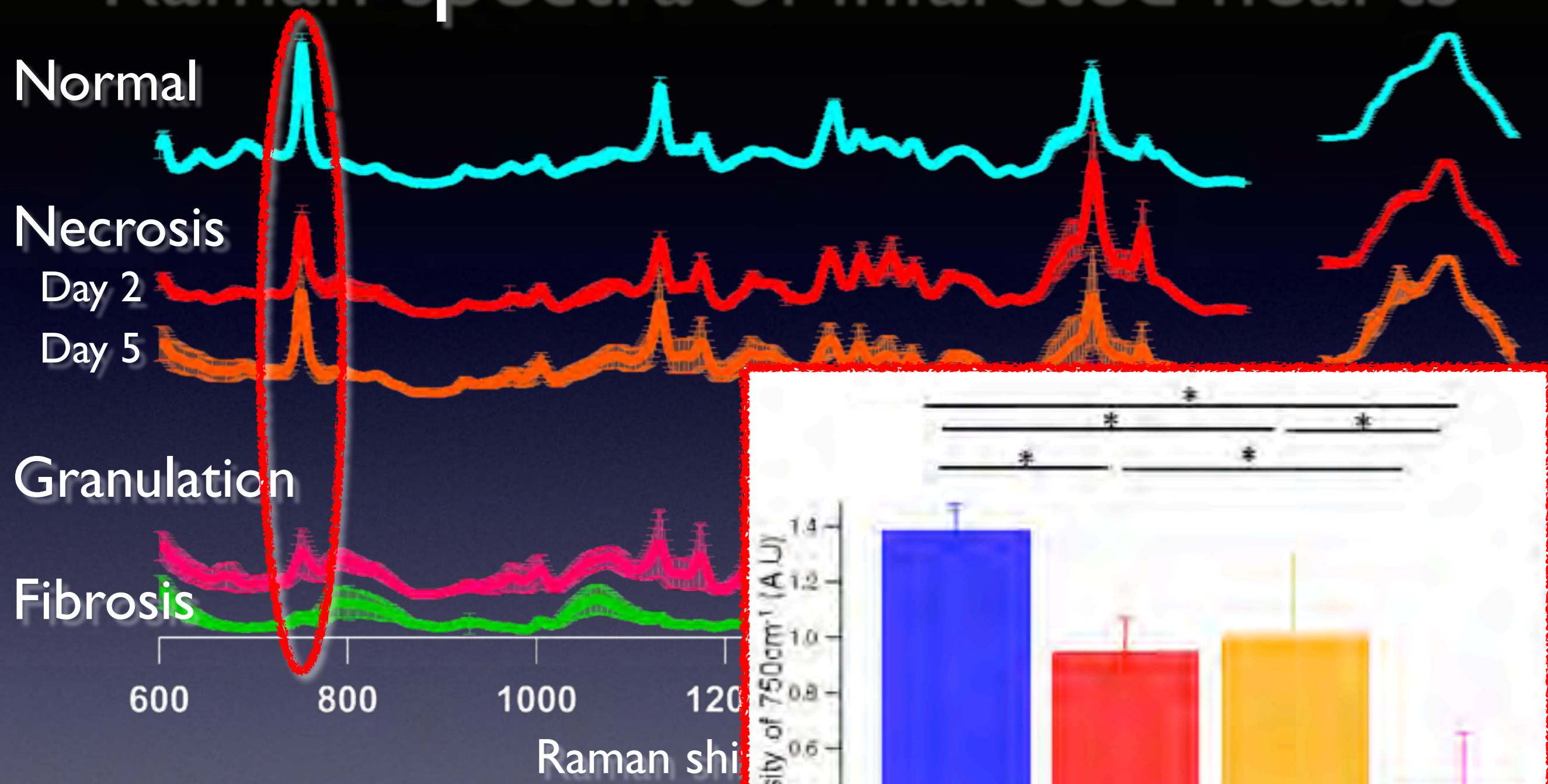


# Raman spectra of infarcted hearts

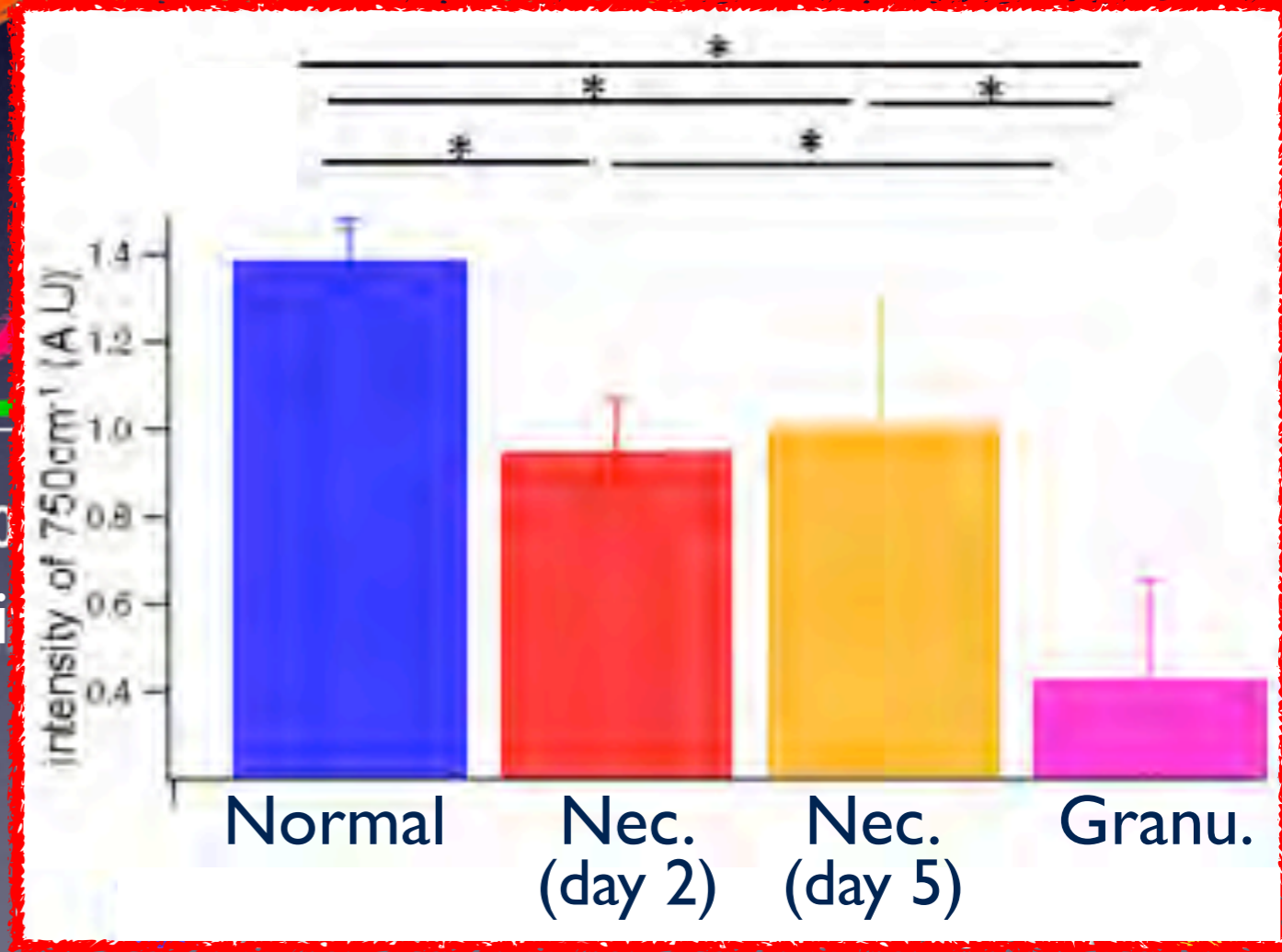


750  $\text{cm}^{-1}$  : Cytochrome c [2]

# Raman spectra of infarcted hearts

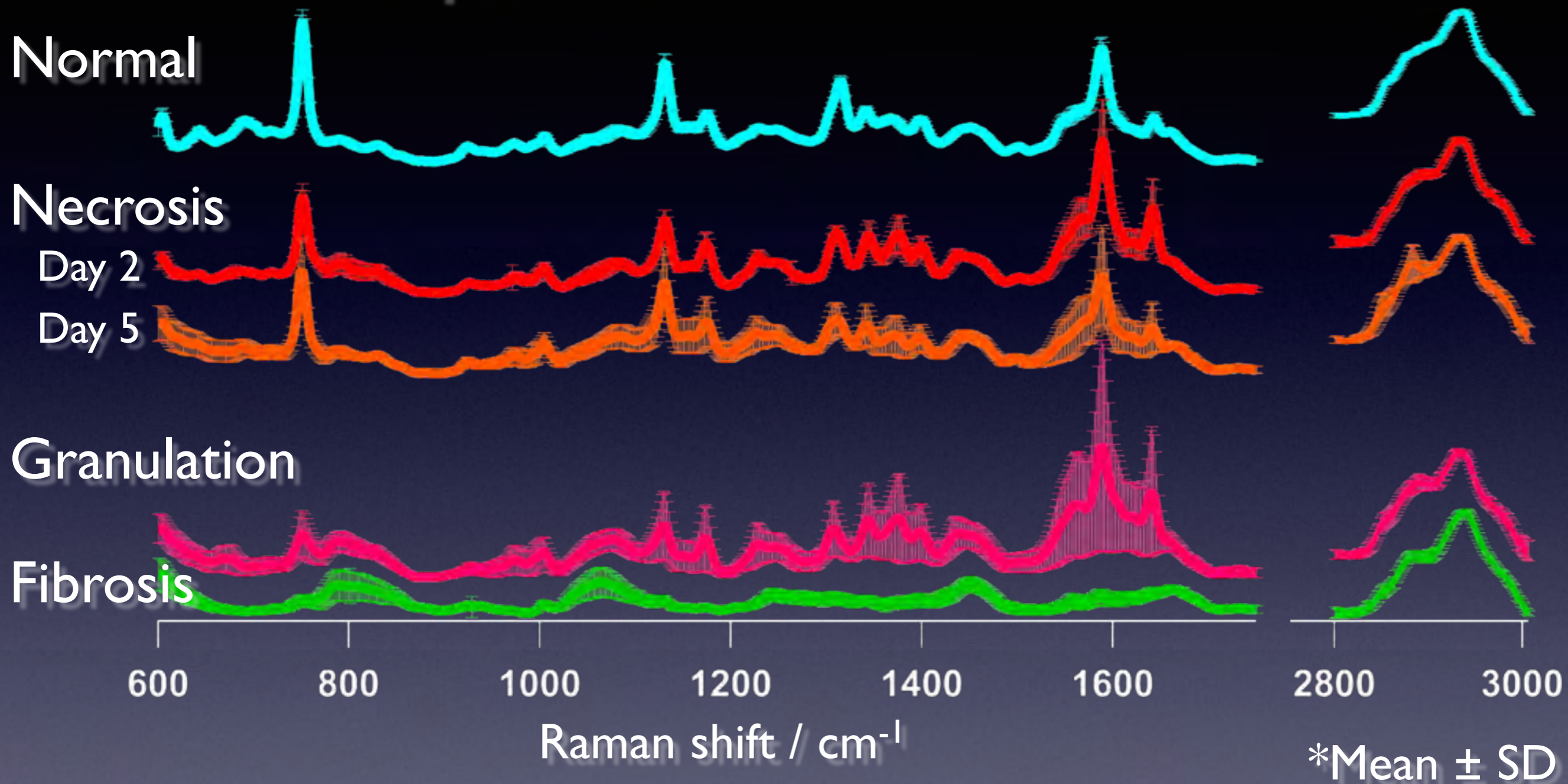


750 cm<sup>-1</sup> : Cytochrome c [2]



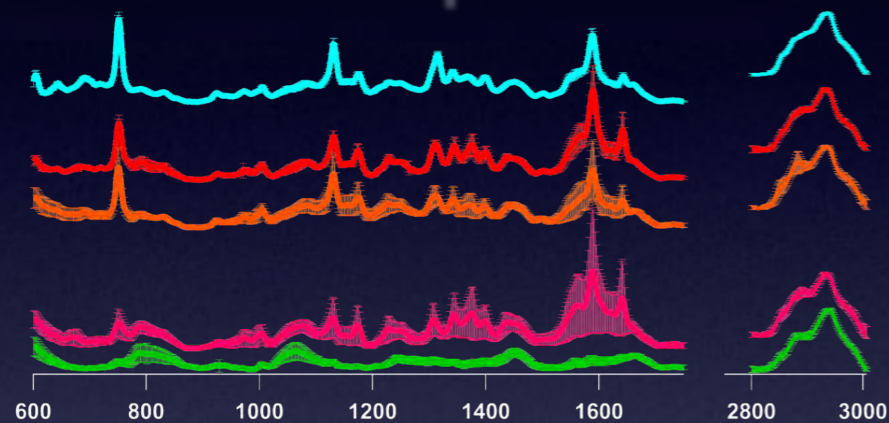
[1] N.N Muranishi et al., Anal. Chem, (2014).

# Raman spectra of infarcted hearts



# Partial least-squares regression discriminant analysis (PLS-DA)

## ✓ Raman spectrum



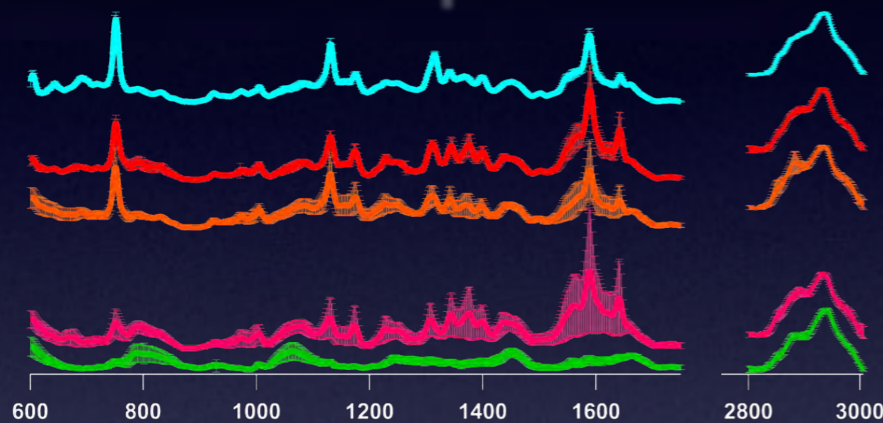
## ✓ Tissue types

{ Normal  
Necrosis  
Granulation  
Fibrosis



# Partial least-squares regression discriminant analysis (PLS-DA)

## ✓ Raman spectrum

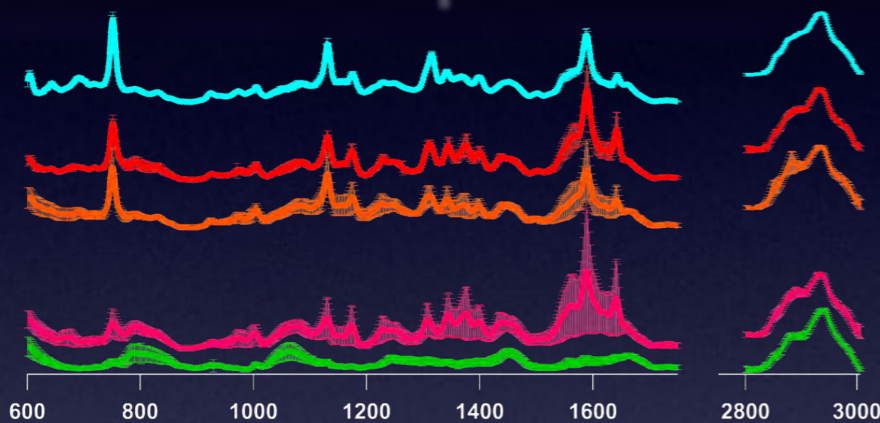


## ✓ Tissue types

{  
Normal  
Necrosis  
Granulation  
Fibrosis

# Partial least-squares regression discriminant analysis (PLS-DA)

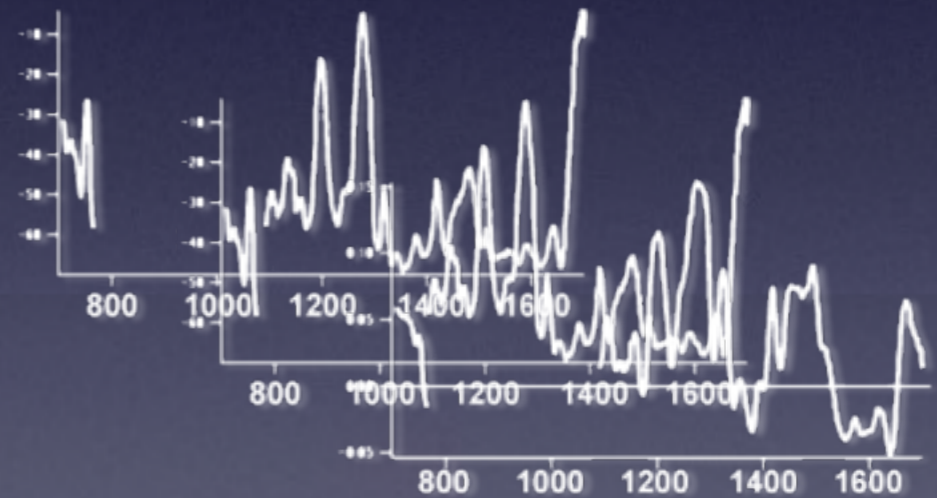
## ✓ Raman spectrum



## ✓ PLS

Extract featured components

- Latent variables (LV)
- Scores



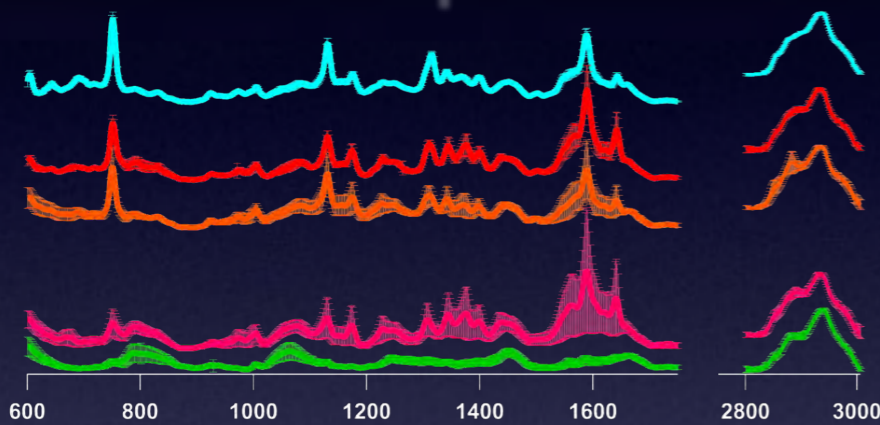
LV1, LV2, LV3...

## ✓ Tissue types

Normal  
Necrosis  
Granulation  
Fibrosis

# Partial least-squares regression discriminant analysis (PLS-DA)

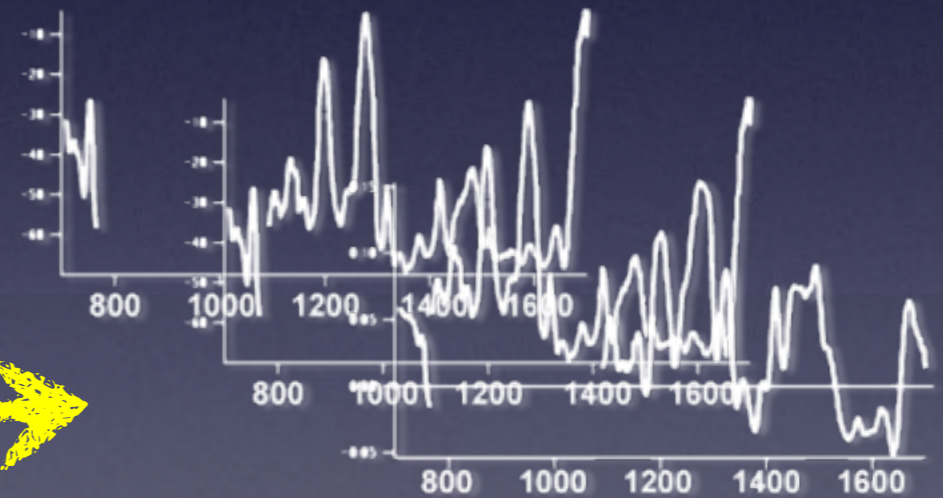
## ✓ Raman spectrum



## ✓ PLS

Extract featured components

- Latent variables (LV)
- Scores



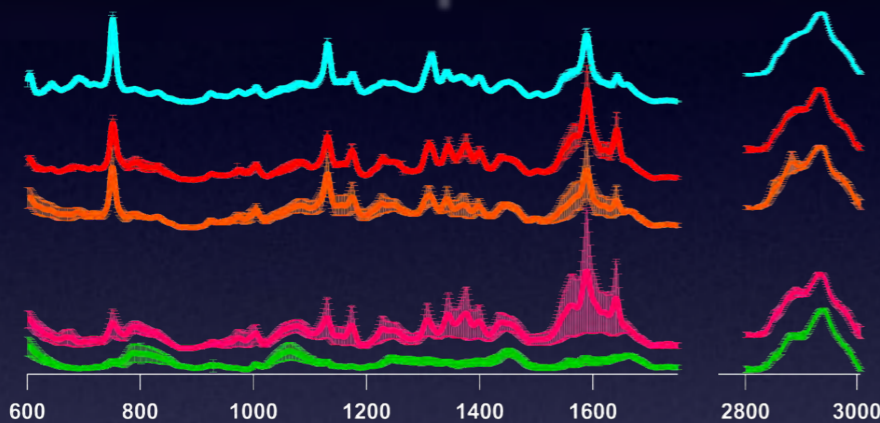
## ✓ Tissue types

Normal  
Necrosis  
Granulation  
Fibrosis

**Related!**

# Partial least-squares regression discriminant analysis (PLS-DA)

✓ Raman spectrum



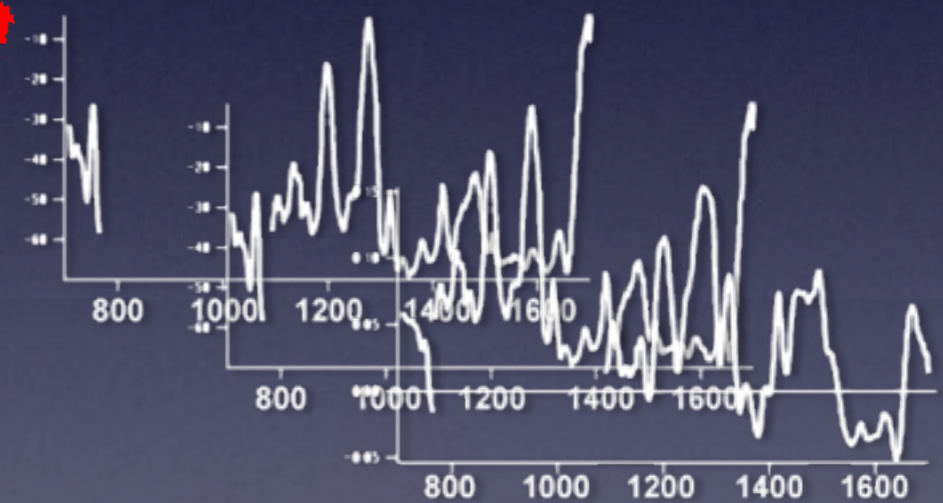
✓ PLS

Extract featured components

- Latent variables (LV)
- Scores

✓ Tissue types

Normal  
Necrosis  
Granulation  
Fibrosis

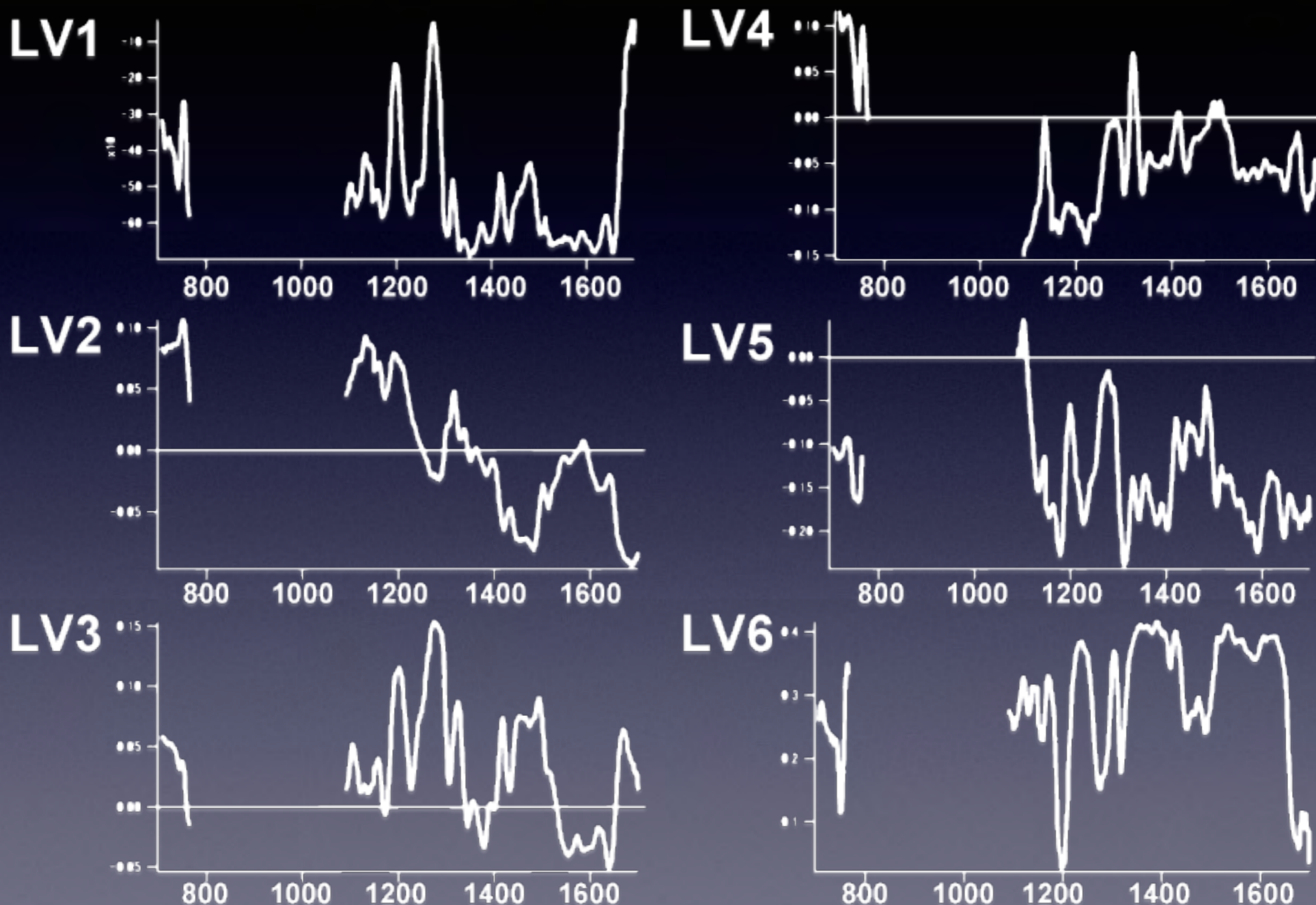


LV1, LV2, LV3...

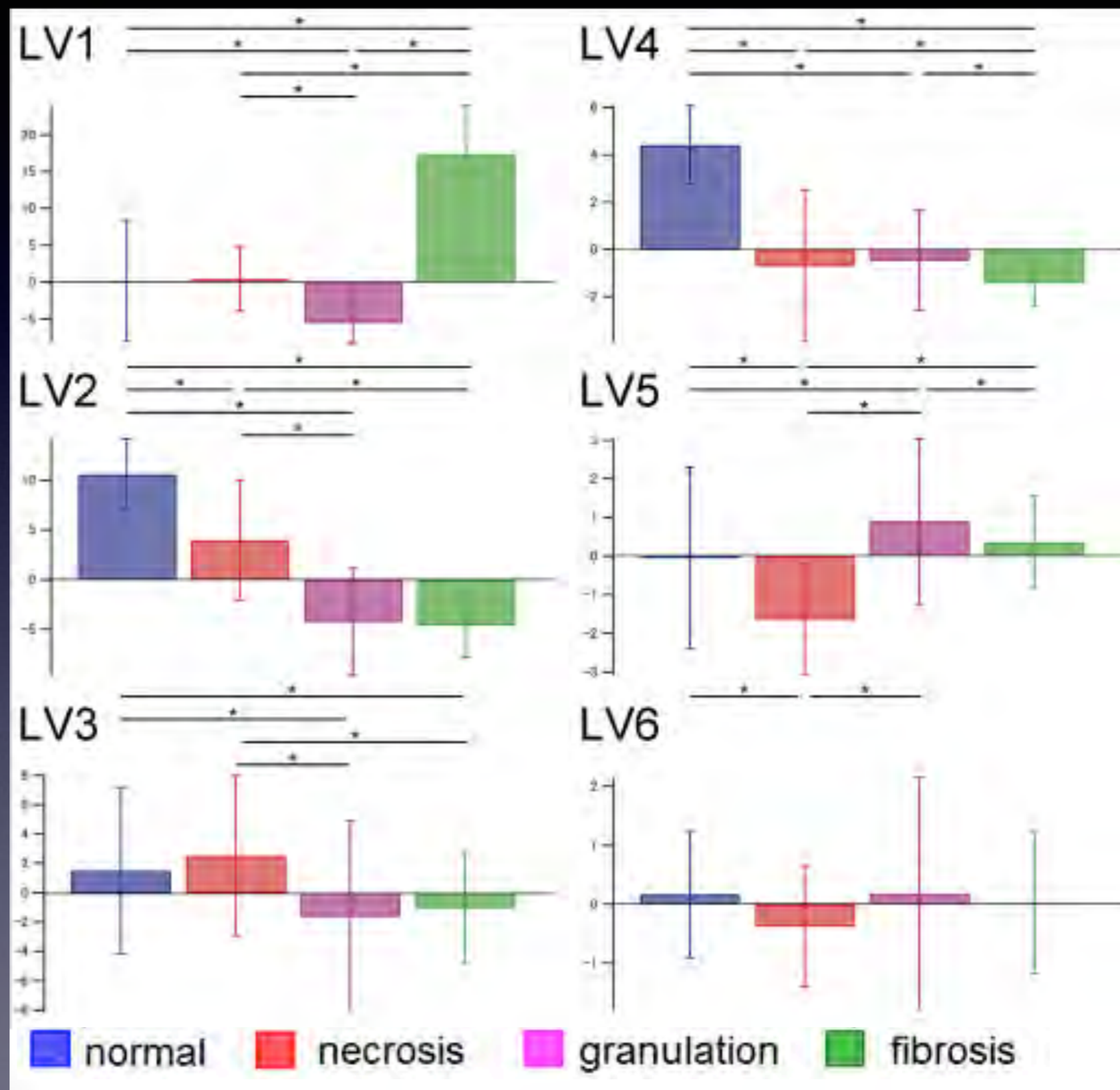
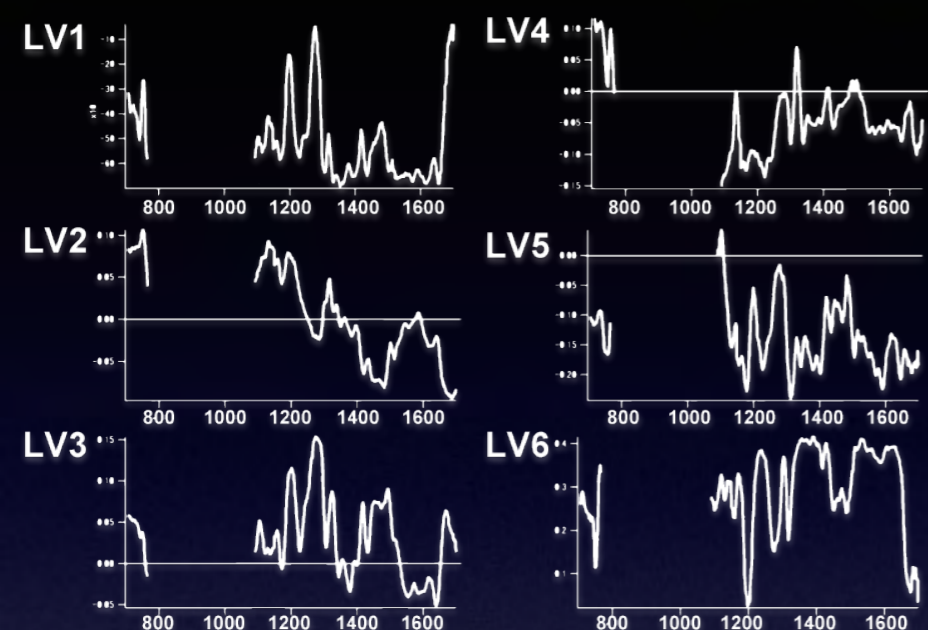
✓ Linear DA

Prediction model of tissue types

# Latent variables of PLS-DA

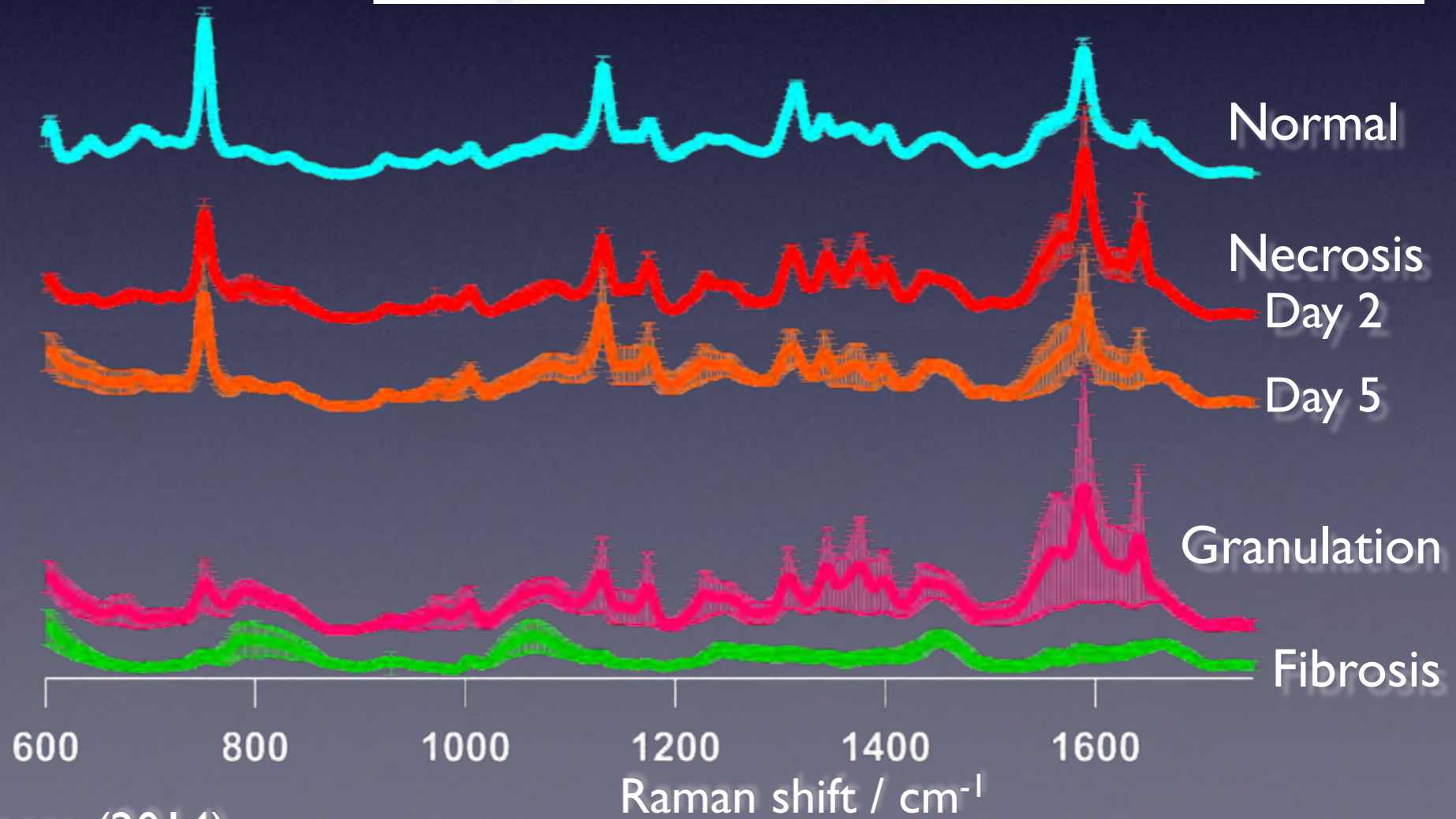
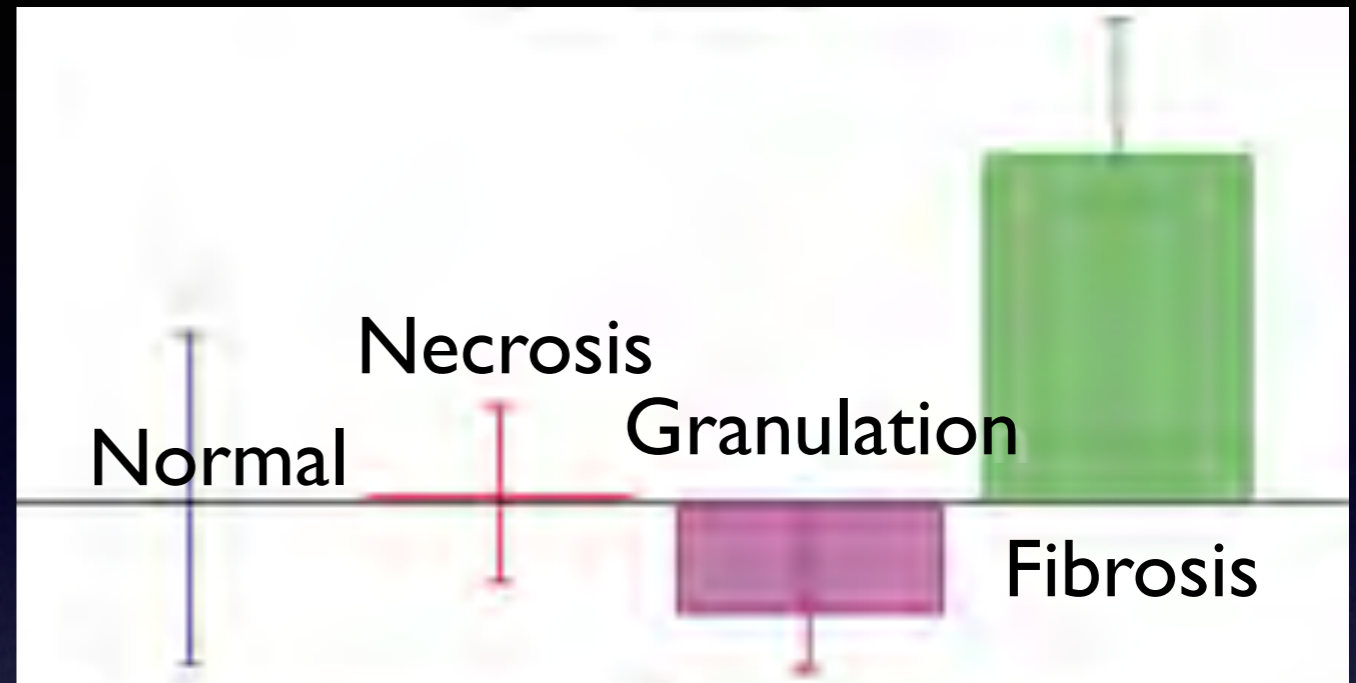
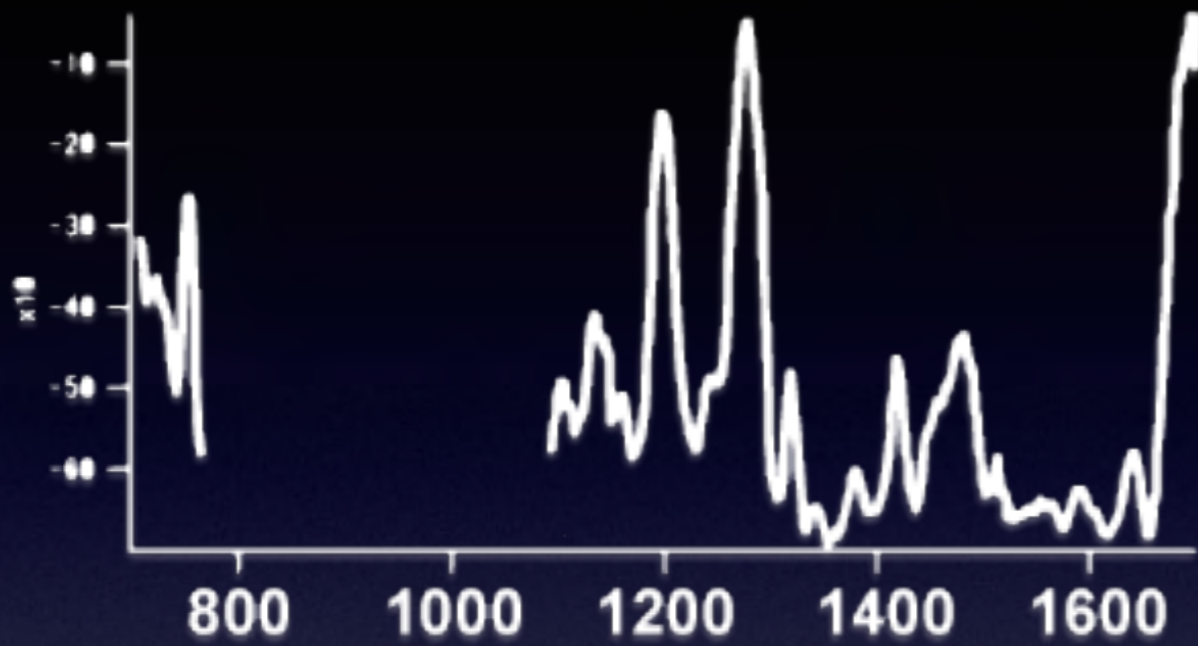


# Scores of PLS-DA

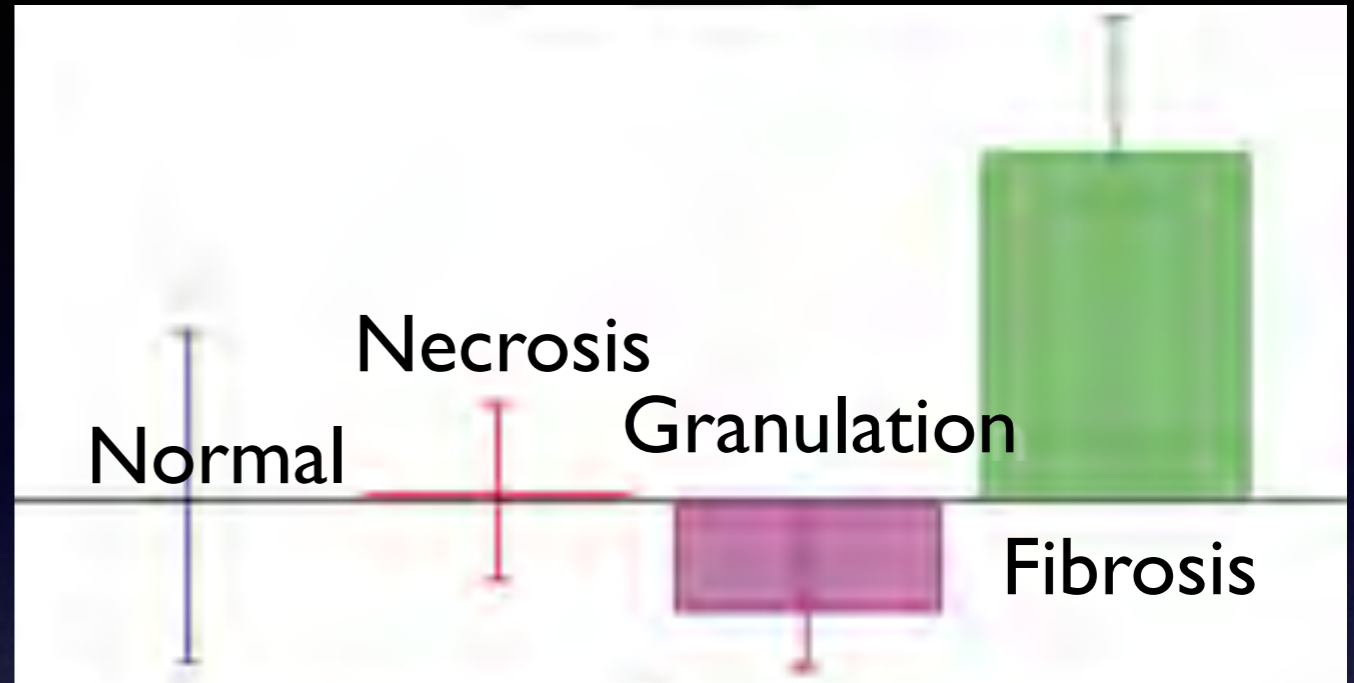
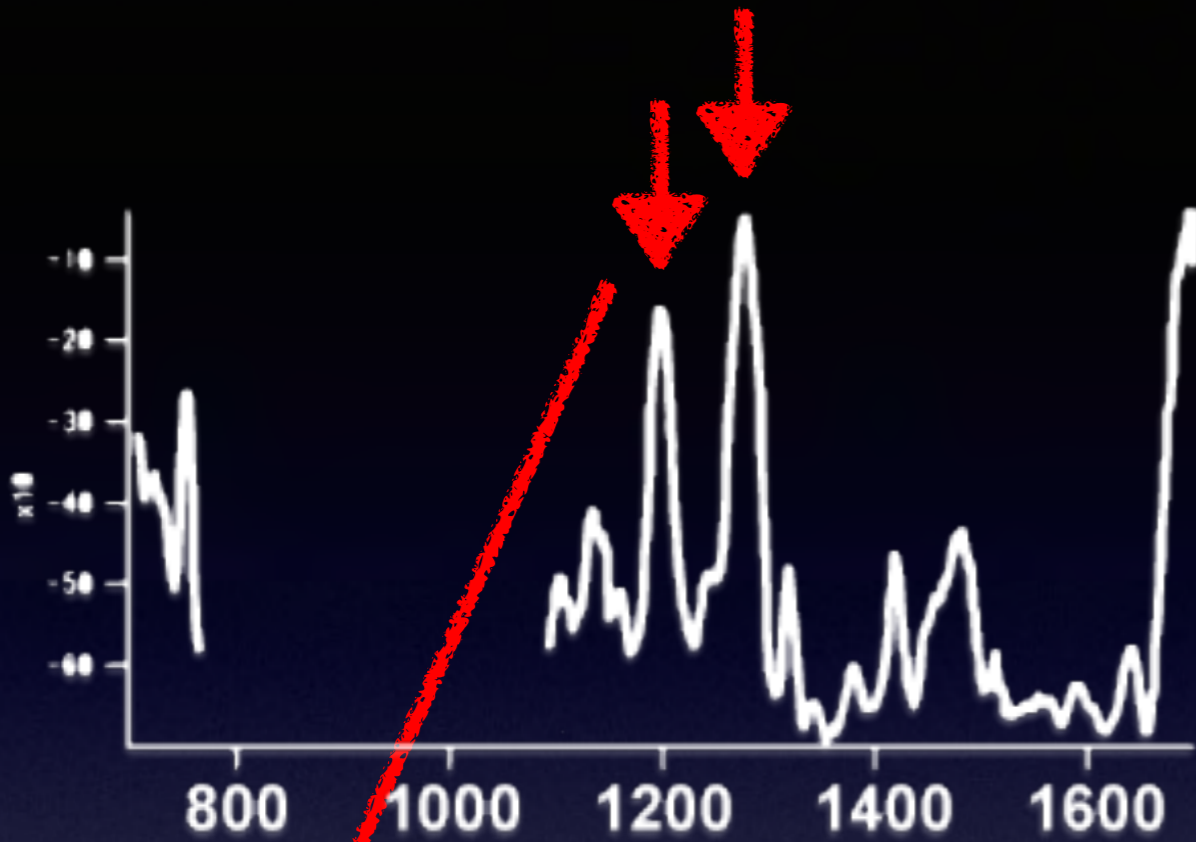


\* Significant difference

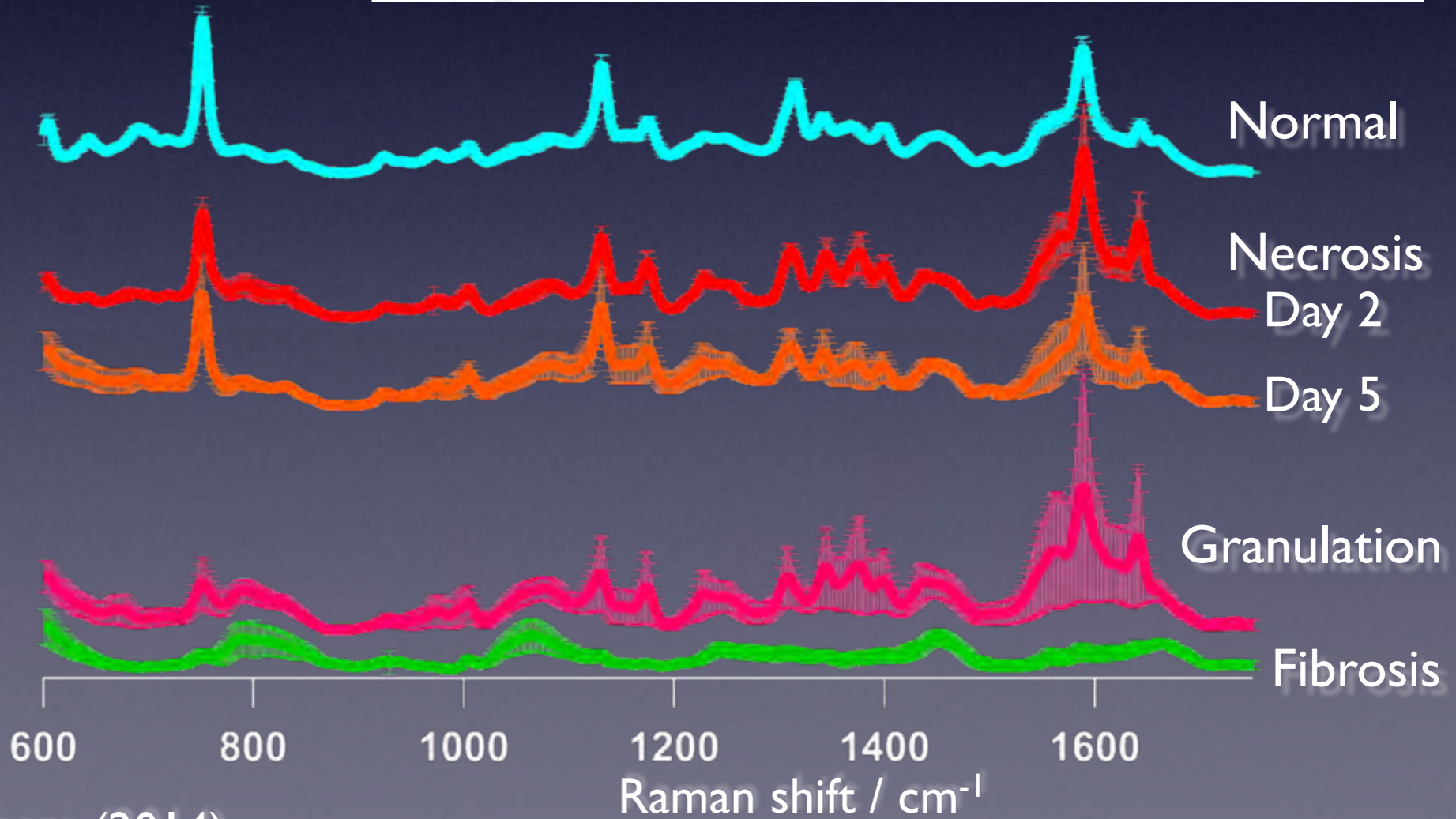
# LVI



# LVI

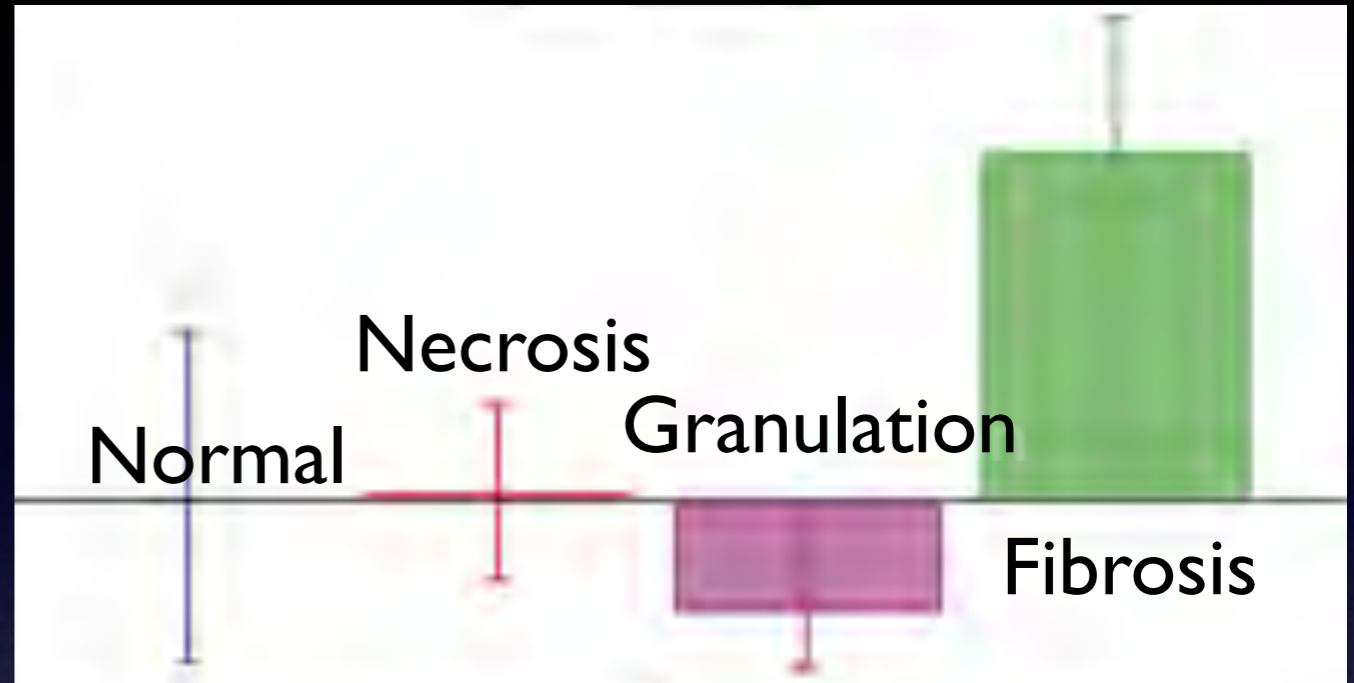
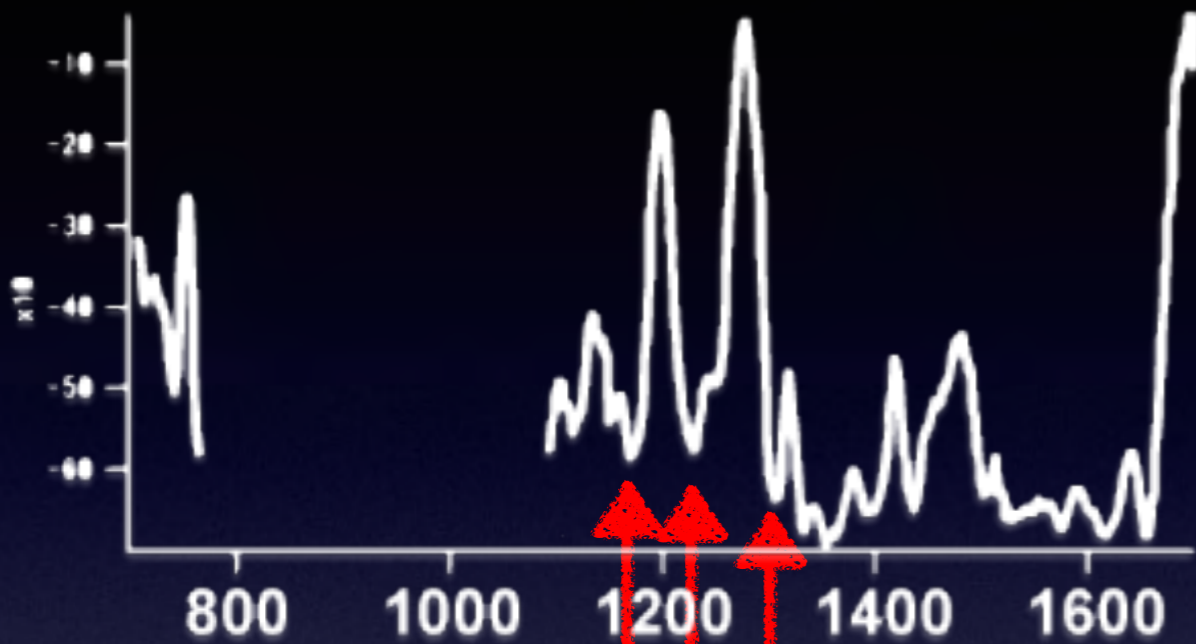


Representative Raman bands of collagen type-I

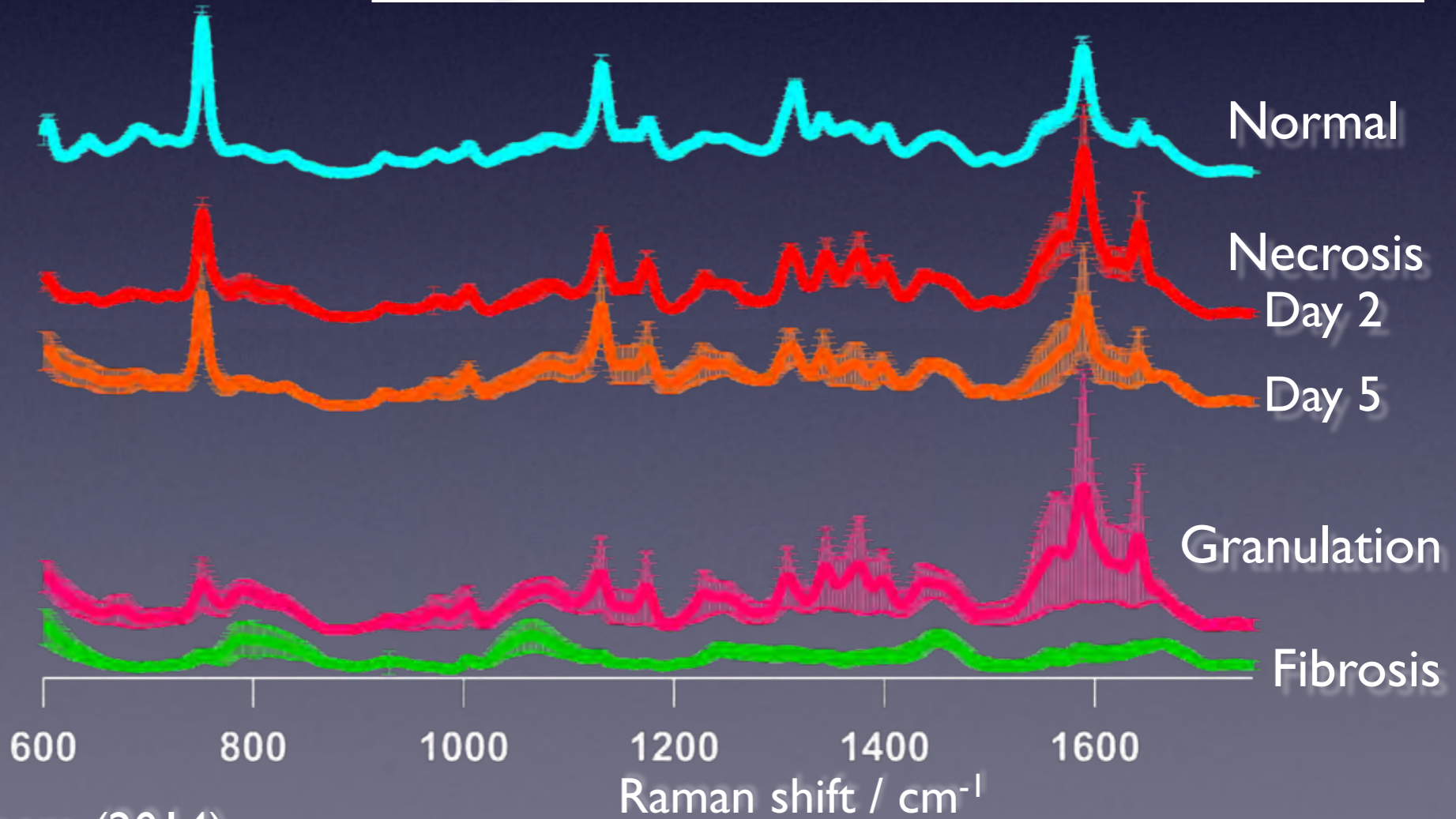




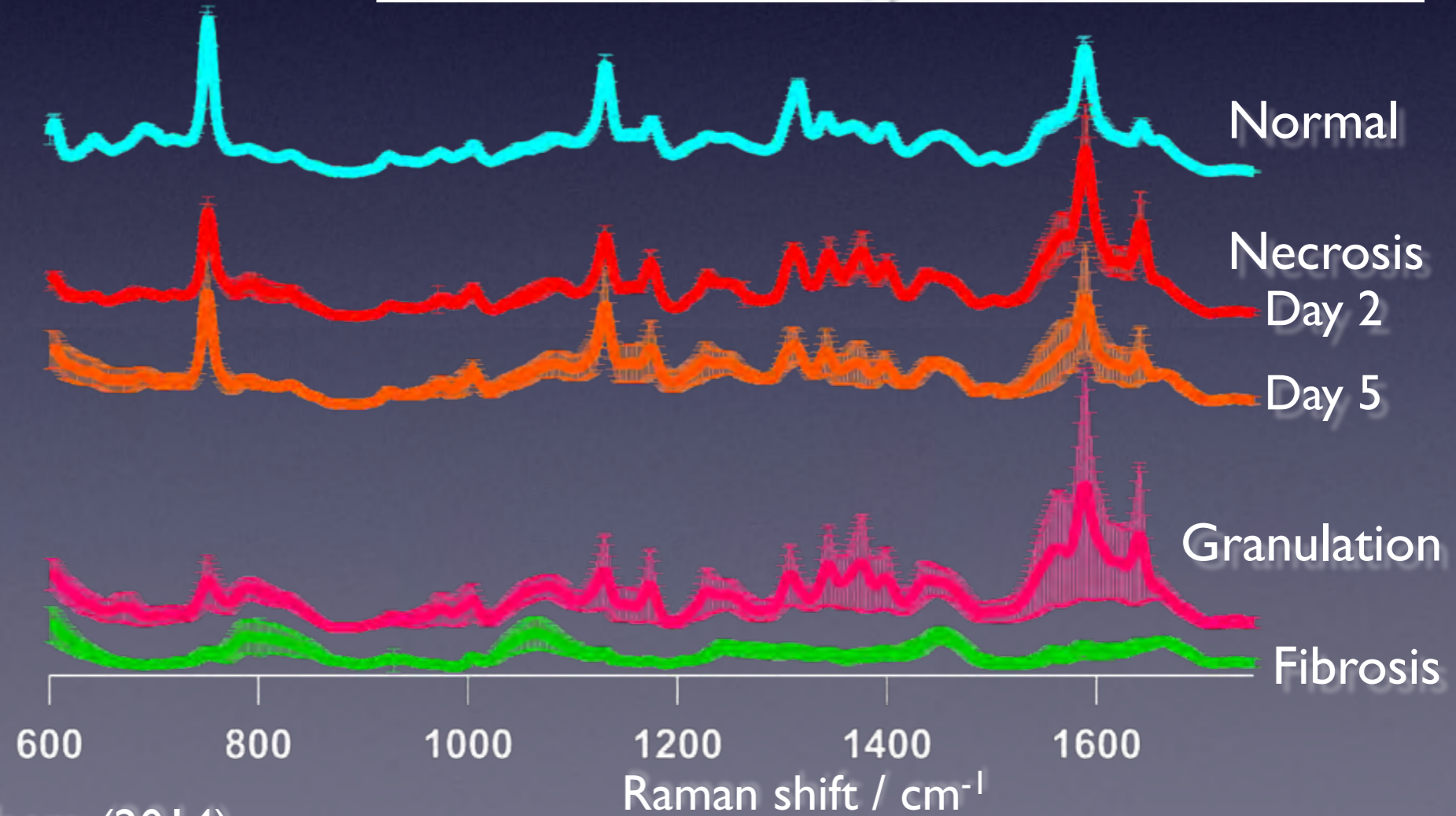
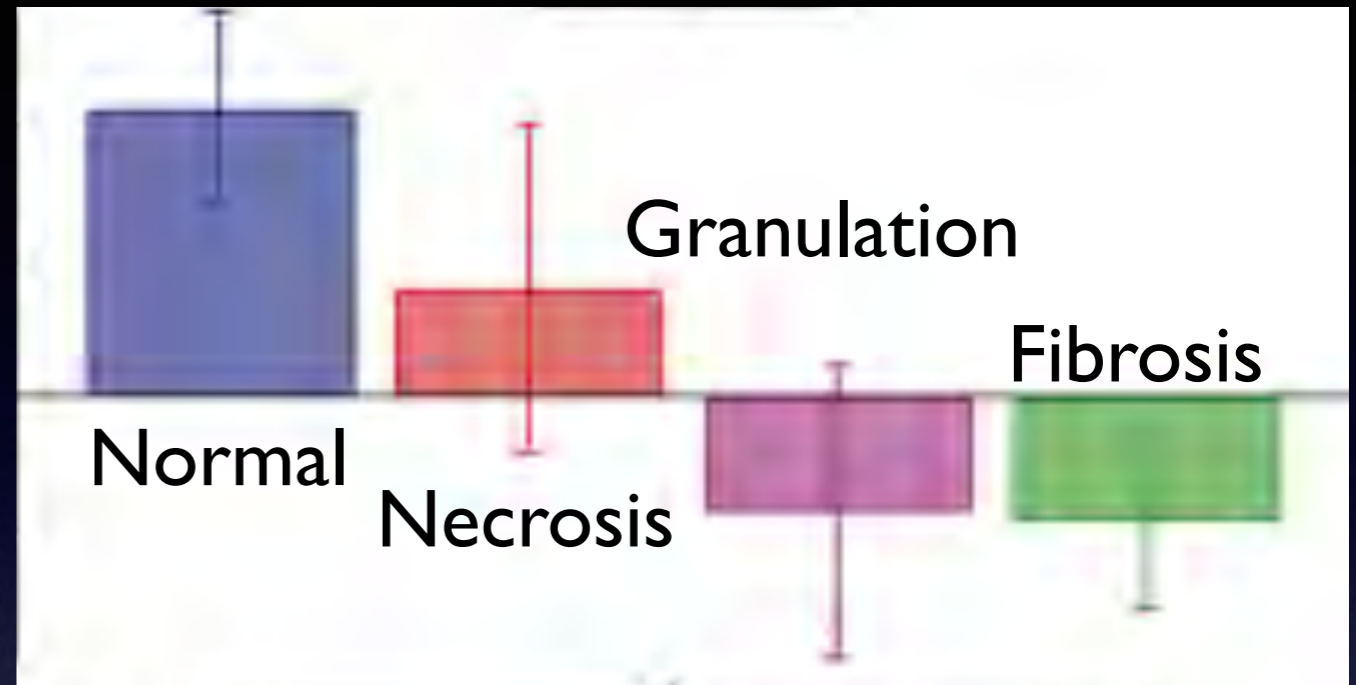
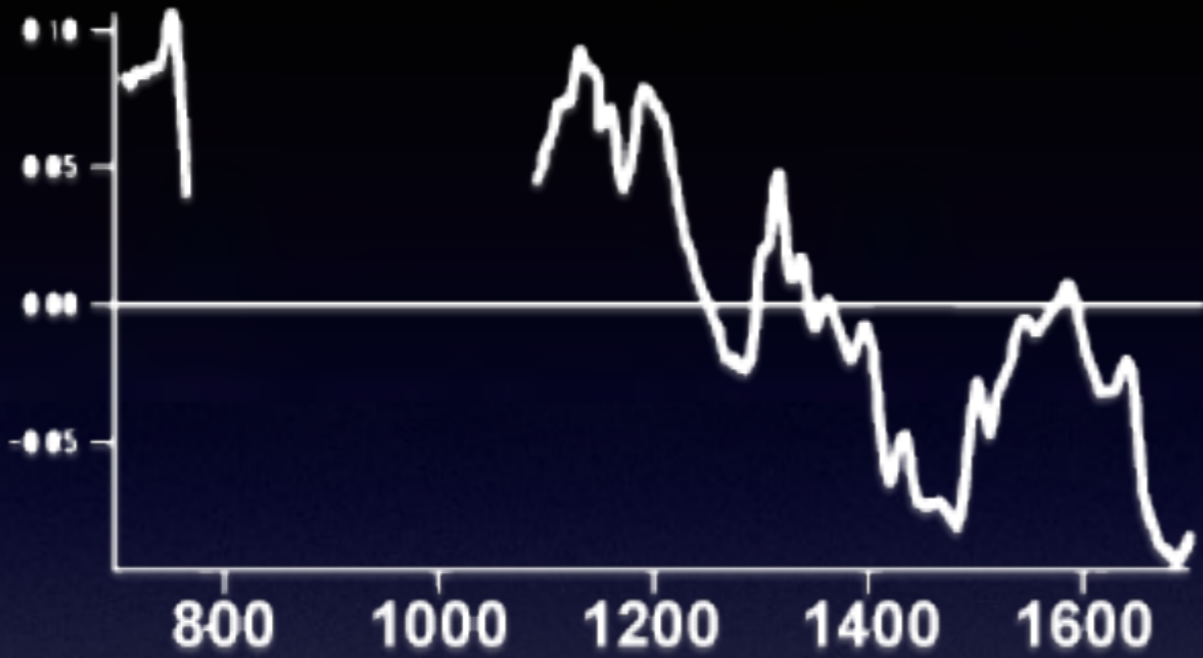
# LVI



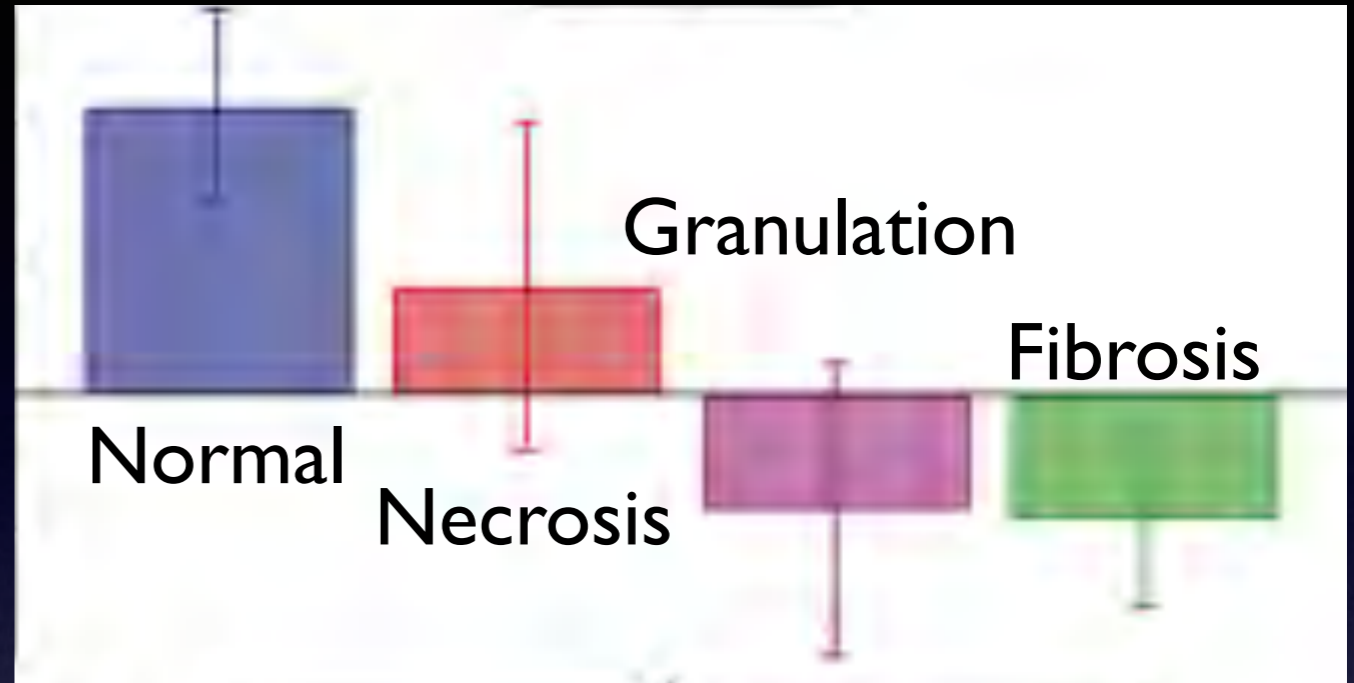
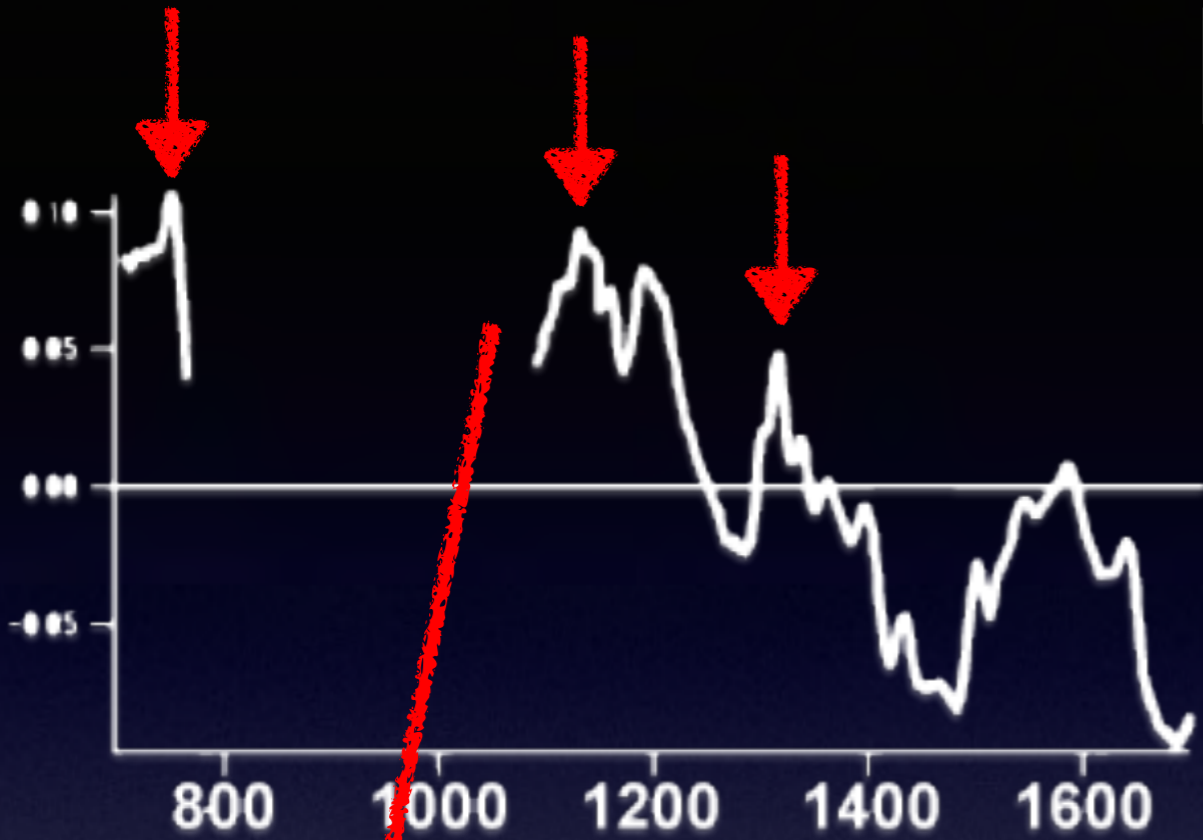
Spectral features of Granulation?



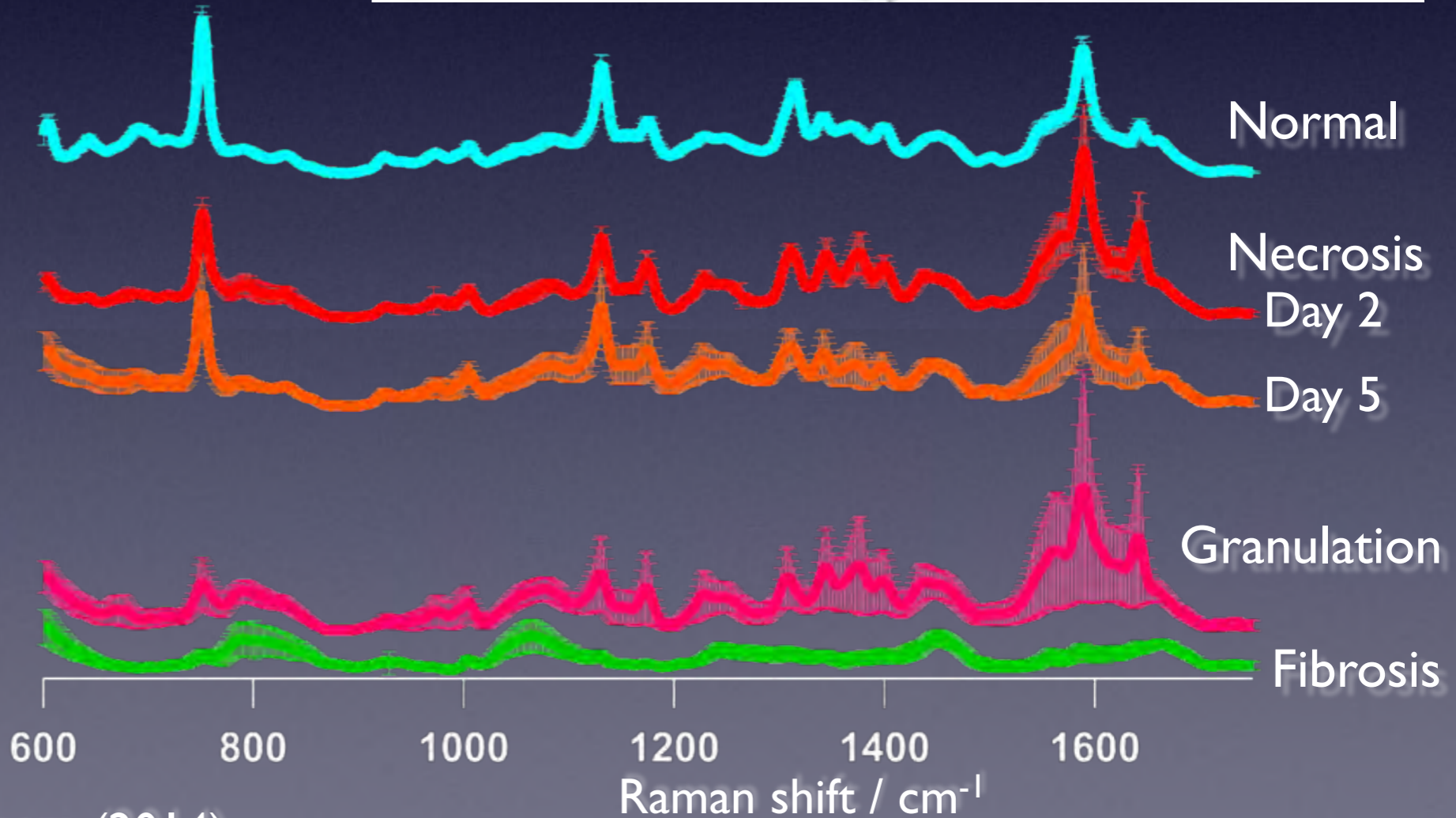
# LV2



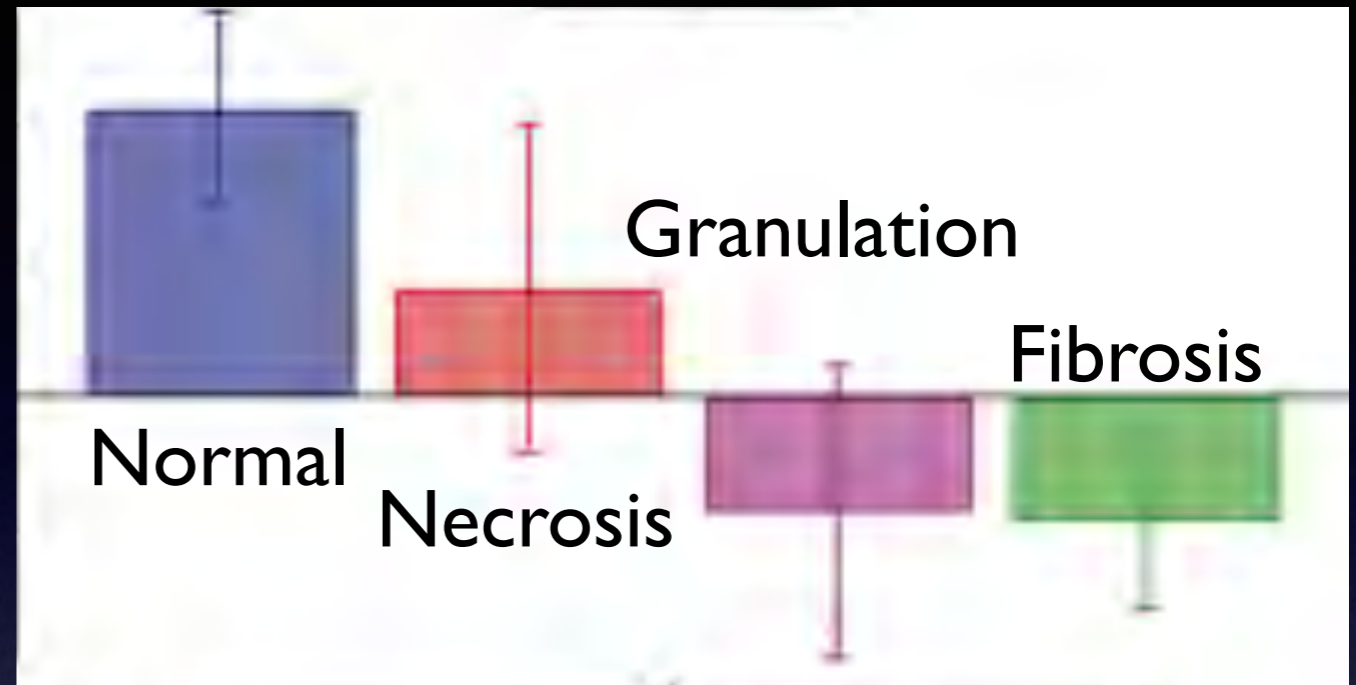
# LV2



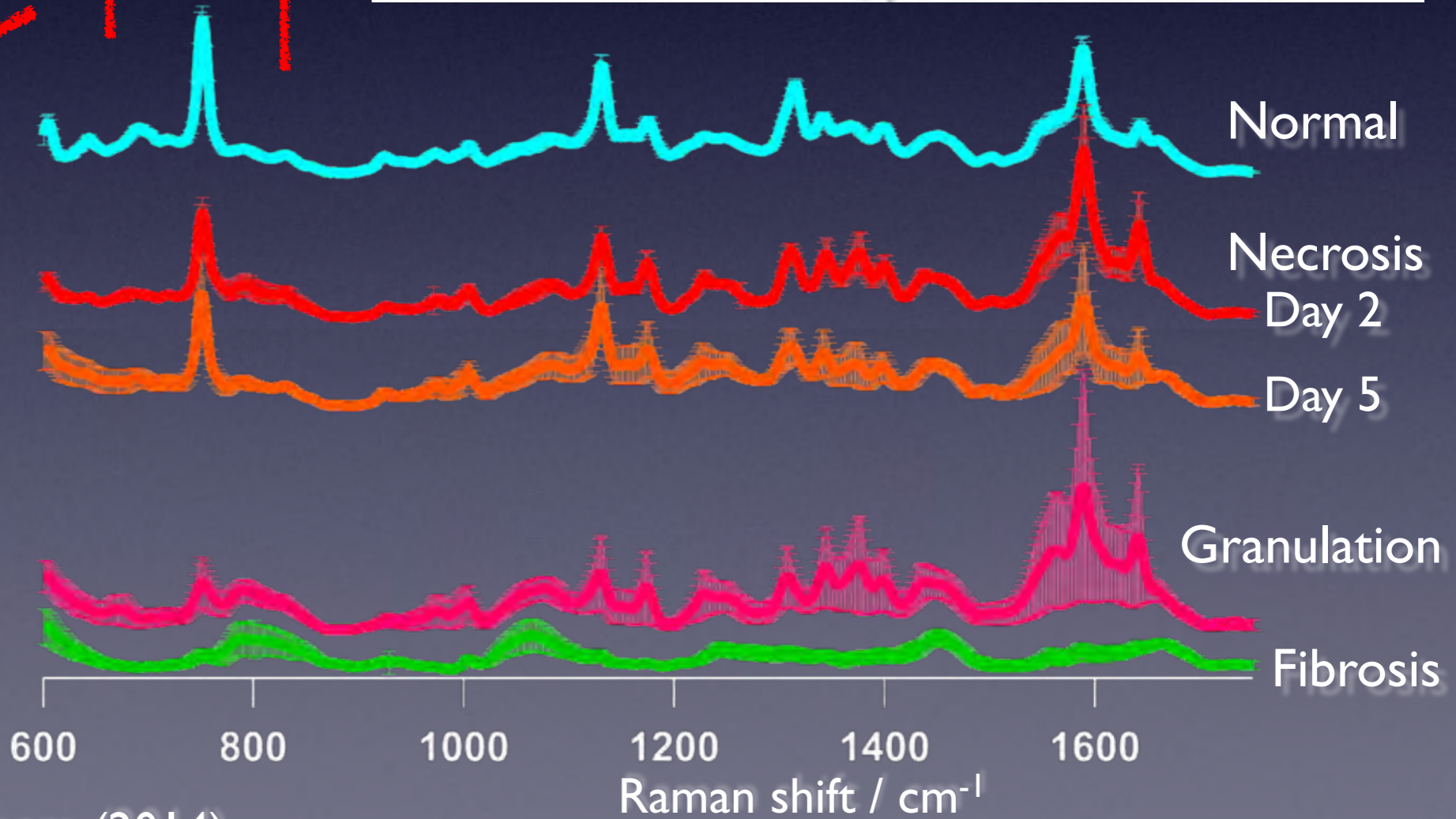
Representative Raman bands of **Cytochrome c**



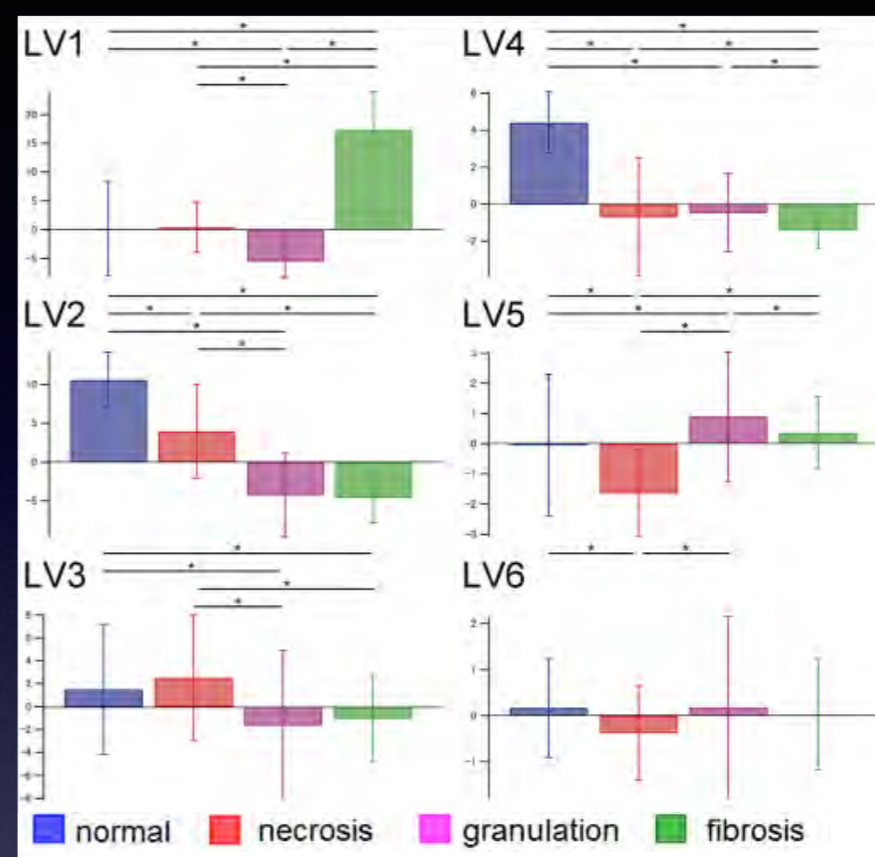
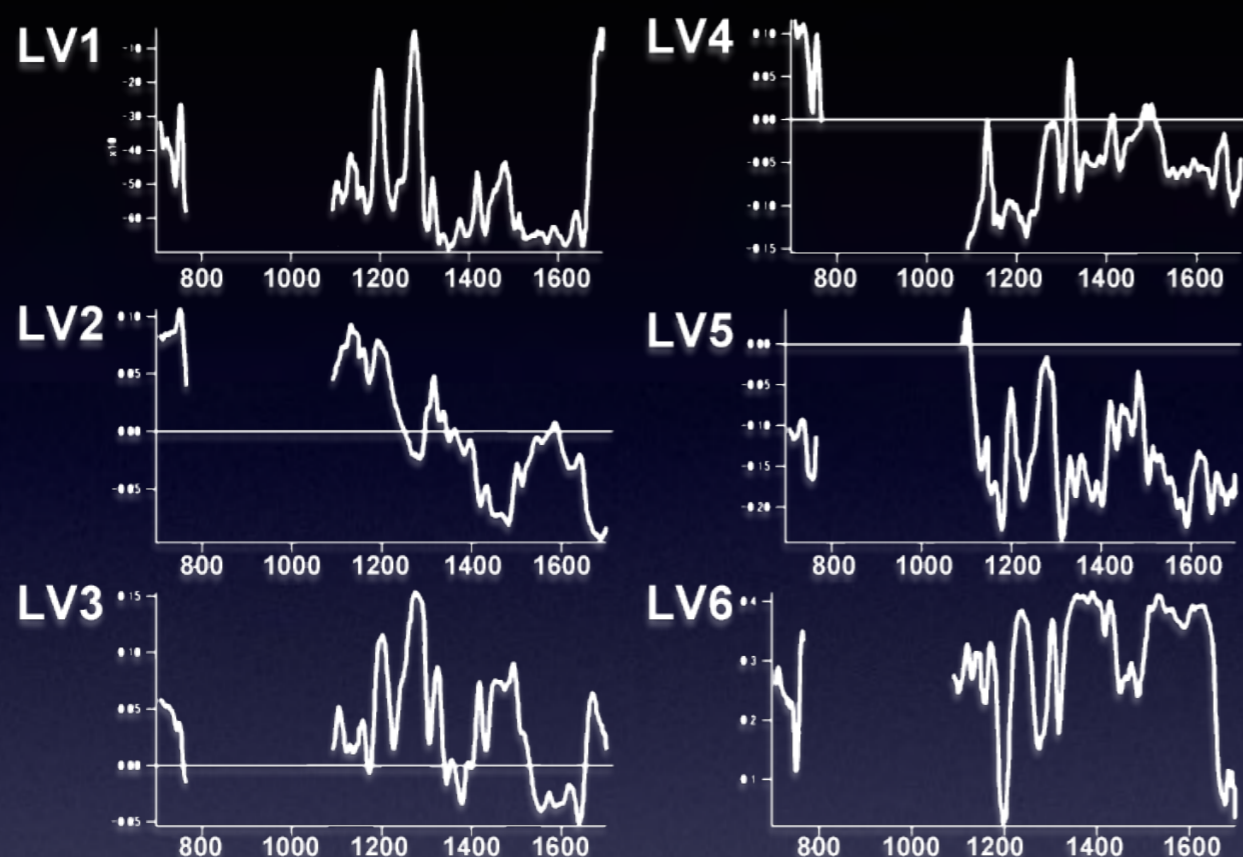
# LV2



Spectral features of **non-cardiomyocyte components**



# Prediction accuracy of PLS-DA



Raman prediction	Histology				Result	
	Normal	Necrosis	Granulation	Fibrosis	Sensitivity	Specificity
Normal	149	3	2	0	99.3	99.4
Necrosis	0	286	4	0	95.3	99.5
Granulation	1	7	482	13	96.4	96.5
Fibrosis	0	4	12	137	91.3	98.3

# Raman imaging of MI using PLS-DA

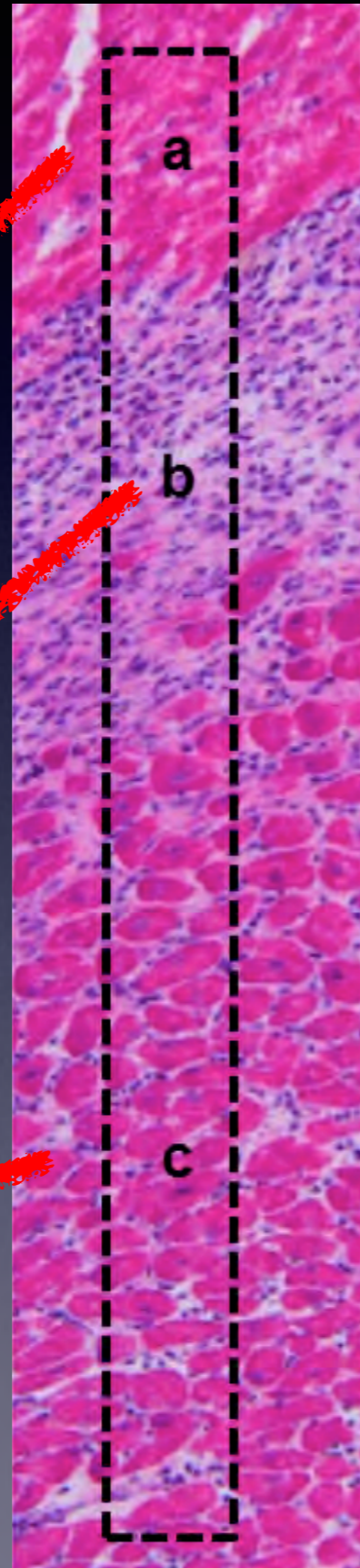
## Histology

Necrosis

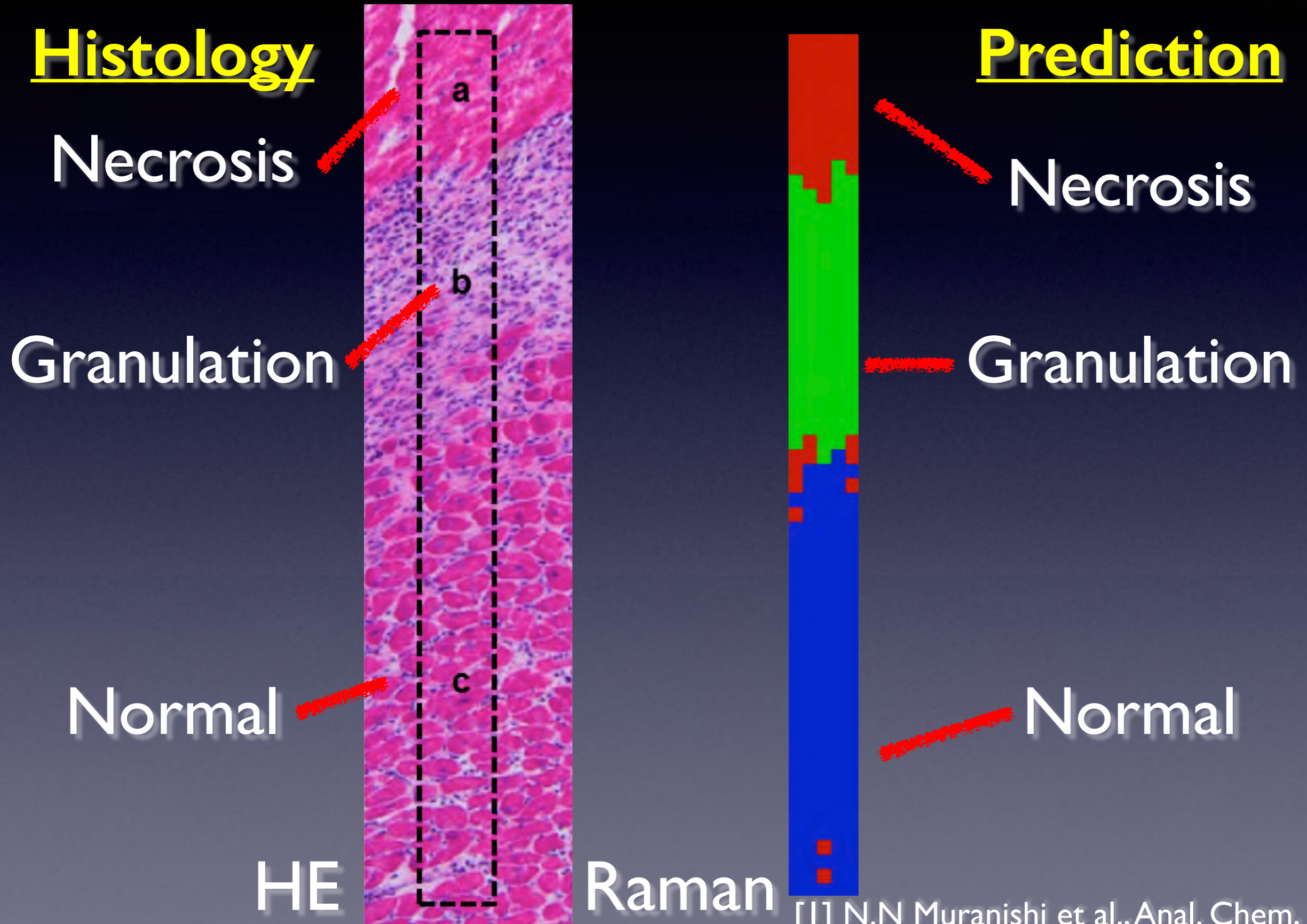
Granulation

Normal

HE

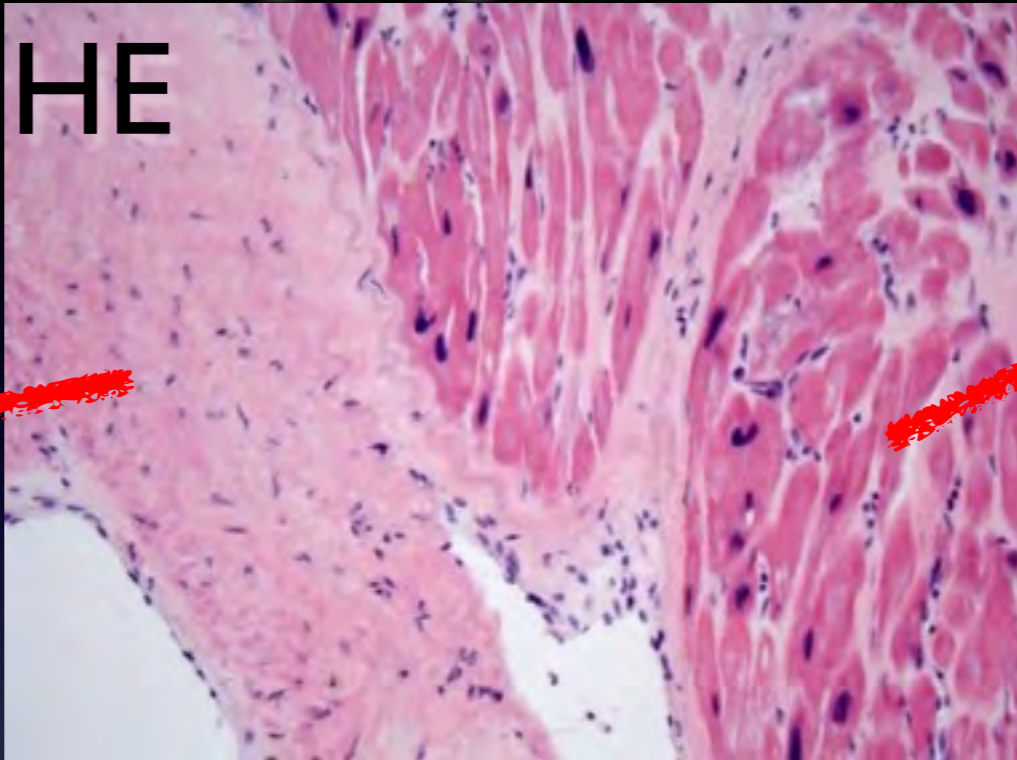


# Raman imaging of MI using PLS-DA



# Raman imaging of human OMI

Fibrosis  
(FT)



Cardiomyocytes  
(CM)

Raman



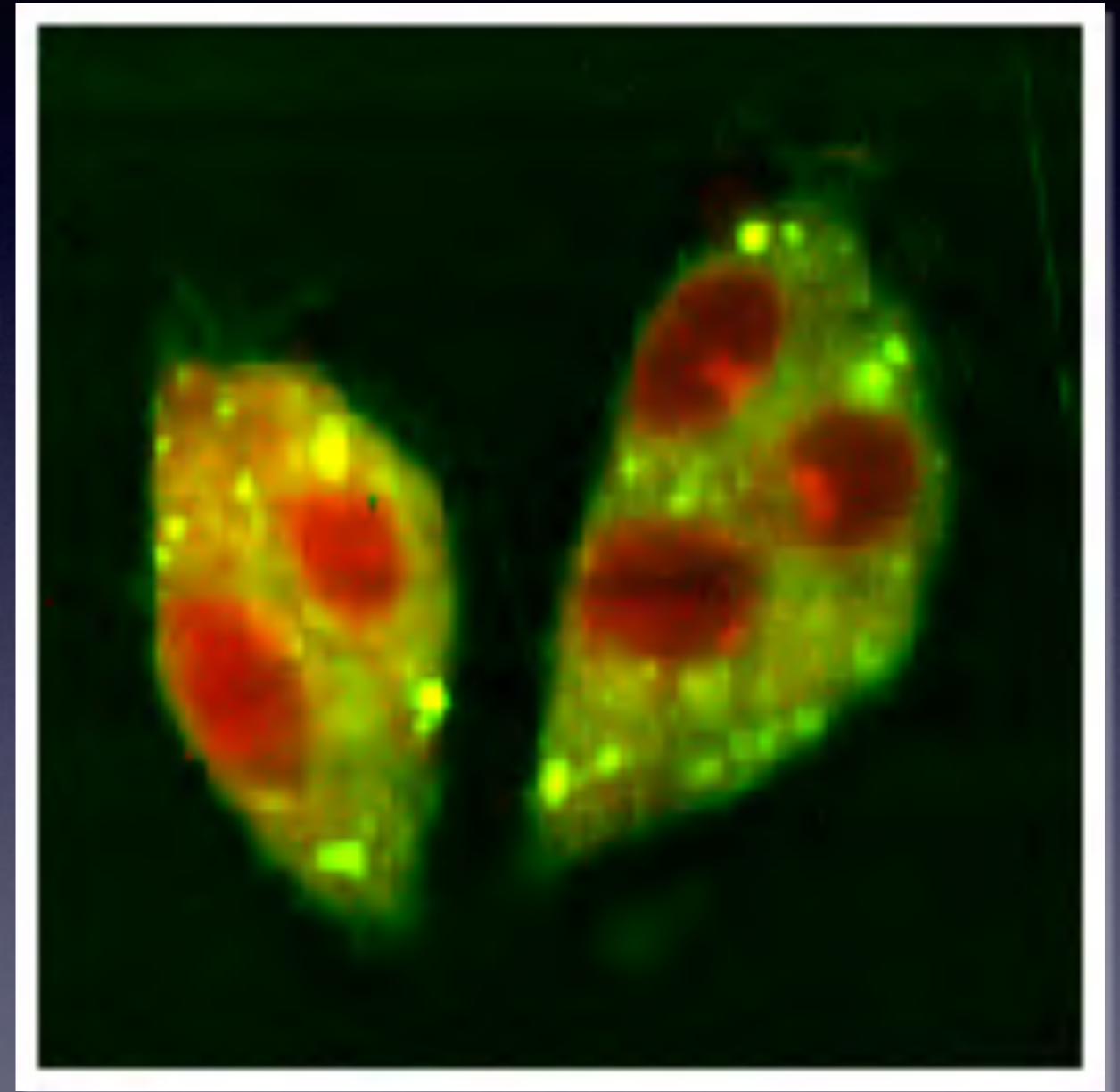


**But,**

Spontaneous Raman signal is

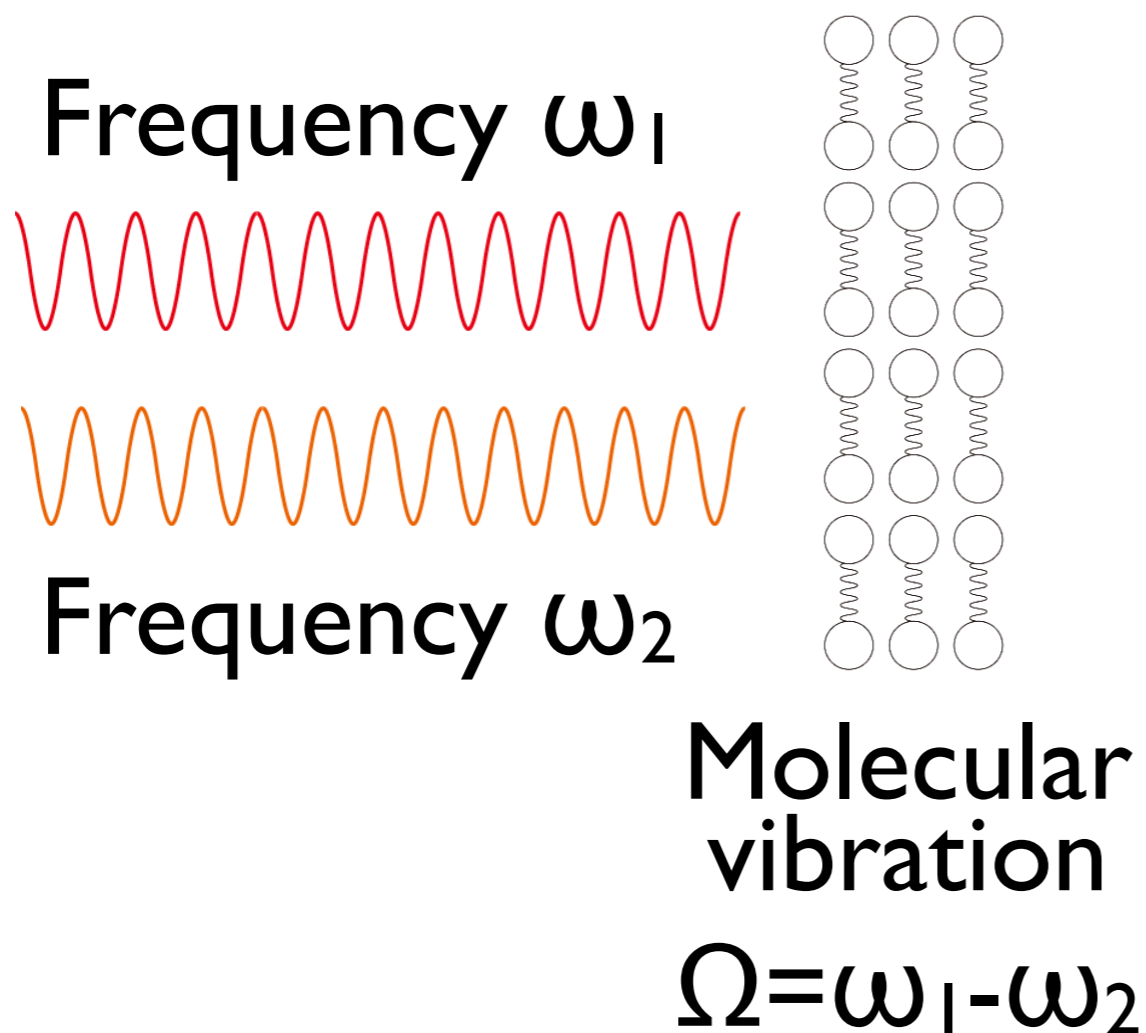
# Pros and Cons of Raman spectroscopy

- Label-free
- Molecular selectivity via molecular vibration
- in vivo capability
  
- ✗ Low sensitivity
- ✗ Long exposure

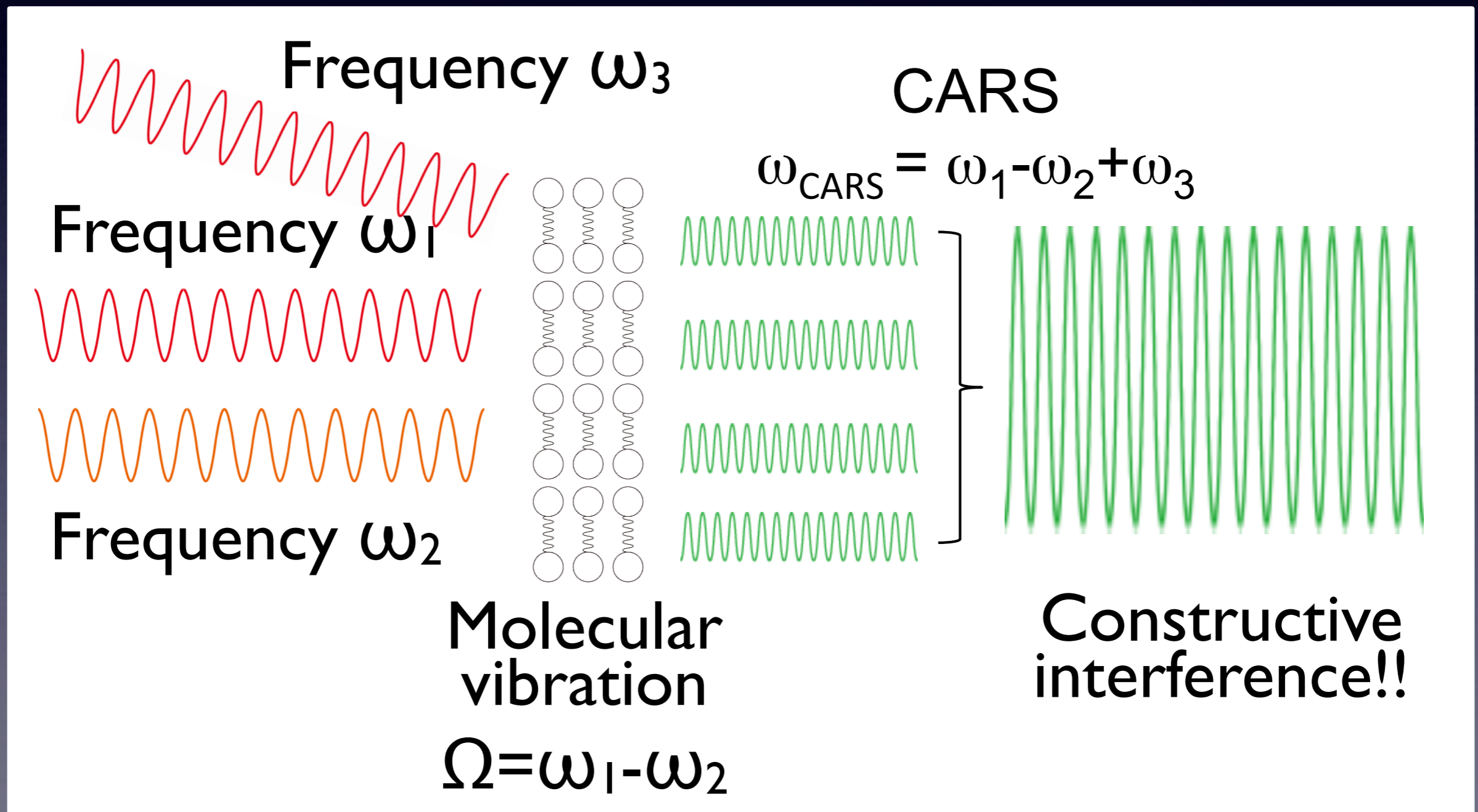


Exposure time  
648 s/image

# A nonlinear Raman spectroscopy ~Coherent anti-Stokes Raman scattering~



# A nonlinear Raman spectroscopy ~Coherent anti-Stokes Raman scattering~



# Towards better molecular imaging in biology and medicine

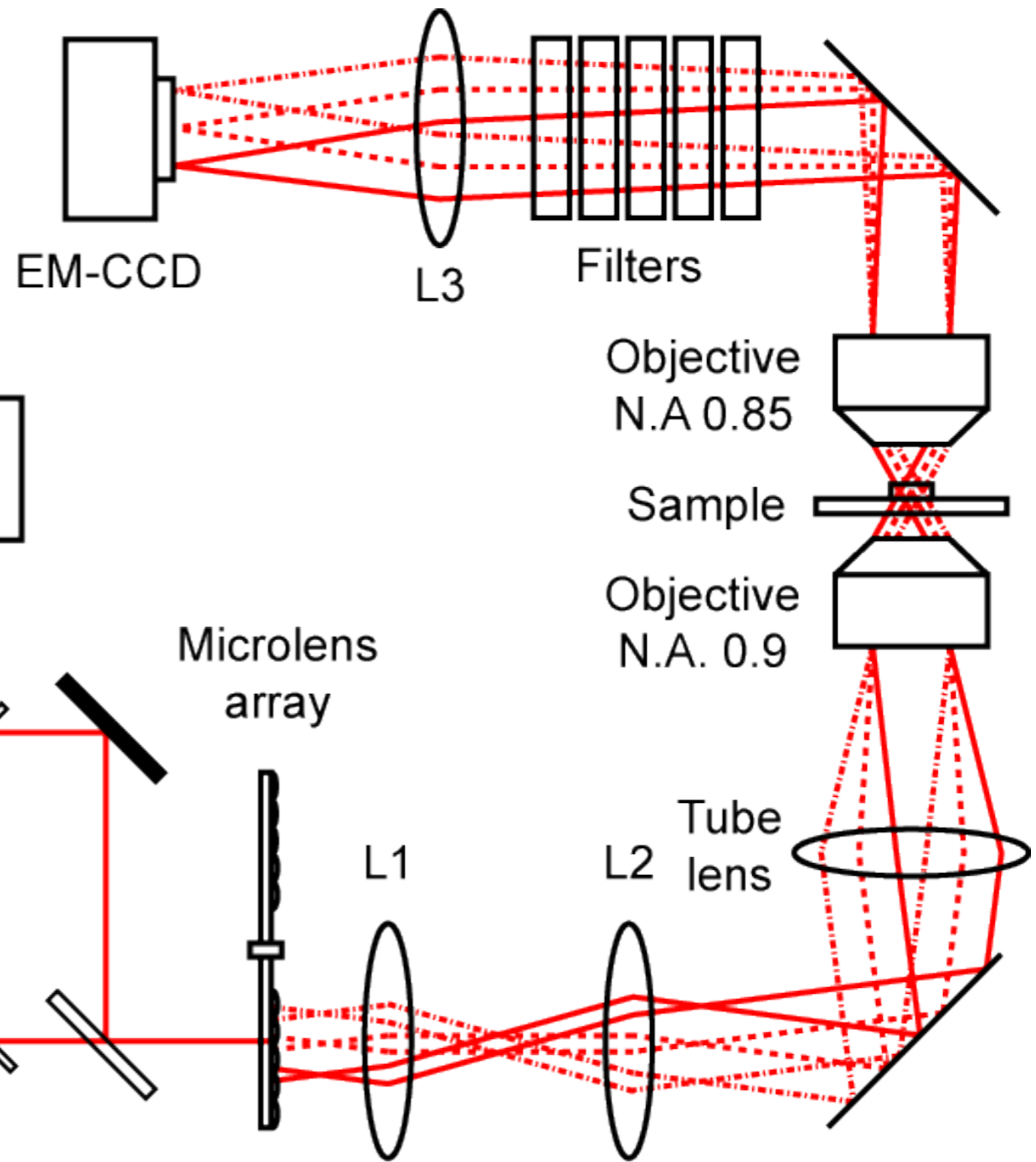
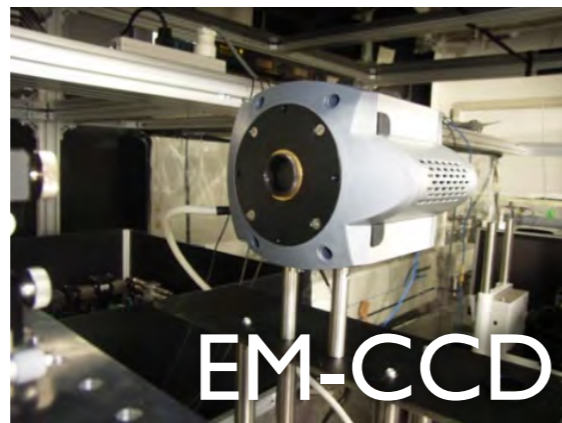
- ✓ 速く撮りたい！
- ✓ 分子の選択性を高めたい！
- ✓ 分子分布以外の分子情報を得たい！

顕微ラマン散乱分光法 + 非線形光学

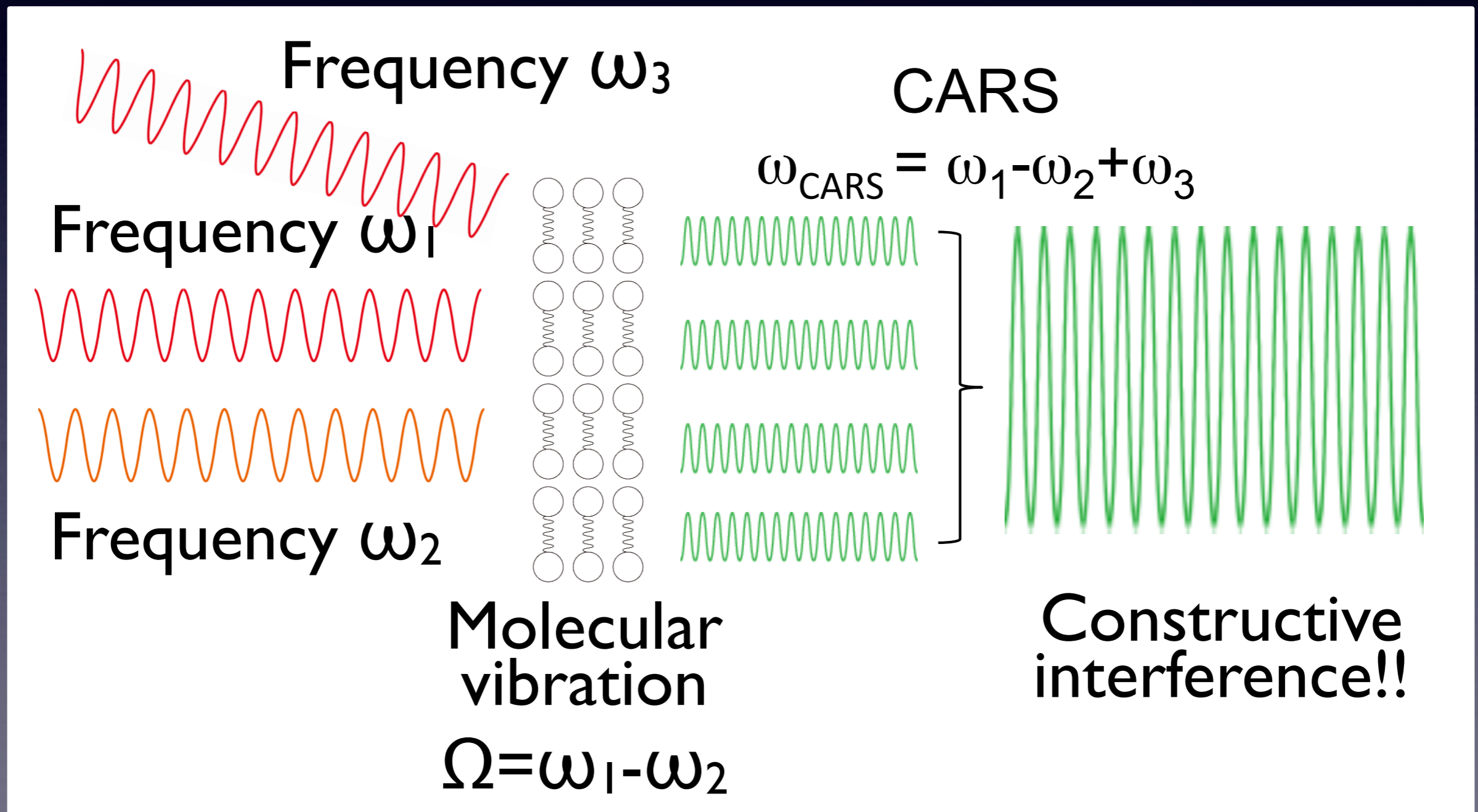
非線形顕微ラマン散乱分光法

(CARS: Coherent anti-Stokes Raman scattering)

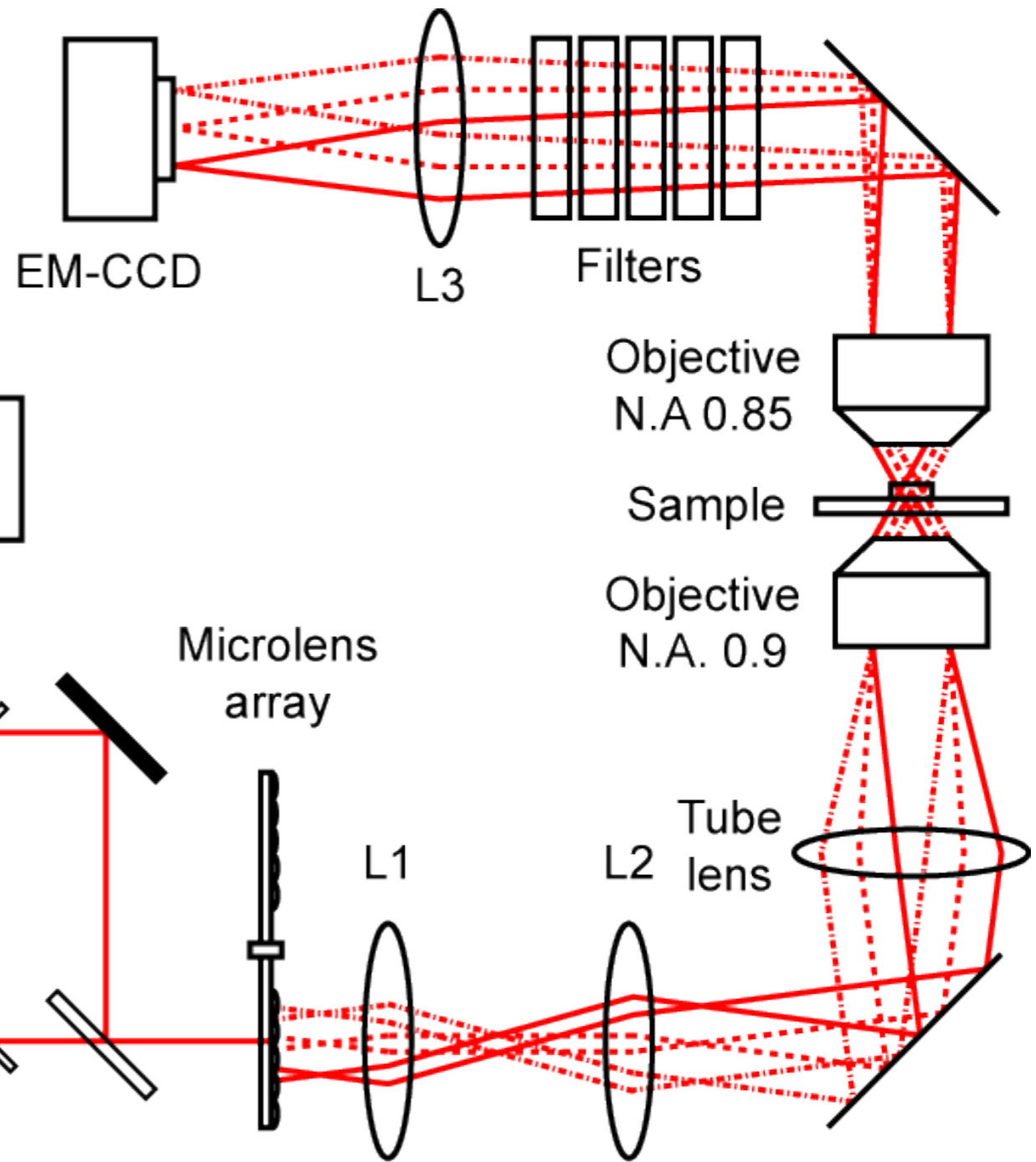
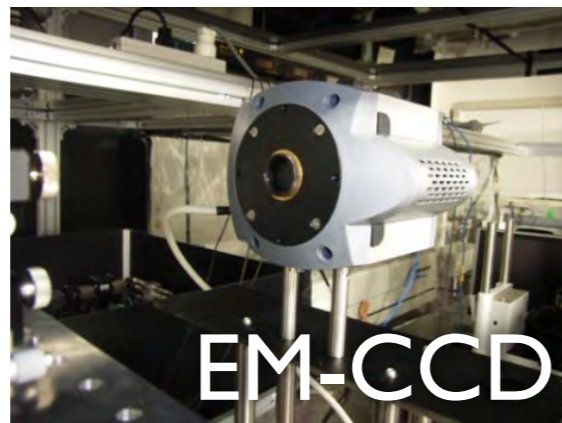
# Multi-focus CARS microscope



# A nonlinear Raman spectroscopy ~Coherent anti-Stokes Raman scattering~

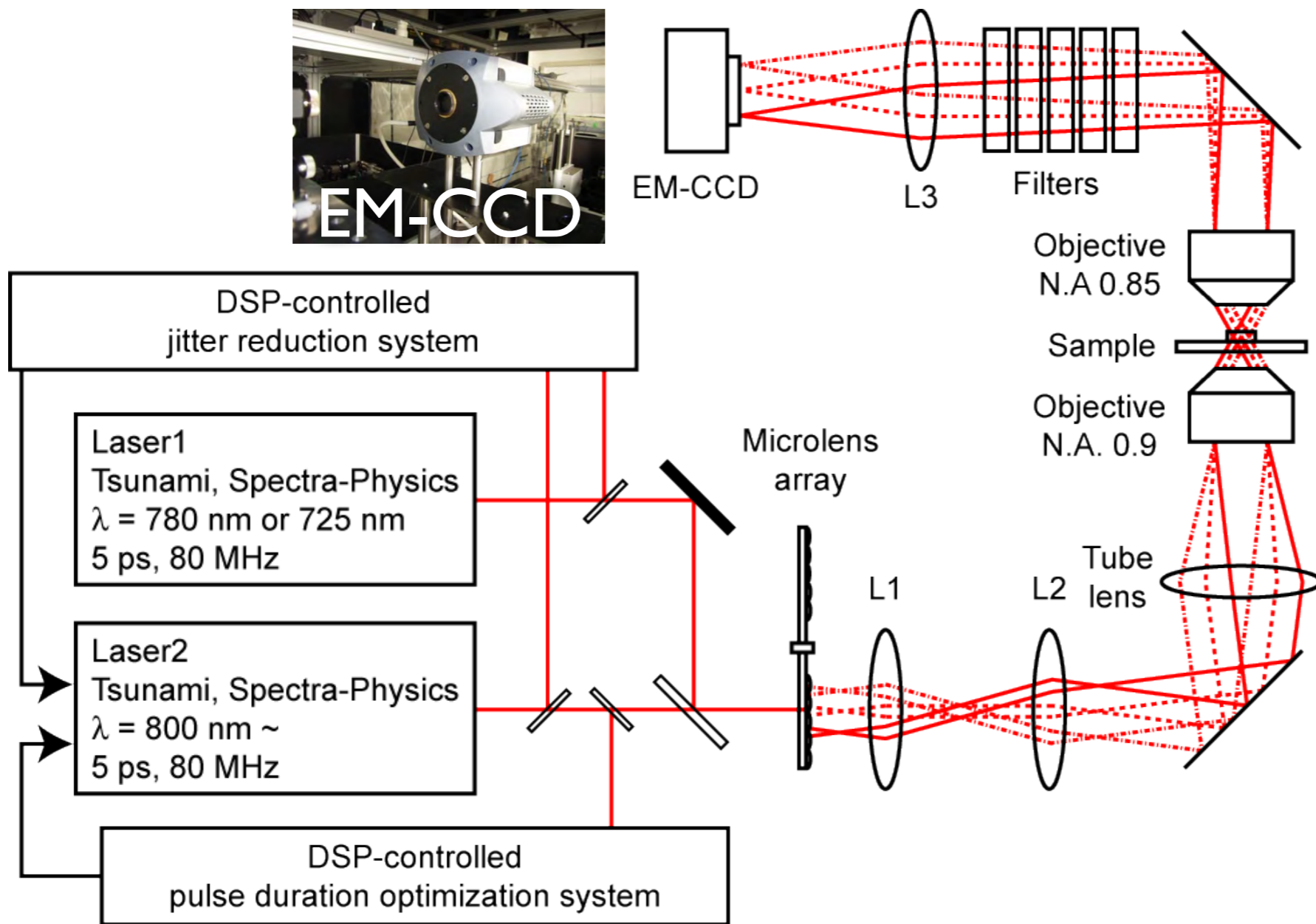
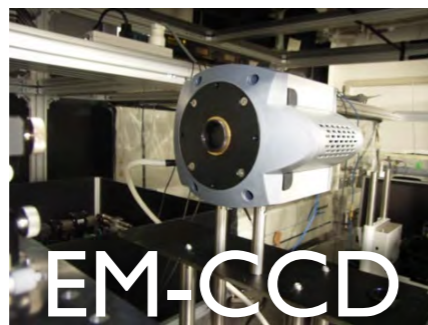


# Multi-focus CARS microscope

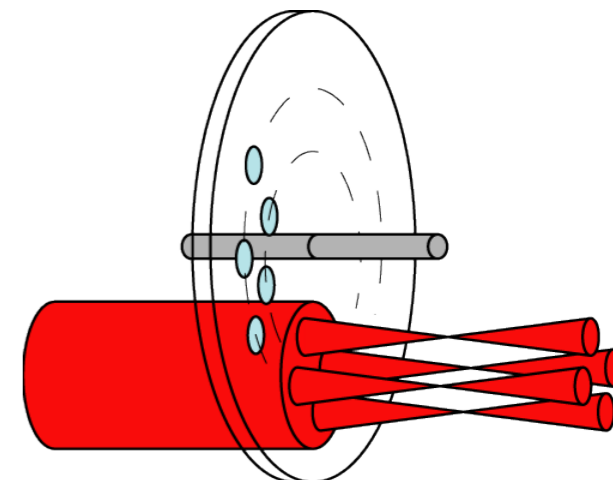




# Multi-focus CARS microscope

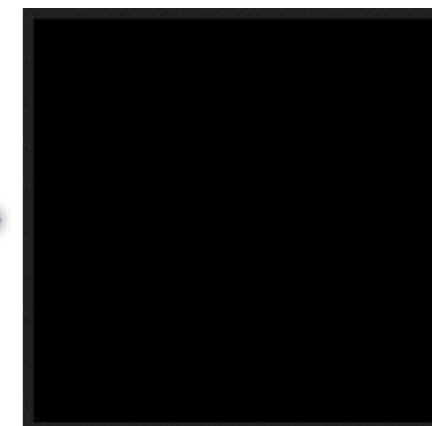
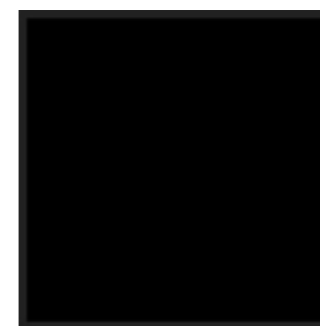


マイクロレンズ  
アレイによる  
多焦点化



多焦点!

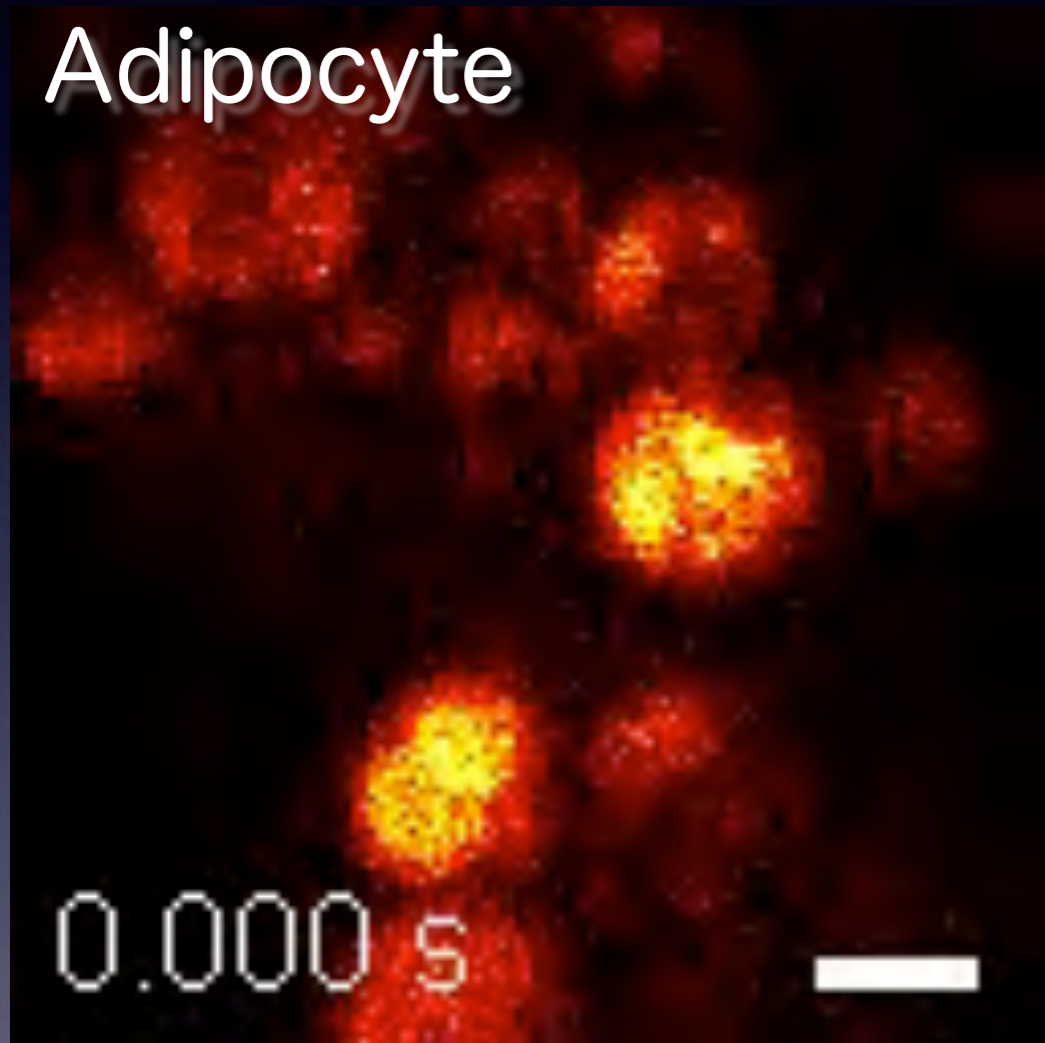
従来:単焦点



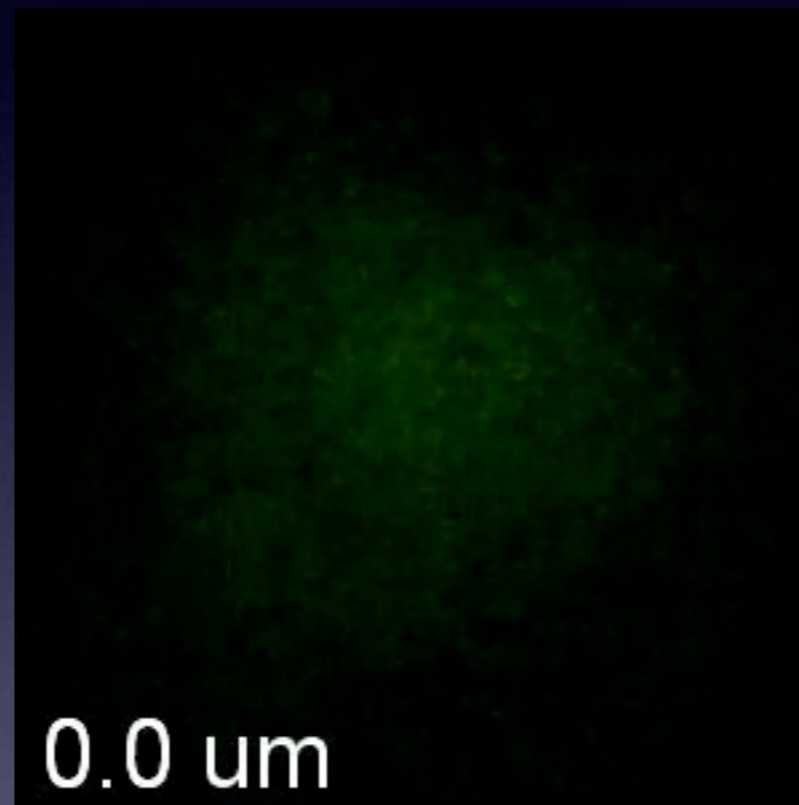
# High speed CARS imaging

Lipid imaging ( $2850\text{ cm}^{-1}$ )

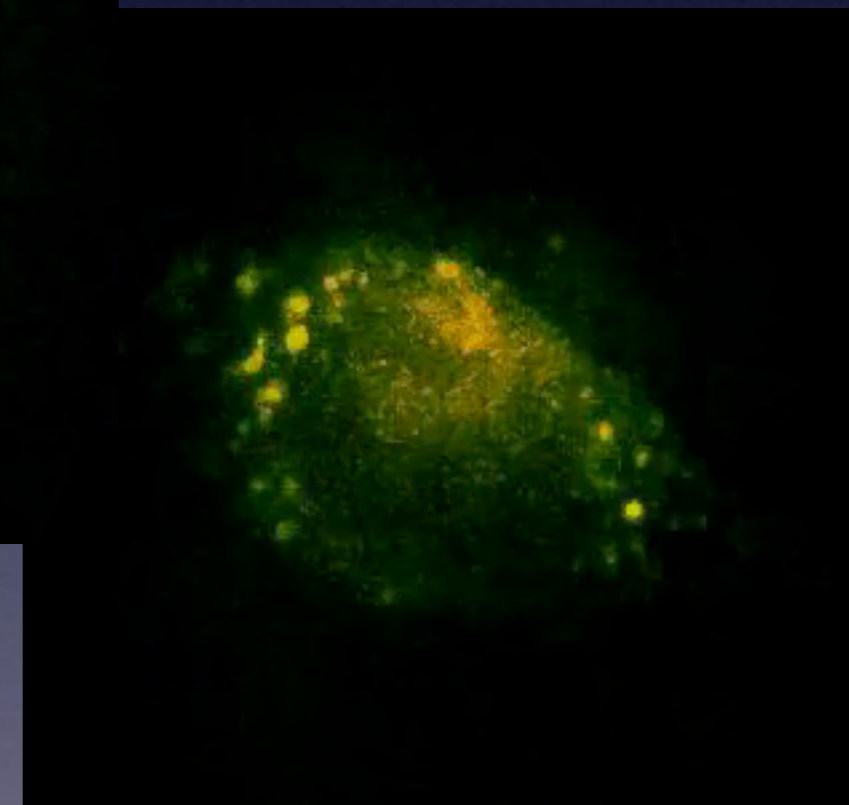
HeLa cell



10 ms/image



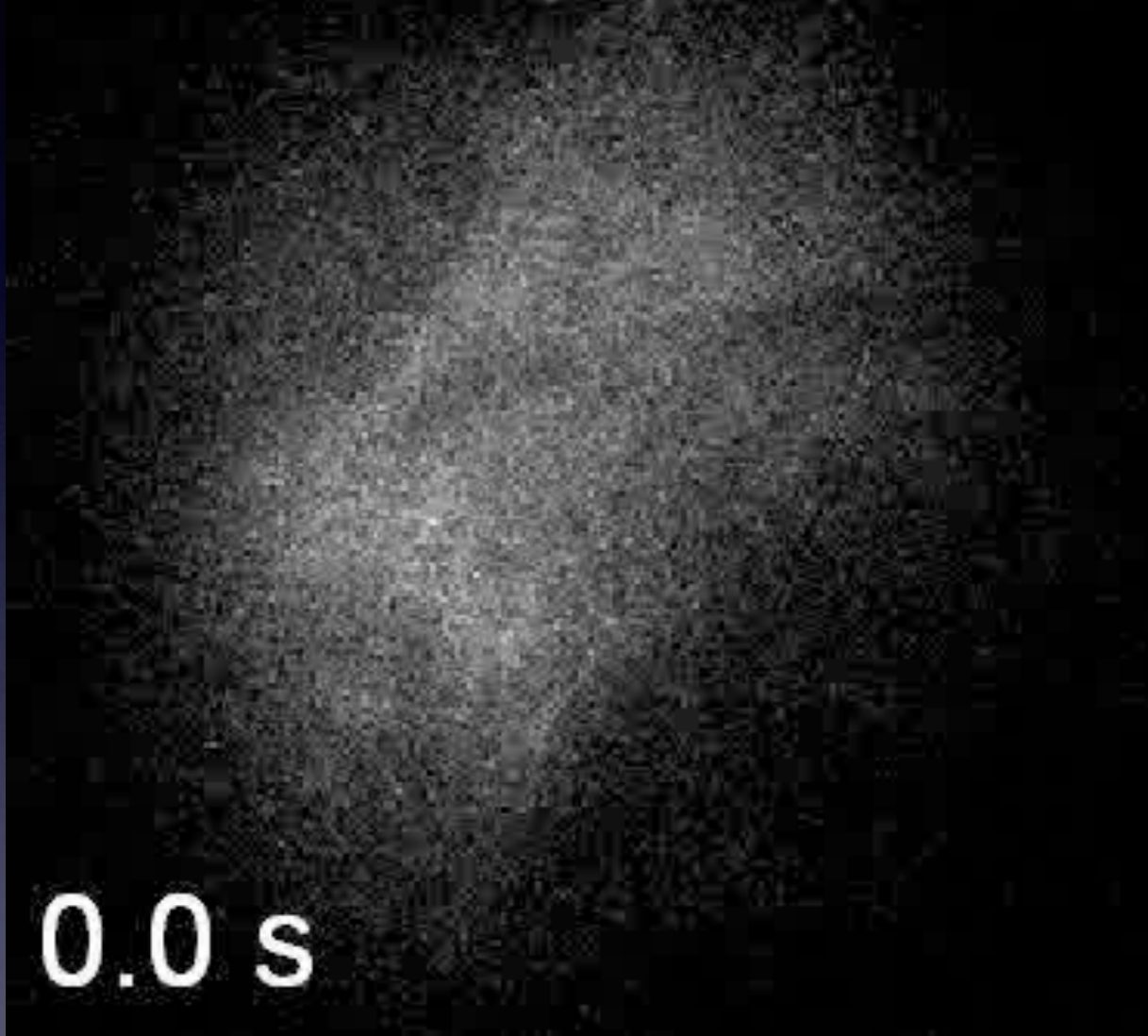
z-scan  
200 ms/image



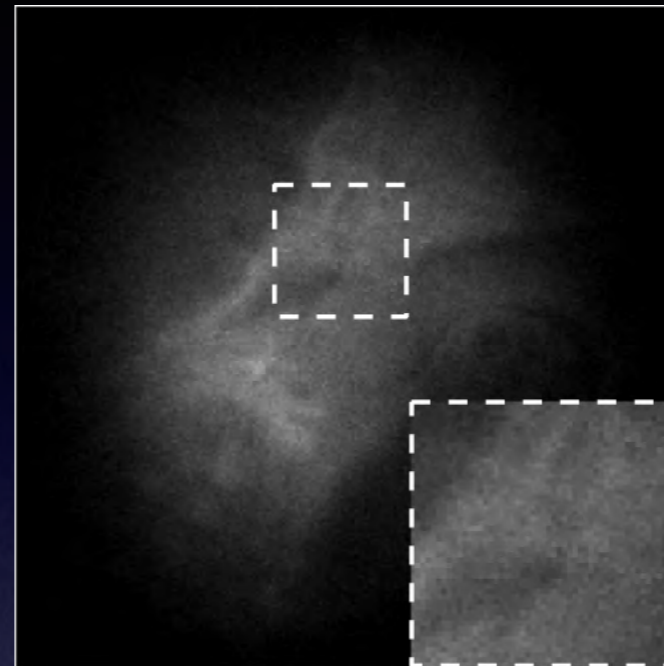
17 s/volume  
(85 slices)

# Membrane disruption and response

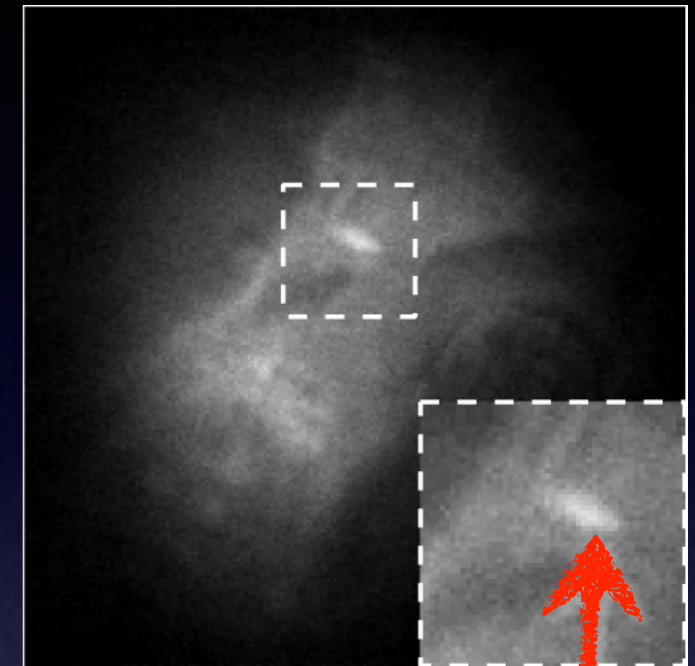
2850  $\text{cm}^{-1}$  (Lipids)



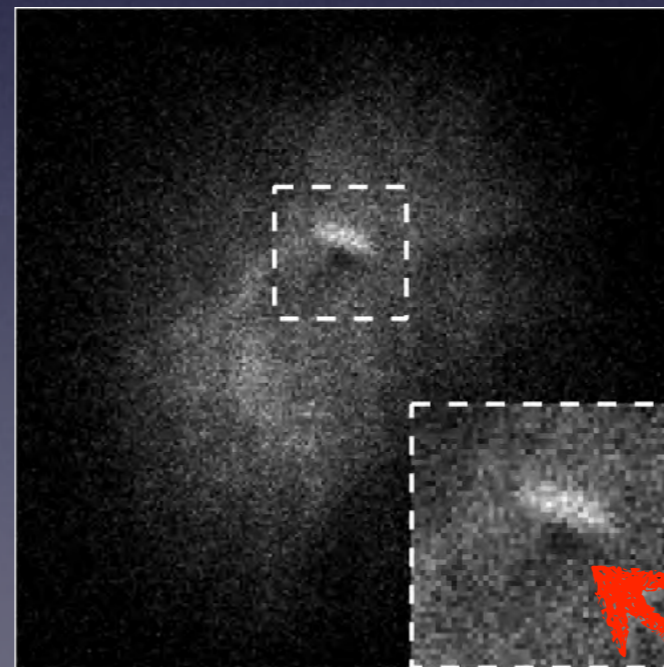
0.0 s



Before



After



After 1 s

信号強  
→ 脂質：多い！

アブレーションによる膜破壊  
→ 後に修復

## Laser ablation

Laser intensity: 63.9 mW @ 709 nm  
Pulse duration: 5 ps  
Exposure time: 0.1 s

# Towards better molecular imaging in biology and medicine

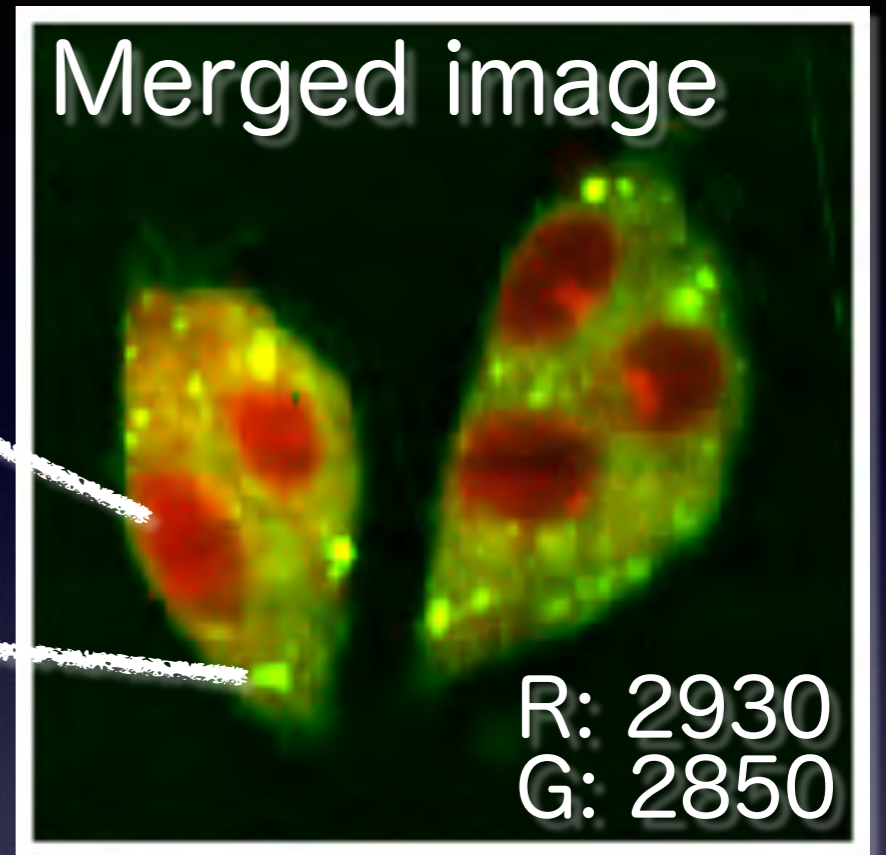
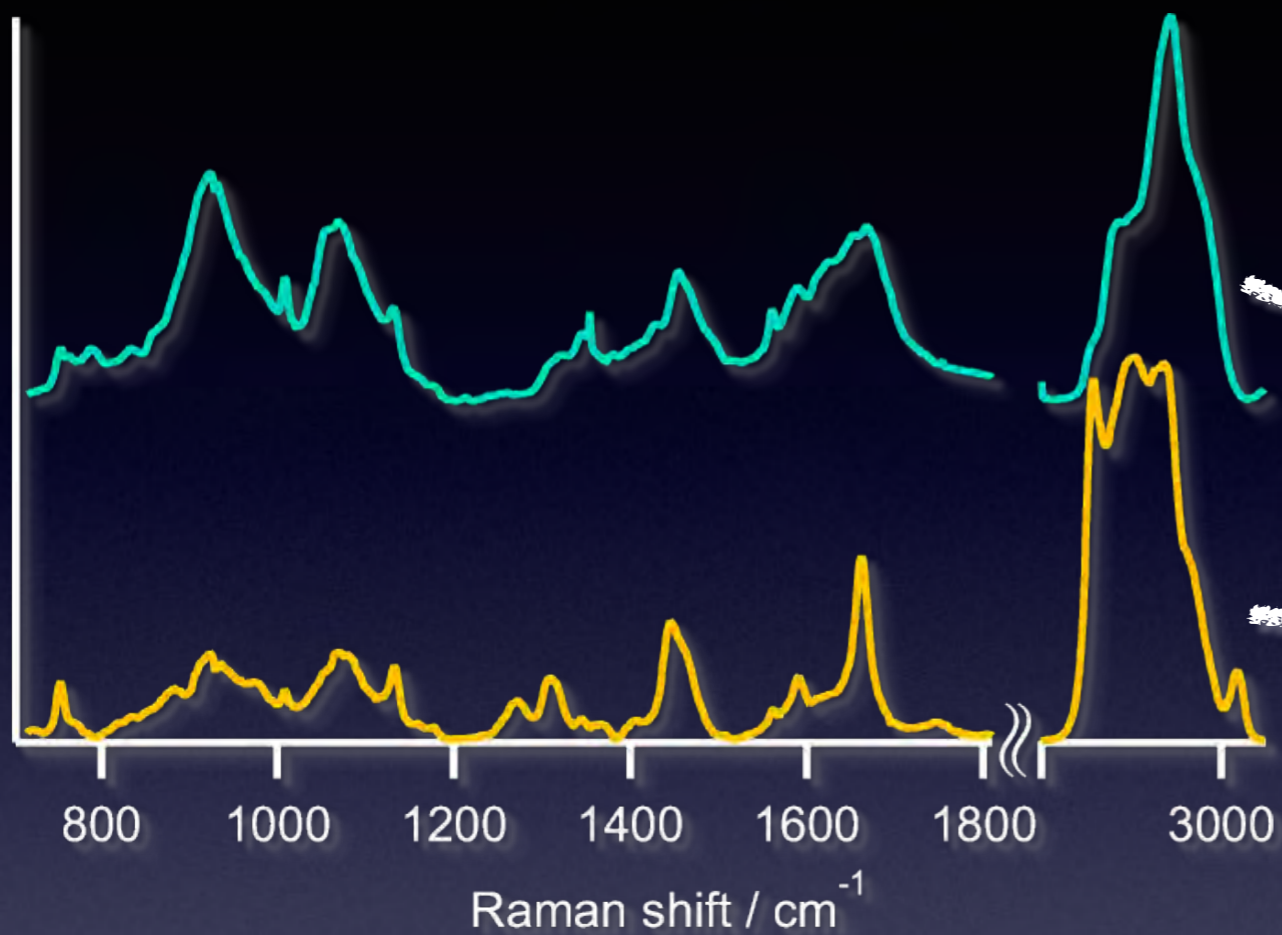
- ✓ 速く撮りたい！
- ✓ 分子の選択性を高めたい！
- ✓ 分子分布以外の分子情報を得たい！

顕微ラマン散乱分光法 + 非線形光学

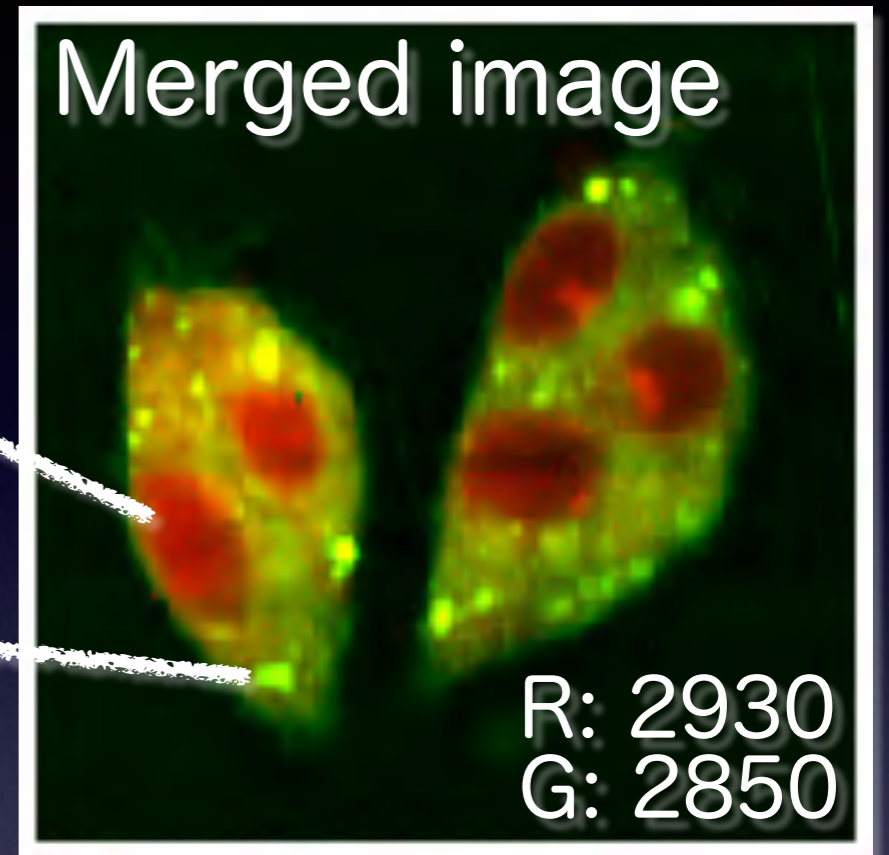
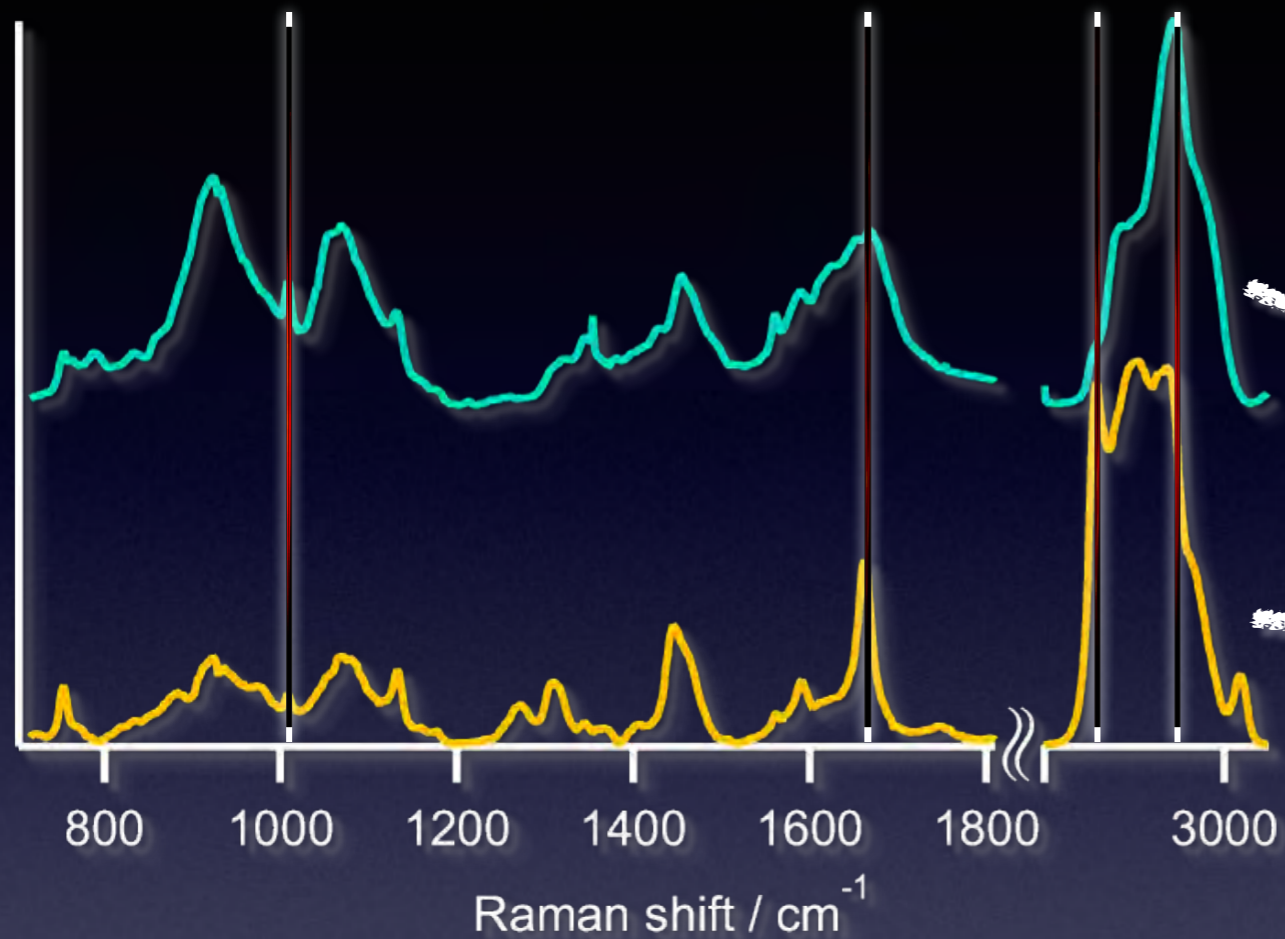
非線形顕微ラマン散乱分光法

(CARS: Coherent anti-Stokes Raman scattering)

# Spectral Raman imaging



# Spectral Raman imaging



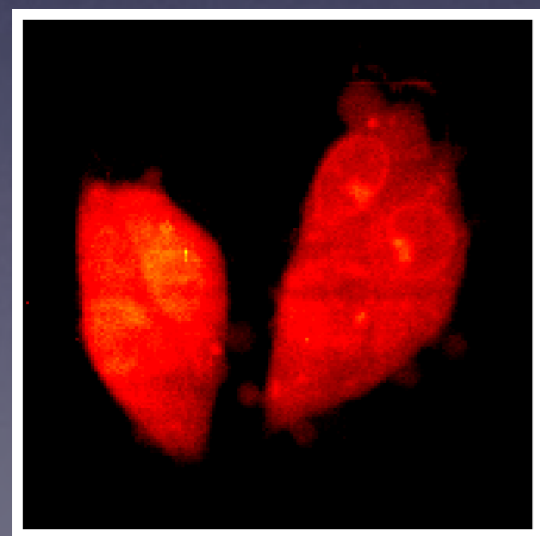
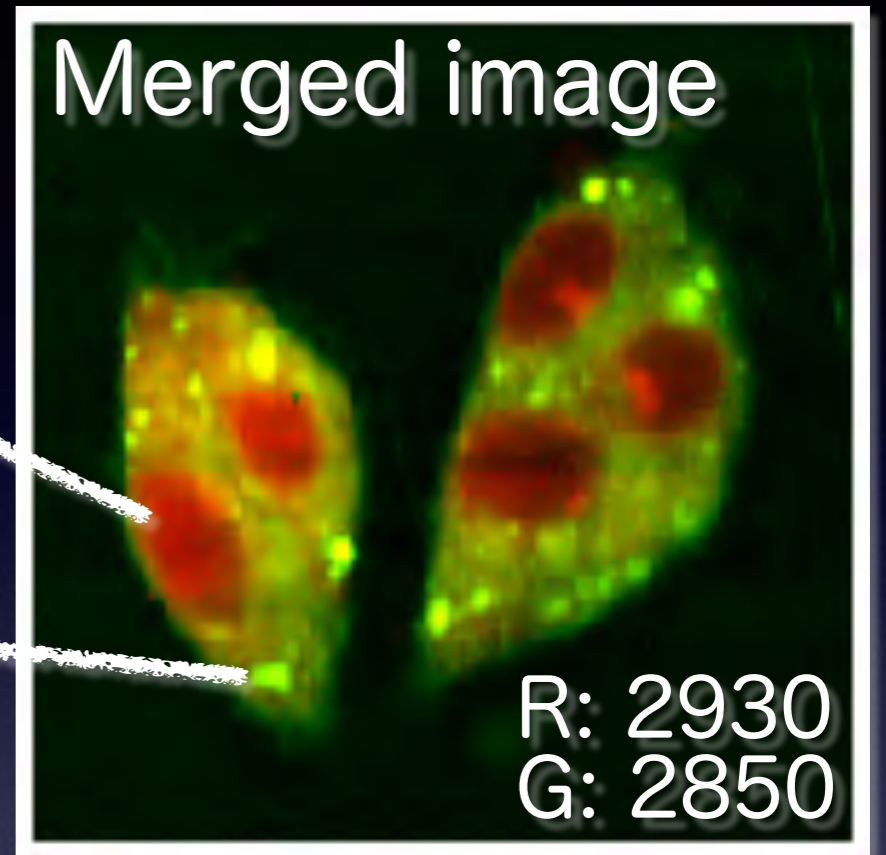
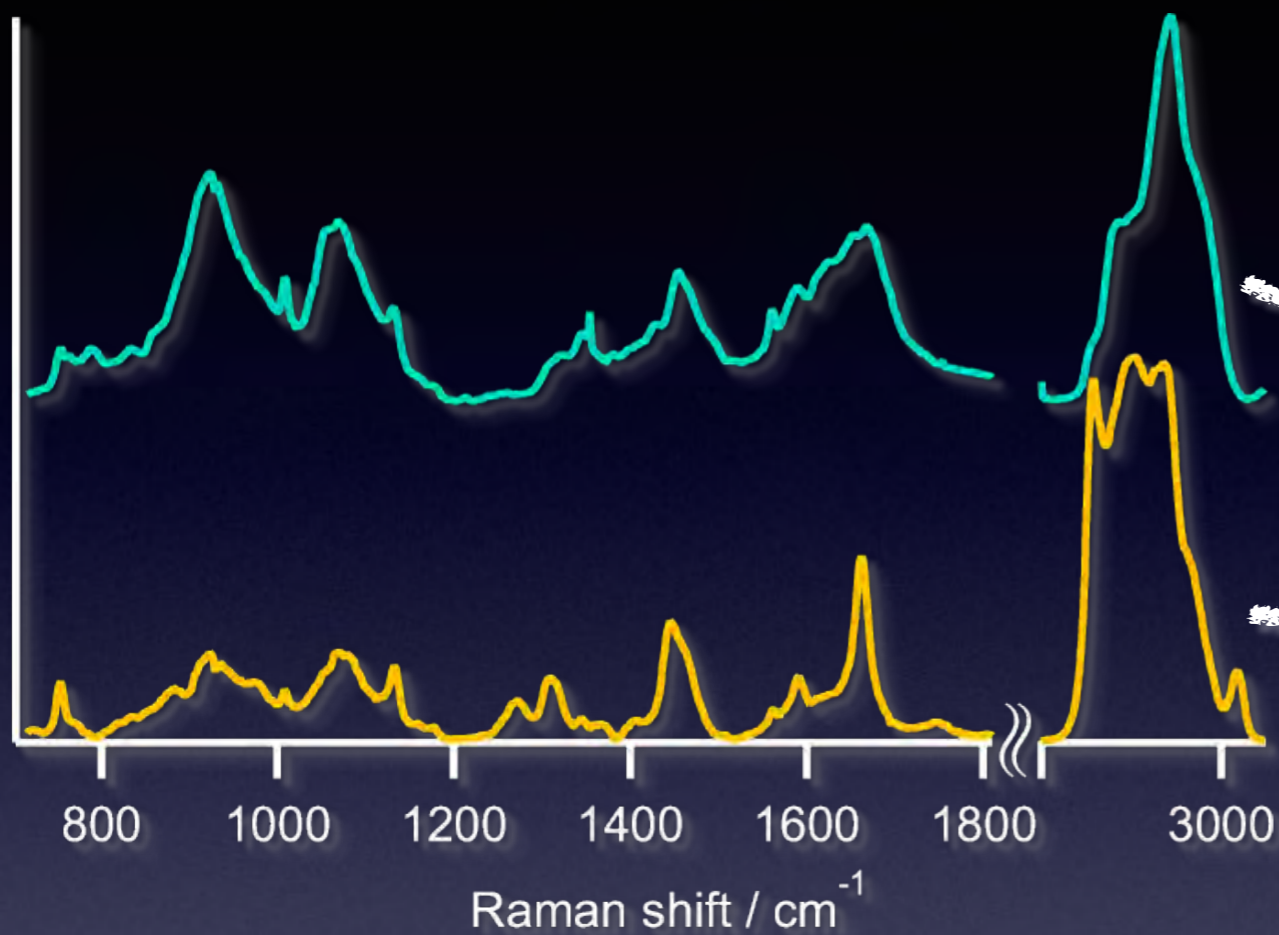
1000  $\text{cm}^{-1}$

1650  $\text{cm}^{-1}$

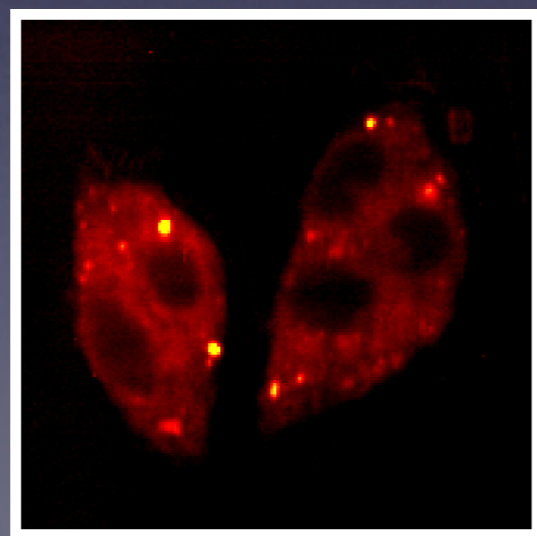
2850  $\text{cm}^{-1}$

2930  $\text{cm}^{-1}$

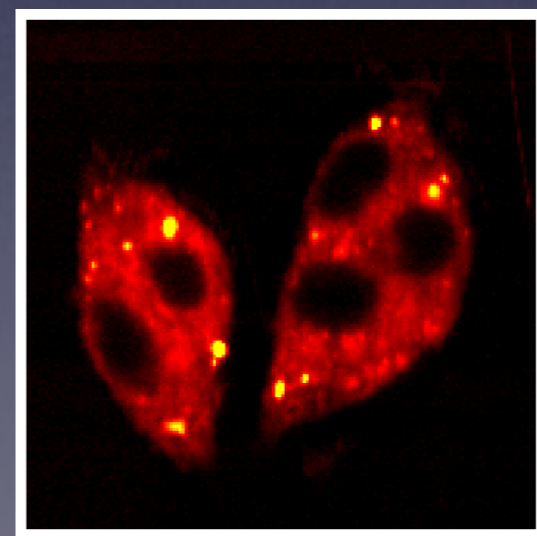
# Spectral Raman imaging



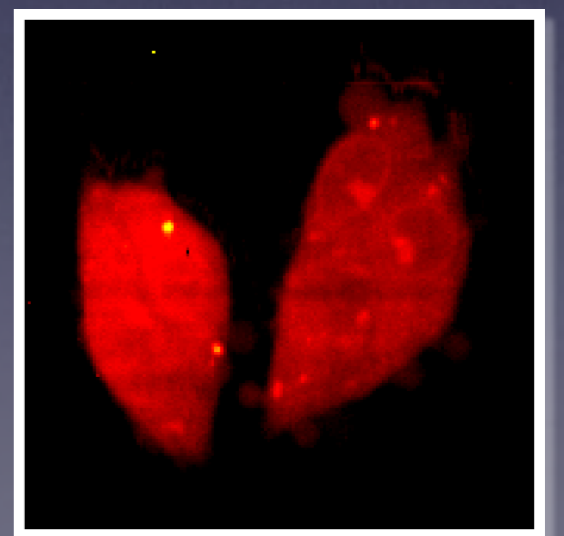
1000  $\text{cm}^{-1}$



1650  $\text{cm}^{-1}$



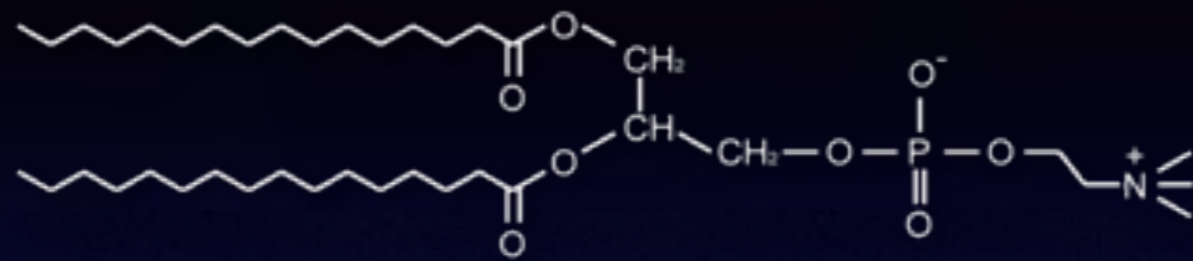
2850  $\text{cm}^{-1}$



2930  $\text{cm}^{-1}$

# Estimation of molecular structures

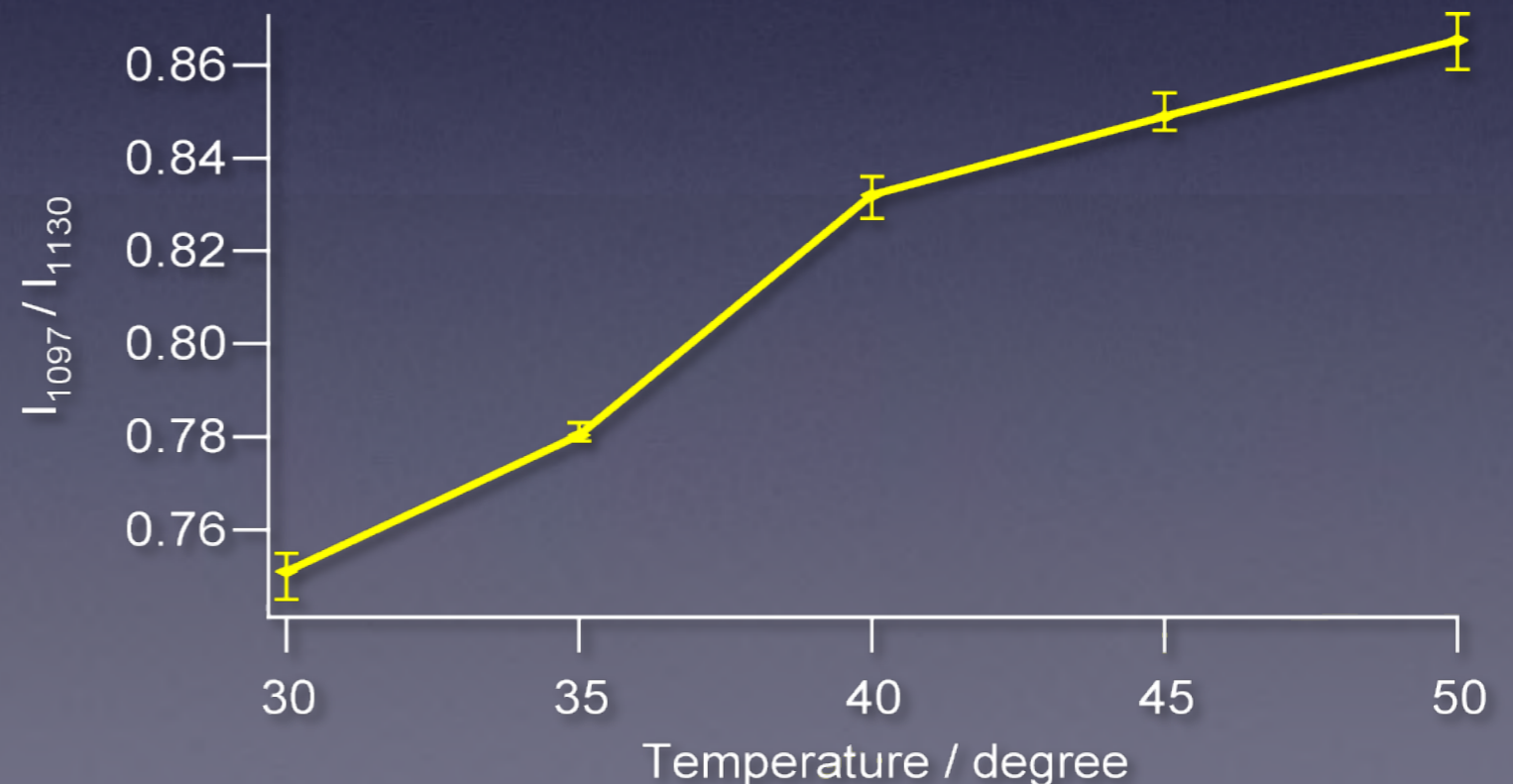
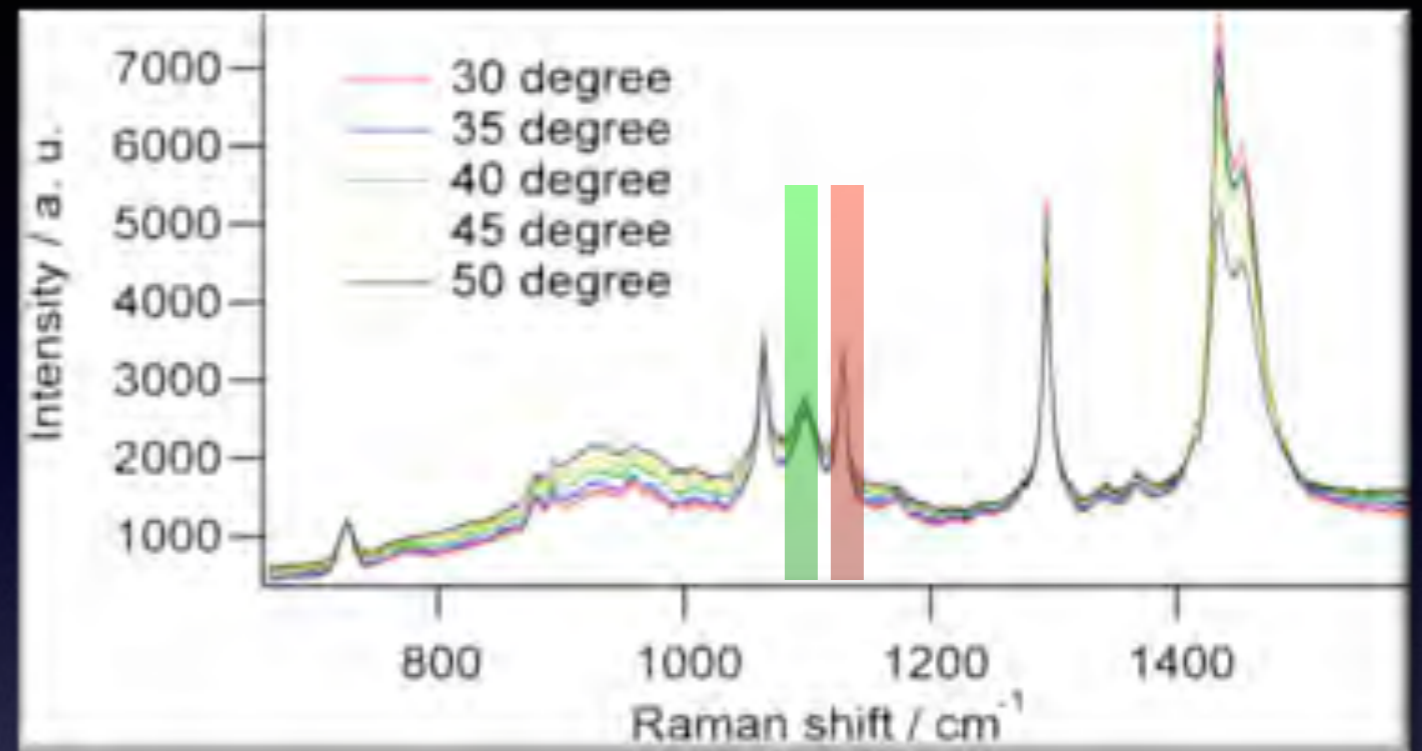
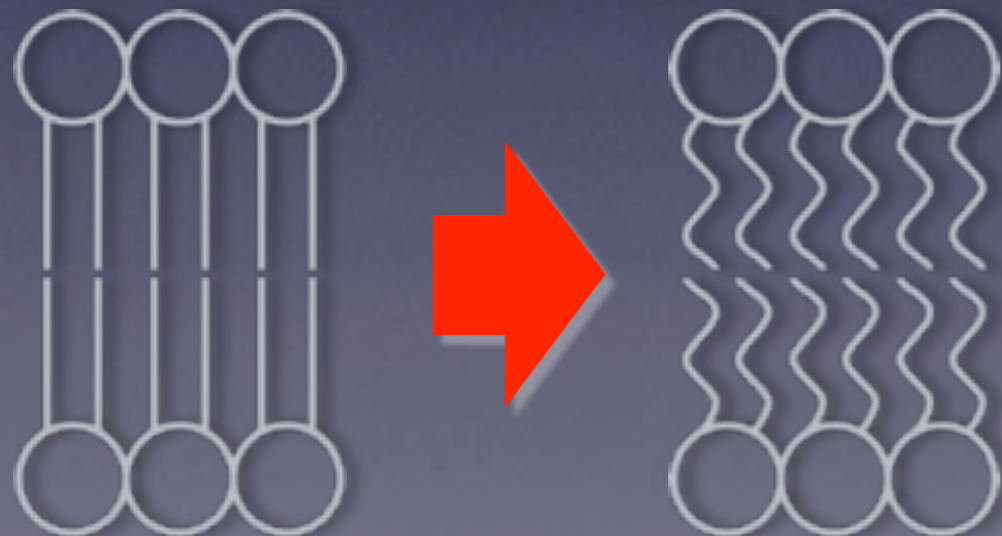
## リン脂質(DPPC)



温度上昇:

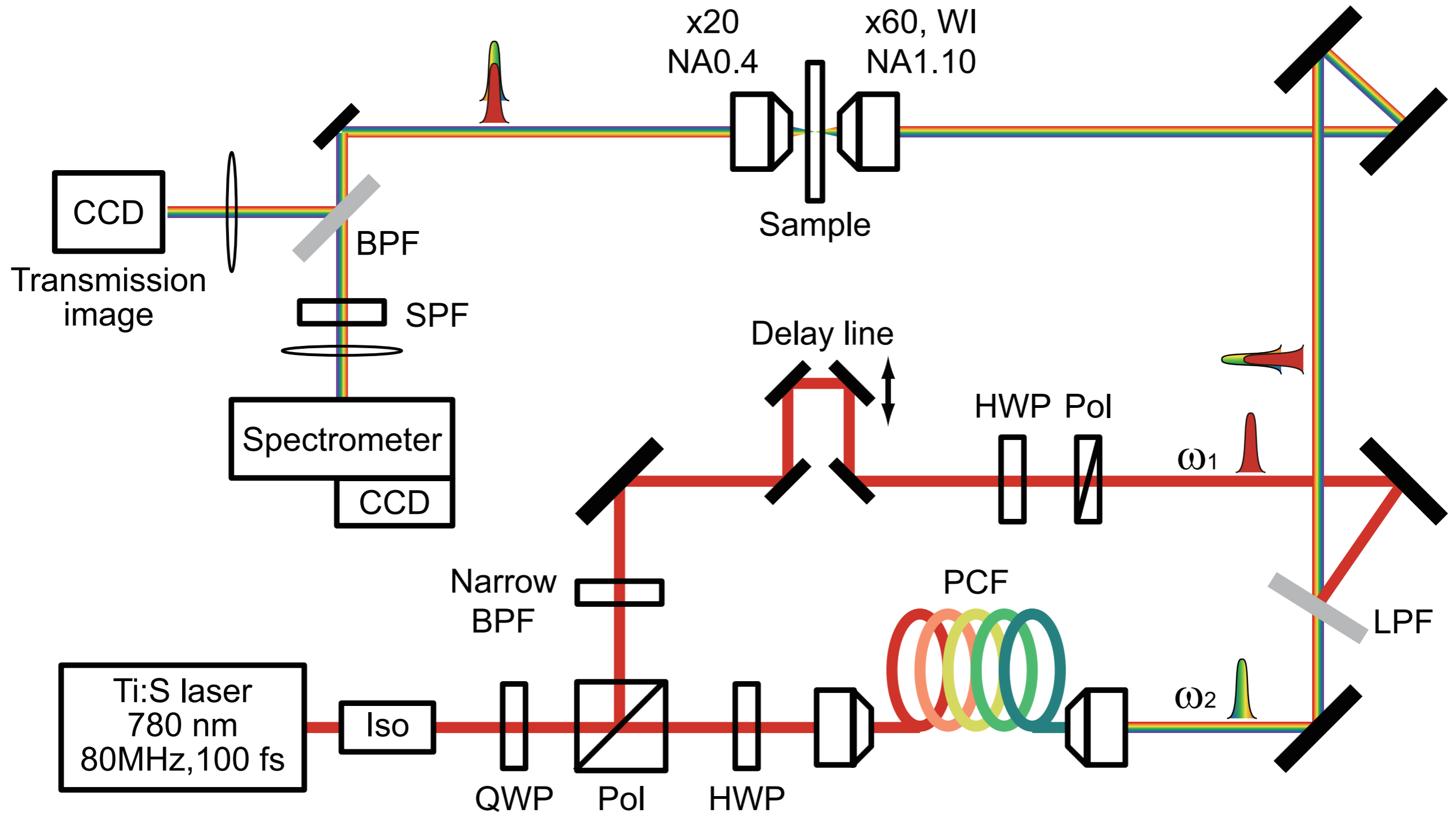
DPPC脂質のAcyl鎖

trans → gauche

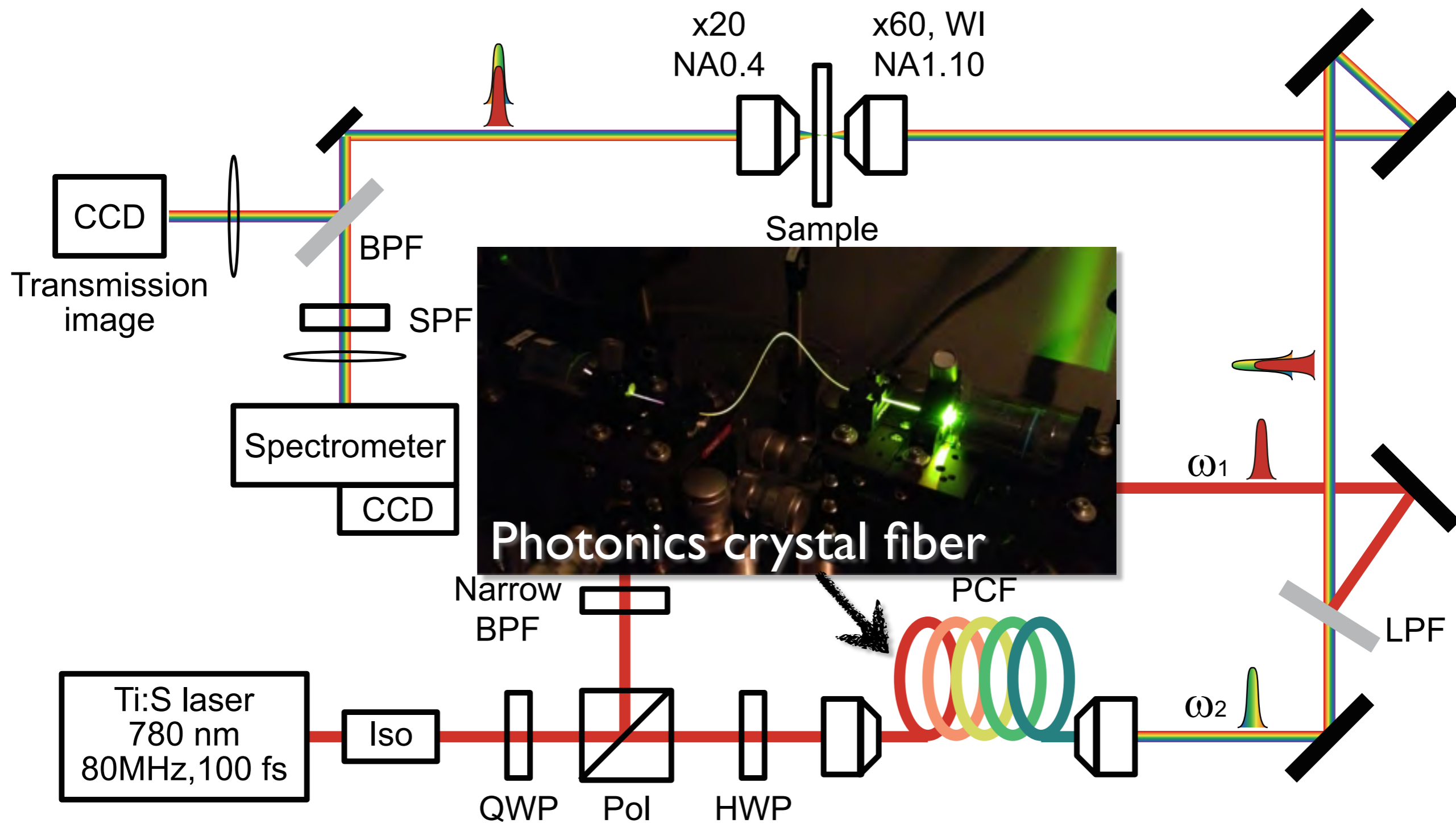




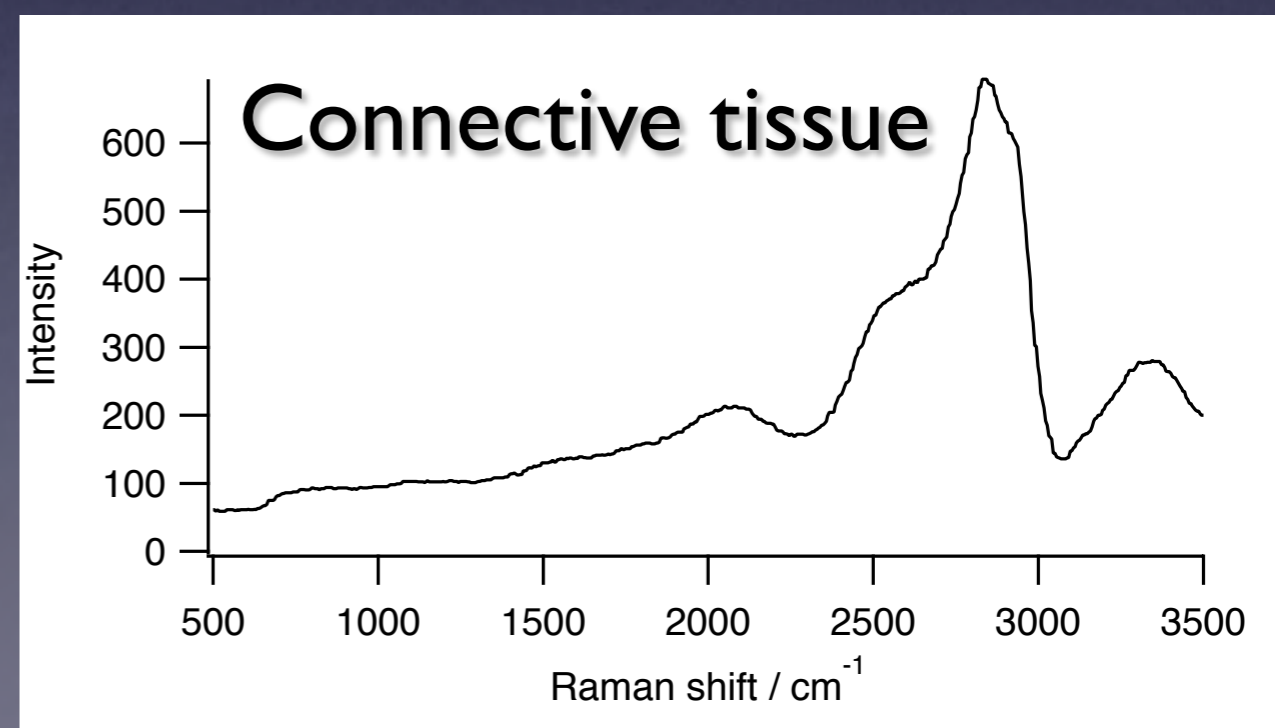
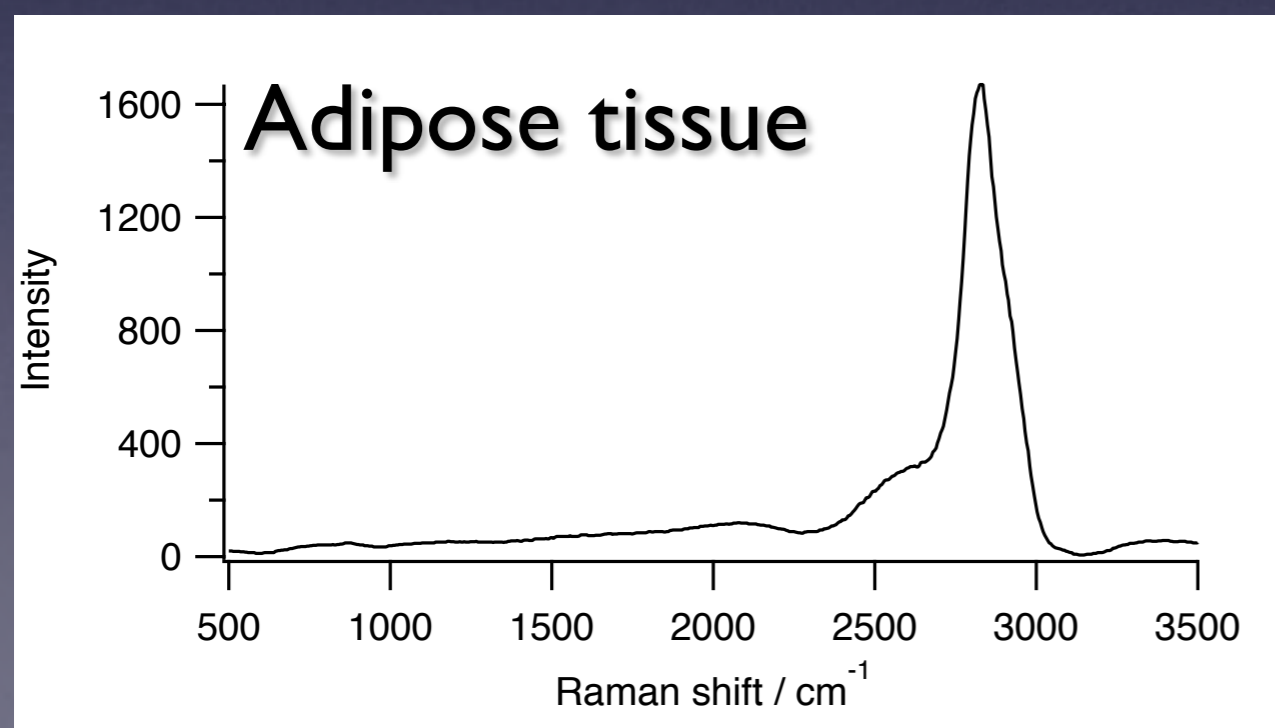
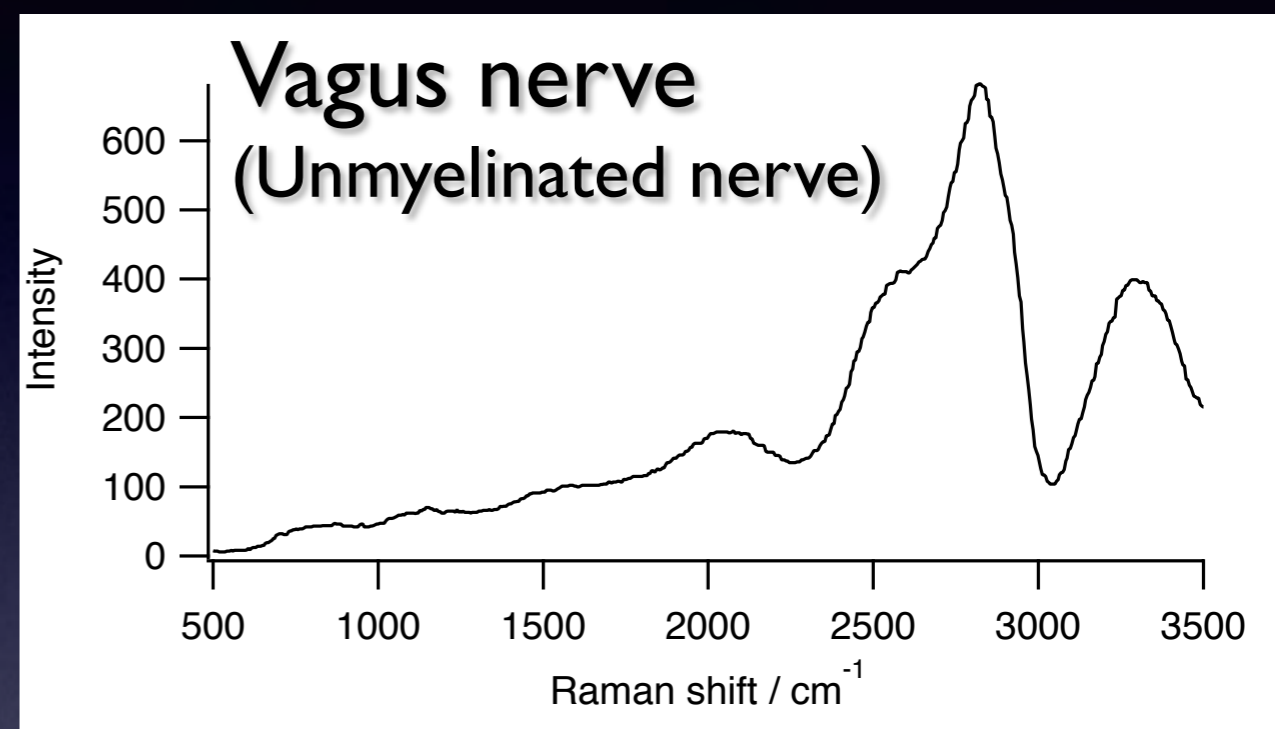
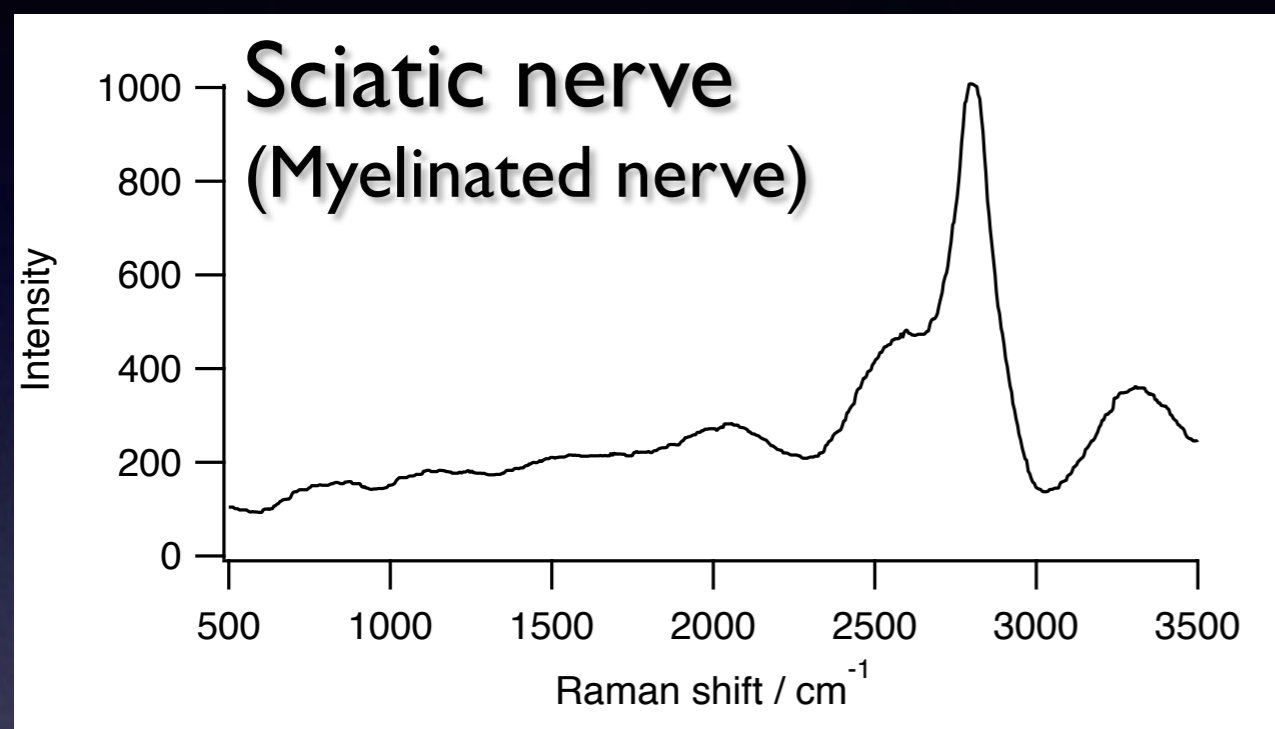
# Optical setup - Multiplex CARS -



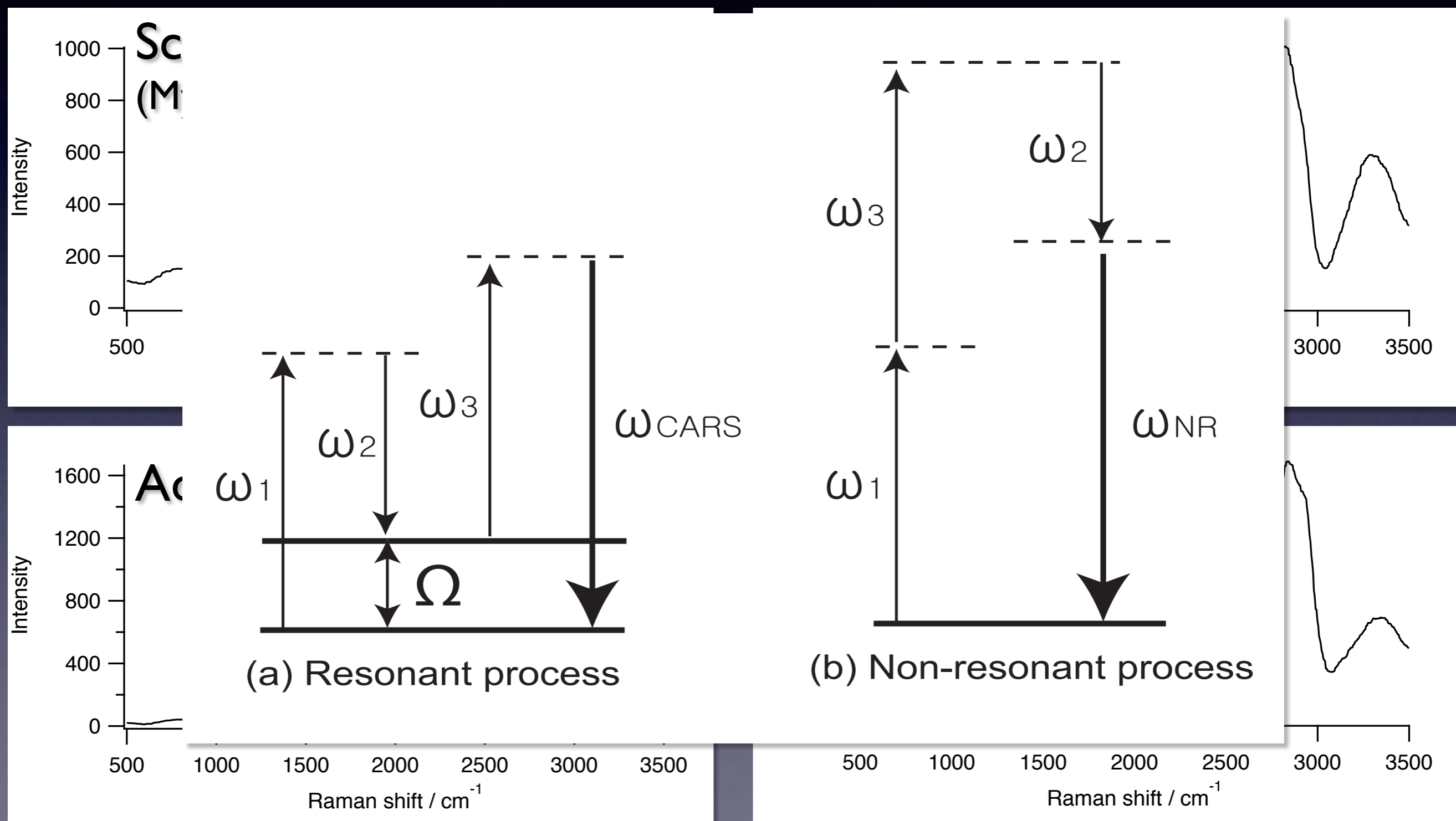
# Optical setup - Multiplex CARS -



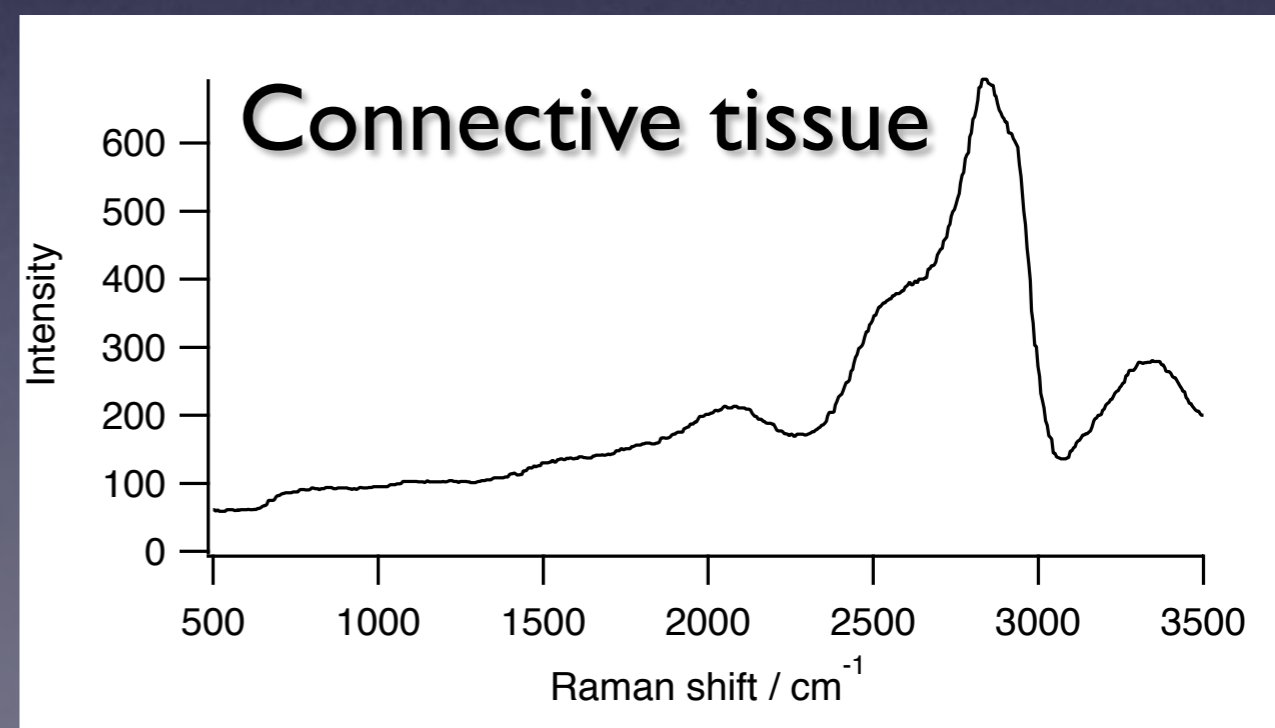
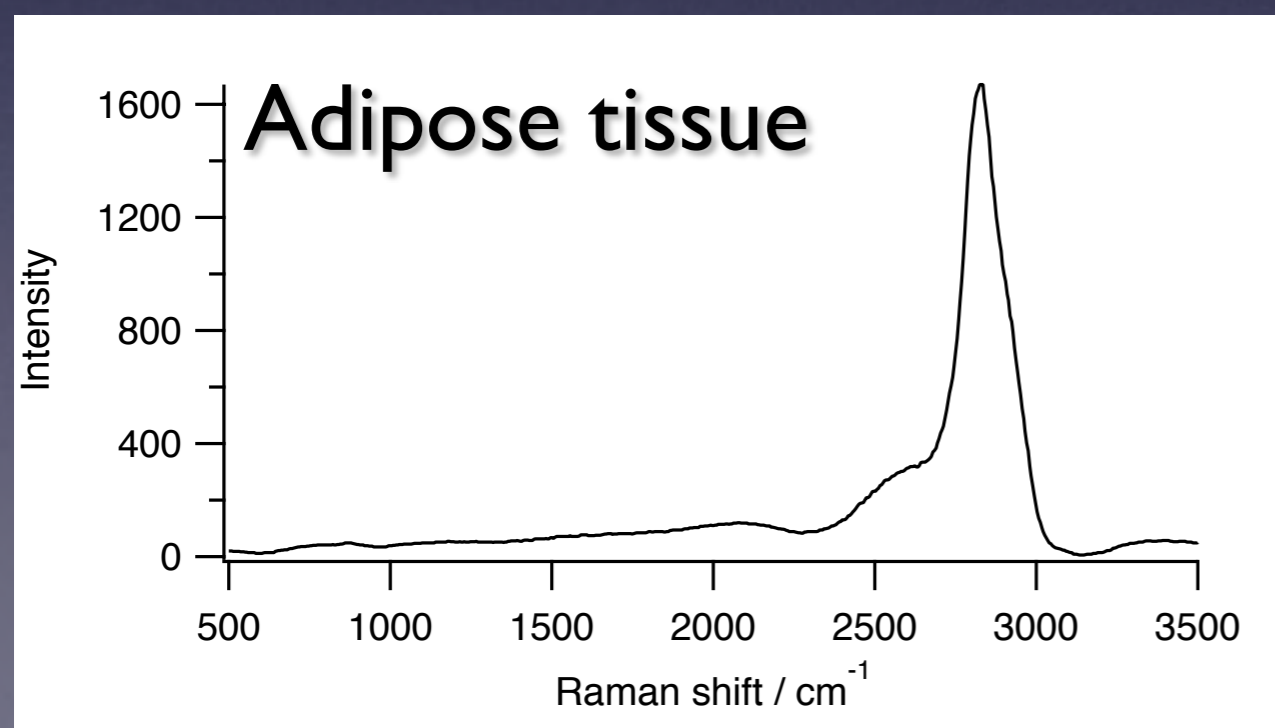
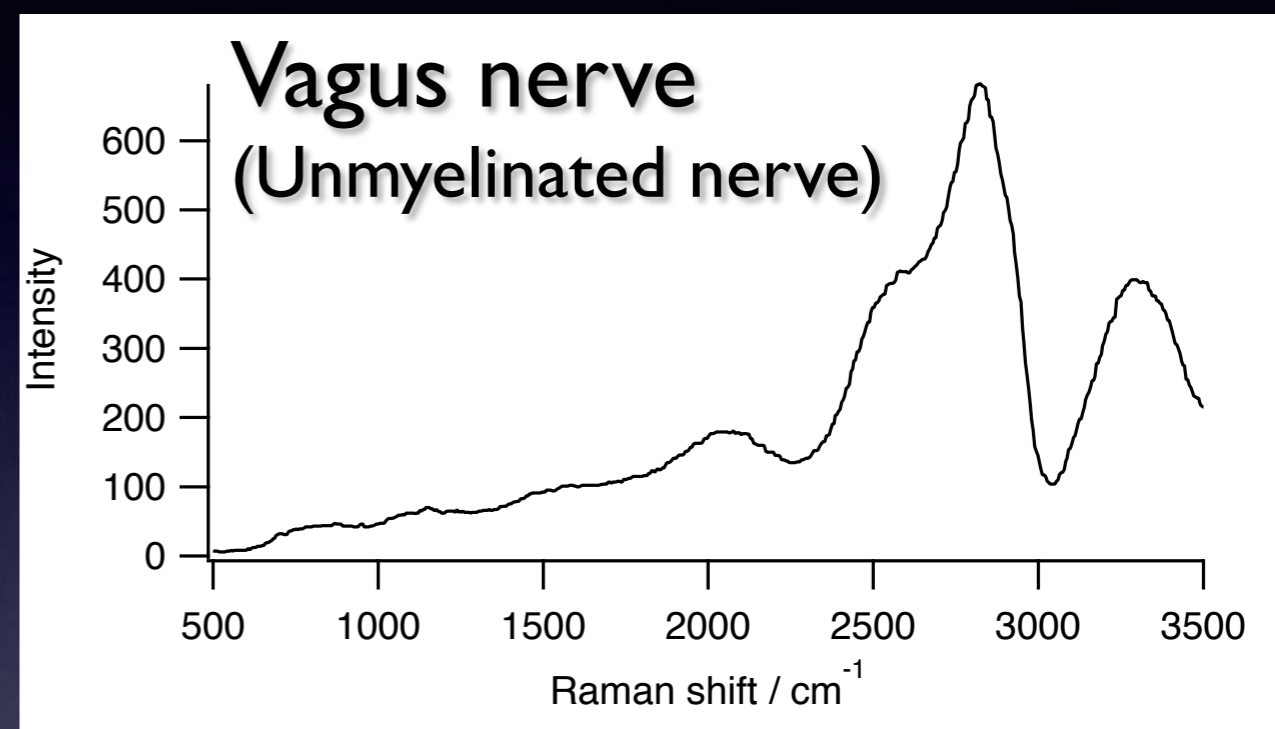
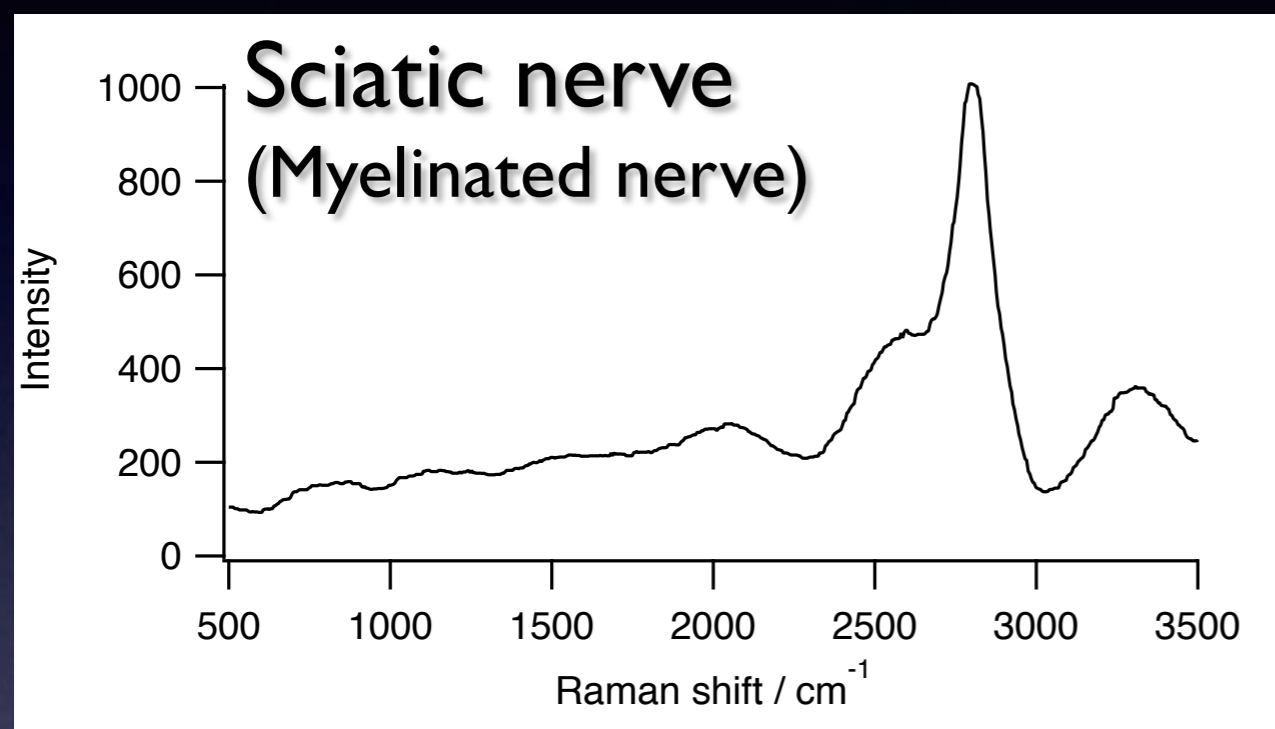
# Broadband CARS spectra of peripheral nerves



# Broadband CARS spectra of peripheral nerves

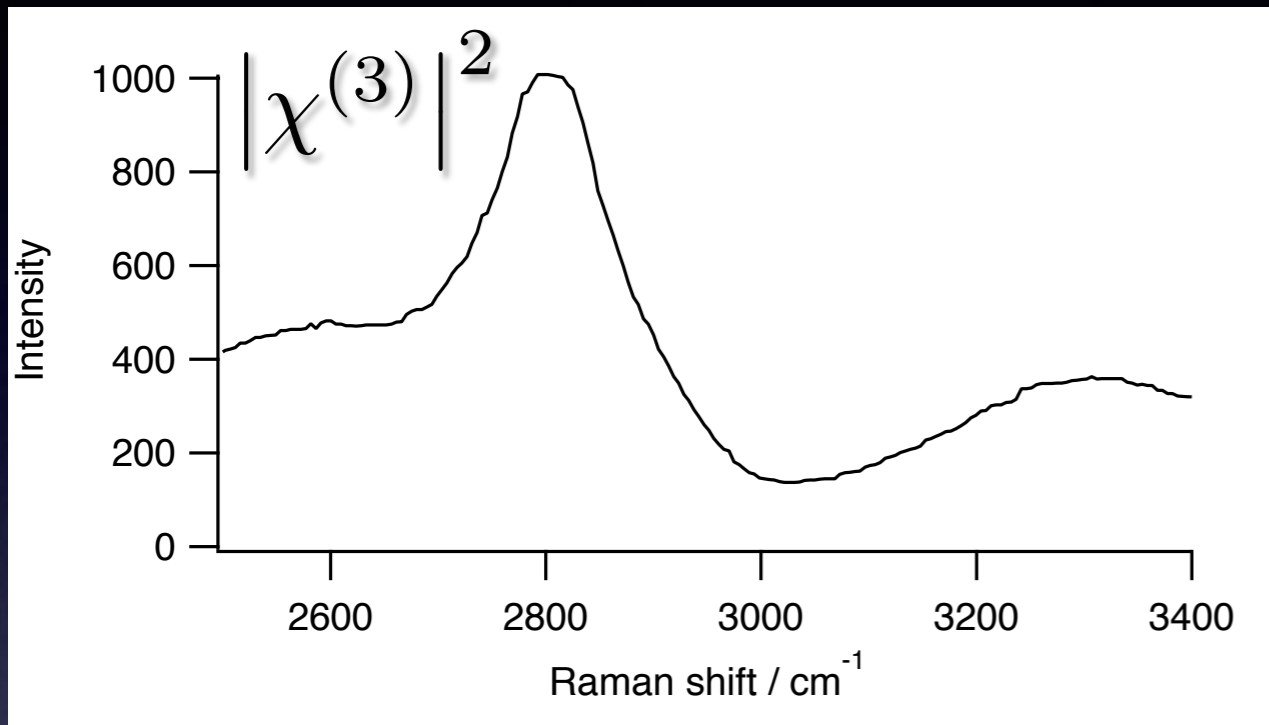


# Broadband CARS spectra of peripheral nerves

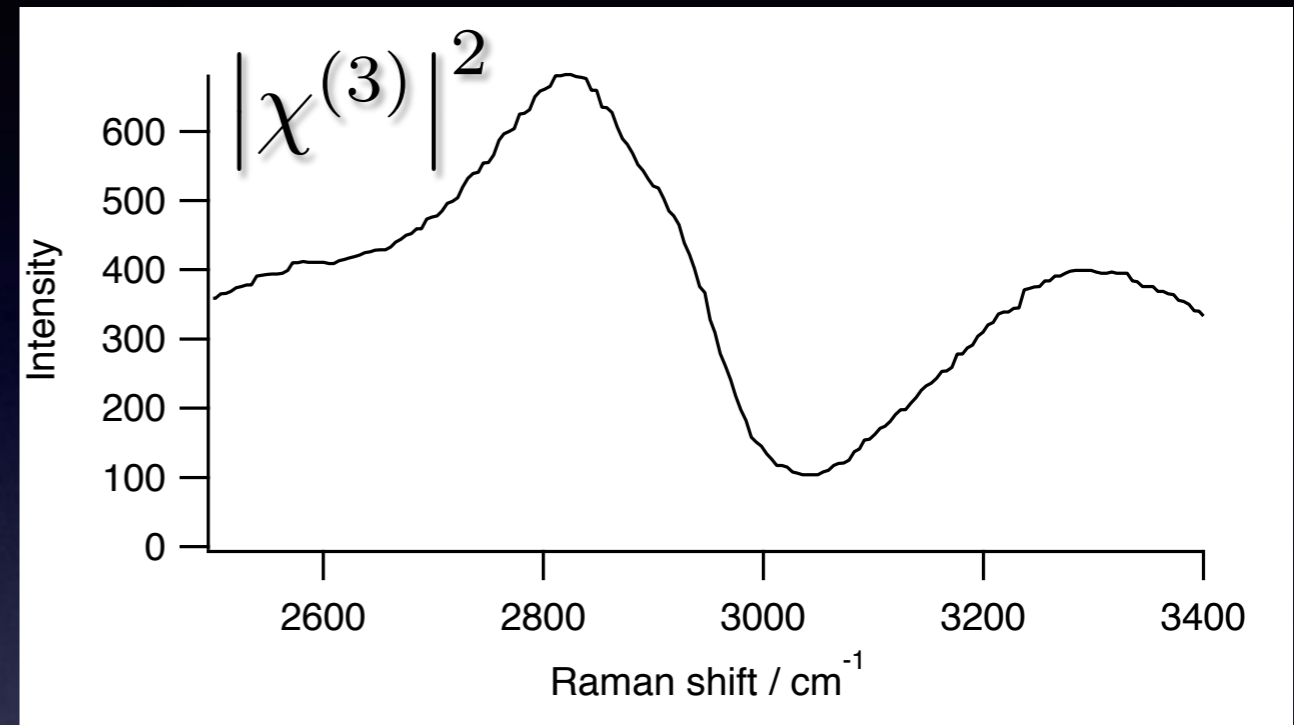


# CARS spectra at CH region

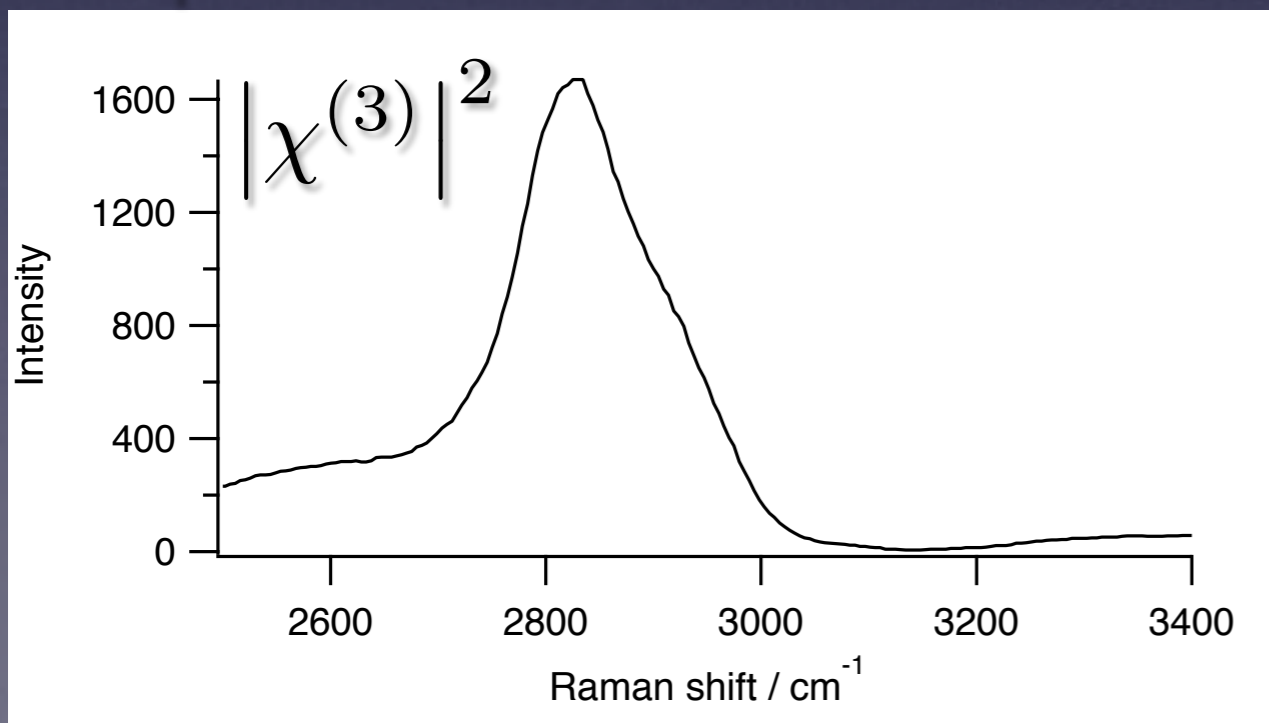
## Sciatic nerve (Myelinated nerve)



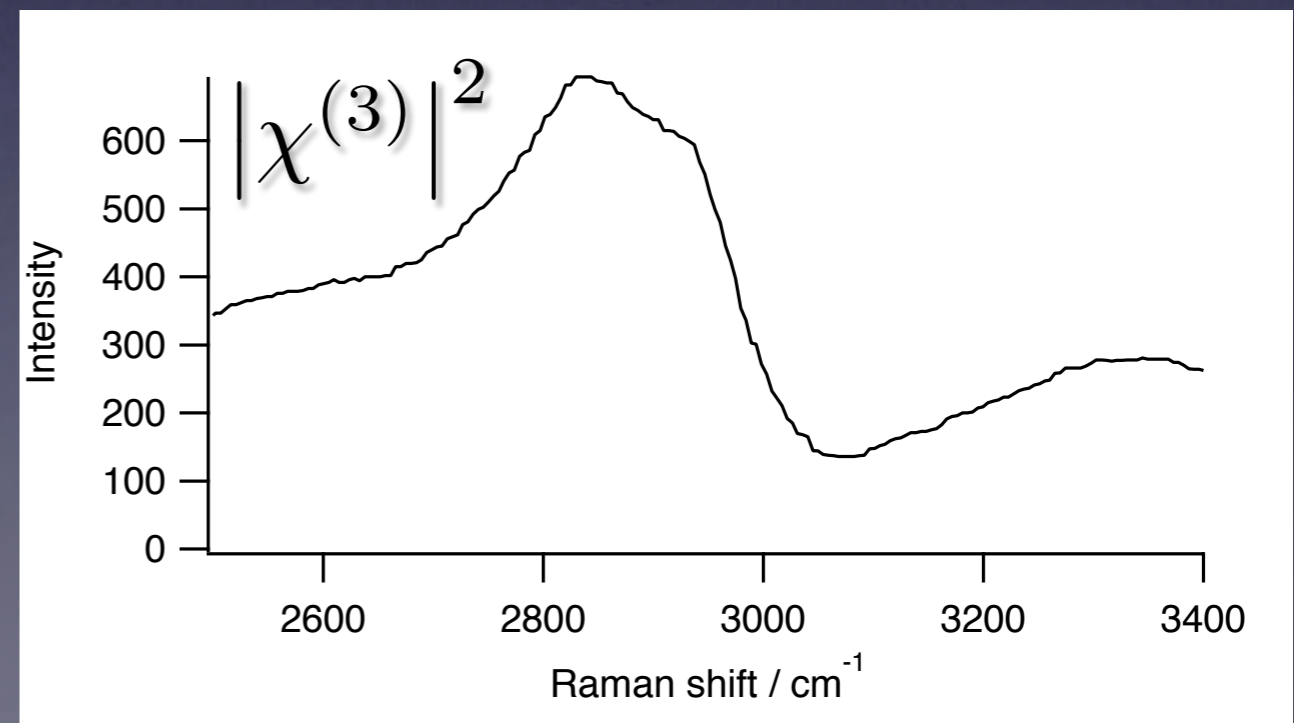
## Vagus nerve (Unmyelinated nerve)



## Adipose tissue

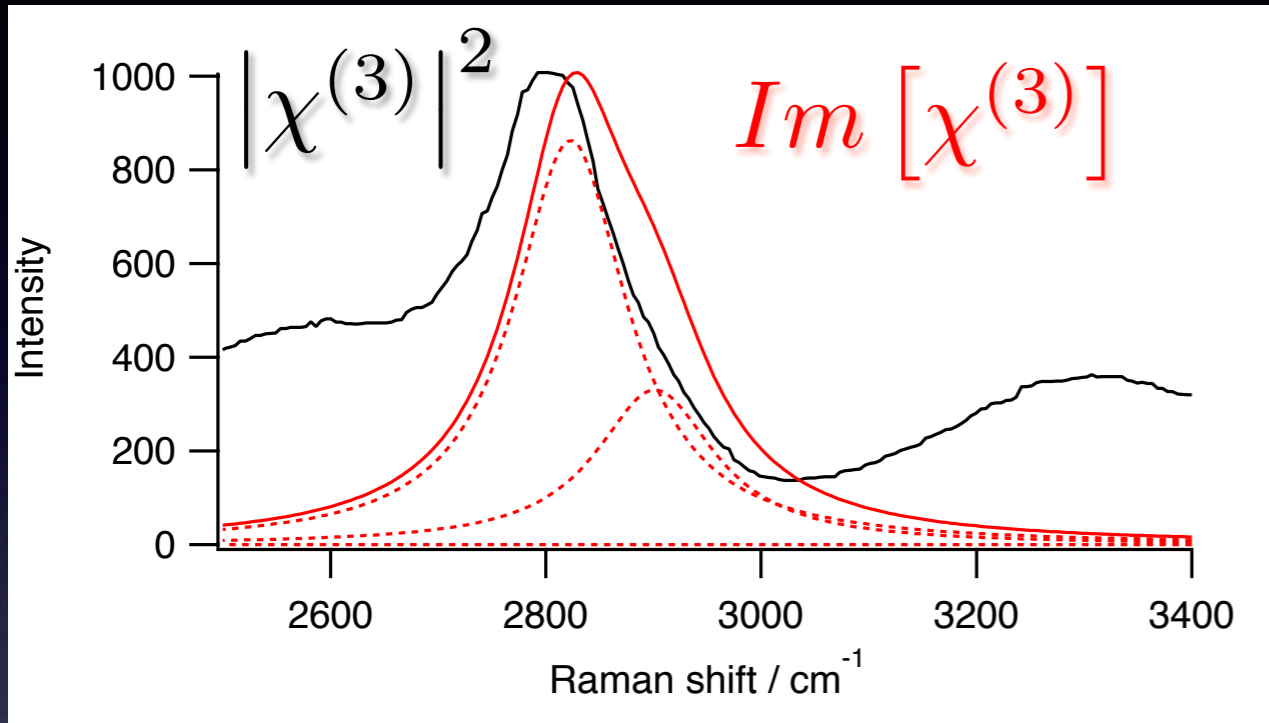


## Connective tissue

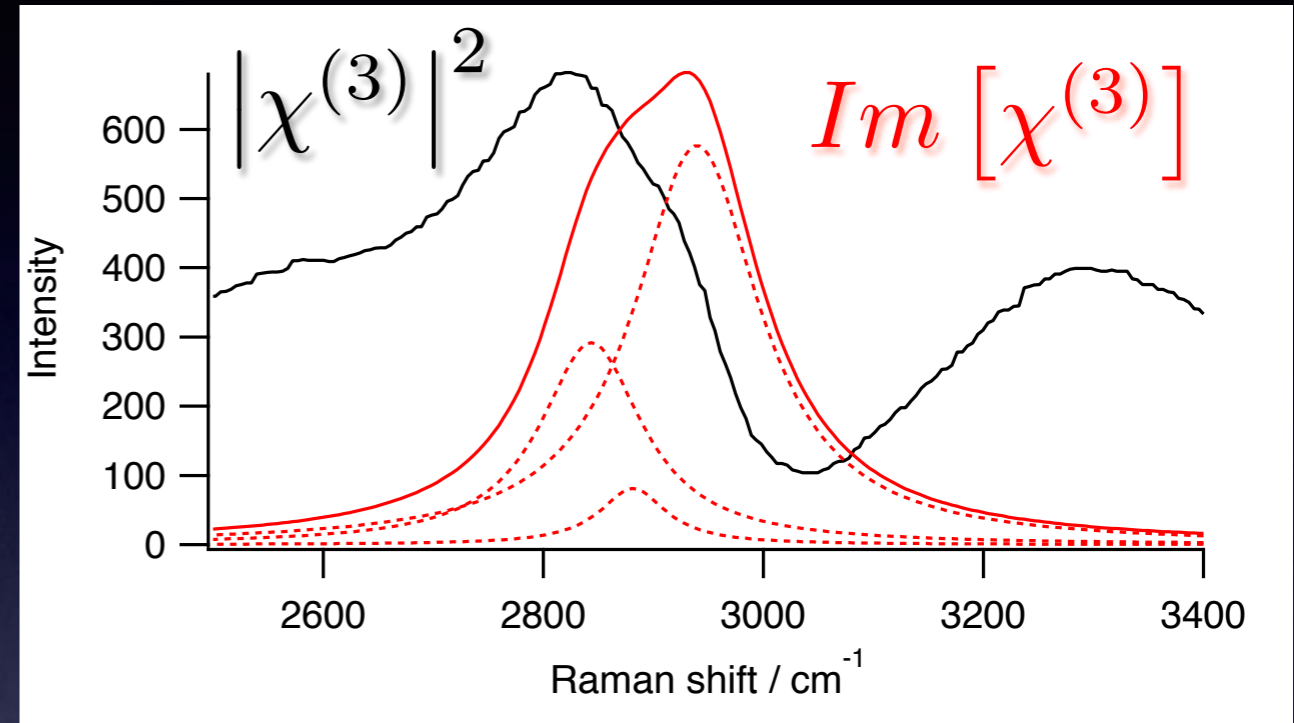


# CARS spectra at CH region

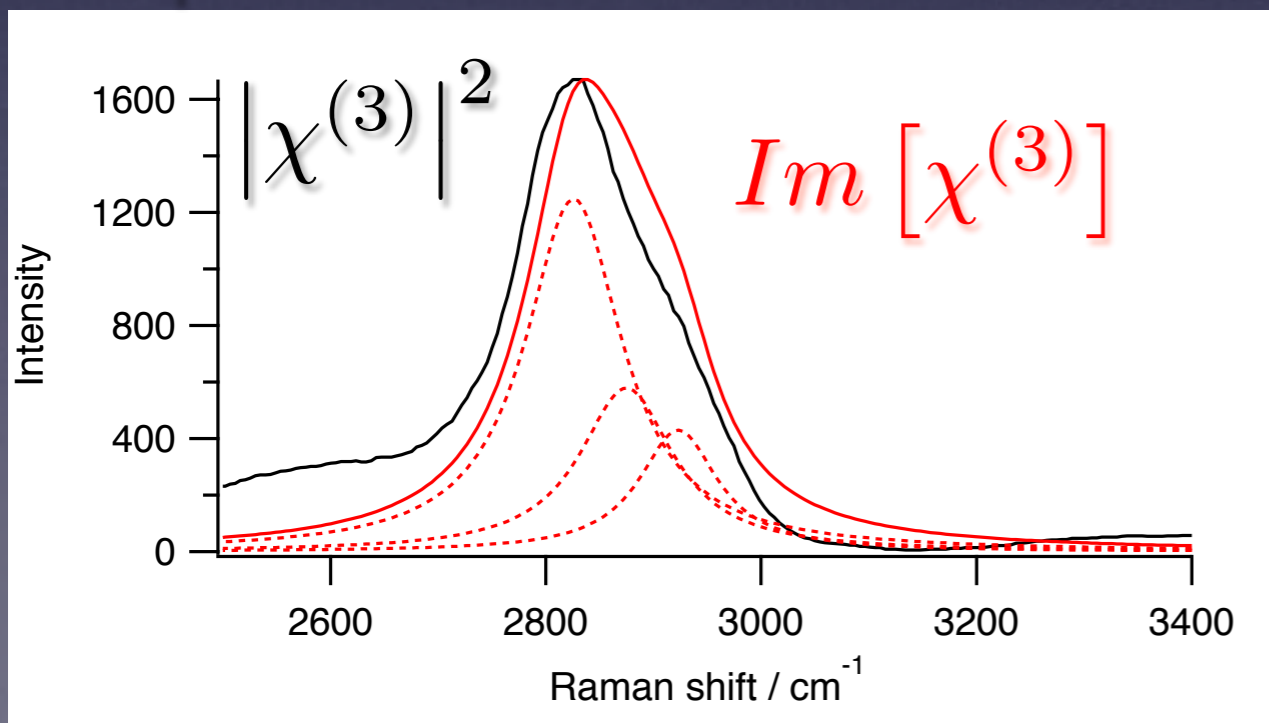
## Sciatic nerve (Myelinated nerve)



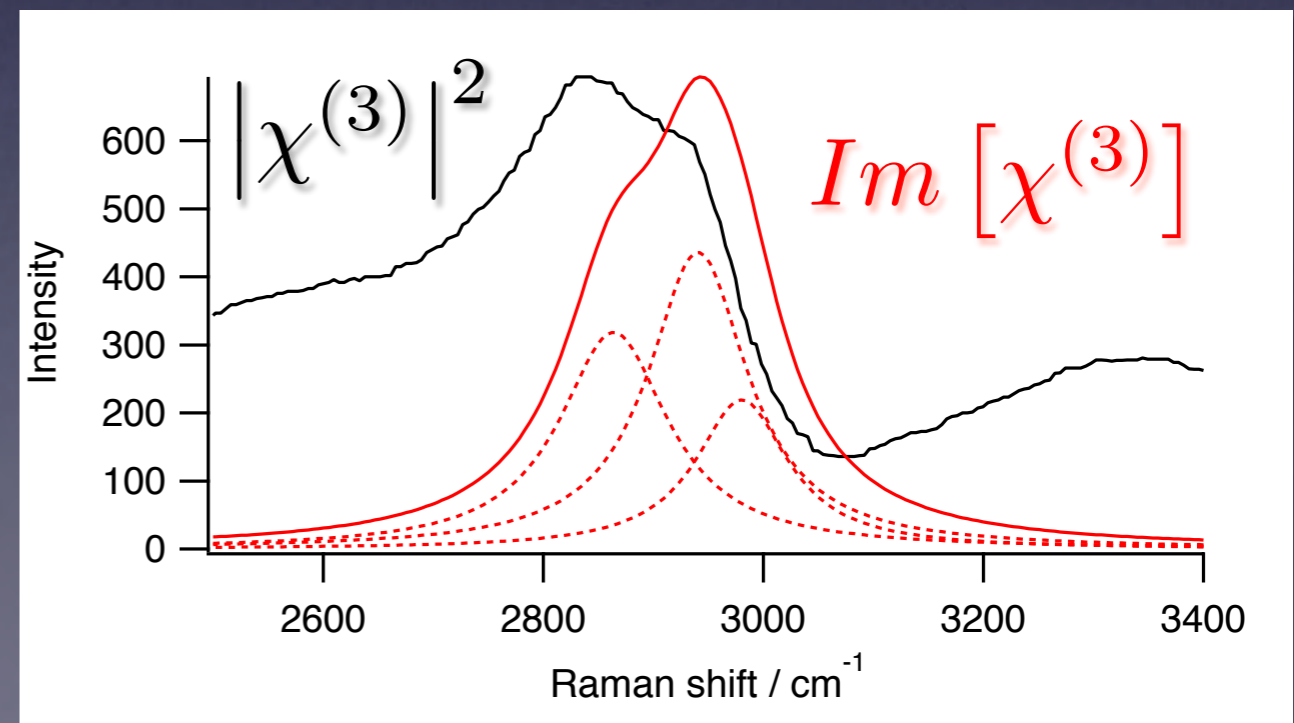
## Vagus nerve (Unmyelinated nerve)



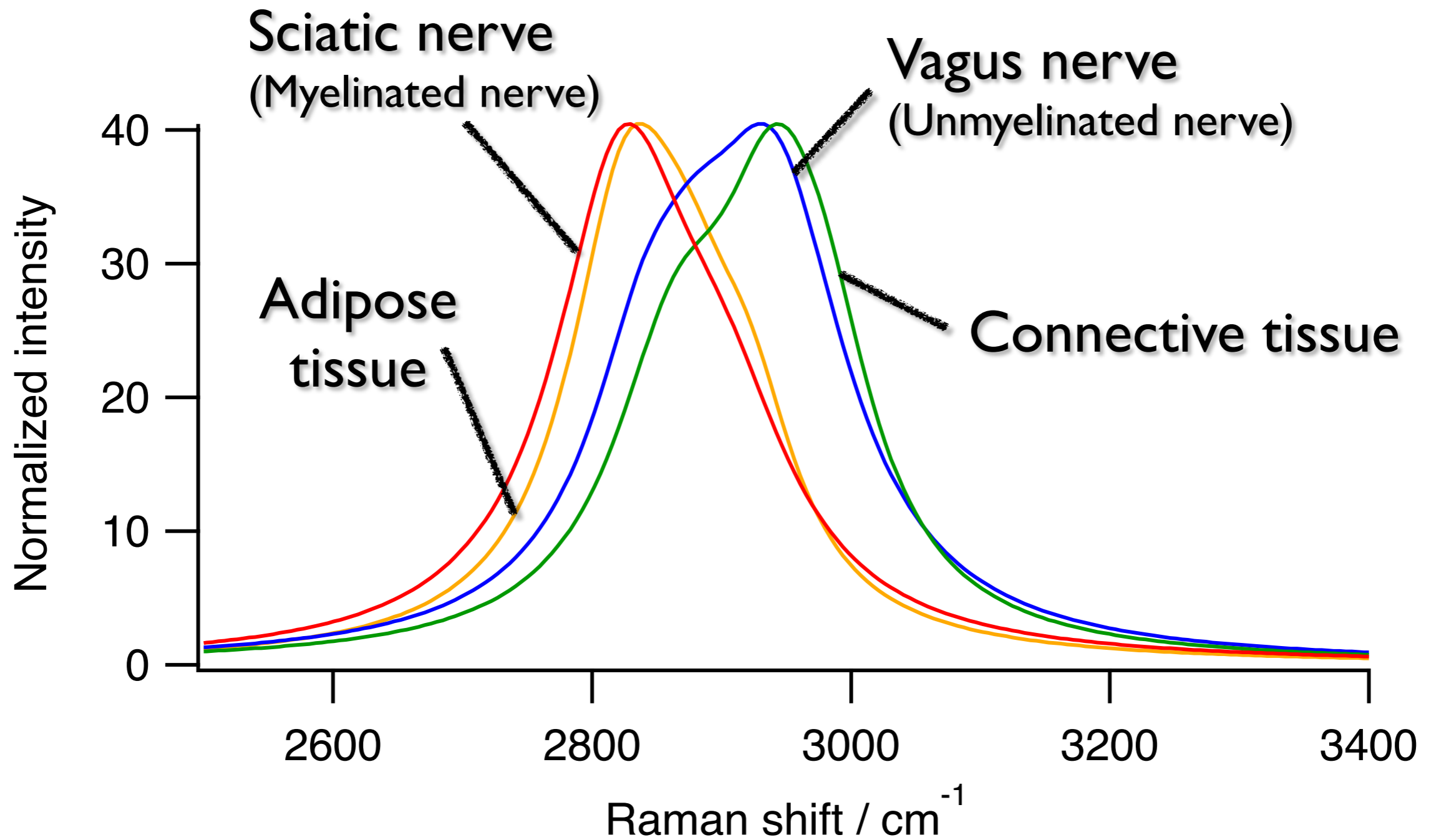
## Adipose tissue



## Connective tissue



# CARS spectra at CH region

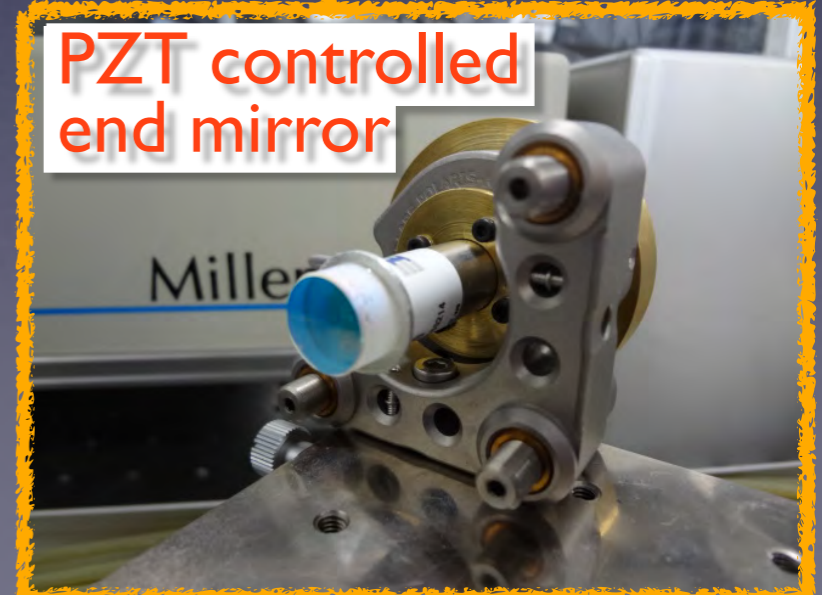
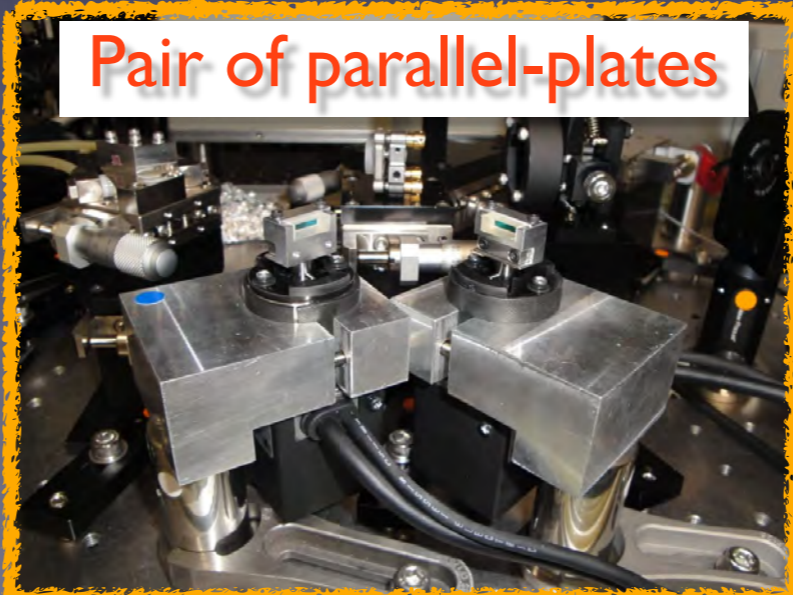
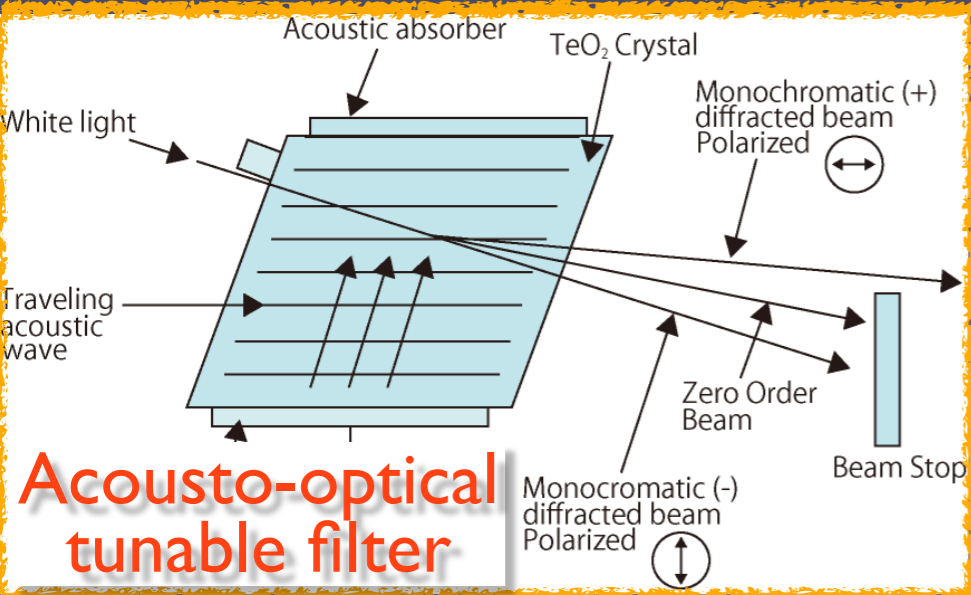
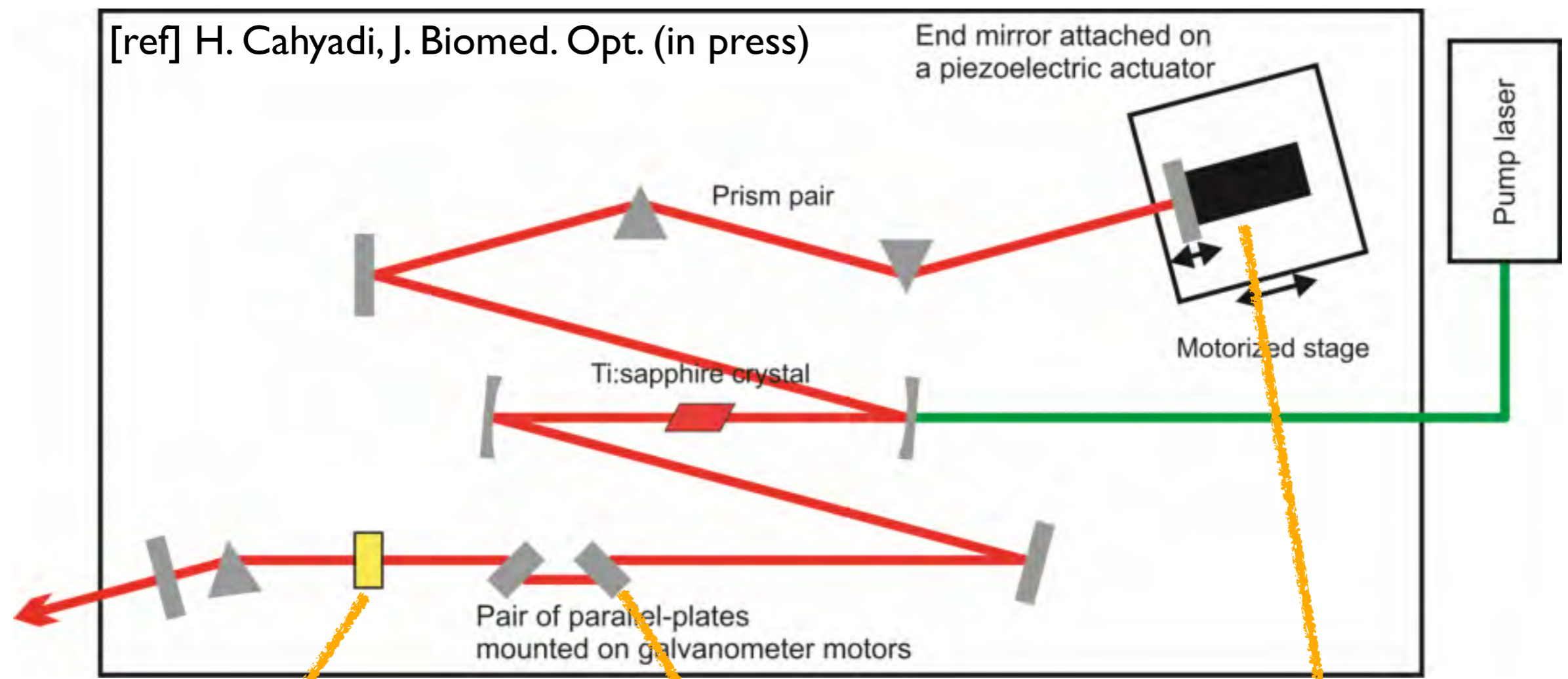




# Fast **spectral** CARS imaging

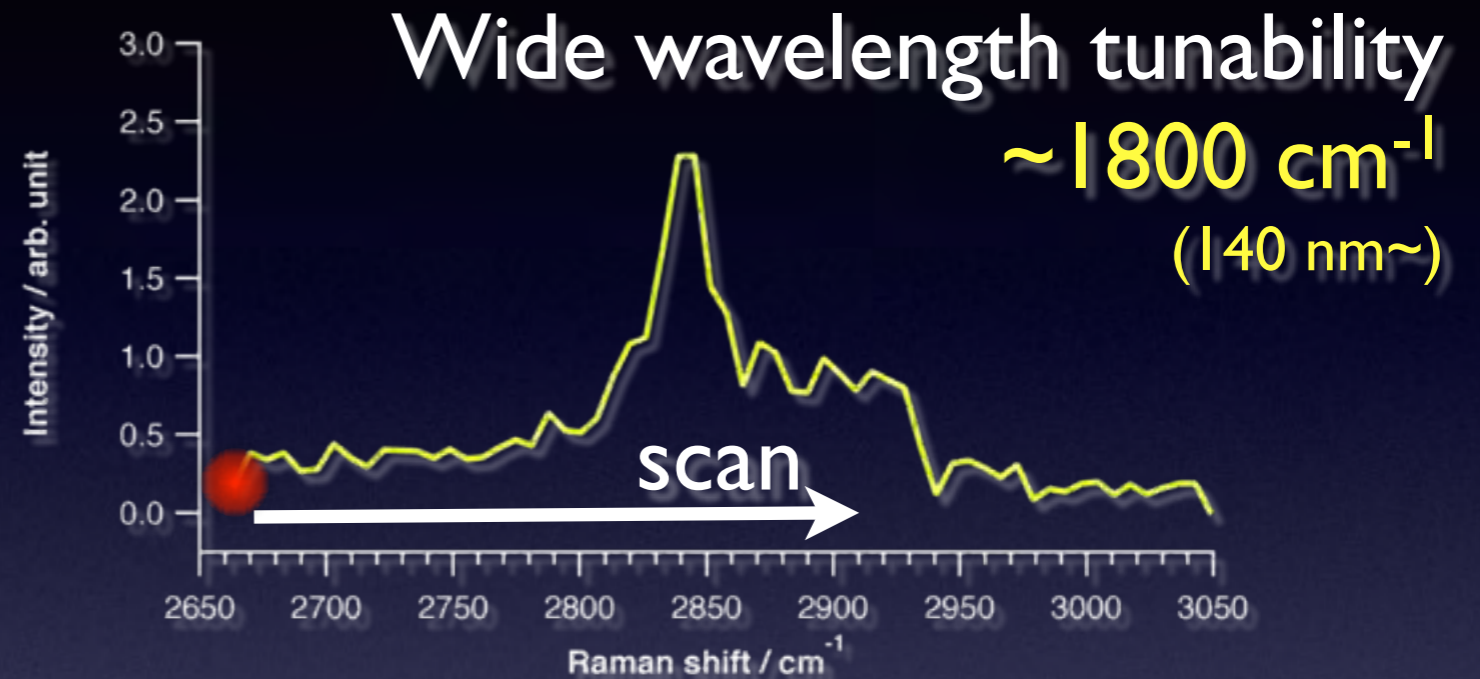
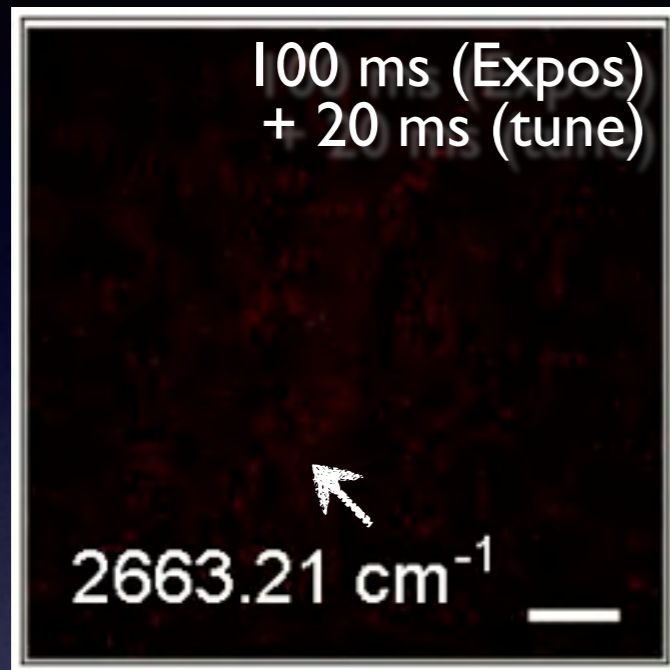
[ref] H. Cahyadi, J. Biomed. Opt. (in press)

End mirror attached on a piezoelectric actuator

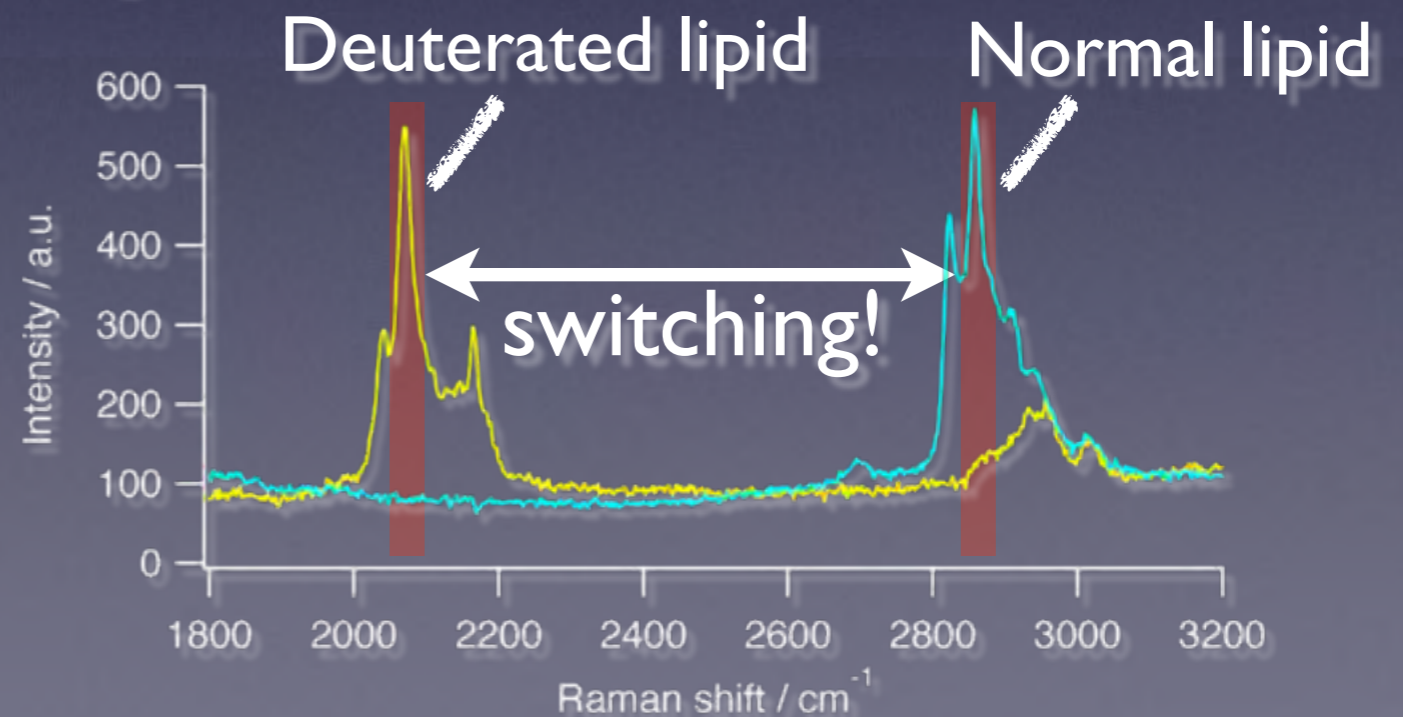
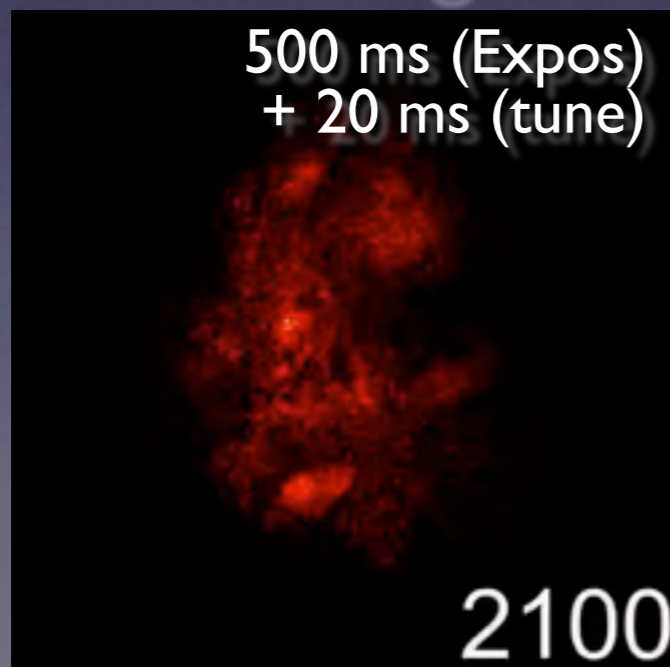


# Fast **spectral** CARS imaging

✓ Fast wavelength tuning **<20 ms**



✓ Fast wavelength switching **<20 ms**



# Towards better molecular imaging in biology and medicine

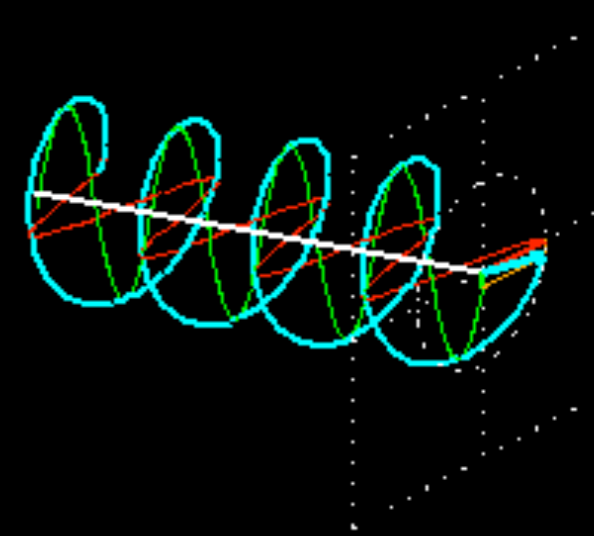
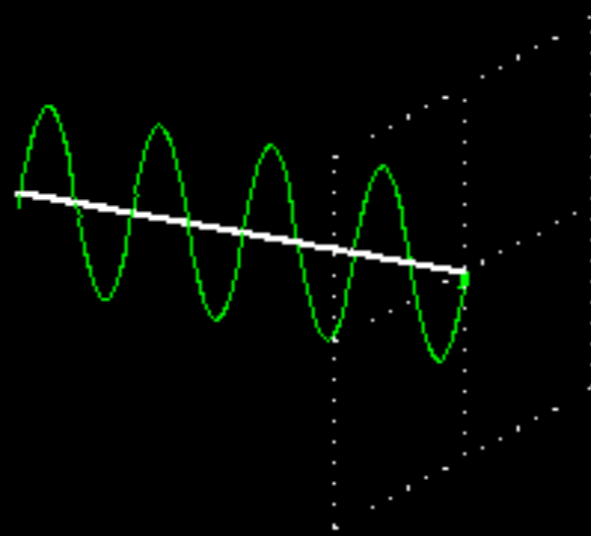
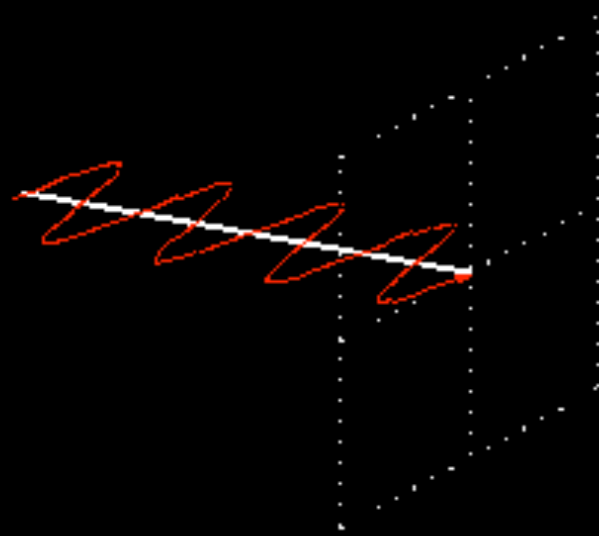
- ✓ 速く撮りたい！
- ✓ 分子の選択性を高めたい！
- ✓ 分子分布以外の分子情報を得たい！

顕微ラマン散乱分光法 + 非線形光学

非線形顕微ラマン散乱分光法

(CARS: Coherent anti-Stokes Raman scattering)

# Orientation measurement by light polarization



直線偏光 (水平)

直線偏光 (垂直)

円偏光

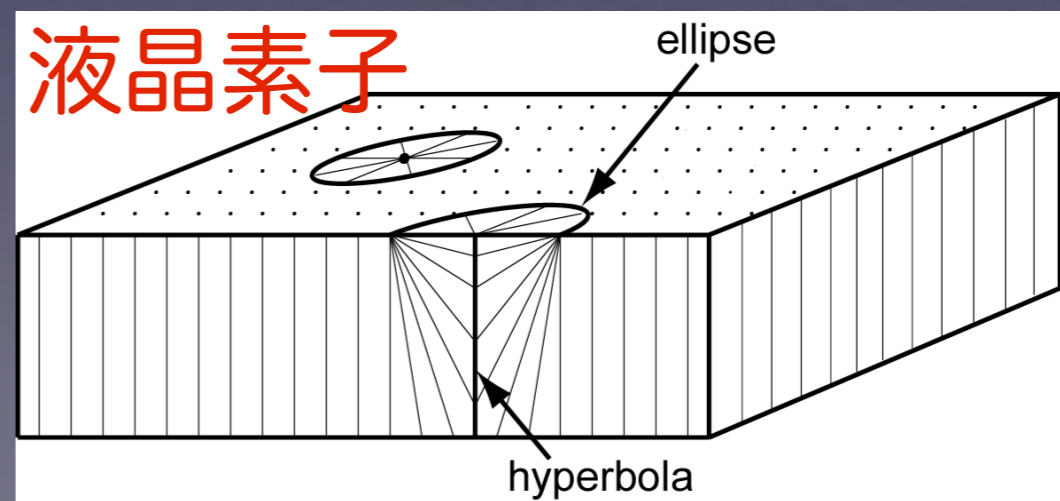
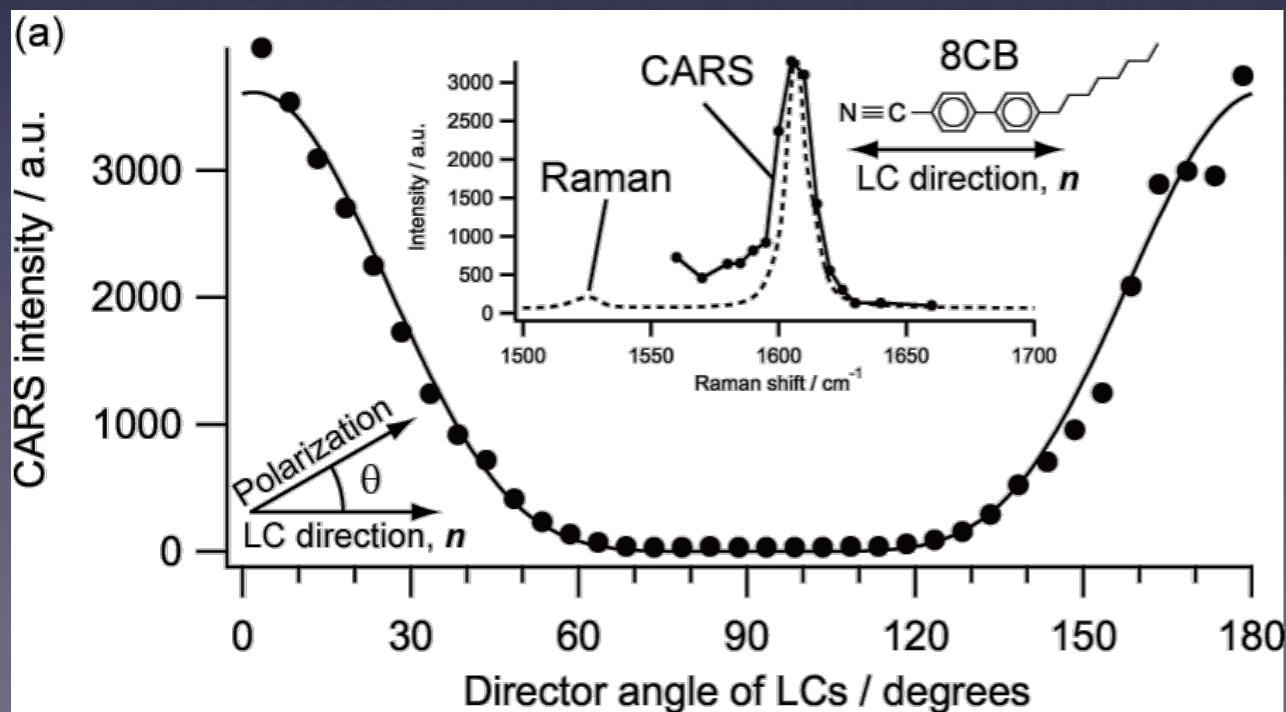
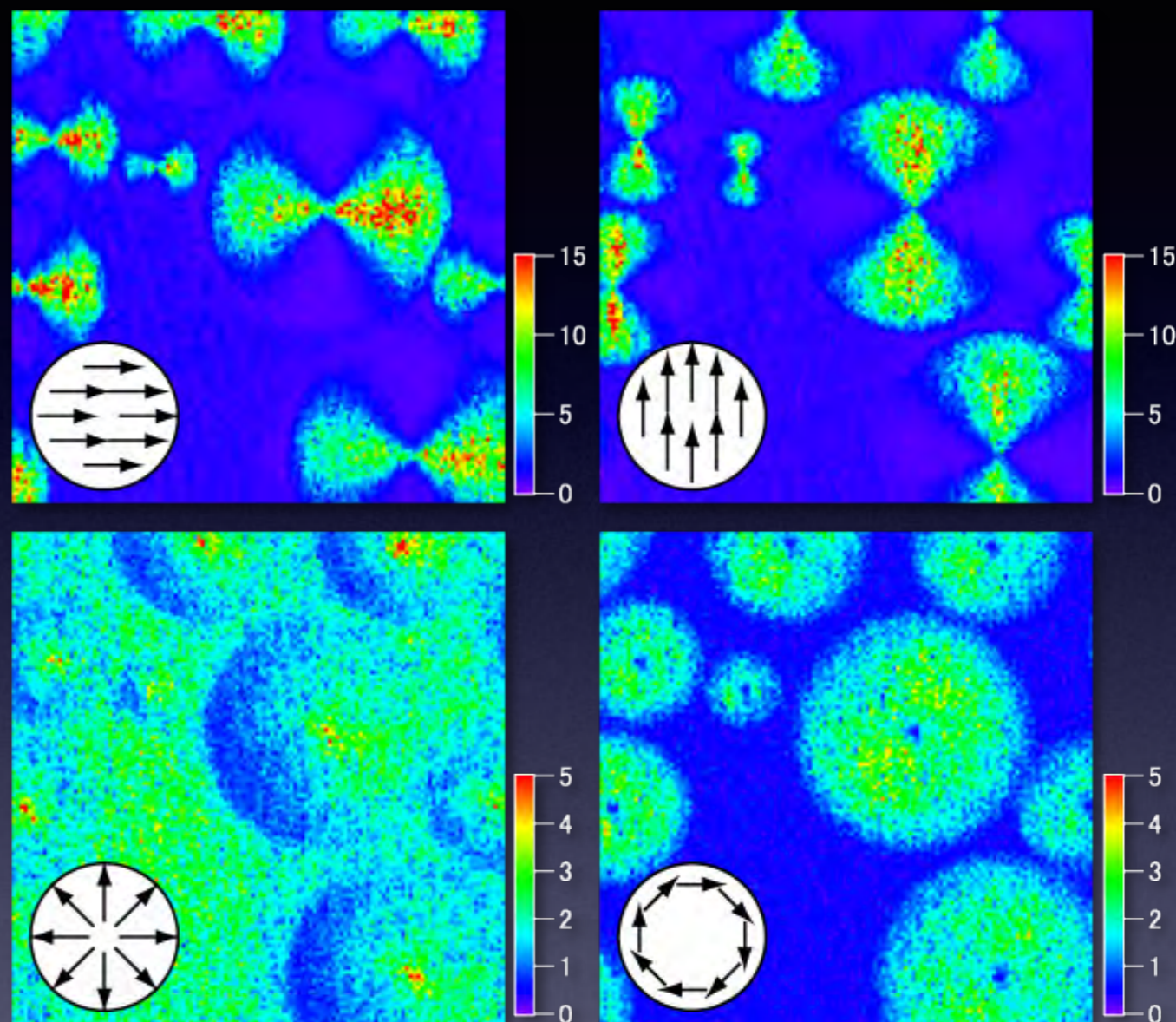
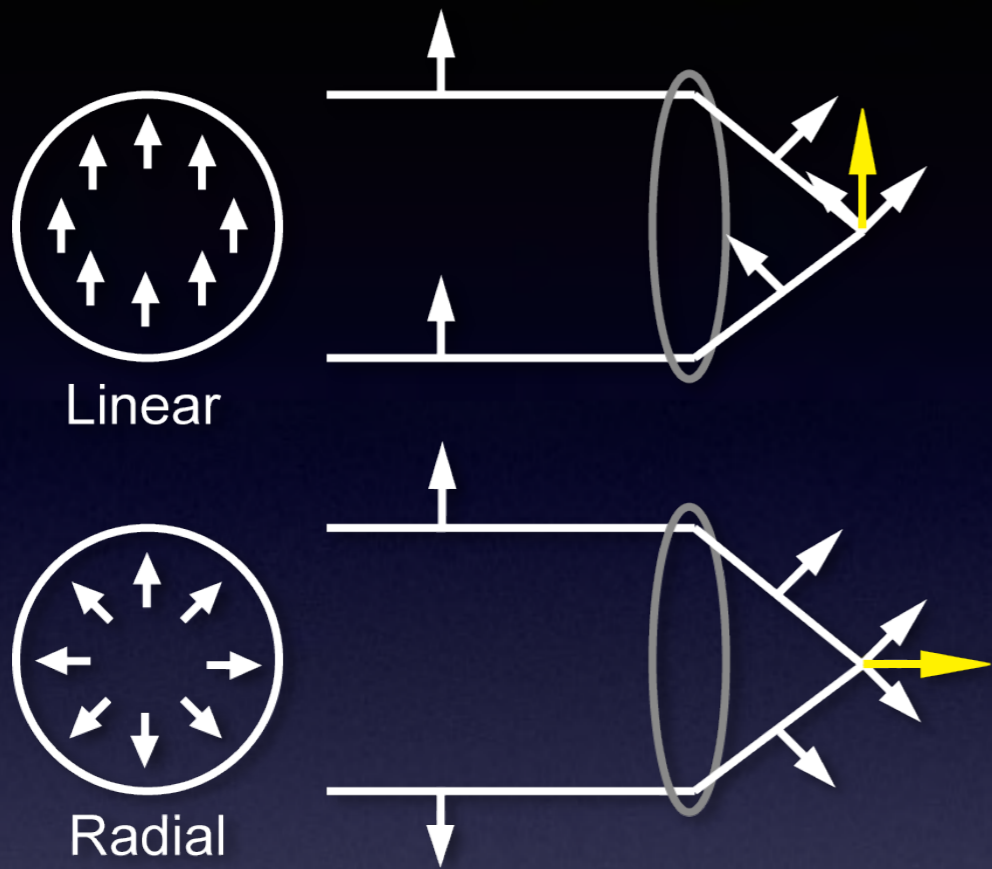
光電場の  
方向



光電場の  
大きさ

分子振動の偏光依存性  
偏光制御ラマンイメージング

# 3D orientation measurement



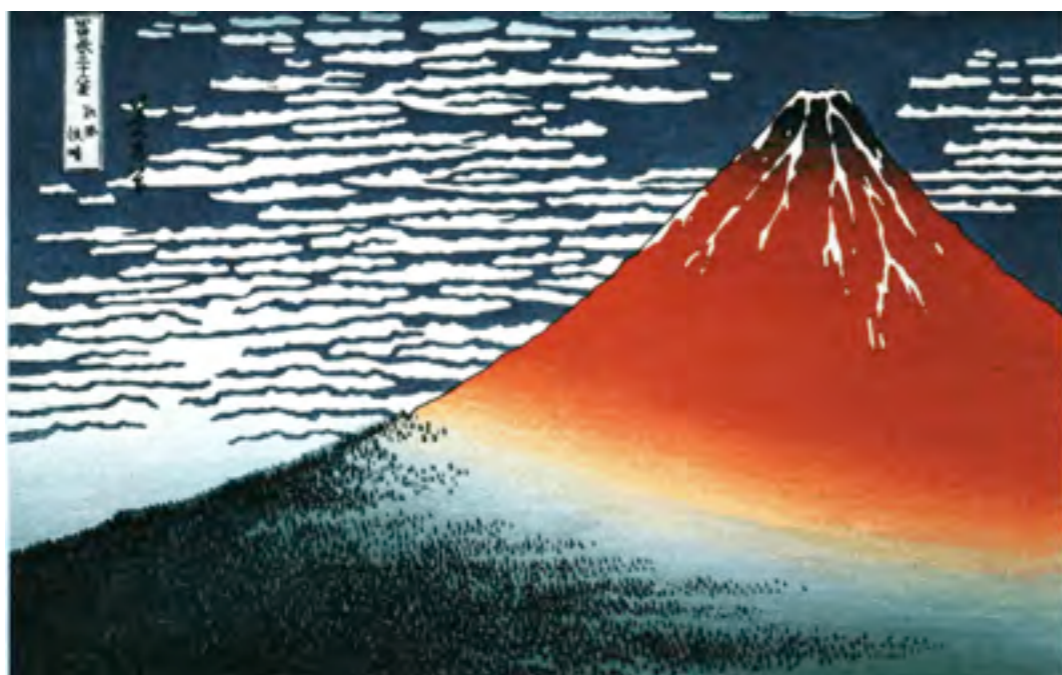
# ラマン散乱分光法の 文化財への応用

～浮世絵の彫摺技術復元を目指して～

# プロジェクトの目的

- 浮世絵

- 江戸時代に発展した多色摺木版画であり、現在では日本を代表する伝統美術



葛飾北斎、富嶽三十六景 凱風快晴

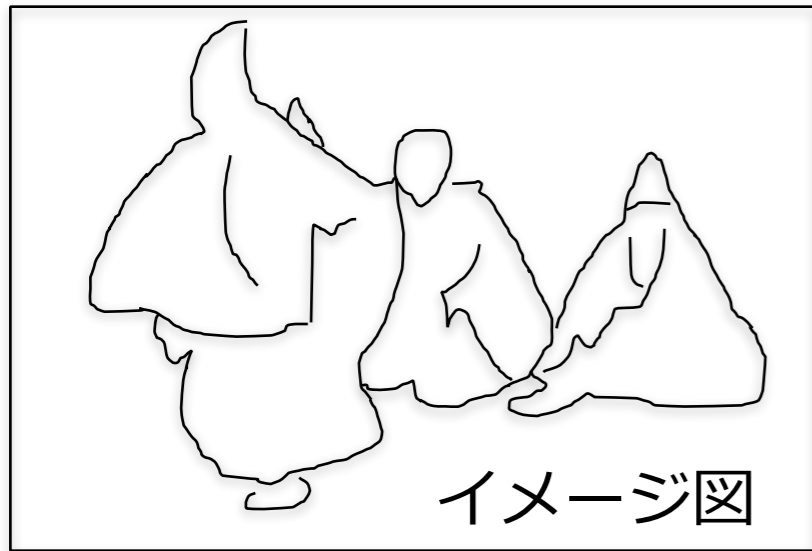


喜多川歌麿、ポッピンを吹く女

**浮世絵技法の復元による、  
伝統文化の次世代への継承・新たな価値の創造**

# 浮世絵技法の復元の難しさ

版下



色版



桃遷、生田敦盛



主版

立命館ARC所蔵  
GNo:arcMD01-0015



版画

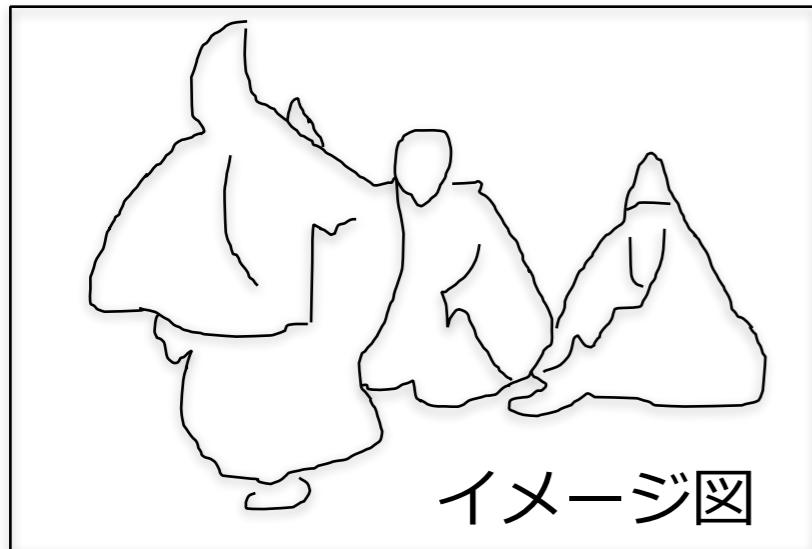
立命館ARC所蔵  
arcUP4142

歴史的遺産であるため、破壊的分析が出来ない

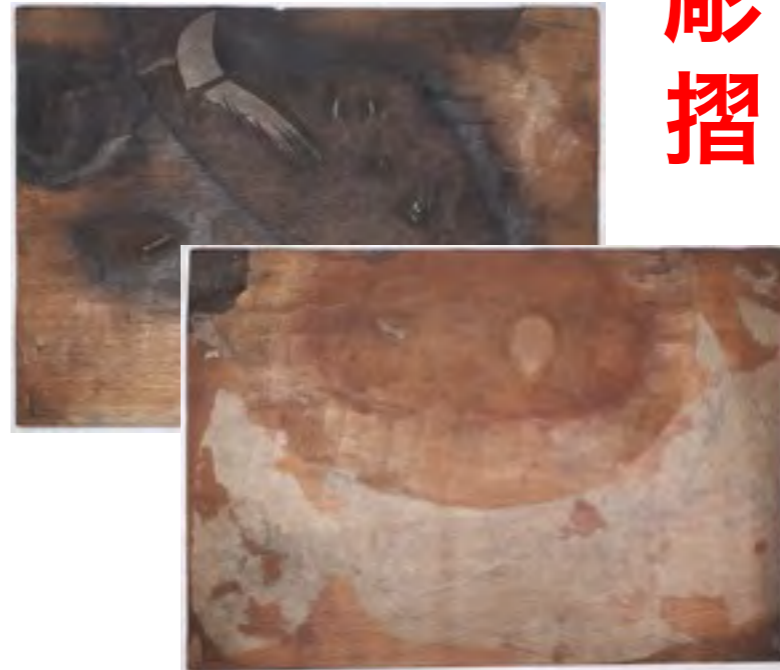


# 浮世絵技法の復元の難しさ

版下



色版



桃遷、生田敦盛

色材？  
版木？  
用紙？



主版

立命館ARC所蔵  
GNo:arcMD01-0015

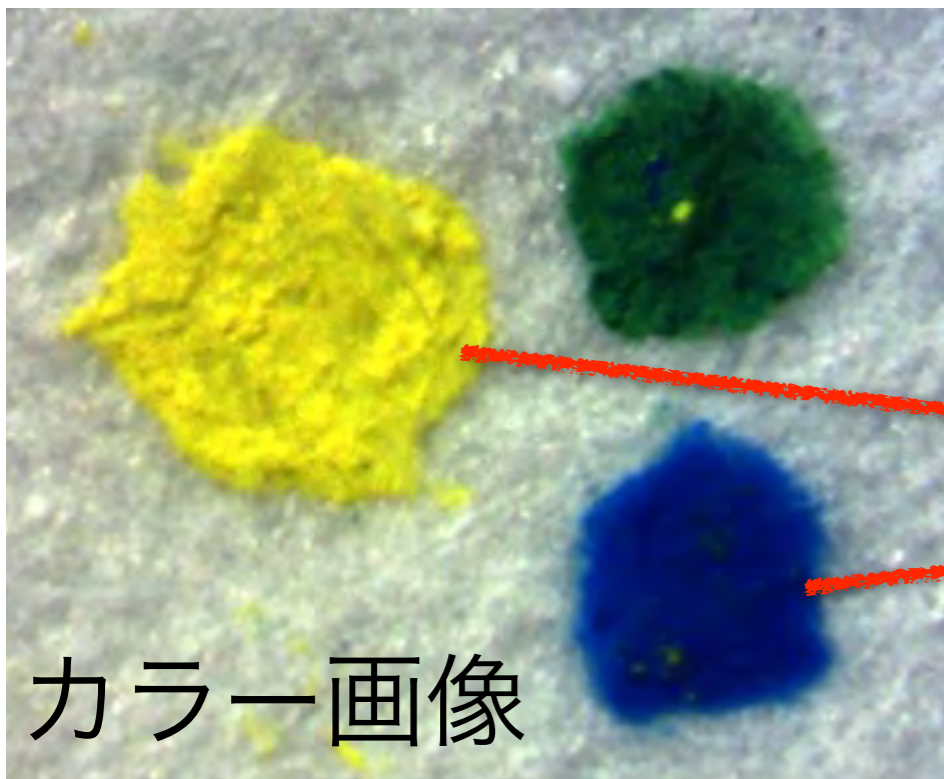


版画

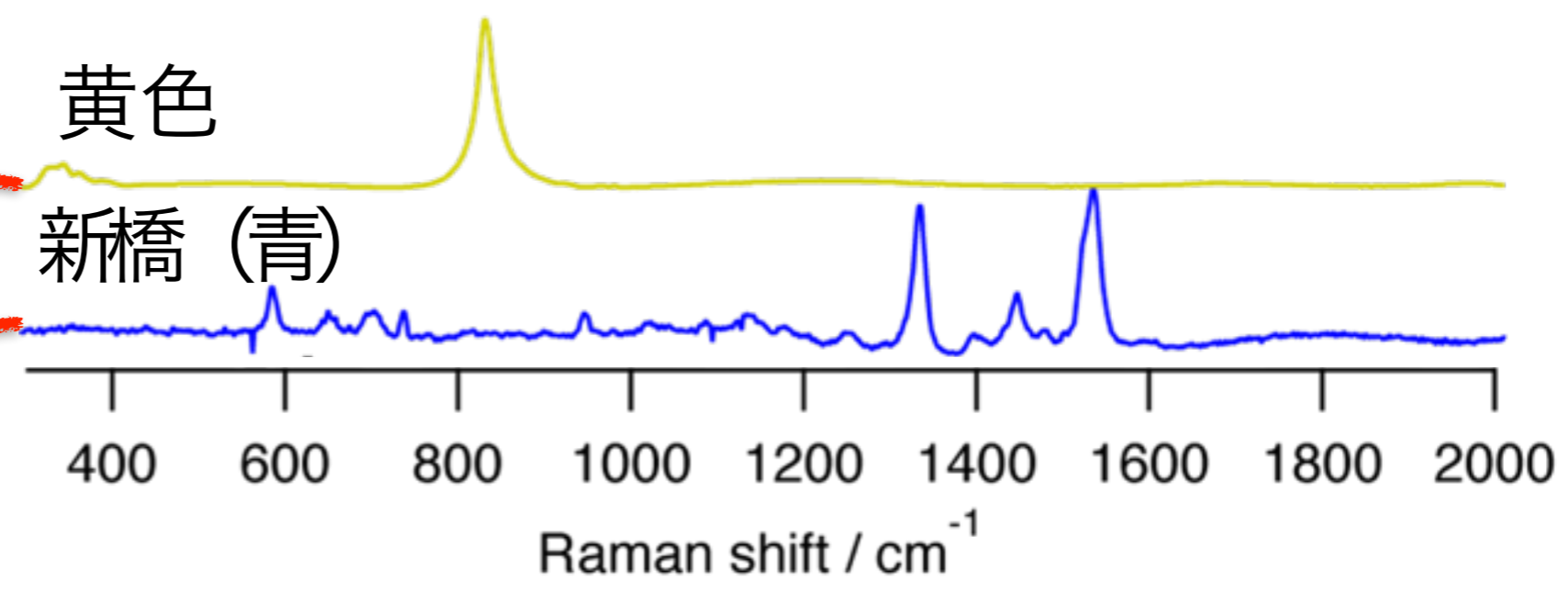
立命館ARC所蔵  
arcUP4142

歴史的遺産であるため、破壊的分析が出来ない

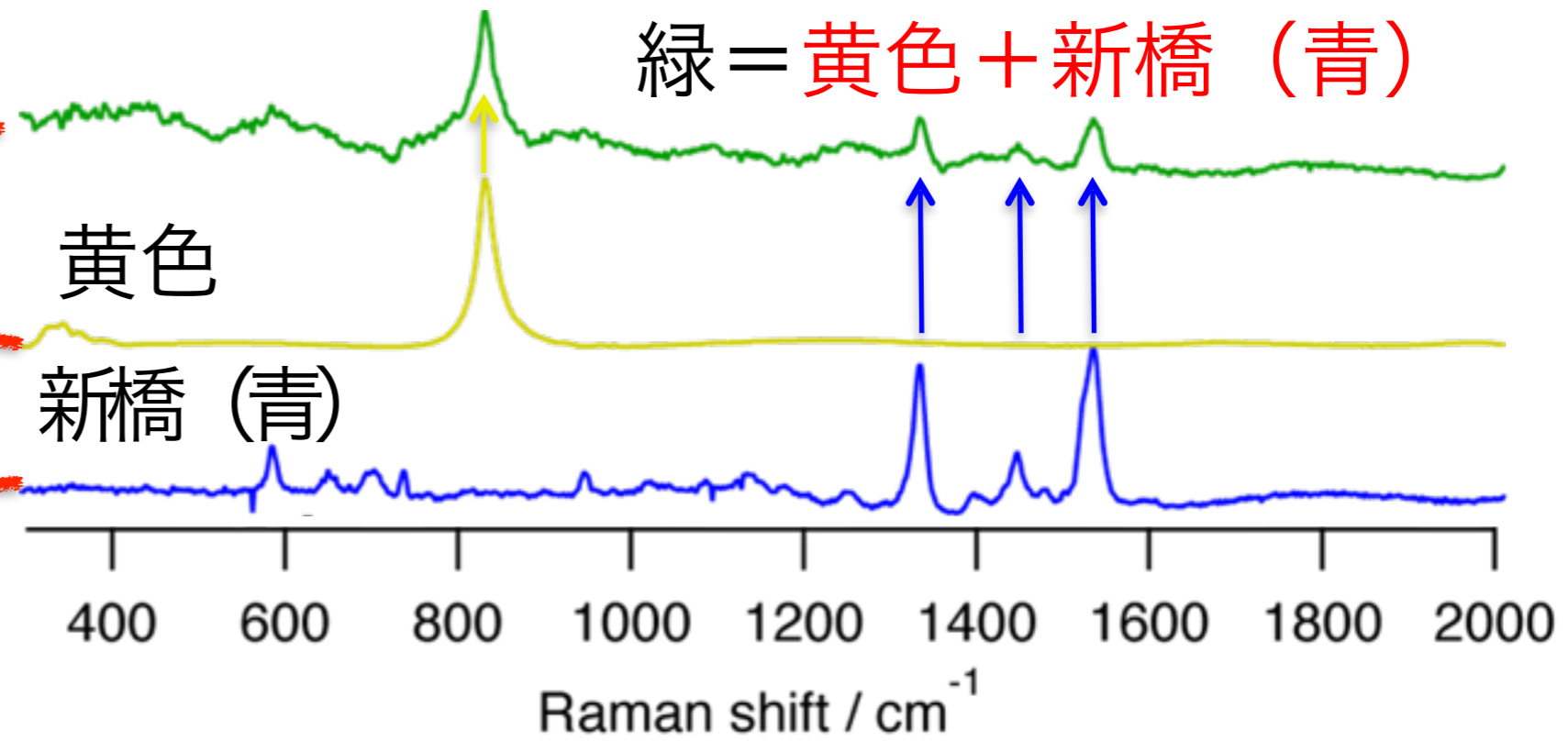
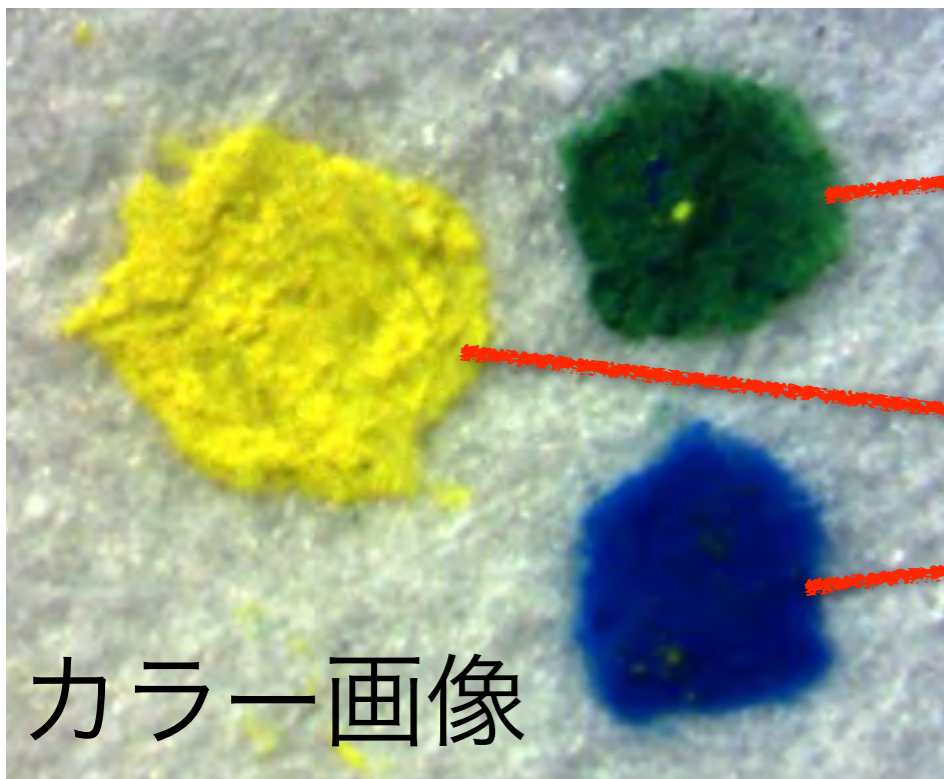
# ラマンスペクトル



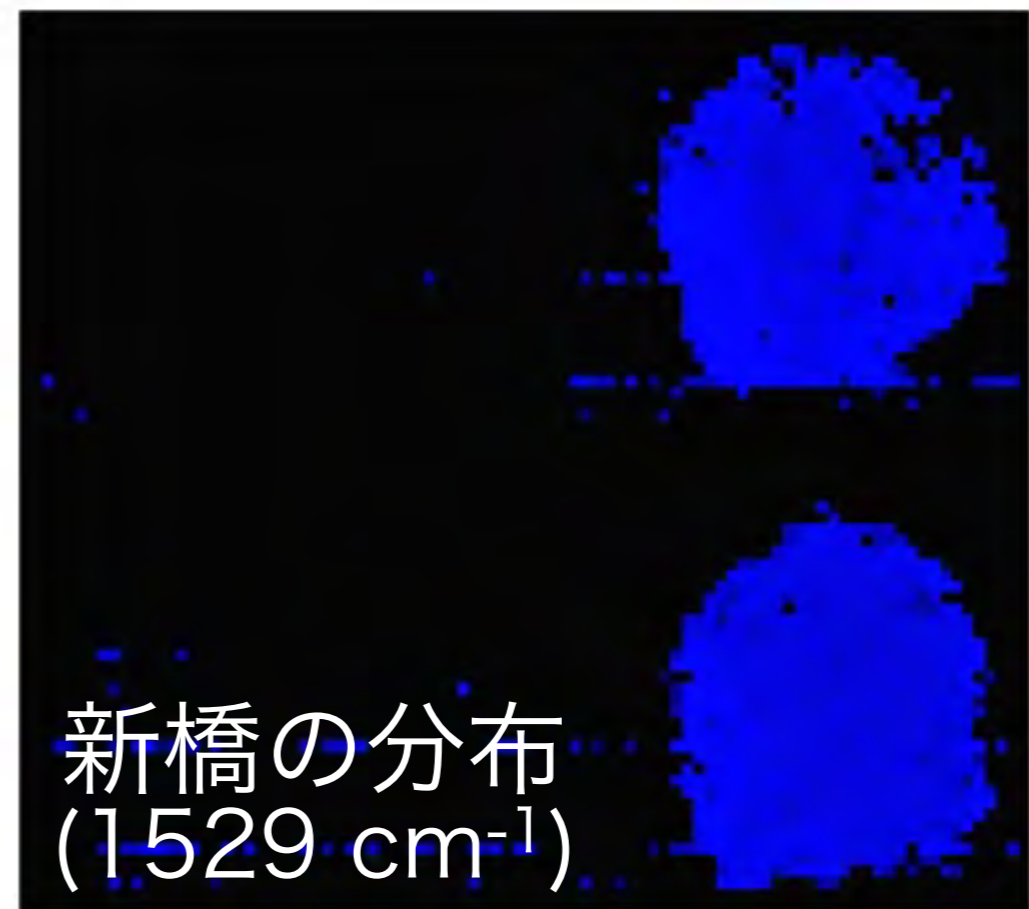
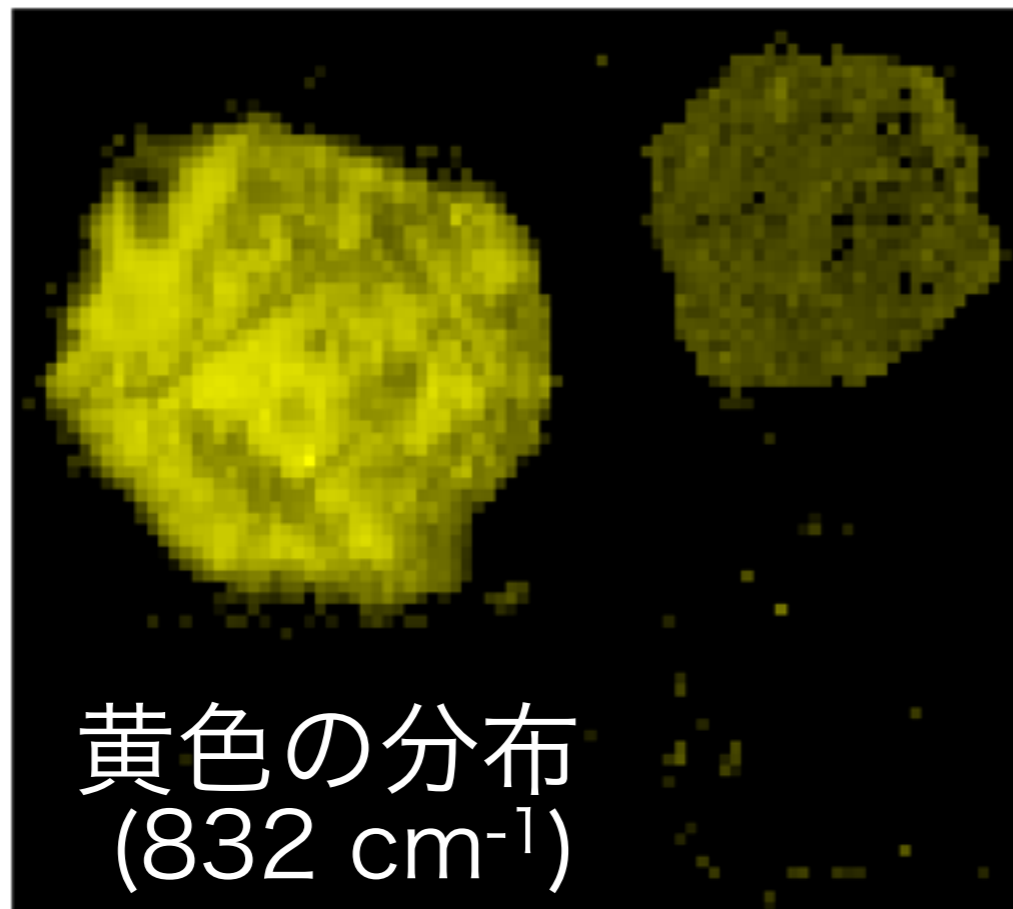
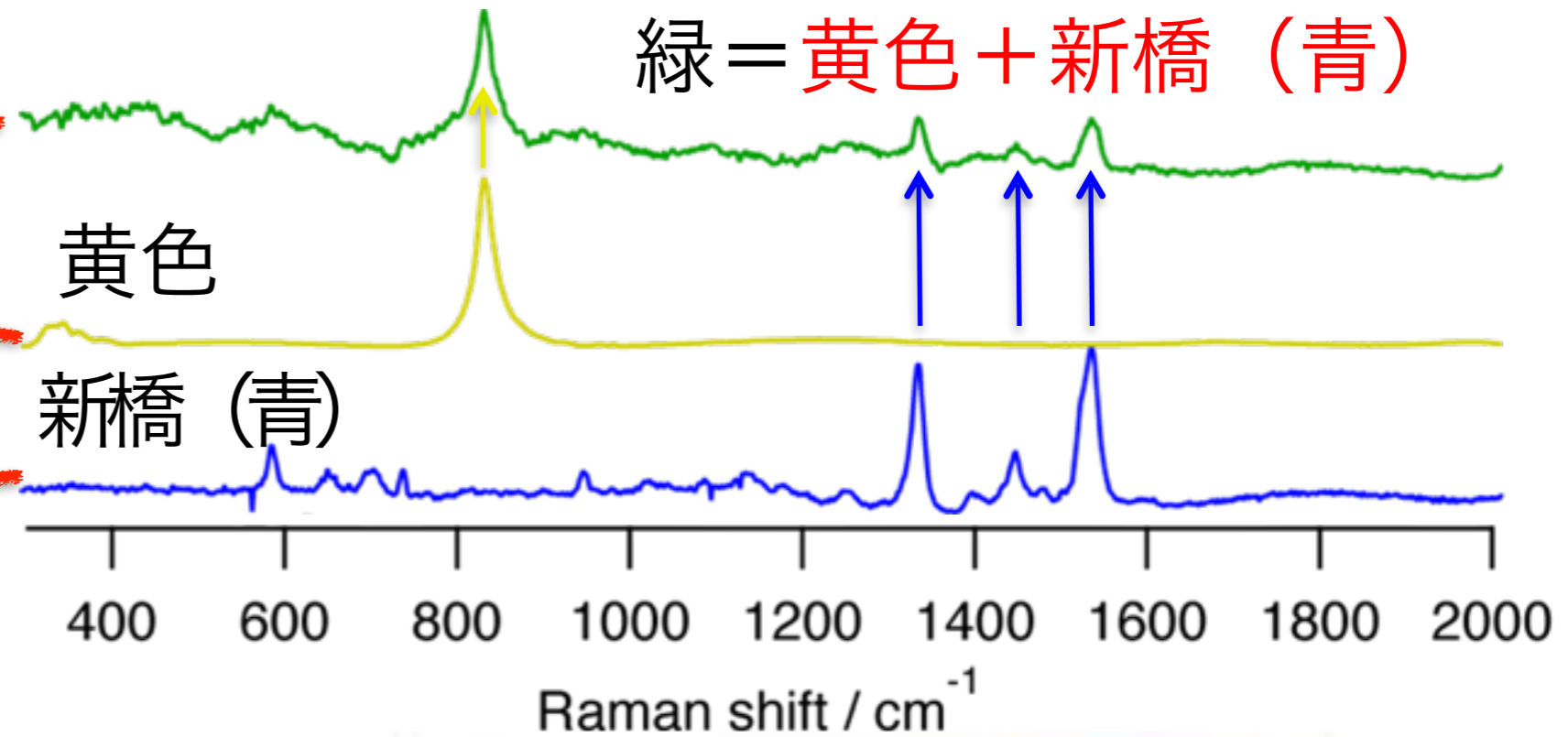
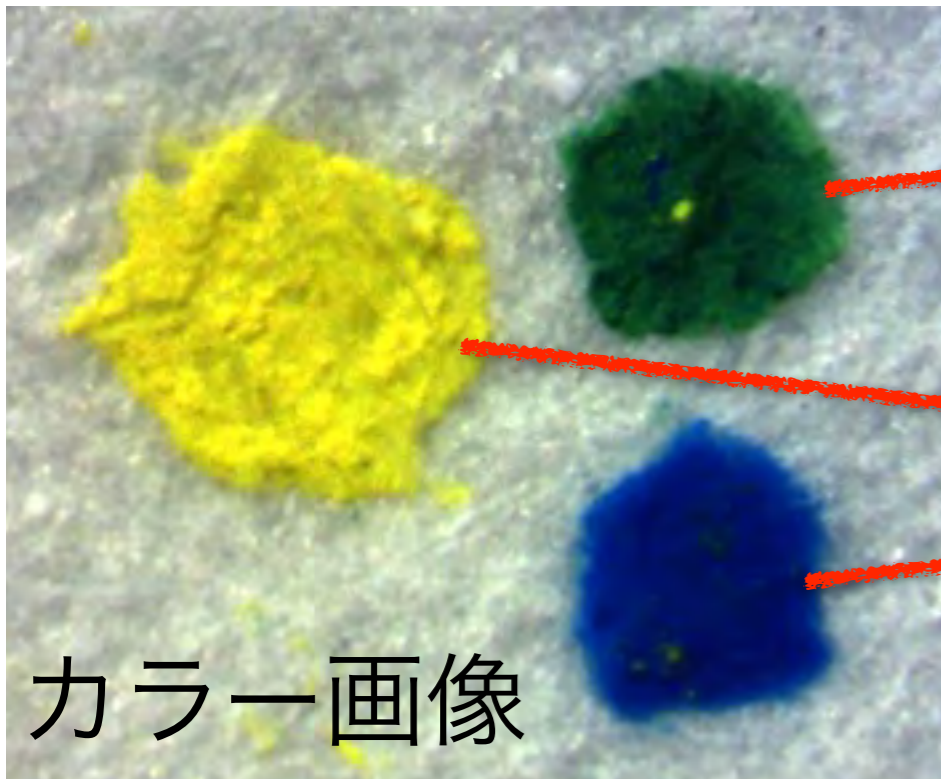
黄色  
新橋 (青)



# ラマンスペクトル



# ラマンスペクトル

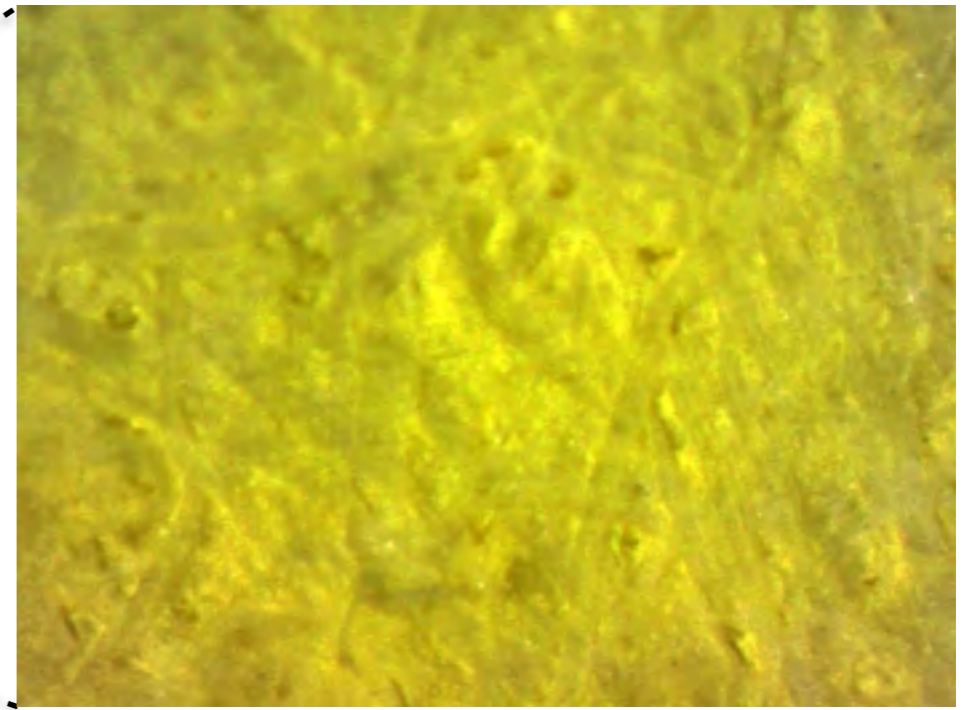
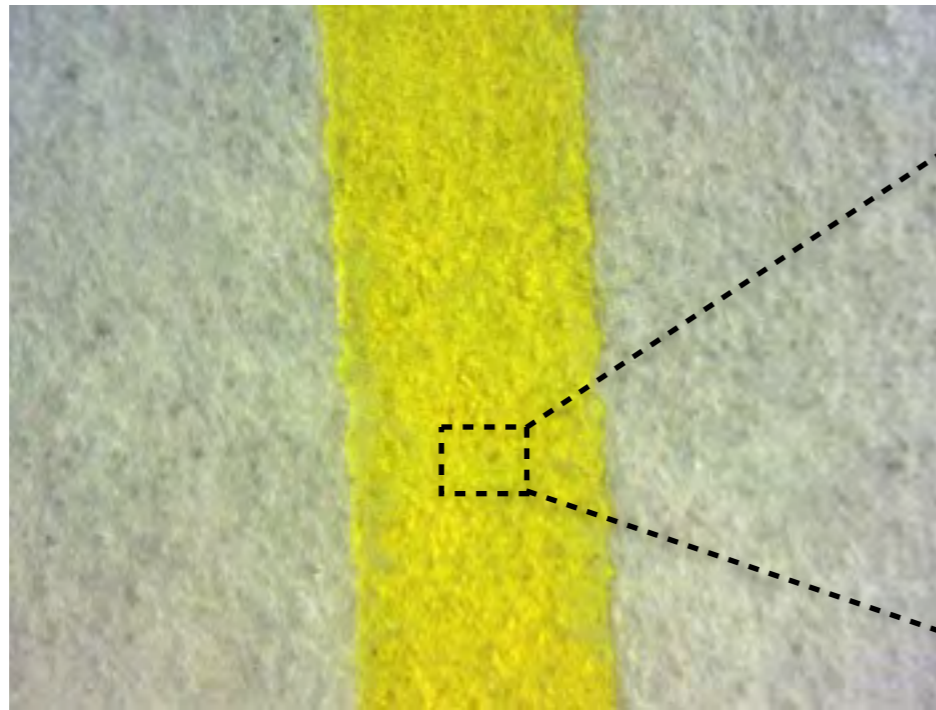


ラマン散乱分光法で「分子構造・分子分布分析」が可能

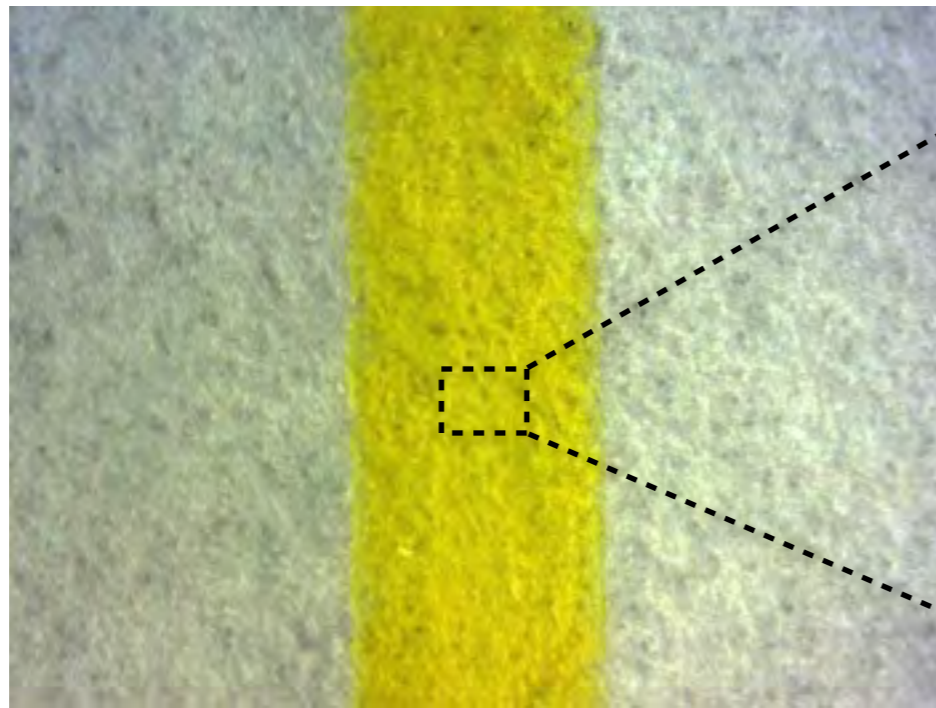
# カラー画像による摺り技術の推定？

竹笹堂・摺師 永井大規作

黄色  
のみで  
摺り



黄色+膠  
で摺り

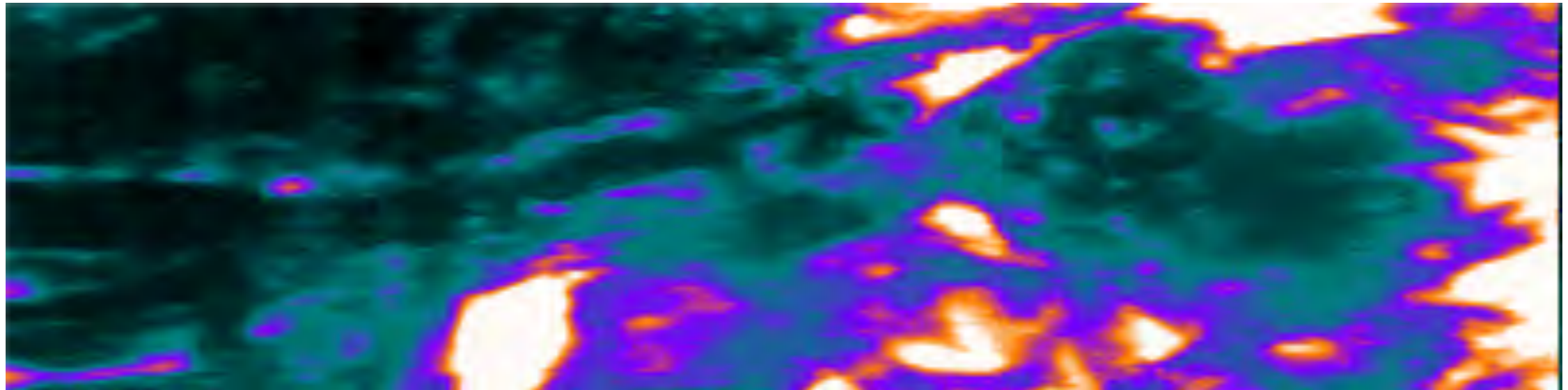


カラー画像のみでは、摺り技術の違いは明確でない

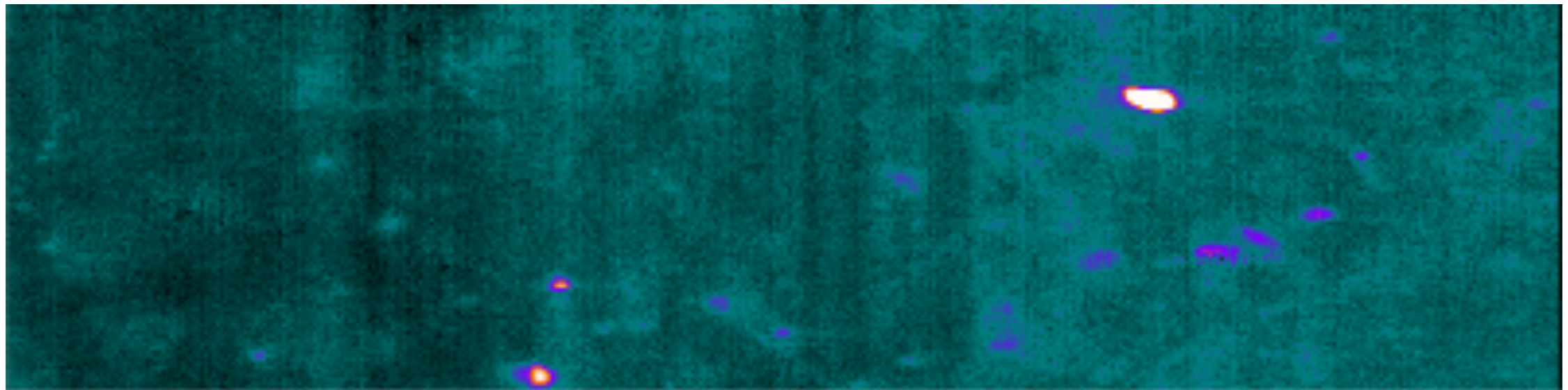
# ラマン散乱分光法による摺り技術の推定

観察波数：832 cm<sup>-1</sup>

竹笹堂・摺師 永井大規作



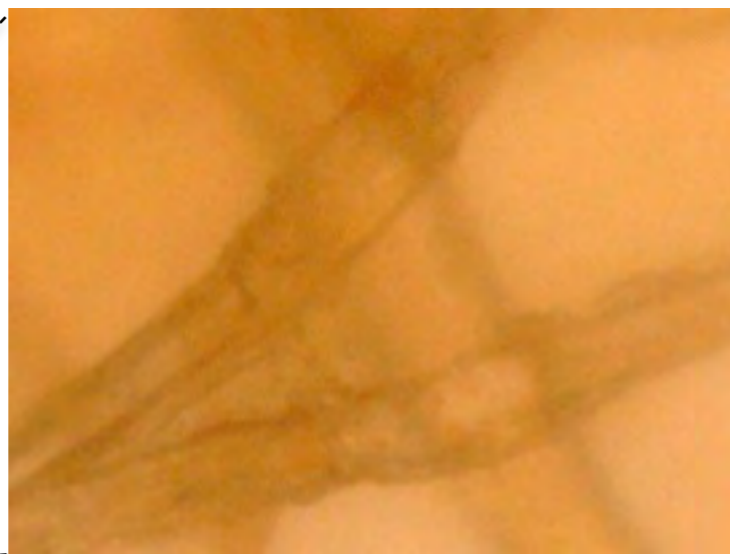
黄色色材のみで摺り → 色材が**不均一分布**



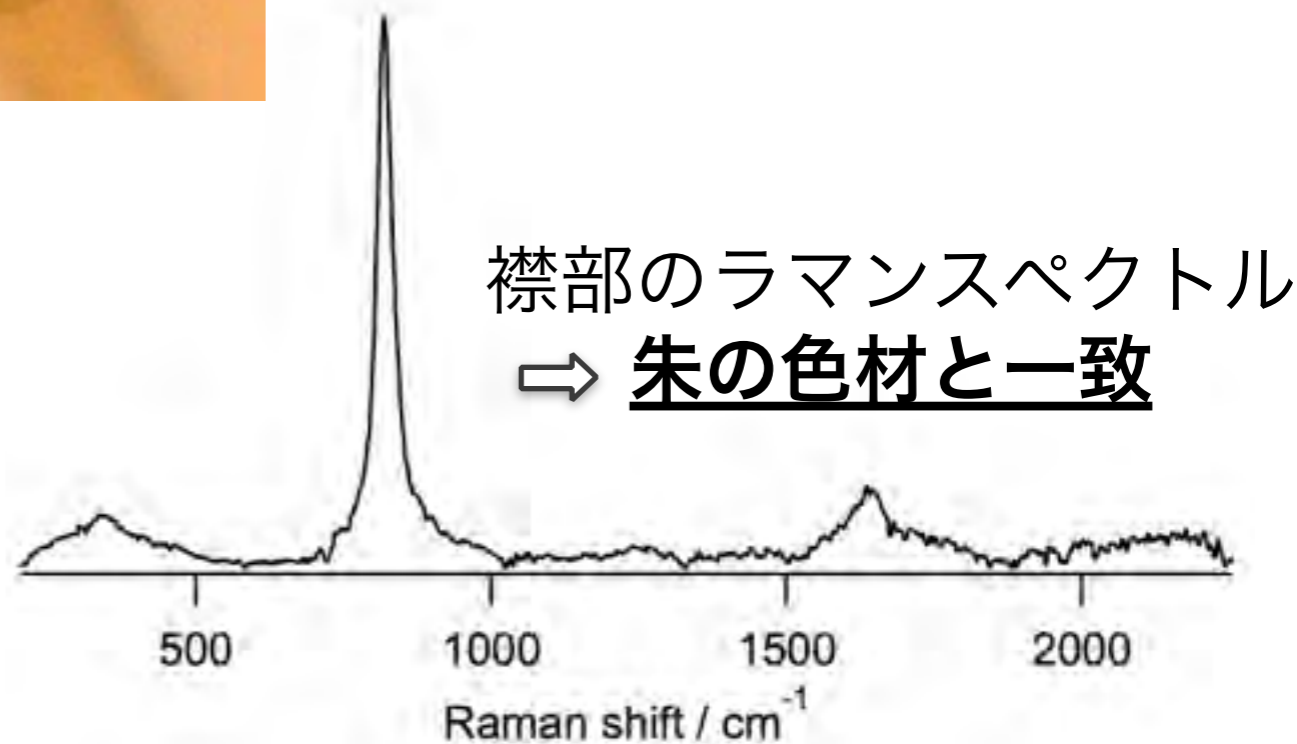
黄色+膠で摺り → 色材が**一様分布**

ラマン散乱分光法による色材分布観察  
→ **摺りの状態を高いコントラストで観察可能**

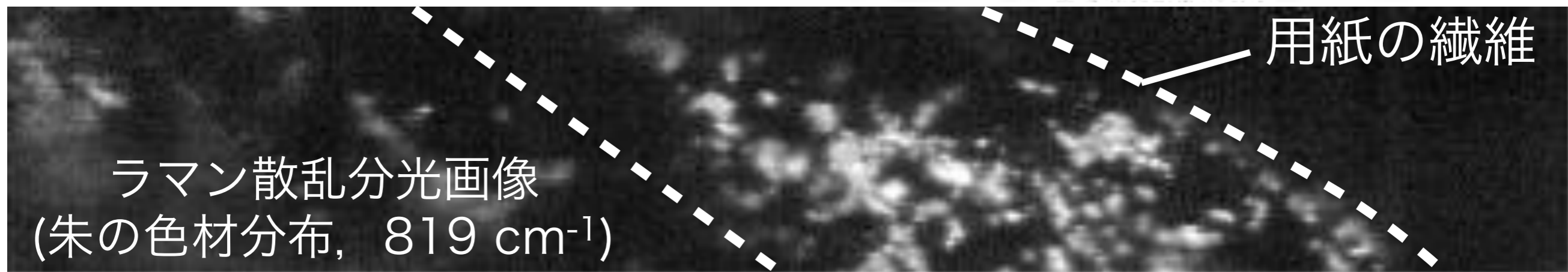
# ラマン散乱分光法による摺り技術の推定



カラー画像  
← 用紙繊維上の  
色材分布は計測困難



団扇をもつおひさ、竹笹堂製作



ラマン散乱分光画像  
(朱の色材分布,  $819\text{ cm}^{-1}$ )

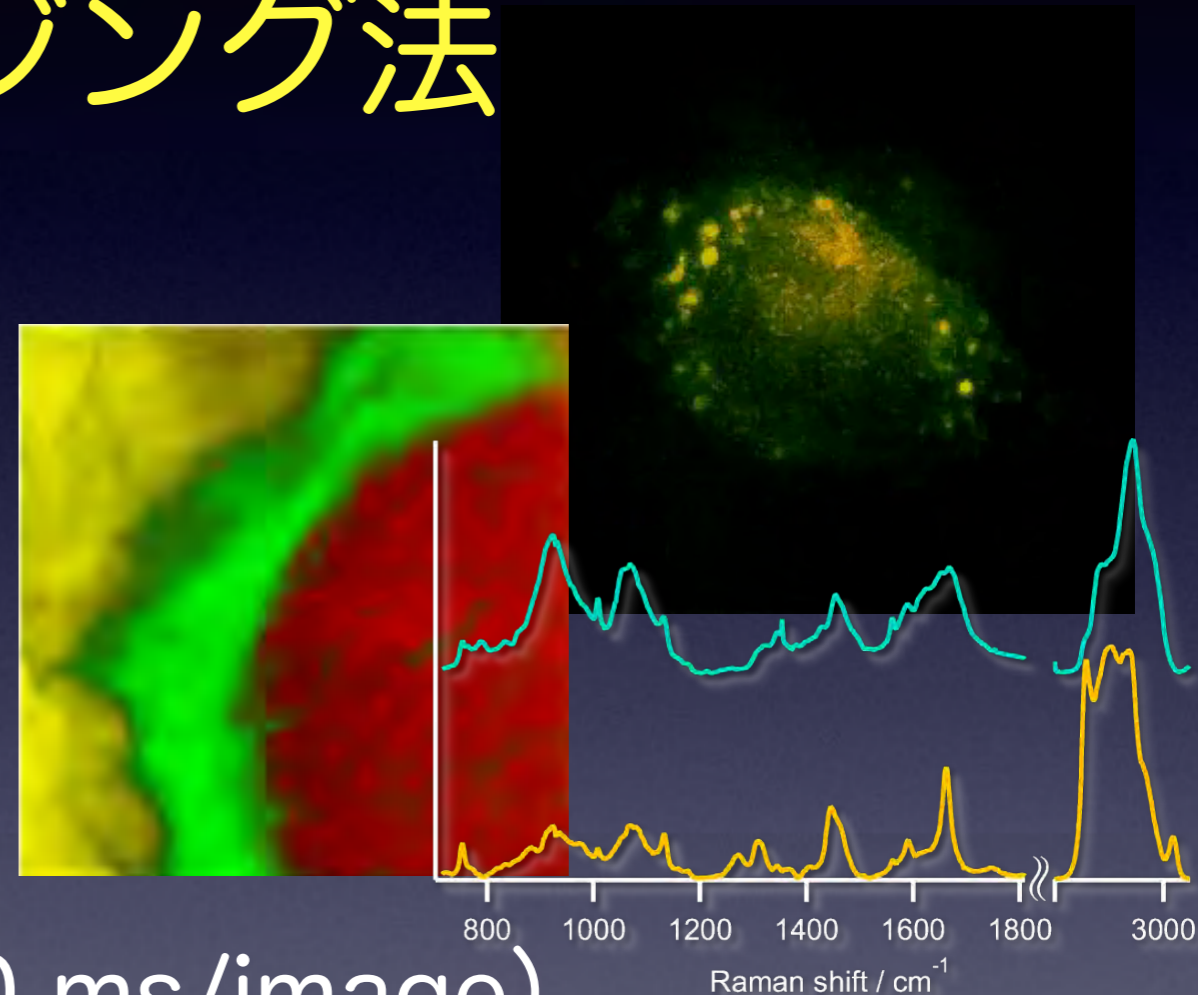
**紙の繊維レベルでの色材の分布を観察可能 → 摺り技術を反映？**

# Summary

## 顕微ラマン散乱分光法による 分子イメージング法

- ✓ 無染色・無固定に計測可能
- ✓ 分子選択的イメージング
- ✓ 分子構造の推定
- ✓ 分子配向解析
- ✓ + 非線形光学

→ 高速イメージング (10 ms/image)



医学・生物学を中心として  
新たな計測ツール



# Acknowledgement

Kyoto Prefectural Univ of Medicine

Department of Pathology and Cell Regulation

Prof Tetsuro Takamatsu

Dr Yoshinori Harada

Dr Noriaki Koizumi

Dr Nanae Nishiki-Muranishi

Kyoto Prefectural Univ of Medicine

Department of Urology

Prof Tsuneharu Miki

Dr Koji Okihara

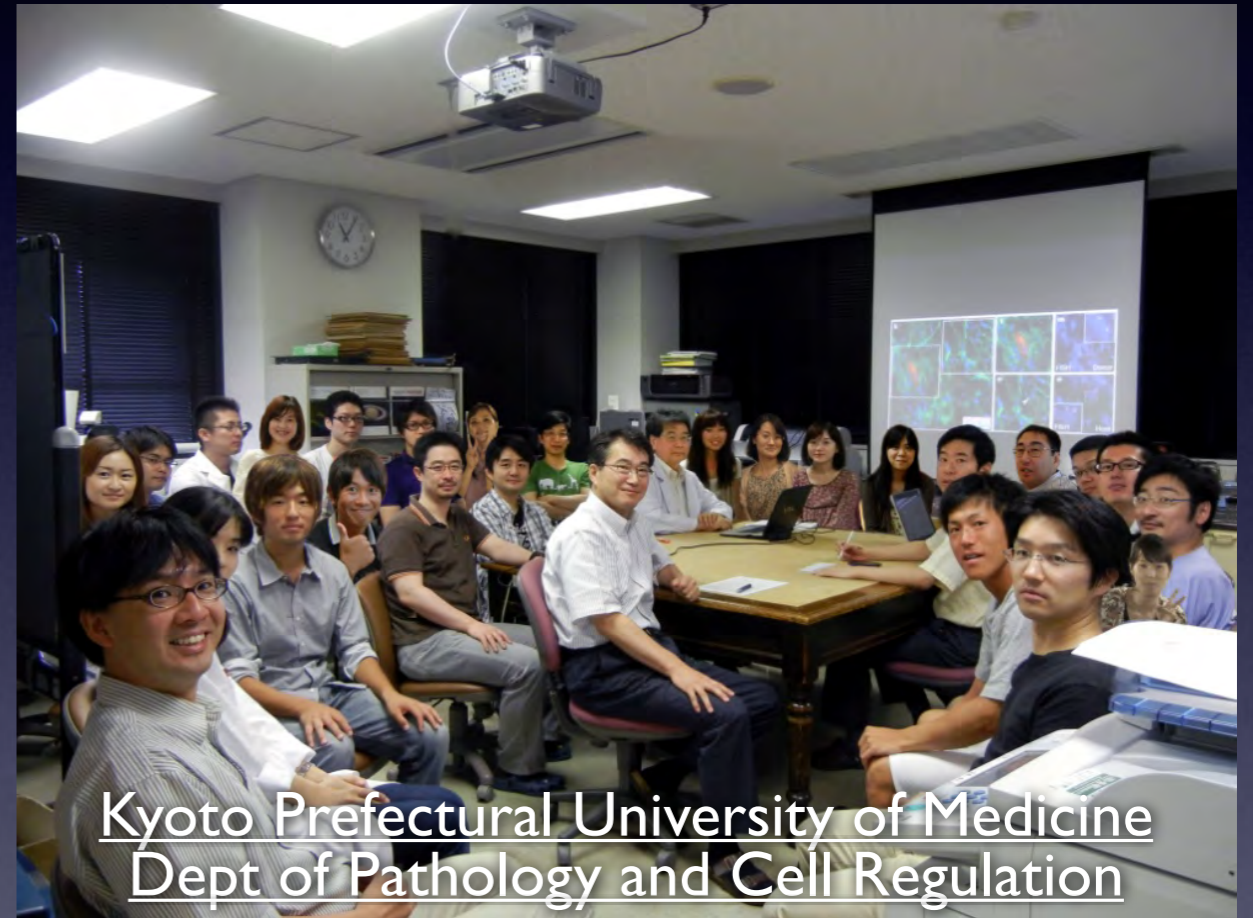
Dr Kazumi Kamoi

Kyoto Prefectural Univ of Medicine

Department of Surgery

Division of Cardiovascular and Pediatric Cardiovascular Surgery

Prof Hitoshi Yaku



Kyoto Prefectural University of Medicine  
Dept of Pathology and Cell Regulation

Contact: [tminami@koto.kpu-m.ac.jp](mailto:tminami@koto.kpu-m.ac.jp)